

621.389  
Ф-53

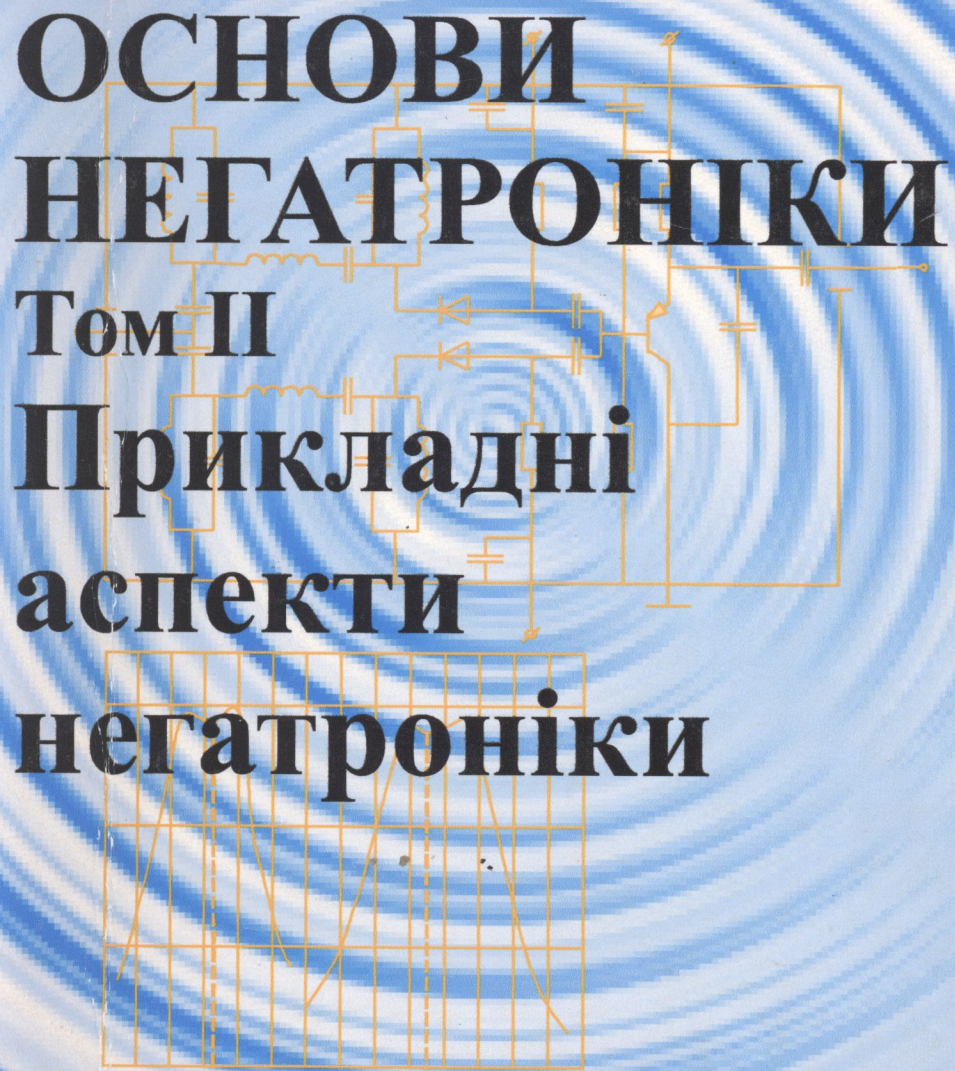
М. А. Філинюк

ОСНОВИ  
НЕГАТРОНІКИ

Том II

Прикладні  
аспекти

негатроніки



621.396.6

953

Міністерство освіти і науки України

Вінницький національний технічний університет

**М. А. Філинюк**

# **ОСНОВИ НЕГАТРОНІКИ**

**Том II**

**Прикладні аспекти негатроніки**

Монографія



0.53

389



УНІВЕРСУМ-Вінниця

2006

09

*Рецензенти:*

**В. М. Кичак**, доктор технічних наук, професор

**Ф. Д. Касімов**, доктор фізико-математичних наук, професор

**О. В. Негоденко**, кандидат технічних наук, професор

Рекомендовано до видання Вченого радою Вінницького національного технічного університету Міністерства освіти і науки України (протокол №12 від 29.06.2006 р.)

**Філинюк М. А.**

Ф 57 Основи негатроніки. Том II. Прикладні аспекти негатроніки.  
Монографія. – Вінниця: УНІВЕРСУМ-Вінниця, 2006 – 306 с.

ISBN 966-641-203-9

В монографії розглянуті теоретичні і фізичні основи негатроніки. Проведено аналіз параметрів напівпровідникових негатронів. Розглянуті принципи побудови та надані результати досліджень комбінованих динамічних негатронів. Обґрунтована теорія узагальнених перетворювачів імітансу, яка лежить в основі створення комбінованих динамічних негатронів. Книга розрахована на наукових співробітників, аспірантів, студентів та спеціалістів, що займаються проектуванням і розробкою інформаційних систем та пристройів на базі негатронів.

УДК 621.396.6:621.774.011.3

ISBN 966-641-203-9

431418

НТЕ ВНТУ  
м. Вінниця

©М. Філинюк, 2006

## ЗМІСТ

|  |     |
|--|-----|
| <b>ПЕРЕЛІК УМОВНИХ ПОЗНАЧЕНЬ.....</b>  | 7   |
| <b>ПЕРЕДМОВА.....</b>  | 8   |
| <b>РОЗДІЛ 1. АНАЛІЗ І СИНТЕЗ ІНФОРМАЦІЙНИХ ПРИСТРОЇВ.....</b>                            | 10  |
| 1.1. Класифікація інформаційних пристройів.....  | 10  |
| 1.2. Аналіз чутливості взаємних інформаційних пристройів.....                            | 14  |
| 1.3. Аналіз стійкості взаємних інформаційних пристройів.....                             | 17  |
| 1.4. Аналіз шумів взаємних інформаційних пристройів.....                                 | 22  |
| 1.5. Синтез взаємних інформаційних пристройів.....                                       | 26  |
| Перелік літератури до розділу 1.....   | 33  |
| <b>РОЗДІЛ 2. АНАЛІЗ І СИНТЕЗ НЕВЗАЄМНИХ ІНФОРМАЦІЙНИХ ПРИСТРОЇВ.....</b>                 | 36  |
| 2.1. Визначення чутливості невзаємних інформаційних пристройів.....                      | 36  |
| 2.2. Аналіз стійкості невзаємних інформаційних пристройів.....                           | 37  |
| 2.3. Аналіз шумів невзаємних інформаційних пристройів.....                               | 41  |
| 2.4. Постановка задачі синтезу невзаємних інформаційних пристройів.....                  | 48  |
| 2.5. Синтез для режиму узгодження виходу УПІ.....  | 53  |
| 2.6. Синтез для режиму узгодження входу УПІ.....   | 59  |
| Перелік літератури до розділу 2.....   | 66  |
| <b>РОЗДІЛ 3. ІНФОРМАЦІЙНІ ПРИСТРОЇ НА ОСНОВІ КОМБІНОВАНИХ ДИНАМІЧНИХ НЕГАТРОНІВ.....</b> | 68  |
| 3.1. Керуючі елементи.....   | 68  |
| 3.2. Некеровані активні фільтри.....   | 75  |
| 3.2.1. Некеровані активні фільтри на базі біполярних транзисторів.....                   | 75  |
| 3.2.2. Некеровані активні фільтри на польових транзисторах.....                          | 86  |
| 3.3. Керовані активні фільтри.....   | 102 |
| 3.4. Логічні пристройі.....  | 115 |
| 3.5. Кодувальні пристройі.....   | 121 |
| 3.6. Комутатори.....   | 128 |
| 3.7. Елементи синтезаторів частоти.....  | 134 |
| Перелік літератури до розділу 3.....   | 140 |

|   |     |
|---|-----|
| <b>РОЗДІЛ 4. СТАБІЛЬНІСТЬ ПАРАМЕТРІВ ІНФОРМАЦІЙНИХ ПРИСТРОЇВ НА ОСНОВІ КОМБІНОВАНИХ ТРАНЗИСТОРНИХ НЕГАТРОНІВ.....</b>           | 146 |
| 4.1. Методи і засоби зменшення чутливості параметрів інформаційних пристройів до зміни імітансів навантаження і генератора..... | 146 |
| 4.2. Динамічна нестабільність.....  | 155 |
| 4.2.1. Модель динамічної нестабільності.....  | 155 |
| 4.2.2. Методи і засоби розширення динамічного діапазону..   | 158 |
| 4.3. Температурна нестабільність.....   | 163 |
| 4.3.1. Моделювання температурної нестабільності .....   | 163 |
| 4.3.2. Методи і засоби термостабілізації.....   | 167 |
| 4.4. Режимна нестабільність.....  | 173 |
| Перелік літератури до розділу 4.....  | 179 |
| <b>РОЗДІЛ 5. ВИМІРЮВАННЯ ПАРАМЕТРІВ ФІЗИЧНИХ НЕГАТРОНІВ НА НИЗЬКИХ ЧАСТОТАХ.....</b>  | 182 |
| 5.1. Мости змінного струму для вимірювання імпедансу компонентів.....   | 182 |
| 5.2. Резонансні вимірювачі імпедансу компонентів .....  | 191 |
| 5.3. Вимірювання форми вольт-амперної характеристики приладів з від'ємним опором.....   | 194 |
| 5.4. Вимірювання параметрів тунельного діода.....   | 196 |
| 5.5. Вимірювання параметрів негатронів з р-п-р-п-структурою.  | 200 |
| Перелік літератури до розділу 5.....  | 203 |
| <b>РОЗДІЛ 6. ВИМІРЮВАННЯ ПАРАМЕТРІВ БЕЗСТРУКТУРНИХ МОДЕЛЕЙ ПОТЕНЦІЙНО-НЕСТИЙКИХ ЧОТИРИПОЛЮСНИКІВ.....</b>                       | 204 |
| 6.1. Стандартні методи вимірювання параметрів безструктурних моделей чотириполюсників.....                                      | 204 |
| 6.2. Нестандартні методи вимірювання параметрів безструктурних моделей чотириполюсників.....                                    | 210 |
| 6.3. Визначення області реалізації імітансу негатрона на основі активного чотириполюсника.....                                  | 223 |
| Перелік літератури до розділу 6.....  | 226 |
| <b>РОЗДІЛ 7. ВИМІРЮВАННЯ РОБОЧИХ ПАРАМЕТРІВ ПОТЕНЦІЙНОНЕСТИЙКИХ ЧОТИРИПОЛЮСНИКІВ.....</b>                                       | 228 |
| 7.1. Вимірювання коефіцієнтів підсилення (передачі).....  | 228 |
| 7.2. Вимірювання внутрішнього інваріантного коефіцієнта стійкості.....  | 229 |
| 7.3. Вимірювання максимальнодосяжного стійкого коефіцієнта  |     |

|   |            |
|---|------------|
| передачі за потужністю.....   | 235        |
| 7.4. Вимірювання мінімальнодосяжного значення дійсної складової вхідного (вихідного) імітанса.....          | 241        |
| 7.5. Вимірювання коефіцієнта невзаємності.....  | 250        |
| 7.6. Вимірювання частотних параметрів.....  | 253        |
| 7.7. Визначення шумових параметрів.....   | 258        |
| Перелік літератури до розділу 7.....  | 264        |
| <b>РОЗДІЛ 8. ВИМІРЮВАННЯ ПАРАМЕТРІВ ФІЗИЧНИХ МОДЕЛЕЙ БАГАТОЕЛЕКТРОДНИХ НАПІВПРОВІДНИКОВИХ СТРУКТУР.....</b> | <b>267</b> |
| 8.1. Визначення параметрів активної області кристала біполярного транзистора.....                           | 267        |
| 8.2. Визначення параметрів активної області кристала польового транзистора.....                             | 274        |
| 8.3. Визначення параметрів двозатворного польового транзистора.....   | 277        |
| Перелік літератури до розділу 8.....  | 283        |
| <b>РОЗДІЛ 9. КРИТЕРІАЛЬНА ОЦІНКА ЕФЕКТИВНОСТІ ІНФОРМАЦІЙНИХ ПРИСТРОЇВ НА БАЗІ НЕГАТРОНІВ.....</b>           | <b>285</b> |
| 9.1. Аналіз критеріїв ефективності інформаційних пристрій та систем.....                                    | 285        |
| 9.2. Узагальнена математична модель ефективності ІП.....  | 289        |
| 9.3. Визначення потенційних параметрів інформаційного пристрою.....   | 293        |
| 9.4. Визначення інформаційного ККД.....   | 294        |
| 9.5. Визначення повного енергетичного ККД.....  | 299        |
| 9.6. Економічний ККД.....   | 301        |
| 9.7. Динамічний ККД.....  | 302        |
| Перелік літератури до розділу 9.....  | 305        |

## ПЕРЕЛІК УМОВНИХ ПОЗНАЧЕНЬ

|         |  |
|---------|--|
| АЛЗ     | – активна лінія затримки                           |
| АСКК    | – автоматизована система контролю й керування      |
| АФ      | – активний фільтр                                  |
| АЧХ     | – амплітудно-частотна характеристика               |
| ВВ      | – вимірювач відношень                              |
| ВГ      | – вимірювальний генератор                          |
| ВО      | – від'ємний опір                                   |
| ВО і ВП | – від'ємний опір і від'ємна провідність            |
| ВП      | – вимірювальний перетворювач                       |
| ВП      | – вимірювач потужності                             |
| ВПО     | – вимірювач повних опорів                          |
| ВЧ      | – вимірюваний чотириполюсник                       |
| ГВЧ     | – генератор високої частоти                        |
| ДВО     | – динамічний ВО                                    |
| ДД      | – двобазовий діод                                  |
| ДПТШ2   | – подвійна уніполярна структура із затвором Шоттки |
| ЕРС     | – електрорушійна сила                              |
| ІЛПТ    | – інжекційно-лавинно-пролітний транзистор          |
| ІП      | – інформаційний пристрій                           |
| ІПД     | – інжекційно-пролітний діод                        |
| ІПП     | – інформаційний пристрій перетворення              |
| ІПТ     | – інжекційно-пролітний транзистор                  |
| К       | – комутуючий пристрій                              |
| КАФ     | – керований АФ                                     |
| КДС     | – коло динамічної стабілізації                     |
| КЕ      | – керуючий елемент                                 |
| КЗ      | – коротке замикання                                |
| ККД     | – коефіцієнт корисної дії                          |
| ЛП      | – логічний пристрій                                |
| ЛПД     | – лавинно-пролітний діод                           |
| ЛТ      | – лавинний транзистор                              |
| НВЧ     | – надвисока частота                                |
| ОД      | – обернений діод                                   |
| П       | – підсилювач                                       |
| ПВП     | – первинний вимірювальний перетворювач             |
| ПД      | – пристрій декодування                             |
| ПЗЗ     | – прилад з зарядовим звязком                       |
| ПК      | – пристрій кодування                               |
| ППЗ     | – смуго-загороджувальний фільтр                    |
| ППФ     | – смуго-пропускаючий фільтр                        |

|         |                                      |
|---------|--------------------------------------|
| ПТ      | – польовий транзистор                |
| ПТШ     | – польовий транзистор                |
| СВО     | – статичний ВО                       |
| СЧ      | – синтезатор частоти                 |
| Т       | – трійник                            |
| ТД      | – тунельний діод                     |
| ТКЕ     | – температурний коефіцієнт ємності   |
| УН      | – узгоджене навантаження             |
| УПІ     | – узагальнений перетворювач імітансу |
| ФВ      | – фазовий вольтметр                  |
| ФВЧ     | – фільтр верхніх частот              |
| ФНЧ     | – фільтр нижніх частот               |
| ФП      | – формуючий пристрій                 |
| ХХ      | – холостий хід                       |
| ЧМ і АМ | – частотна і амплітудна модуляція    |

## ПЕРЕДМОВА

Прогрес сучасного суспільства неперервно пов'язаний із вдосконаленням інформаційних технологій. В їх основі лежить досягнення в сфері електроніки, зокрема напівпровідникової електроніки. У витоків “ери” напівпровідникової електроніки лежить відкриття інженером О. В. Лосевим у 1922 році падаючої ділянки на вольт-амперній характеристиці напівпровідникового кристала, де, порушуючи класичний закон Ома, диференційний опір є від'ємним. Використовуючи цю властивість кристала О. В. Лоссв вперше в світі здійснив генерацію та підсилення електромагнітних коливань з використанням напівпровідникового кристала. У подальшому були відкриті та винайдені різні види електронних пристрій, що мають негативний опір. Незважаючи на те, що у них використовують різні фізичні ефекти не лише в напівпровідниках, але в газі та вакуумі, усі вони отримали назву “негатрони”.

Розвиток негатронів та теорія проектування інформаційних пристрій на їх основі протягом десятків років здійснювалася у самостійних напрямках, незважаючи на те, що загальні закони та принципи їх побудови були спільними.

Враховуючи це, на початку 80-х років минулого сторіччя відбулося об'єднання вчених, які займаються створенням негатронів та інформаційних пристрій на їх основі в єдиному науковому напрямку, який отримав назwę “Негатроніка”.

Другий том монографії присвячений прикладним аспектам негатроніки. В ньому розглянуто теоретичні питання проектування взаємних та невзаємних інформаційних пристрій на базі негатронів. Велику увагу приділено конкретним технічним рішенням створення інформаційних елементів та пристрій на базі динамічних негатронів та стабілізації їх параметрів.

Враховуючи, що інформаційні пристрої на базі негатронів є в загальному випадку потенційно нестійкими, особливу увагу приділено питанням метрологічного забезпечення негатроніки.

В заключному розділі розглянуто питання критеріальної оцінки ефективності інформаційних пристрій на основі негатронів та сформульовані напрямки досліджень, що забезпечать підвищення ефективності.

В одній монографії неможливо розглянути всі напрямки розвитку негатроніки. Основну увагу приділено галузі динамічних комбінованих негатронів, інформаційним пристроям на їх основі, де автор має понад 30-ти річний досвід досліджень. Для отримання глибшої інформації в таких найважливіших галузях негатроніки, як вакуумна негат-

роніка, негатроніка, що використовує схемотехнічні аналоги, та інші рекомендується звертатися до фундаментальних публікацій в цих напрямках, список яких наведений в першому розділі першого тома.

Розуміючи, що запропоноване видання не позбавлене недоліків, автор буде вдячний усім, хто висловить свої зауваження та побажання за адресою

E-mail: Filinyuk@vstu.vinnica.ua

В завершення висловлюю щиру подяку усім співробітникам лабораторії динамічної негатроніки Вінницького національного технічного університету за багаторічну працю, а також співробітнику кафедри проектування комп'ютерної та телекомунікаційної апаратури ВНТУ С. Є. Швейкиній та редактору Т. А. Ягельській за допомогу у підготовці цієї книги до видання.

# РОЗДІЛ 1

## АНАЛІЗ І СИНТЕЗ ВЗАЄМНИХ ІНФОРМАЦІЙНИХ ПРИСТРОЇВ

### 1.1. Класифікація інформаційних пристройів

Технічні системи, які призначені для одержання, перетворення, передачі, накопичення, відображення та зберігання інформації, що одержується від будь-якого об'єкта спостереження та керування, називаються інформаційними системами [1]. До них відносяться: автоматизовані системи контролю та керування, системи електронно-обчислювальної та інформаційно-вимірювальної техніки, системи зв'язку, телемеханічні, навігаційні та телевізійні системи й т.п.

Якою б складною не була інформаційна система, вона складається з окремих найпростіших інформаційних пристройів (ІП), призначених для здійснення інформаційних процесів малої складності.

Інформаційні пристройі, алгоритм функціонування яких не залежить від алгоритму функціонування інформаційної системи, призначені для перетворення повідомлень в сигнал і навпаки, а також для зміни фізичної природи або параметрів сигналу, назовемо інформаційними пристроями перетворення (ІПП). Прикладами таких пристройів є: пристрой кодування та декодування, вимірювальні перетворювачі, акусто-електричні та електронно-оптичні перетворювачі, перетворювачі імітансу, логічні пристройі й т.п.

Інформаційні пристройі, алгоритм функціонування яких змінюється з часом за законом, який визначається алгоритмом функціонування інформаційної системи (тобто відбувається керування алгоритмом функціонування), назовемо інформаційними пристроями керування (ІПК). Прикладами таких пристройів є: комутатори, керовані атенюатори, фазообертачі, фільтри й т.п.

Враховуючи, що в більшості інформаційних систем основним носієм інформації є електричний сигнал, в подальшому розглядаються ІП перетворення та керування електричними сигналами. Узагальнену функціональну схему цих пристройів представимо у вигляді рис. 1.1. Пристрой мають три основні групи клем: вхідного сигналу, вихідного сигналу та сигналу керування.

В залежності від виду ІП вхідні та вихідні клеми сигналу можуть бути різними – пристрой проходного типу, або вони можуть бути об'єднані – пристрой відбивного типу.

В ІПП відсутні клеми сигналу керування, але можуть бути клеми опорного сигналу.

Крім інформаційних сигналів в ІП потрапляє сигнал перешкоди. Він може потрапляти як по колах основного сигналу та сигналу керування, так і по колах живлення або породжується в самому ІП.

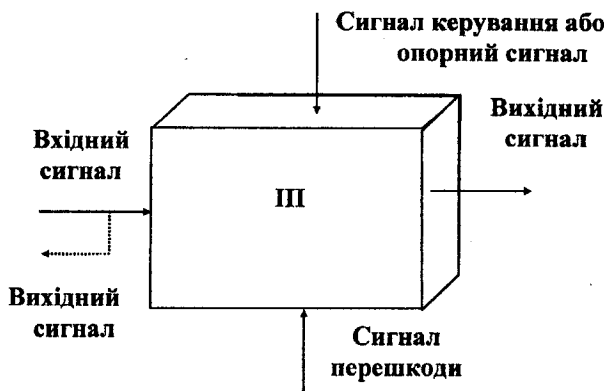


Рис. 1.1. Узагальнена функціональна схема інформаційного пристрою

Виконаємо класифікацію ІП відповідно до області досліджень (рис.1.2).

В залежності від виду електричних сигналів, всі ІП поділяються на ІП, що використовують відеоімпульсні сигнали та на ІП, що використовують гармонічні сигнали [2–4].

Інформаційні пристрої другого виду підрозділяються на аналогові та радіоімпульсні. Основним елементом більшості типів ІП є активний прилад. В якості активних приладів сучасні ІП використовують напівпровідникові прилади, які утворені різними напівпровідниковими структурами. Вони відрізняються в залежності від матеріалу, який використовується, діапазону робочих частот, потужності розсіювання, призначення. Крім того, всі напівпровідникові структури можна поділити на напівпровідникові структури, що мають від'ємний опір (ВО) і не мають ВО. Напівпровідникові структури з ВО, які одержали назву негатрони, поділяються на дві групи: на двоелектродні, які використовуються в діодах, та на багатоелектродні, які в теперішній час переважно використовуються в транзисторах, тиристорах, польових тетродах, двобазових діодах (ДД) та приладах з зарядовим зв'язком (ПЗЗ).

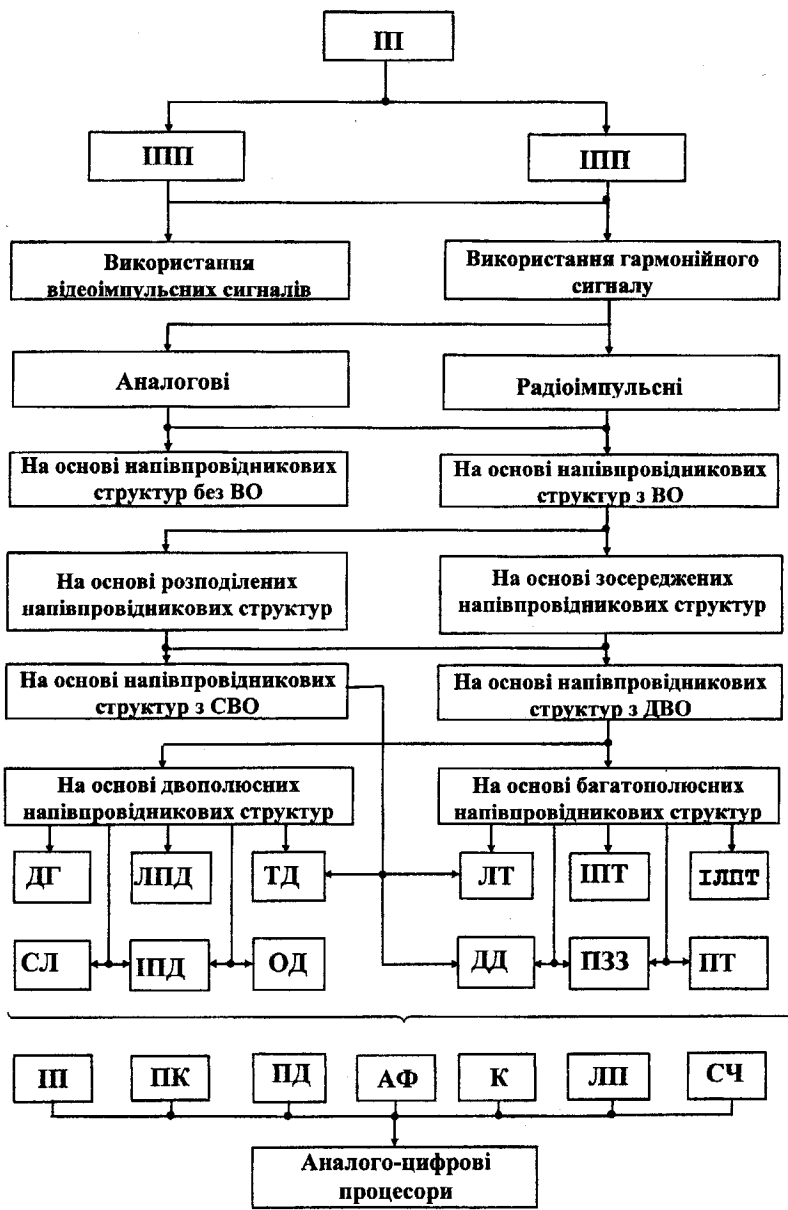


Рис. 1.2. Класифікація інформаційних пристройів

В свою чергу напівпровідникові структури цих груп можна поділити на ті, в яких ВО спостерігається на спадаючій ділянці статистичної вольт-амперної характеристики – статичні ВО (СВО) (наприклад, напівпровідникові структури, що використовуються в тунельних діодах (ТД), обернених діодах (ОД), лавинних транзисторах (ЛТ)) та на напівпровідникові структури, в яких цей опір спостерігається тільки в динамічному режимі – динамічні ВО (ДВО) (наприклад: напівпровідникові структури, що використовуються в лавинно-пролітних діодах (ЛПД), інжекційно-пролітних транзисторах (ПТГ), інжекційно-лавинно-пролітних транзисторах (ІЛПТ), польових транзисторах (ПТ).

Перевагою останньої групи структур, а тому і П на їх основі, є більш висока надійність та стабільність, пов'язана з наявністю ДВО в обмеженому діапазоні частот, що виключає загрозу їх самозбудження за робочим діапазоном і дозволяє відмовитися від застосування спеціальних кіл стабілізації, а значить, покращити масогабаритні характеристики та спростити проектування [5].

В загальному випадку всі напівпровідникові структури з ВДО є елементами з розподіленими параметрами. Але в залежності від співвідношення між довжиною електромагнітної хвилі в них  $\lambda_e$  та їх геометричними розмірами, вони підрозділяються на структури з розподіленими та з зосередженими параметрами.

Коли довжина хвилі  $\lambda_e$  співрозмірна з геометричними розмірами напівпровідникового кристала – їх розглядають як структури з розподіленими параметрами [6].

Під напівпровідниковими структурами з зосередженими параметрами розуміють такі, геометричні розміри яких значно менше довжини хвилі  $\lambda_e$  електромагнітних коливань в них [7].

В теперішній час як двоелектродні, так і багатоелектродні напівпровідникові структури з ДВО знаходять застосування в П, які можна поділити на сім основних груп. Це вимірювальні перетворювачі (ВП), пристрой кодування (ПК) – модулятори, пристрой декодування (ПД) – демодулятори, активні фільтри (АФ) та лінії затримки (АЛЗ), комутаційні пристрої (К), логічні пристрої (ЛП), синтезатори частоти (СЧ). Класифікація цих груп П, технічні вимоги до них і система їх робочих параметрів розглянуті в роботах [1, 8–17].

Приведена класифікація П на основі напівпровідниковых структур з ВО є умовою, оскільки більшість пристрой мають функціональні властивості пристрой інших груп (наприклад, К можуть бути використані в якості ПК, а СЧ в якості ЛП).

## 1.2. Аналіз чутливості взаємних інформаційних пристройв

В залежності від схеми включення УП та пасивних RLC елементів, схеми всіх ІП можна узагальнити у вигляді рис. 1.3. Поділ всіх ІП на взаємні та невзаємні за структурною ознакою дозволяє створити загальну теорію кожної з цих груп ІП незалежно від їх функціонального призначення, доповнюючи її при проектуванні конкретних груп пристройв специфічними розділами.

Структурна схема взаємного ІП зображена на рис. 1.3а. Наявність УП тільки в паралельних гілках обумовлена вимогою зменшити вплив паразитних реактивних елементів на його параметри, що забезпечує більшу можливість повторення характеристик пристроя, який розробляється. Основне призначення RLC елементів – формування потрібної функції передачі. Введення в схему УП переслідує декілька цілей: компенсація дисипативних втрат, синтез реактивних елементів, підвищення чутливості (для випадку реалізації вимірювача).

В загальному випадку, взаємний ІП, що розглядається, має сходовий пасивний прототип, до паралельних RLC елементів якого або замість них підключаються входні або вихідні клеми УП, а до протилежних клем підключаються додаткове RLC пасивне коло, що перетворюється. Синтез, аналіз параметрів і методів розрахунку пасивних сходових структур розглянуті досить детально в роботах [18–23, 27, 28]. Тому основну увагу приділимо елементарній ланці взаємного ІП (на рис.1.3а обведено пунктиром).

Відносно клем УП, наприклад зі сторони генератора, всі пасивні RLC кола можна представити у вигляді еквівалентних  $L_{екв}$ ,  $C_{екв}$  і  $R_{екв}$  елементів, включених послідовно, як показано на рис. 1.4а. Оцінимо чутливість потрібної добротності  $Q_{п.вз}$  даної схеми до зміни її параметрів. Добротність  $Q_{п.вз}$  вибрана як інтегральний параметр, який є функцією еквівалентних параметрів пасивних RLC кіл і УП.

Поблизу резонансної частоти власна добротність послідовного LC контуру (рис. 1.4а), з урахуванням дисипативних втрат дорівнює

$$Q_0 = \left(1/R_{екв}\right) \sqrt{L_{екв}/C_{екв}} . \quad (1.1)$$

Підключення УП в режимі синтезу ДВО компенсує дисипативні втрати  $R_{екв}$  в результаті чого добротність елементарної ланки ІП  $Q_{п.вз}$  зростає.

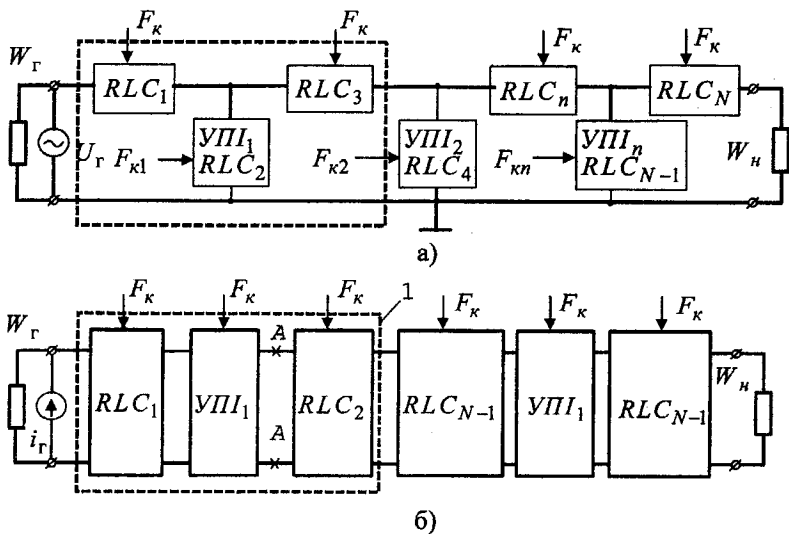


Рис. 1.3. Узагальнені структурні схеми ІІІ на основі УІІ

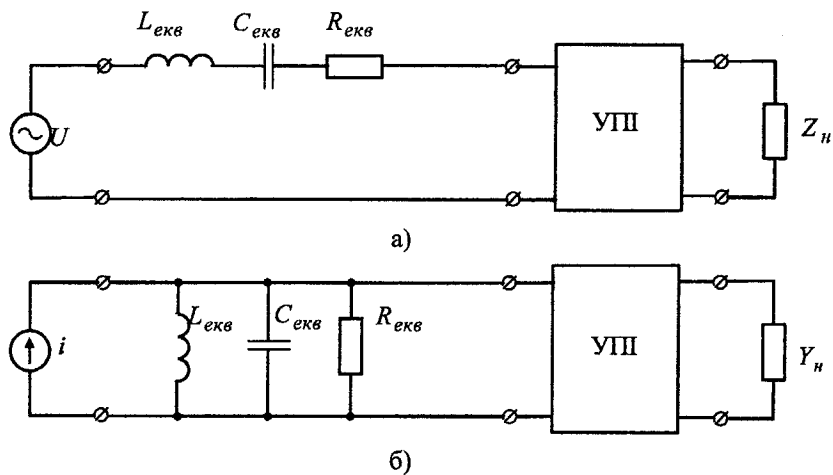


Рис. 1.4. Еквівалентні схеми елементарної ланки взаємного ІІІ:  
а) – послідовна, б) – паралельна

Дослідимо, як при цьому зміниться чутливість добротності  $Q_{\text{п.вз}}$  до зміни коефіцієнта компенсації втрат

$$V_{kl} = \text{Re}W^{(-)}/R_{ekb}, \quad (1.2)$$

що дорівнює відношенню параметра УП  $\text{Re}W^{(-)}$  (синтезований ДВО) і пасивного RLC кола  $-R_{ekb}$ .

Коло, що досліджується, має характеристичне рівняння передатної функції у вигляді

$$P_n^2 + P_n \left[ (1 - V_{kl})/Q_0 \right] + 1 = 0, \quad (1.3)$$

де  $P_n = P/\omega_0$ ,  $\omega_0 = 1/\sqrt{L_{ekb}C_{ekb}}$ .

Дане рівняння має корені

$$P = -(1 - V_{kl})/2Q_0 \pm \sqrt{(1 - V_{kl})^2/4Q_0^2 - 1}. \quad (1.4)$$

Елементарна ланка ПП, що аналізується, має другий порядок, тому добротність її дорівнює добротності комплексно-спряжених полюсів функції передачі [18]  $Q_{\text{п.вз}} = Q_0/(1 - V_{kl})$ .

Звідки чутливість добротності дорівнює

$$S_{V_{kl}}^{Q_{\text{п.вз}}} = -1/(1 - V_{kl}) = -Q_{\text{п.вз}}/Q_0 = -m, \quad (1.5)$$

де  $m$  – коефіцієнт збільшення добротності.

Коефіцієнт  $V_{kl}$  є функцією коефіцієнта перетворення УП. Наприклад, при використанні в якості УП узагальненого конвертора імітансу маємо  $V_{kl} = \text{Re}(T_k W_n)/R_{ekb}$ . З ростом коефіцієнта компенсації  $V_{kl}$  відбувається збільшення добротності  $Q_{\text{п.вз}}$ , але одночасно збільшується чутливість добротності до зміни параметра  $V_{kl}$ , який є функцією коефіцієнта перетворення  $T_k$ . Із (1.5) видно, що чутливість взаємного ПП залежить винятково від коефіцієнта збільшення добротності  $m$ . Для того, щоб одержати меншу чутливість добротності  $Q_{\text{п.вз}}$  взаємного ПП до зміни параметрів пасивних RLC кіл і УП, при заданому значенні добротності  $Q_{\text{п.вз}}$ , необхідно використовувати якомога більші значення

добротності  $Q_0$  пасивних еквівалентних RLC кіл. Даний висновок співпадає з результатами робіт [18, 23, 24], які присвячені дослідженням стабільності генераторів електромагнітних коливань.

Враховуючи, що характеристичне рівняння для паралельної еквівалентної схеми елементарної ланки взаємного ПП (рис. 1.4б), за умови  $V_{k2} = \operatorname{Re} W^{(-)} / G_{ekv}$ ,  $Q_0 = G_{ekv} / \sqrt{L_{ekv} / C_{ekv}}$ , аналогічно (2.3), всі одержані результати та висновки справедливі і для нього.

При реалізації ПП вигляді гібридної мікросхеми з напіленими RLC елементами, маємо  $Q_0 \approx 50$  [29]. Враховуючи, що прийнятні для практики значення  $Q_p$  дорівнюють  $100 \div 200$  одиниць [28], знаходимо  $m = 2 \div 4$ ,  $V_{kl} = 0,5 \div 0,75$ . В [21] рекомендовано при реалізації низькочастотних ПП використовувати  $m \leq 20$ , що відповідає  $V_{kl} \leq 0,95$ . Але, на нашу думку, дані рекомендації не прийнятні для використання в спеціальних ПП, які працюють в широкому температурному діапазоні ( $-60^\circ \div +80^\circ$  С). Цей висновок підтверджують результати експериментальних досліджень резонансного LC контуру, який використовує для компенсації дисипативних втрат вихідний імітанс УПГ<sup>6</sup> в режимі зворотного перетворення імітансу ємності  $C$ . В режимі, коли добротність контуру дорівнює 100 одиниць, і діапазоні температур  $\pm 60^\circ$  С маємо середнє значення  $S_v^{Q_f} = -2$  при  $Q_0 = 40$  і  $m = 2,5$ . Підвищення  $Q_p$  до величини 300 одиниць, шляхом збільшення струму емітера транзистора привело до збільшення чутливості до  $-8$  одиниць (теоретичне значення  $S_v^{Q_f} = -m = -7,5$ ).

### 1.3. Аналіз стійкості взаємних інформаційних пристройв

З метою оцінки граничних умов забезпечення стійкості взаємних ПП скористуємося характеристичним рівнянням (1.3). Виходячи з загальної теорії стійкості Ляпунова [30], кола (рис. 1.4) стійкі, якщо дійсні частини коренів характеристичного рівняння (1.3) будуть від'ємними.

З (1.4) випливає, що елементарна ланка взаємного ПП буде стійка в випадку, коли

$$V_k < 1. \quad (1.6)$$

Якщо  $(1 - V_k) / Q_0 > 1$ , корні  $P_{kl}$  і  $P_{k2}$  характеристичного рівняння (1.3) будуть дійсними і від'ємними, і схеми (рис. 1.4) можуть працювати в якості демодуляторів і синтезаторів частоти з підсиленням. Якщо

$$(1 - V_k) / Q_0 < 0, \quad (1.7)$$

корені рівняння (1.3)  $P_{\kappa 1}$  і  $P_{\kappa 2}$  – комплексні числа з від'ємною дійсною частиною і в схемі (рис. 1.4) буде мати місце затухаючий коливальний процес, що дозволяє використовувати її в фільтрах, лініях затримки та вимірювачах.

З урахуванням (1.6) і (1.7) загальна умова забезпечення стійкості роботи елементарного кола взаємного ПІ має вигляд

$$1 > V_{\kappa 1} > (1 - 2Q_0). \quad (1.8)$$

Права частина цієї нерівності практично завжди виконується, оскільки  $Q_0 > 0,5$ , а ліва частина виконується як для УПІ стійкий до режиму КЗ, так і до режиму ХХ, за винятком таких параметрів елементів кола, коли ці режими спостерігаються.

Визначимо інваріантний коефіцієнт стійкості УПІ  $K_{c_{\text{вн}}}$ , необхідний для одержання потрібної добротності  $Q_{\text{п.вз}}$  елементарної ланки взаємного ПІ. У випадку опису цієї ланки паралельною еквівалентною схемою (рис. 1.4б), дана добротність дорівнює

$$Q_{\text{п.вз}} = 1 / \rho_{e_{\text{кв}}} (G_{e_{\text{кв}}} - \operatorname{Re} Y_{ex}^{(-)}), \quad (1.9)$$

де  $\rho_{e_{\text{кв}}}$  – еквівалентний хвилевий опір кола, яке досліджується.

При прямому перетворенні оптимальної провідності [26]

$$\operatorname{Im} W_{\text{opt}} = \frac{\operatorname{Re} Y_{11} |Y_{12} Y_{21}| - \operatorname{Re} (Y_{12} Y_{21})}{\operatorname{Im} (Y_{12} Y_{21})} - \operatorname{Im} Y_{22},$$

де  $Y_{11}$ ,  $Y_{21}$ ,  $Y_{12}$ ,  $Y_{22}$  – параметри матриці провідності УПІ, дійсна складова перетвореної провідності дорівнює

$$\operatorname{Re} W_{\max ex}^{(-)} = |W_{12} W_{21}| (1 - K_{c_{\text{вн}}}) / 2 \operatorname{Re} W_{22}. \quad (1.10)$$

Враховуючи, що інваріантний коефіцієнт стійкості  $K_{c_{\text{вн}}}$  пов'язаний з  $Y$ -параметрами чотирисимволника співвідношенням [26]

$$K_{c_{\text{вн}}} = \frac{[\operatorname{Re} Y_{11} \operatorname{Re} Y_{22} - \operatorname{Re} (Y_{12} Y_{21})]}{|Y_{12} Y_{21}|}. \quad (1.11)$$

Розв'язуючи систему рівнянь (1.9)–(1.11) відносно  $K_{c_{\text{вн}}}$ , одержимо

$$K_{c_{\text{сн}}}^{\kappa}(Y_{ex}) = 1 - \frac{2(Q_{\text{п.вз}} - Q_0)}{Q_0 Q_{\text{п.вз}} \rho_{ekv}} \frac{\text{Re} Y_{22}}{|Y_{12} Y_{21}|} = - \frac{2(m-1) \text{Re} Y_{22}}{Q_{\text{п.вз}} \rho_{ekv} |Y_{12} Y_{21}|}. \quad (1.12)$$

З (1.12) випливає, що в режимі компенсації ( $Q_{\text{п.вз}} > Q_0$ ) інваріантний коефіцієнт стійкості УПІ повинен бути завжди менше одиниці, тобто  $K_{c_{\text{сн}}}^{\kappa}(Q_{\text{п.вз}} > Q_0) < 1$ .

Знайдений вираз (1.12) дозволяє виконати порівняння значень потрібного інваріантного коефіцієнта стійкості при реалізації ПІ на основі різних видів УПІ.

Наприклад, знайдемо відношення значень інваріантних коефіцієнтів стійкості, необхідних для реалізації елементарної ланки взаємного ПІ з заданими  $\rho_{ekv}$  і  $Q_{\text{п.вз}}$  при використанні вхідних клем УПІ

$$K_{c_{\text{сн}}}^{\kappa}(Y_{ex}) \text{ і УПІ } K_{c_{\text{сн}}}^{\delta}(Y_{ex}).$$

З даною метою, використовуючи (1.12), запишемо

$$\frac{K_{c_{\text{сн}}}^{\kappa}(\text{Re} Y_{ex}) - 1}{K_{c_{\text{сн}}}^{\delta}(\text{Re} Y_{ex}) - 1} = \frac{\text{Re} Y_{22}^{\kappa}}{\text{Re} Y_{22}^{\delta}} \frac{|Y_{12}^{\delta} Y_{21}^{\delta}|}{|Y_{12}^{\kappa} Y_{21}^{\kappa}|}. \quad (1.13)$$

Підставляючи в (1.13) елементи матриць біполярного транзистора

$$\begin{vmatrix} i_{\kappa} \\ i_e \end{vmatrix} = \begin{vmatrix} \frac{Z_n + r_b}{Z_n \cdot r_b} & -\frac{1}{Z_n} & -\frac{1}{r_b} \\ \frac{(Z_n + r_b)(1-\alpha) - Z_n}{Z_n r_b(1-\alpha)} & \frac{Z_a(1+\alpha) + Z_n}{Z_n Z_a(1-\alpha)} & -\frac{r_b + \alpha Z_a}{r_b Z_a(1-\alpha)} \\ \frac{1}{r_b(1-\alpha)} & \frac{1}{Z_a(1-\alpha)} & \frac{Z_a + r_b}{Z_a r_b(1-\alpha)} \end{vmatrix} \cdot \begin{vmatrix} u_{\kappa} \\ u_e \end{vmatrix} \quad (1.14)$$

де  $Z_a = 1/j\omega C_{\kappa 1}$ ,  $Z_n = 1/j\omega C_{\kappa 2}$ ,  $Z_e = r_e/(1 + j\omega r_e C_e)$ ,  $r_b$  – омічний опір бази;  $C_{\kappa 1}$  і  $C_{\kappa 2}$  – активна та пасивні ємності колекторного переходу;  $\alpha$  – коефіцієнт передачі транзистора в схемі зі спільною базою, знаходимо  $K_{c_{\text{сн}}}^{\kappa}(Y_{ex})/K_{c_{\text{сн}}}^{\delta}(Y_{ex}) = 1$ , тобто потрібні значення інваріантних коефіцієнтів стійкості даних УПІ рівні,  $K_{c_{\text{сн}}}^{\kappa}(Y_{ex}) = K_{c_{\text{сн}}}^{\delta}(Y_{ex})$ .

Якщо для реалізації ПІ використовуються вихідні клеми УПІ, потрібне значення інваріантного коефіцієнта стійкості дорівнює [25]

$$K_{c\bar{v}n}(Y_{ex}) = 1 - \frac{2(m-1)\operatorname{Re} Y_{11}}{Q_{\text{п.вз}} \rho_{ek\theta} |Y_{12} Y_{21}|}. \quad (1.15)$$

Підставивши в (1.15) елементи матриць (1.14), знайдемо

$$[K_{c\bar{v}n}^{\kappa}(Y_{aux}) - 1] / [K_{c\bar{v}n}^{\delta}(Y_{aux}) - 1] = \omega_T C_{kl} r_{\delta} \ll 1.$$

Отже, при використанні вихідних клем УПІ для реалізації елементарної ланки взаємного ПП потрібно використовувати УПІ<sup>6</sup> з меншим значенням інваріантного коефіцієнта стійкості ніж у УПІ<sup>k</sup>.

Визначимо зв'язок між потрібним значенням інваріантного коефіцієнта стійкості УПІ в режимі компенсації і максимальної величини від'ємної дійсної провідності на клемах УПІ. Для випадку використання вихідної провідності УПІ

$$[K_{c\bar{v}n}(Y_{aux}) - 1] / \operatorname{Re} Y_{aux \max}^{(-)} = 2 \operatorname{Re} Y_{11} / |Y_{12} Y_{21}|. \quad (1.16)$$

Аналогічний вираз отримуємо при використанні вхідної провідності УПІ

$$[K_{c\bar{v}n}(Y_{ex}) - 1] / \operatorname{Re} Y_{ex \max}^{(-)} = 2 \operatorname{Re} Y_{22} / |Y_{12} Y_{21}|. \quad (1.17)$$

Поділивши (1.16) на (1.17) знайдемо формулу

$$\frac{K_{c\bar{v}n}(Y_{aux}) - 1}{K_{c\bar{v}n}(Y_{ex}) - 1} \frac{\operatorname{Re} Y_{ex \max}^{(-)}}{\operatorname{Re} Y_{aux \max}^{(-)}} = \frac{\operatorname{Re} Y_{11}}{\operatorname{Re} Y_{22}},$$

використовуючи яку, з урахуванням (1.29), одержуємо:  
для УПІ<sup>k</sup>

$$\frac{K_{c\bar{v}n}^{\kappa}(Y_{aux}^{\kappa}) - 1}{K_{c\bar{v}n}^{\kappa}(Y_{ex}^{\kappa}) - 1} \frac{\operatorname{Re} Y_{ex \max}^{\kappa(-)}}{\operatorname{Re} Y_{aux \max}^{\kappa(-)}} = 1, \quad (1.18)$$

для УПІ<sup>6</sup>

$$\frac{K_{c\eta}^{\delta}(Y_{ex}^{\delta}) - 1}{K_{c\eta}^{\delta}(Y_{ex}^{\delta}) - 1} \frac{\operatorname{Re} Y_{ex \max}^{\delta(-)}}{\operatorname{Re} Y_{ex \max}^{\delta(-)}} = \frac{1}{\omega_T r_b C_{kl}} \gg 1. \quad (1.19)$$

З (1.18) і (1.19) випливає, що при однакових значеннях  $\operatorname{Re} Y_{\max}^{(-)}$ , при використанні УП<sup>к</sup>, потрібні однакові значення  $K_{c\eta}$ , а при використанні УП<sup>б</sup> ці значення повинні відрізнятися в  $1/\omega_T r_b C_{kl}$  разів.

Встановимо зв'язок між інваріантним коефіцієнтом стійкості елементарної ланки взаємного ПП  $K_{cl}$ , і потрібним значенням інваріантного коефіцієнта стійкості УП  $K_{c\eta}$ . Розглядаючи дану елементарну ланку як чотириполюсник, навантажений з однієї сторони імітаном УП  $Y_{hl} = Y_{ex}$  (УП<sup>к</sup>) або  $Y_{hl} = Y_{eux}$  (УП<sup>б</sup>), а з іншої сторони – імітаном генератора  $G_{rl}$ , який враховує дисипативні втрати  $G_{ek\theta}$  в пасивних RLC елементах, тобто  $G_{rl} = 2\operatorname{Re} Y_r + G_{ek\theta}$ , на основі виразу [26]

$$K_c = [2\operatorname{Re}(W_{11} + W_r)\operatorname{Re}(W_{22} + W_h) - \operatorname{Re}(W_{12}W_{21})]/|W_{12}W_{21}|,$$

який визначає інваріантний коефіцієнт стійкості навантаженого чотириполюсника [26], знайдемо

$$K_{cl}(Y_{ex}) = 2\operatorname{Re} Y_{ex \max}^{(-)} / G_{rl} - 1 = 2/V'_k - 1 = (m+1)/(m-1), \quad (1.20)$$

де  $V'_k = \operatorname{Re} Y_{ex \max}^{(-)} / (2\operatorname{Re} Y_r + G_{ek\theta})$ .

Розв'язавши (1.20) і (1.12), визначимо

$$K_{cl}(Y_{ex}) = 2(m+1)\operatorname{Re} Y_{22} / Q_{\pi, \theta} \rho_{ek\theta} [1 - K_{c\eta}(Y_{ex})] |Y_{12}Y_{21}|. \quad (1.21)$$

Подібний вираз отримуємо і при використанні вихідного кола УП

$$K_{cl}(Y_{eux}) = 2(m+1)\operatorname{Re} Y_{11} / Q_{\pi, \theta} \rho_{ek\theta} [1 - K_{c\eta}(Y_{eux})] |Y_{12}Y_{21}|. \quad (1.22)$$

Порівнявши (1.21) і (1.22), з урахуванням елементів матриць (1.14), знайдемо

$$K_{cl}^k(Y_{ex}) = K_{cl}^k(Y_{eux}) = K_{cl}^{\delta}(Y_{ex}) < K_{cl}^{\delta}(Y_{eux}),$$

тобто елементарна ланка ІП, що використовує вихідну провідність УП<sup>6</sup>, має найбільшу стійкість.

Знайдені вирази і зроблені висновки справедливі також для випадку послідовної еквівалентної схеми елементарної ланки ІП при заміні індексів провідності на індекси опору.

#### 1.4. Аналіз шумів взаємних інформаційних пристройв

Ефективність ІП тим вище, чим ширше динамічний діапазон ІП. Нижня границя цього діапазону визначається шумовими властивостями ІП, кількісною мірою яких є коефіцієнт шуму.

Для оцінки шумових властивостей взаємних ІП на основі УП, представимо їх шумову еквівалентну схему у вигляді рис. 1.5а, яку в режимі малого сигналу можна вважати лінійною. Вона відповідає випадку реалізації малошумлячих взаємних ІП, коли в них використовуються тільки пасивні LC кола, а джерелами шумів є УП провідності генератора та навантаження.

За визначенням [31], коефіцієнт шуму такої схеми дорівнює

$$F_{\text{ш}} = P_{\text{ш}\Sigma} / P_{\text{шг}},$$

де  $P_{\text{ш}\Sigma}$  – сумарна потужність шумів, яка виділяється на навантаженні;

$P_{\text{шг}}$  – потужність шумів на навантаженні, обумовлена лише шумами опору джерела сигналу при нормальній температурі ( $T=300^\circ \text{K}$ ).

Для визначення коефіцієнта шуму взаємного ІП з одним УП віднесемо імітанс  $Z_{01e}$  до імітансу генератора  $W_g$ , а імітанс  $Z_{12e}$  до імітансу навантаження  $W_h$ . В даному випадку можна вважати, що всі генератори шумового струму включені паралельно і коефіцієнт шуму дорівнює [16]

$$F_{\text{ш}} = 1 + \bar{i}_{\text{ш1}}^2 / \bar{i}_{\text{шг}}^{2(*)} + \bar{i}_{\text{шh}}^{2(*)} / \bar{i}_{\text{шг}}^{2(*)}, \quad (1.23)$$

де  $\bar{i}_{\text{шг}}^2$  і  $\bar{i}_{\text{шh}}^2$  – середньоквадратичні значення шумових струмів генератора та навантаження з урахуванням приведення до їх імітансів, імітансів послідовних LC кіл.

В загальному випадку для находження сумарної інтенсивності шумів на виході взаємного ІП можна застосувати принцип суперпозиції [32], відповідності з яким вираз для коефіцієнта шуму взаємного ІП на основі УП можна представити у вигляді

$$F_{uu} = (1 + h_{aux}) / h'_r, \quad (1.24)$$

де  $h'_r$  і  $h_{aux}$  – інтенсивність шумів генератора і сумарна інтенсивність шумів на виході ПІ.

Вираз (1.23) і (1.24) можна застосовувати для розрахунку коефіцієнта шуму всіх видів взаємний ПІ на основі УПІ. Методику застосування цих виразів розглянемо на прикладі ПІ на основі УПІ<sup>K</sup> в режимі зворотного перетворення, в якому паралельні і послідовні кола являють ємності (рис. 1.5б). Данна схема може застосовуватися при аналізі шумових властивостей фільтрів, ліній затримки, пристройів кодування та комутаторів.

Еквівалентну шумову схему УПІ<sup>K</sup> при зворотному перетворенні індуктивної провідності  $\text{Im}Y_L$  представимо в вигляді рис. 1.5в.

На основі теореми про еквівалентний генератор, перетворимо схему (рис. 1.5г) до еквівалентного шумового двополюсника, зображеного на рис. 1.5д. На цій схемі середньоквадратичне значення шумового струму еквівалентного генератора становить

$$\bar{i}_{uu}^2 = \left( e_e^6 + e_b^2 \left| Z_{\delta p} / Z'_{\delta} \right|^2 + e_k^2 Z_{\delta p} / Z_{\kappa} \right) |Y_{aux}^K|^2. \quad (1.25)$$

Запишемо вираз для шумових струмів генератора та навантаження з урахуванням приведення до них опорів ємностей зв'язків  $C_{01}$  і  $C_{12}$  у вигляді:

$$\bar{i}_{ur}^{2(*)} = \bar{i}_{ur}^2 \text{Re}^2 Z_r / |Z_r|^2, \quad \text{де } |Z_r|^2 = \text{Re}^2 Z_r + (1/\omega C_{01})^2; \quad (1.26)$$

$$\bar{i}_{uh}^{2(*)} = \bar{i}_{uh}^2 \text{Re}^2 Z_h / |Z_h|^2, \quad \text{де } |Z_h|^2 = \text{Re}^2 Z_h + (1/\omega C_{12})^2. \quad (1.27)$$

Підставивши в (1.23) вирази (1.26)–(1.27) знайдемо

$$F_{uu} = 1 + \frac{\text{Re} Z_h (\text{Re}^2 Z_r + X_{C01}^2)}{\text{Re} Z_r (\text{Re}^2 Z_h + X_{C02}^2)} + N_{uu} \frac{|Y|^2 |Z_r|^2}{\text{Re} Z_r}, \quad (1.28)$$

де  $|Y|^2 = 1 / |Z_{aux}^K|^2 + \omega^2 C_1^2$ ;  $X_{C01} = 1/\omega C_{01}$ ;  $X_{C12} = 1/\omega C_{12}$ ;

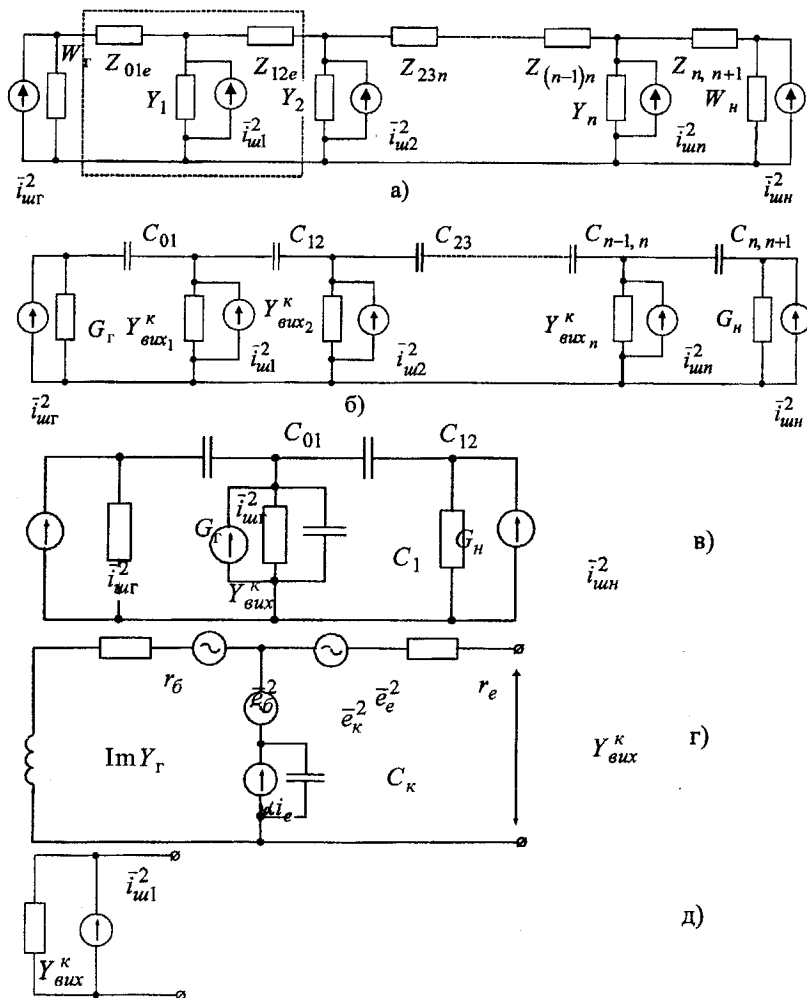


Рис. 1.5. Еквівалентні шумові схеми взаємних ІП і їх елементів:  
 а) – узагальнена; б) – з ємнісними зв'язками, що використовує УПК;  
 в) – елементарної ланки; г) – повна для УПК; д) – приведена для УПК.  
 На схемі:  $\bar{i}_{u1}^2$ ,  $\bar{i}_{un}^2$  – середньоквадратичні значення шумових струмів компенсуючих двополюсників;  $\bar{e}_e^2$ ,  $\bar{e}_\beta^2$  і  $\bar{e}_k^2$  – середньоквадратичні ЕРС шуму емітера, бази і колектора

$$N_{\text{ш}} = \frac{r_e}{2} + r_6 \left| \frac{Z_{\delta p}}{Z'_6} \right| + \frac{\alpha_0(1-\alpha_0) |Z_{\delta p}|^2 [1 + \Omega_T^2 / 1 - \alpha_0]}{2r_e (1 + \Omega_T^2)}.$$

Як випливає з (1.28), коефіцієнт шуму взаємного ПП, який використовує один УПП<sup>K</sup>, залежить як від параметрів УПП, так і від параметрів пасивних елементів схеми. Зі збільшенням зв'язку УПП з генератором ( $X_{C01} \rightarrow 0$ ) і зменшенням зв'язку з навантаженням ( $X_{C12} \rightarrow \infty$ ), коефіцієнт шуму взаємного ПП прямує до величини

$F_{\text{ш min}} = 1 + N_{\text{ш}} |Y|^2 \operatorname{Re} Z_r$ . Наприклад, у випадку використання УПП<sup>K</sup> на транзисторі типу КТ317А ( $r_e = 5$  Ом,  $r_6 = 5$  Ом,  $\alpha_0 = 0,985$ ,  $C_K = 1$  пФ,  $f_T = 3$  ГГц), величина  $F_{\text{ш min}}$  на частоті 0,6 ГГц дорівнює 3,2 дБ. При реалізації взаємного ПП з смugoю пропускання  $\Delta f = 8$  МГц і смністю зв'язку  $C_{01} = 1$  пФ маємо  $F_{\text{ш}} = 6$  дБ. Подальше зменшення зв'язку призводить до росту  $F_{\text{ш}}$ , але сприяє звуженню смуги пропускання.

У випадку використання УПП<sup>K</sup> при реалізації багатоланкового взаємного ПП, з урахуванням, що інтенсивність шумів УПП  $h_i$  зв'язана з середньоквадратичним значенням шумового струму  $i_{ui}^2$  співвідношенням [32]  $h_i(f) = \lim(\bar{i}_{ui}^2 / 4\Delta f \operatorname{Re} Y_{aux i}^K)$  для  $\Delta f > 0$ , одержуємо вираз для коефіцієнта шуму взаємного ПП у вигляді

$$\begin{aligned} F_{\text{ш}} = 1 + N_{\text{ш}} \left\{ \left( \operatorname{Im} Y_{aux}^K \operatorname{Re} Y_r \right)^2 \left[ 1 + \sum_{i=0}^{n-2} \left( \frac{C_{i,i+1}^{lb}}{C_{i+1,i+2}} \right)^2 \right] + \right. \\ \left. + \left( \frac{\operatorname{Im} Y_{aux}^K}{\omega C_{01}} \right)^2 \left[ 1 + \sum_{i=1}^{\psi} \left( \frac{C_{2i-1,2i}}{C_{2i,2i+1}} \right)^2 \right] \right\}, \end{aligned} \quad (1.29)$$

де  $C_{i,i+1}^e = C_{i,i+1}$  для  $i > 0$ ;

$\psi = (n-1)/2$ , якщо  $n$  – непарне;

$\psi = (n-3)/2$ , якщо  $n$  – парне;

$$C_{01}^e = C_{01} / \left[ 1 + (\omega_0 C_{01} \operatorname{Re} Y_r)^2 \right].$$

Наприклад, у випадку реалізації двоконтурного взаємного ПП з 2% смugoю пропускання і центральною частотою  $f_0 = 0,6$  ГГц, розраховане

за допомогою (1.29) значення  $F_u = 9,2$  ГГц, що співпадає з результатами, які одержані в [33] для дворезонаторного активного фільтра.

## 1.5. Синтез взаємних інформаційних пристройв

Метою синтезу ПП є визначення конфігурації та параметрів його кола, що забезпечують реалізацію заданих вимог. В залежності від призначения ПП ці вимоги різні, але загальним для всіх ПП є вимога забезпечення заданої кількості інформації на його виході. Враховуючи, що в розглянутих ПП носієм інформації є електромагнітні коливання, виникає задача реалізації заданої функції передачі спектра електромагнітних коливань, тобто кожний взаємний ПП можна розглядати як електричний фільтр, в основу їх синтезу покласти теорію синтезу фільтра, а синтез ПП розбити на дві частини: синтез пасивного фільтра-прототипу і синтез квазиактивного кола на основі УПП. Блок-схема алгоритму синтезу взаємного ПП представлена на рис. 1.6. Передатна функція сходової структури з заземленими з одного боку контурами виражається за допомогою дробів, а при вузькій смузі пропускання (запирання), характеристики робочого затухання такого кола можна розглядати як поліноміальні. Фільтри, розраховані шляхом заміни дробу на поліном, відносяться до квазиполіноміальних. Синтез пасивних фільтрів даного типу викладено в [34]. ПП, які синтезуються, утворюються пасивним фільтром-прототипом, до елементів якого (або замість них) підключаються входні або вихідні клеми УПП, а протилежні клеми навантажуються потрібним імітансом. Тому другою частиною синтезу ПП, після синтезу фільтру-прототипу, є синтез квазиактивного кола, що утворюється УПП і імітансом, який перетворюється. Процедура цієї частини синтезу складається з трьох етапів: вибір типу і параметрів УПП; функціональний синтез схеми імітансу, який перетворюється; параметричний синтез схеми імітансу, який перетворюється.

Вибір типу і параметрів УПП оснований на вимозі синтезу заданого характеру імітансу, забезпечення мінімального рівня шуму і заданого рівня насищення. При цьому враховується також конструктивні та технологічні вимоги. З цією метою використовуються розроблені в [25] таблиці перетворення імітансу. За їх допомогою вибираються можливі види УПП, а також характер імітансу, який перетворюється. Потім, виходячи з технологічних міркувань, рівня насищення та діапазону частот роботи ПП, вибирається тип транзистора. На основі його параметрів і математичної моделі УПП виконується розрахунок параметрів кола імітансу, який перетворюється. Наприклад, використання запропонованого алгоритму синтезу взаємних ПП розглянуто в табл. 1.1.

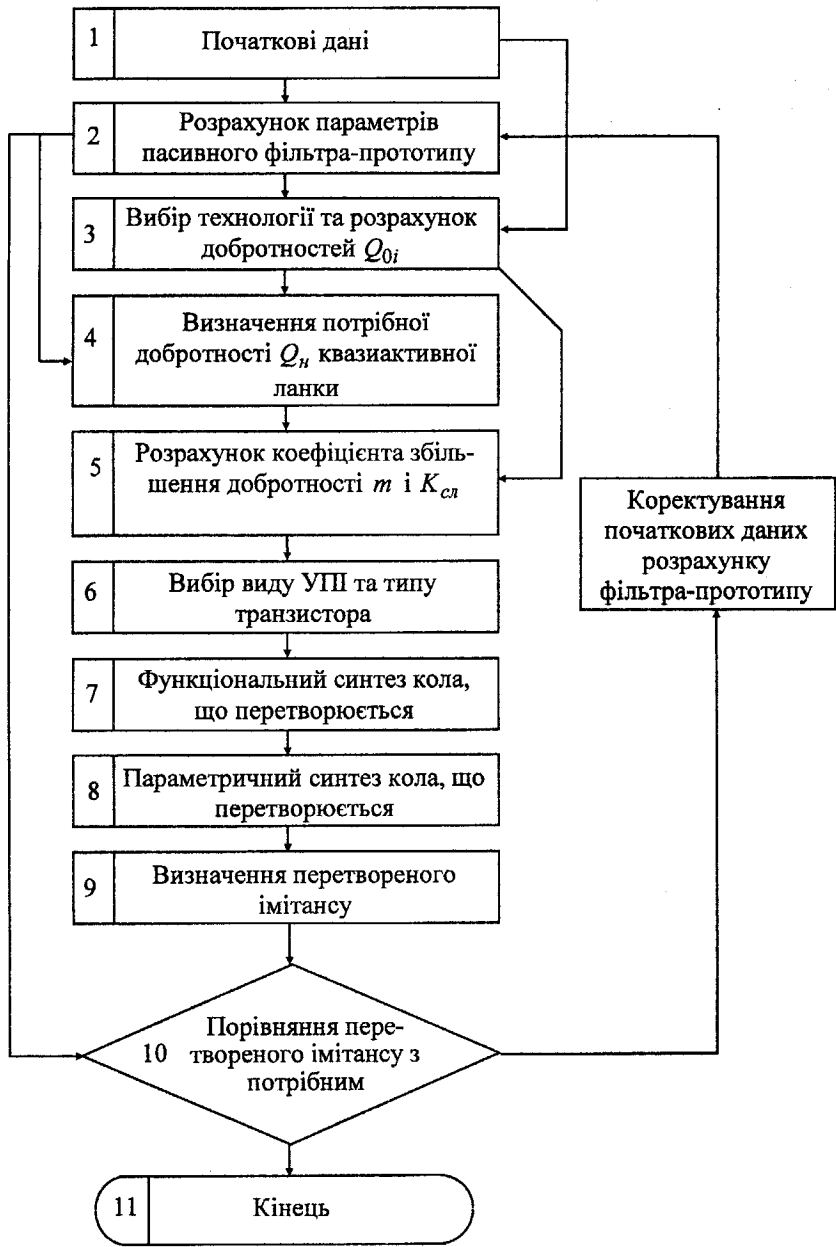


Рис. 1.6. Блок-схема алгоритму синтезу взаємних ІП

Одним з недоліків багатоланкових ІП є їх низька стабільність, пов'язана з використанням в них декількох УПІ, які, як правило, неідентичні і в різній мірі піддаються впливу дестабілізуючих факторів. В результаті УПІ мають різну крутизну зміни параметрів під впливом дестабілізуючих факторів.

Характерним прикладом прояву цієї нестабільності є спотворення форми АЧХ синтезованого фільтра при зміні температури та потужності сигналу (рис. 1.8). Зменшити ці спотворення можна шляхом реалізації взаємних ІП на одному УПІ, що використовує імітанс, який перетворюється, складної сходової структури [37].

З аналізу, проведеного в [25] випливає, що УПІ перетворює імітанс сходової структури без зміни форми самої структури. Таким чином, якщо відомий перетворений імітанс, який при використанні елементарної ланки (рис. 1.5а) забезпечує потрібну форму АЧХ ІП, можна розрахувати імітанс, який після перетворення в УПІ забезпечував би аналогічну форму АЧХ. Приклад реалізації даної методики синтезу розглянуто в [36].

Таблиця 1.1

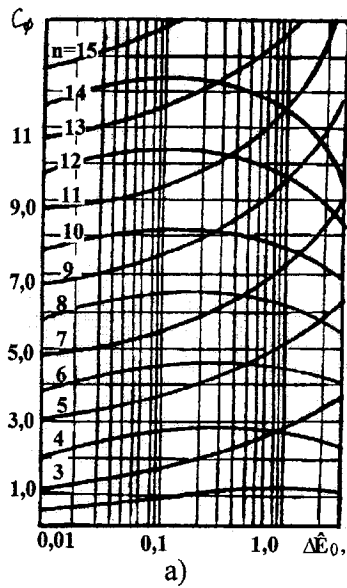
## Приклад синтезу взаємного ПП

| Найменування процедури  | Числовий результат   | Примітка  |
|---|--|-----------|
| Початкові дані  | $f_0 = 0,6 \text{ ГГц}$ , $\Delta f = 10 \text{ МГц}$<br>$\Delta K_0 = 1 \text{ дБ}$ , $K_0 = 0$<br>$K_c = 1,1$ , $Z_0 = 50 \text{ Ом}$<br>$K(f = f_0 \pm 20 \text{ МГц}) = -20 \text{ дБ}$ ,<br>$P_H < 10 \text{ мкВт}$ | [25]      |
| Розрахунок параметрів пасивного фільтра-прототипу                                   | $n = 2$ , $C_j = C_3 = C_4 = 15,37 \text{ пФ}$<br>$C_1 = C_5 = 1,85 \text{ пФ}$<br>$L_j = 4 \text{ нГн}$ , $C_3 = 0,58 \text{ пФ}$   | [28]      |
| Вибір технології і розрахунок добротностей  | Гібридна, плівкова<br>$Q_{0j} = 20$  | [29]      |
| Визначення потрібної добротності квазиактивного кола                                | $Q_{nj} = 297$   | Рис. 1.7а |
| Розрахунок коефіцієнта збільшення добротності і інваріантного коефіцієнта стійкості | $m = 14,35$<br>$K_c = 1,35$  | Рис. 1.7б |
| Вибір виду УП і типу транзистора  | УП <sup>к</sup><br>КТ354   |           |
| Функціональний синтез кола, яке перетворюється                                      | $Z_\Gamma = R_\Gamma + j\omega L_\Gamma$   |           |
| Параметричний синтез кола, яке перетворюється                                       | $R_\Gamma = 0$<br>$L_\Gamma = 11,8 \text{ нГн}$  |           |
| Визначення перетвореного імітансу   | $L_{aux}^k = 11,6 \text{ нГн}$<br>$\text{Re}Y_{aux}^k = 3,06 \cdot 10^{-3} \text{ Ом}^{-1}$  |           |

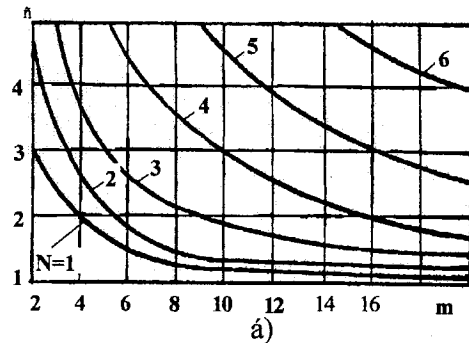
Продовження табл. 1.1

| Найменування процедури                        | Числовий результат       | Примітка  |
|---|--------------------------|---|
| Порівняння перетвореного імітансу з потрібним | $L_{\text{aux}}^k > L_j$ | Паралельно до виходу УПІ <sup>k</sup> потрібно включити додаткову індуктивність $L_o=6,1\text{nГн}$ |
| Кінець  |                          | Експериментальні результати представлені в [25]   |

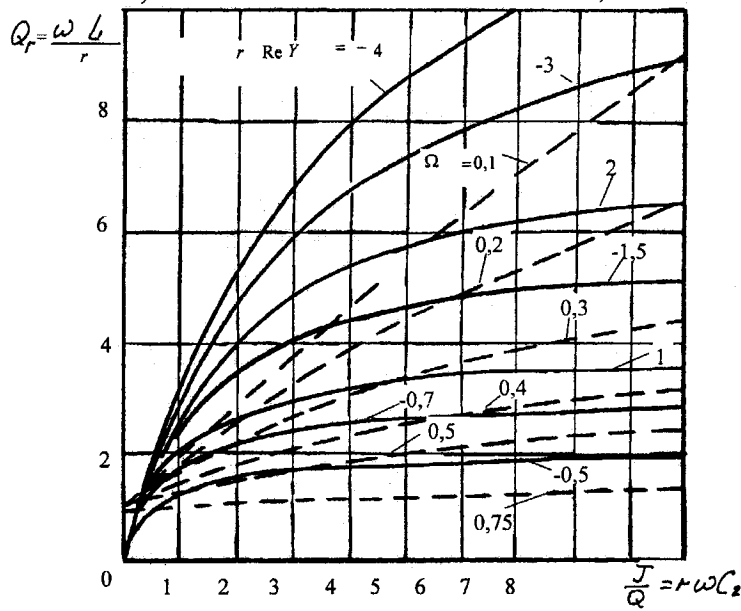
Примітка. Окрім використання номограми (рис. 1.7в), процедура параметричного синтезу може бути виконана з використанням або  $S$ -параметрів [35], або  $Y$  - параметрів [36] транзистора.



a)



a)



b)

Рис. 1.7. Номограми, що використовуються при синтезі взаємних ПП: а) – для визначення коефіцієнта  $C_\phi$ , б) – для визначення запасу стійкості, в) – для визначення  $O_r$

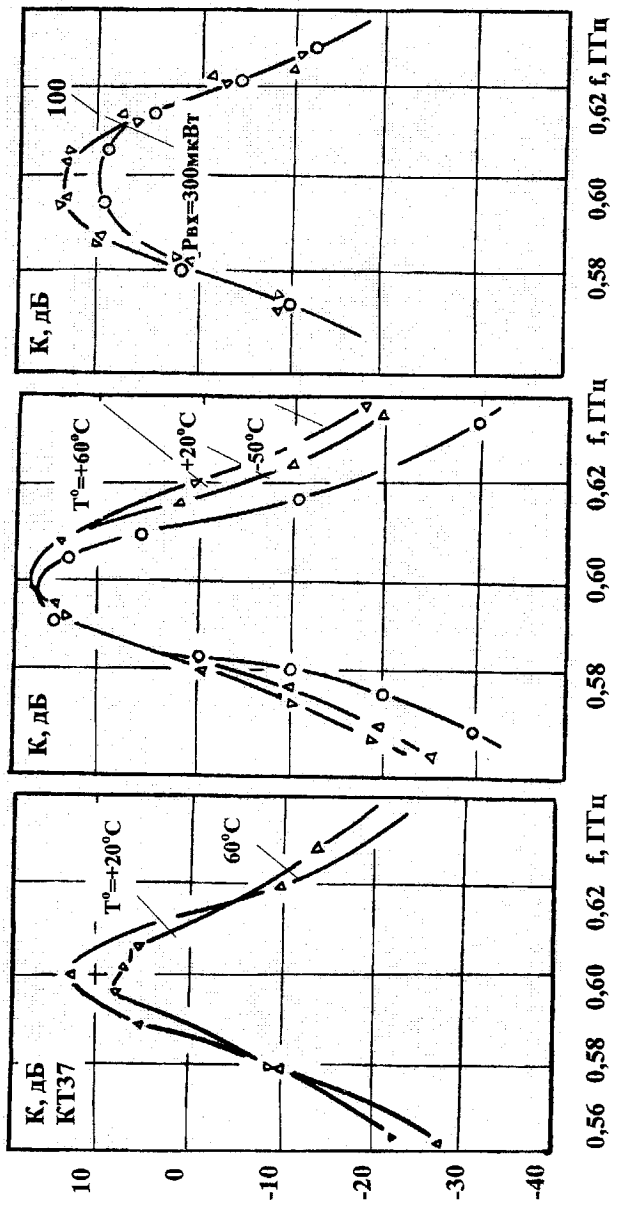


Рис. 1.8. Зміна амплітудно-частотних характеристик дворезонаторного (а) та однорезонаторного (б, в) АФ під впливом температури  $T$  і потужності сигналу  $P_{\text{вх}}$

## Перелік літератури до розділу 1

1. Кузьмин И.В., Кедрус В.А. Основы теории информации и кодирования. – К.: Вища школа, 1977. – 280 с.
2. Митропольский Ю.А., Молчанов А.А. Машинный анализ нелинейных резонансных цепей. – К.: Наукова думка, 1981. – 238с.
3. Речицкий В.И. Акустоэлектронные радиокомпоненты, элементы и устройства на поверхностных акустических волнах. М.: Сов. радио, 1980. – 264 с.
4. Солганик Б.Д., Невгасимый А.Ф., Скорик Е.Т. Оптоэлектронные СВЧ управляющие устройства. // Известия вузов СССР. Сер. Радиоэлектроника, 1978. – Т.21, №12, С. 88–91.
5. Стafeев B.H., Komаровских K.F., Fурсин Г.И. Нейристорные и другие функциональные схемы с объемной памятью. - M.: Radio и связь, 1981. – 112 с.
6. Кабанов Д.А. Функциональные устройства с распределенными параметрами. – M.: Сов. радио, 1976. – 64 с.
7. Федотов Я.А. Основы физики полупроводниковых приборов. – M.: Сов. радио, 1969. – 592 с.
8. Баев Е.Ф., Бурылин Е.И. Миниатюрные электрические линии задержки. – M.: Сов. радио, 1977. – 248 с.
9. Бова Н.Т., Стукало П.А., Храмов В.А. Управляющие устройства СВЧ. – К.: Техника, 1973. – 164 с.
10. Долгов В.А., Касаткин А.С., Сретенский В.Н. Радиоэлектронные АСК (системный анализ и методы реализации): Под ред. В.Н. Сретенского. – М.: Сов. радио, 1978. – 384 с.
11. Зарецкий М.М., Мовшович М.Е. Синтезаторы частоты с колышевой фазовой автоподстройкой. – Л.: Энергия, Ленингр. отд., 1974. – 254 с.
12. Захаров В.К. Электронные элементы автоматики. – Л.: Энергия, Ленингр. отд., 1975. – 336 с.
13. Николаев И.М., Филиньюк Н.А. Микроэлектронные устройства и основы их проектирования. – М.: Энергия, 1979. – 336 с.
14. Осадчук В.С., Филиньюк Н.А. Исследование высокочастотных свойств индуктивных транзисторов. – Диэлектрики и полупроводники.– К.: Вища школа, 1979. – Вып. 5, С. 33–35.
15. Первачев В.С. Радиоавтоматика. - М.: Радио и связь, 1982. – 296с.
16. СВЧ устройство на полупроводниковых диодах / Под ред. И.В. Мальского, Б.В. Сестрорецкого. – М.: Сов. радио, 1969. – 580с.

17. Удалов Н.П. Электронные устройства автоматики. – М.: Машиностроение, 1982. – 288 с.
18. Филановский И.М., Персианов А.Ю., Рыбин В.К. Схемы с преобразователями сопротивлений. Л.: Энергия, Ленингр. отд., 1973. – 192с.
19. Знаменский А.Е., Теплок И.П. Активные RC-фильтры. – М.: Связь, 1970. – 280 с.
20. Ионкин П.А., Миронов В.Г. Синтез RC-схем с активными неизаимными элементами. – М.: Энергия, 1976. – 240 с.
21. Маклюков М.И. Инженерный синтез активных RC фильтров низких и инфразвуковых частот. – М.: Энергия, 1971. – 184с.
22. Славский Г.Н Активные RC и RCL - фильтры и избирательные усилители. - М.: Связь, 1960. – 216 с.
23. Хейнлейн В.Е., Холмс В.Х. Активные фильтры для интегральных схем. – М.: Связь, 1980. – 656 с.
24. Бенинг Ф. Отрицательное сопротивление в электронных схемах. – М.: Сов. радио, 1975. – 288 с.
25. Филинок Н.А. Активные СВЧ фильтры. – М.: Радио и связь, 1987. – 112с.
26. Богачев В.М., Никифоров В.В. Транзисторные усилители мощности. – М.: Энергия, 1978. – 334 с.
27. Белецкий А.Ф. Теоретические основы электропроводной связи. – М.: Связьиздат, 1959. – 391 с.
28. Маттей Д.Л., Янг Л., Джонс Е.М.Т. Фильтры СВЧ, согласующие цепи и цепи связи: Пер. с англ. / Под ред. Л.В. Алексеева и Ф.В. Кушнира. – М.: Связь, 1971. – 240 с.
29. Малоракий Л.Г. Микроминиатюризация элементов и устройств СВЧ. – М.: Сов. радио, 1976. – 216 с.
30. Техническая кибернетика. Теория автоматического регулирования / Под ред. В.В. Соловникова. – М.: Машиностроение, 1967. – 768 с.
31. Белоусов А.П. Расчет коэффициента шума радиоприемников. – М.: Оборонгиз, 1959. – 184 с.
32. Айбиндер И.М. Шумы радиоприемников. -М.: Связь, 1974. – 328с.
33. Adams D.K., Ho R.Y.C. Active filter for UHF and microwave frequencies; – IEEE transactions on microwave theory and techniques; 1969. – V.M.TT-17, N9. – P. 662-670.
34. Знаменский А.Е., Попов Е.С. Перестраиваемые электрические фильтры. – М.: Связь, 1979. – 128 с.

35. Филинюк Н.А. Определение параметров транзисторного аналого индуктивности на основании S параметров транзистора. // Радиоизмерения: Доклады VI республ. научн.-техн. конф. – Каунас, 1975. – Т.3. – С. 28.

36. Филинюк Н.А. Синтез активных СВЧ фильтров на основе однотранзисторных преобразователей импеданса. // СВЧ элементы и узлы радиоприемных устройств: Тез. докл. Всесоюzn. научн.-техн. семинара. – М.: 1981. – С. 6.

37. Филинюк Н.А. Активные СВЧ фильтры на основе обобщенных преобразователей имmittанса. // Радиотехника и электроника, 1983. – Т.8, №5. – С. 817–833.

## РОЗДІЛ 2

# АНАЛІЗ І СИНТЕЗ НЕВЗАЄМНИХ ІНФОРМАЦІЙНИХ ПРИСТРОЇВ

### 2.1. Визначення чутливості невзаємних інформаційних пристрів

Структурна схема невзаємного ПП зображена на рис. 1.3б. Проведено аналіз чутливості елементарної ланки 1 невзаємного ПП, що складається з УПП, на виході та вході якого включені пасивні RLC кола, включаючи імітанси генератора  $W_g$  і навантаження  $W_h$ . Висока ефективність невзаємного ПП, також як і взаємного, досягається в результаті зміщення полюсів функції передачі даного пристрою до осі ординат. Це веде до збільшення частотної вибірковості, "якості" і чутливості відповідних видів ПП (фільтрів, елементів керування, вимірювачів). Оцінимо чутливість потрібної добротності  $Q_{ph}$  даної ланки до зміни її параметрів. При аналізі будемо використовувати позначення та визначення дані в підрозділі 1.2 при аналізі чутливості взаємних ПП.

З цією метою представимо еквівалентну схему кола, розміщеного зліва від точок АА (рис. 1.3б), у вигляді еквівалентного генератора  $i_{req}$  з еквівалентною провідністю  $Y_{req}$ , яка є результатом зворотного перетворення УПП імітансів генератора  $W_g$  і пасивного  $RLC_1$  кола. Приведено імітанси пасивного  $RLC_2$  кола та навантаження  $W_h$  до точок АА в вигляді провідності  $Y_{hreq}$ . В результаті отримаємо еквівалентну схему елементарної ланки невзаємного ПП у вигляді рис. 2.1. Враховуючи, що в реальних ПП дисипативні втрати в  $RLC_2$  колі значно менше, ніж в імітансі навантаження, характеристичне рівняння елементарної ланки невзаємного ПП, на підставі рис. 2.1, має вигляд

$$P_h^2 + P_h \left[ (1 - V_{k2}) / Q_{0h} \right] + 1 = 0, \quad (2.1)$$

де  $V_{k2} = \operatorname{Re} Y_{req}^{(-)} / \operatorname{Re} Y_{hreq}$  – коефіцієнт компенсації втрат, який є інтегральною характеристикою параметрів елементів ланки ПП, яка аналізується;

$Q_{0h} = \operatorname{Re} Y_{hreq} \sqrt{L_{req} C_{req}}$  – власна добротність елементарної ланки невзаємного ПП, при відсутності компенсації дисипативних втрат;

$L_{req}$  і  $C_{req}$  – еквівалентні індуктивність і ємність імітансу, що перетворюється, та пасивного  $RLC_2$  кола.

З порівняння (2.1) з (2.3) видно, що вони подібні. Це дозволяє поширити висновки, зроблені в § 1.2, на аналіз чутливості елементарної ланки невзаємного ПП і записати

$$S_{V_{k2}}^{\mathcal{Q}_{\text{пп}}} = -1/(1 - V_{k2}) = -Q_{\text{пп}}/Q_{0n} = -m \quad (2.2)$$

З (2.2) випливає, що чутливість добротності невзаємного ПП залежить винятково від коефіцієнта збільшення добротності  $m$ .

Для того, щоб одержати меншу чутливість добротності  $Q_{\text{пп}}$  невзаємного ПП до зміни параметрів пасивних RLC кіл і УПП при заданому значенні добротності  $Q_{\text{пп}}$ , необхідно використовувати якомога більші значення добротності пасивних RLC кіл. Це є однією з основних причин рекомендації виконувати ПП у вигляді гібридної мікросхеми на підкладинках типу СТ-38-1, СТ-32-1 і інших, які мають  $\operatorname{tg}\delta \geq 10^{-3}$  і дозволяють реалізувати LC кола з  $Q_0 \approx 50$  [1], що відповідає  $Q_{\text{пп}} = 100 \div 200$  одиниць при  $S_{V_{k2}}^{\mathcal{Q}_{\text{пп}}} = -(2 \div 4)$ .

## 2.2. Аналіз стійкості невзаємних інформаційних пристройів

Можлива (або потрібна) нестійкість невзаємних ПП зумовлена потенційною нестійкістю УПП, коли його інваріантний коефіцієнт стійкості  $K_{c_{\text{пп}}} < 1$ . Для характеристики його стійкості скористуємося виразом для інваріантного коефіцієнта стійкості ПП у формі [2]:

$$K_c = [2 \operatorname{Re}(W_{11} + W_r) \operatorname{Re}(W_{22} + W_n) - \operatorname{Re}(W_{12} W_{21})] / |W_{12} W_{21}|. \quad (2.3)$$

Визначимо цей коефіцієнт через параметри невзаємного ПП.

Використовуючи припущення підрозділі 2.1, на підставі (2.1) запишемо вираз для потрібної добротності невзаємного ПП у вигляді

$$Q_{\text{пп}} = 1 / [\rho_{ekb} (\operatorname{Re} Y_{nek} + \operatorname{Re} Y_{ekb})], \quad (2.4)$$

де  $\rho_{ekb} = \sqrt{\operatorname{Im} Y_{ekb} / \operatorname{Im} Y_{nek}}$  – еквівалентний хвильовий опір невзаємного ПП.

Максимальне значення потрібної добротності  $Q_{\text{пп}}^{\max}$  відповідає мінімальному значенню  $\operatorname{Re} Y_{ekb}$ , яке визначається (1.10). Перетворивши

(2.4) і (1.10) з врахуванням (2.3), знайдемо вираз для інваріантного коефіцієнта стійкості невзаємного ПП

$$K_{c(H)} = 1 + 2 \operatorname{Re}(Y_{11} + Y_r) / Q_{ph}^{\max} \rho_{ekb} |Y_{12} Y_{21}|. \quad (2.5)$$

З (2.5) випливає, що з ростом потрібної добротності  $Q_{ph}^{\max} \rightarrow \infty$ ,  $K_{c(H)} \rightarrow 1$  (рис. 2.2). Підвищити стійкість можна шляхом побудови ПП з малим еквівалентним хвильовим опором  $\rho_{ekb}$ . До збільшення стійкості приводить також підвищення дійсної складової провідності генератора  $\operatorname{Re}Y_r$ . Для більшості ПП ця провідність визначається стандартним значенням опору передачі, рівного для мікросмугових ліній 50 Ом (відповідно  $\operatorname{Re}Y_r = 0,02 \text{ Ом}^{-1}$ ) або опором датчика, що включається на вході УПП.

Враховуючи, що  $Q_{ph}$  залежить від  $\operatorname{Re}Y_r$ , з (2.5) випливає, що стійкість невзаємного ПП зростає при збільшенні дійсної частини провідності навантаження  $\operatorname{Re}Y_r$ . З цією метою рекомендується [3, 4] між джерелом сигналу і ПП, і між ПП і навантаженням включати трансформатор імітанса з дійсним коефіцієнтом трансформації, рівним відповідно  $n_t$  і  $m_t$ . Величина цих коефіцієнтів знаходиться шляхом розв'язання (2.4) і (2.5).

Включення трансформатора імітансу на вході ПП може привести до збільшення його коефіцієнта шуму. Тому перевагу слід віддавати включенню трансформаторів імітансу на виході ПП. Внаслідок реальної частотної залежності коефіцієнтів трансформації  $n_t$  і  $m_t$ , їх застосування найбільш ефективно у вузькосмугових ПП.

Підвищити коефіцієнт стійкості невзаємних ПП можна шляхом вибору відповідного виду УПП. З даною метою, для порівняння різних видів УПП, введемо поняття максимального коефіцієнта стійкості невзаємного ПП  $K_{ch}^{\max}$ .

Максимальним коефіцієнтом стійкості невзаємного ПП назовемо коефіцієнт, який реалізується при нульовому значенні дійсної складової піретвореної провідності на вході УПП, тобто

$$\operatorname{Re}Y_{ekb} = 0. \quad (2.6)$$

Розв'язавши (1.10), з урахуванням (2.6) відносно  $\operatorname{Re}(Y_{11} + Y_r)$  і, підставивши одержаний розв'язок в (2.5), знайдемо

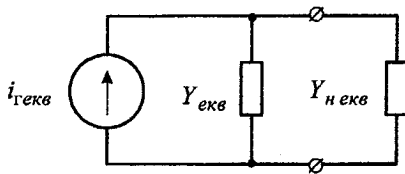
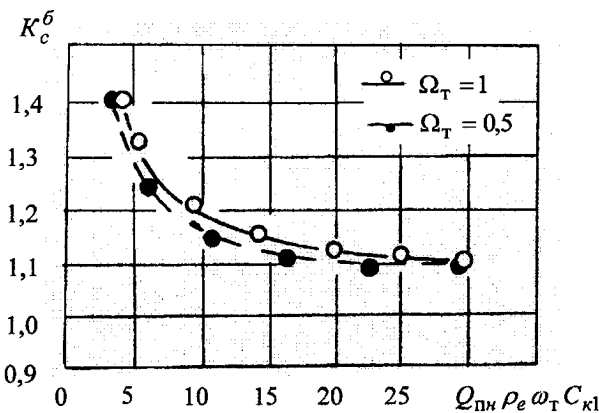
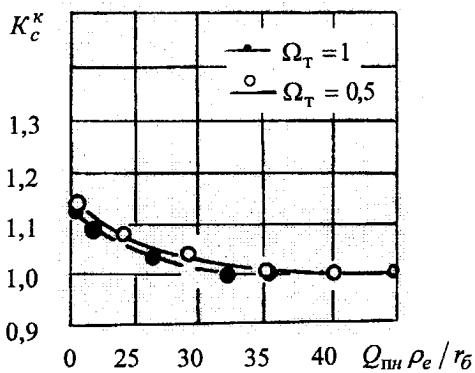


Рис. 2.1. Еквівалентна схема елементарної ланки невзаємного ПІ на основі УПІ



a)



б)

Рис. 2.2. Залежність інваріантного коефіцієнта стійкості елементарної ланки невзаємного ПІ від його параметрів для різних видів УПІ

$$K_{c(H)}^{\max} = 1 + \left[ |Y_{12}Y_{21}| + \operatorname{Re}(Y_{12}Y_{21}) \right] / Q_{\text{пн}} \rho_{eke} |Y_{12}Y_{21}| \operatorname{Re} Y_{22}. \quad (2.7)$$

Підставивши в (2.7) елементи матриці провідності біполярного транзистора (1.14) та елементи матриці провідності польового транзистора [5].

$$\begin{vmatrix} i_2 \\ i_c \\ i_s \end{vmatrix} = \begin{vmatrix} \frac{\Omega_s^2}{R_i} - j \frac{\Omega_s}{R_i} & -j \frac{\Omega_s \xi_3}{R_i} & \frac{\Omega_s^2}{R_i} - j \frac{\Omega_s}{R_i} \\ S_0 - jS_0 & G + & -S_0 + \\ -(\Omega_s^2 + S_0 R_i)/R_i - & -G + & (\Omega_s^2 + S_0 R_i)/R_i + \\ -j\Omega_s(1 - S_0 R_i)/R_i & +j\Omega_s \xi_e/R_i & +\Omega_s(1 - S_0 R_i + \xi_e)/R_i \end{vmatrix} \cdot \begin{vmatrix} u_3 \\ u_c \\ u_e \end{vmatrix}, \quad (2.8)$$

де  $\Omega = \omega/\omega_s$ ,  $\omega_s = 1/R_e C_{e3}$ ,  $\xi_3 = C_{e3}/C_{c3}$ ,  $\xi_e = C_{e3}/C_{c3}$ ,  $\omega_s$  – гранична частота за крутизною польового транзистора,  $C_{c3}$  – ємність "стік-затвор" і  $C_{e3}$  – ємність "витік-затвор";  $R_i$  – диференційний опір між затвором і витоком частини каналу, що не перекривається,  $S_0$  – низькочастотне значення крутизни, знайдемо максимальні інваріантні коефіцієнти стійкості невзаємних ПП при використанні, відповідно, УПП<sup>к</sup> ( $K_{c(H)}^{k\max}$ ), УПП<sup>б</sup> ( $K_{c(H)}^{b\max}$ ), УПП<sup>с</sup> ( $K_{c(H)}^{c\max}$ ), УПП<sup>а</sup> ( $K_{c(H)}^{a\max}$ ) і УПП<sup>з</sup> ( $K_{c(H)}^{z\max}$ ).

$$K_{c(H)}^{k\max} = 1 + \frac{r_6 \left( \Omega_T + \sqrt{1 + \Omega_T^2} \right)}{Q_{\text{пн}} \rho_{eke} \sqrt{1 + \Omega_T^2}}; \quad (2.9)$$

$$K_{c(H)}^{b\max} = 1 + \frac{\Omega_T + \sqrt{1 + \Omega_T^2}}{Q_{\text{пн}} \rho_{eke} \omega_T C_{k1} \sqrt{1 + \Omega_T^2}}; \quad (2.10)$$

$$K_{c(H)}^{c\max} = 1 + \frac{R_i \left( \Omega_s + \sqrt{1 + 2\Omega_s^2} \right)}{Q_{\text{пн}} \rho_{eke} \left( \Omega_s^2 + S_0 R_e \sqrt{1 + 2\Omega_s^2} \right)}; \quad (2.11)$$

$$K_{c(h)}^{\sigma \max} = 1 + \frac{2(2GR_s + \Omega_s \xi_s)}{Q_{\text{пн}} \rho_{\text{екв}} G(GR_s + \Omega_s \xi_s)}; \quad (2.12)$$

$$K_{c(h)}^{z \max} = 1 + \frac{\sqrt{1 + \Omega_s^2} - \Omega_s^2}{Q_{\text{пн}} \rho_{\text{екв}} \sqrt{1 + \Omega_s^2}}. \quad (2.13)$$

Порівнявши (2.9) з (2.10) на частотах, де для біполярних транзисторів виконується нерівність  $\Omega_t^2 \ll 1$ , знайдемо

$$\left( K_{c(h)}^{\kappa \max} - 1 \right) / \left( K_{c(h)}^{\delta \max} - 1 \right) \approx r_b C_{kl} \omega_T \ll 1. \quad (2.14)$$

Для сучасних біполярних транзисторів справедлива умова  $r_b C_{kl} \omega_T \ll 1$ , у відповідності з якою з (2.13) випливає, що невзаємні ПП на основі УП<sup>к</sup> мають в  $1/r_b C_{kl} \omega_T$  разів менший запас максимальної стійкості ніж аналогічні ПП на основі УП<sup>б</sup>. Але при цьому потрібно враховувати, що максимальна величина ДВО, яка синтезується за допомогою УП<sup>б</sup>, менше максимальної величини ДВО, що синтезується за допомогою УП<sup>к</sup>.

Порівнявши (2.11) з (2.13) на частотах, де для польових транзисторів виконуються нерівності  $\Omega_s^2 \ll 1$  і  $\Omega_t^2 \ll S_0 R_i$ , знайдемо  $\left( K_{c(h)}^{\sigma \max} - 1 \right) / \left( K_{c(h)}^{z \max} - 1 \right) \approx S_0 / G > 1$ .

Таким чином, найбільший запас максимальної стійкості мають ПП на основі УП<sup>б</sup> і УП<sup>в</sup>. Взявши співвідношення (2.12) до (2.11), після перетворень для діапазону частот, де  $\Omega < 1$ , знайдемо  $\left( K_{c(h)}^{\sigma \max} - 1 \right) / \left( K_{c(h)}^{\delta \max} - 1 \right) \approx \omega_T C_{kl} / G$ , тобто  $K_{c(h)}^{\sigma} < K_{c(h)}^{\delta}$ . Таким чином найбільший запас максимальної стійкості мають ПП, які реалізовані на основі УП<sup>б</sup>.

### 2.3. Аналіз шумів невзаємних інформаційних пристройв

Структурна схема (рис. 1.3б) невзаємних ПП, що розглядаються, утворена каскадним з'єднанням УП і пасивних RLC кіл. Шумові властивості таких кіл детально досліджені в роботах [6–10]. Але в більшості досліджень нехтується зворотним зв'язком активного чотириполюсника ( $W_{12} = 0$ ), що дозволяє знехтувати впливом імітансу, що підключається до його виходу, на коефіцієнт шуму кола, який розглядається.

Але в реальних колах, особливо в НВЧ діапазоні, це припущення некоректне. Тим більше воно не може бути застосовано до даного класу ІІІ, принцип дії яких базується на використанні зворотного зв'язку ( $W_{12} \neq 0$ ) в багатоелектродних напівпровідникових структурах.

Дослідимо залежність коефіцієнта шуму  $F_u$  невзаємних ІІ від імітанців генератора, навантаження і параметрів УП, а також визначимо умови, що необхідні для реалізації мінімального значення  $F_{u\min}$  коефіцієнта шуму ІІІ.

При аналізі будемо використовувати відомі положення з теорії шумів лінійних активних чотириполюсників:

- коефіцієнт шуму каскадного з'єднання лінійних чотириполюсників однозначно визначається через коефіцієнт шуму окремих каскадів [11, 12];

- шумові властивості лінійного чотириполюсника характеризуються шумами його внутрішніх генераторів, які є стаціонарними і ергодичними [10];

- будь-який лінійний шумлячий чотириполюсник може бути представлений неавтономним нешумлячим чотириполюсником з включеннями на його вході та виході генераторами шумового струму (ЕРС) [8];

- імітанси пасивних кіл, які включенні на вході та виході чотириполюсника, враховуючи імітанси генератора  $W_g$  та навантаження  $W_h$  можуть бути перераховані в площину вхідних і вихідних клем чотириполюсника [13].

З врахуванням цих положень, про шумові властивості ІІ можна робити висновки на підставі результатів дослідження елементарної ланки ІІ (рис. 2.1).

Наявність дисипативних втрат у вхідному  $RLC_1$  колі є причиною додаткових шумів невзаємного ІІ, які, при використанні (4 ÷ 8) елементарних LC кіл в дециметровому діапазоні частот, при плівковій технології виготовлення, досягають (8 ÷ 16) dB [11]. З метою зменшення коефіцієнта шуму ІІ рекомендується в якості вхідного  $RLC_1$  кола використовувати одноелементні L або С кола з максимальною добротністю. В цьому випадку, при постійній температурі всіх елементів невзаємного ІІ і безпосередньому підключення генератора сигналу до входу УП, коефіцієнт шуму невзаємного ІІ, на підставі формули К.А. Смогилева, одержаної для резонансних підсилювачів на трьохполюсниках [10], представимо виразом

$$F_{\text{ш}} = 1 + \frac{R_{\text{ш}} \operatorname{Re}^2(Y_{\text{ex}} + Y_{\Gamma}) + G_{\text{ш}} + 2\gamma_{\text{ш}} \operatorname{Re}(Y_{\text{ex}} + Y_{\Gamma})}{\operatorname{Re}Y_{\Gamma}} + \alpha_{\Gamma}^2 \frac{R_{\text{ш}\alpha} \operatorname{Re}^2(Y_{\text{ex}} + Y_{\Gamma})}{\operatorname{Re}Y_{\Gamma}} + \\ + 2\alpha_{\Gamma} \left[ \frac{\gamma_{\text{ш}\alpha} \operatorname{Re}(Y_{\text{ex}} + Y_{\Gamma}) + \gamma_{\text{ш}0\alpha} \operatorname{Re}(Y_{\text{ex}} + Y_{\Gamma})}{\operatorname{Re}Y_{\Gamma}} \right], \quad (2.15)$$

де  $\alpha_{\Gamma}$  – узагальнене розладнання вхідного кола,

$$\alpha_{\Gamma} = \operatorname{Im}(Y_{\text{ex}} + Y'_{\Gamma} + Y'_{RLC_1}) / \operatorname{Re}(Y_{\text{ex}} + Y'_{\Gamma} + Y'_{RLC_1});$$

$\operatorname{Re}Y_{\Gamma}$ ,  $\operatorname{Re}Y'_{\Gamma}$  – дійсні складові провідності генератора в площині клем генератора та входу УПІ відповідно;

$\operatorname{Re}Y_{RLC_1}$  – дійсна складова провідності  $RLC_1$  кола;

$R_{\text{ш}}$ ,  $G_{\text{ш}}$ ,  $\gamma_{\text{ш}}$ ,  $R_{\text{ш}\alpha}$ ,  $\gamma_{\text{ш}0\alpha}$ ,  $\gamma_{\text{ш}\alpha}$  – шумові параметри, визначені в [10], які залежать тільки від параметрів УПІ.

З (2.15) видно, що  $F_{\text{ш}}$  залежить не тільки від дійсної складової  $\operatorname{Re}(Y_{\text{ex}} + Y_{\Gamma})$ , але й від уявної частини сумарної провідності генератора  $Y_{\Gamma}$  і входу УПІ  $Y_{\text{вх}}$ , що характеризується узагальненим розладнанням  $\alpha_{\Gamma}$ .

При реалізації невзаємних ПІ можливе одне з двох значень цього коефіцієнта:  $\alpha_{\Gamma} = 0$ , що відповідає резонансу струмів у вхідному колі УПІ і знаходить застосування при реалізації фільтрів, ліній затримки, комутаторів, логічних пристрій;  $\alpha_{\Gamma} \neq 0$ , що відповідає позитивному та від'ємному розладнанню вхідного кола і використовується у вимірювальних перетворювачах. Визначимо умову реалізації мінімального значення коефіцієнта шуму при цих режимах.

При  $\alpha_{\Gamma} = 0$  вираз (2.15) приймає вигляд (2.16) в табл. 2.1.

Розв'язавши рівняння вигляду  $\partial F(\alpha_{\Gamma} = 0) / \partial \operatorname{Re}Y_{\text{ex}}$ , знайдемо оптимальне значення (2.17) дійсної частини  $\operatorname{Re}Y_{\text{ex opt}}$  вхідної провідності УПІ, при якому досягається мінімальнодосяжне значення коефіцієнта шуму, яке описується формулою (2.18).

При  $\alpha_{\Gamma} \neq 0$  найбільшу практичну цікавість являє таке розладнання

$$\alpha_{\Gamma opt} = -[\gamma_{\text{ш}\alpha} + \gamma_{\text{ш}0\alpha} \operatorname{Re}(Y_{\text{ex}} + Y_{\Gamma})] / R_{\text{ш}\alpha} \operatorname{Re}(Y_{\text{ex}} + Y_{\Gamma}),$$

при якому досягається мінімальне значення коефіцієнта шуму, рівне (2.19), де:

$$R'_{\text{ш}} = R_{\text{ш}} - \gamma_{\text{ш}0\alpha}^2 / R_{\text{ш}\alpha}, \quad G_{\text{ш}} = G_{\text{ш}} - \gamma_{\text{ш}\alpha}^2 / R_{\text{ш}\alpha}, \\ \gamma'_{\text{ш}} = \gamma_{\text{ш}} - \gamma_{\text{ш}\alpha} \gamma_{\text{ш}0\alpha} / R_{\text{ш}\alpha}. \quad (2.20)$$

Таблиця 2.1

Математична модель шумів невзаємних  
інформаційних пристрой

| Найменування параметра  | Розрахункова формула   | Номер формул |
|---|--|--------------|
| Режим нульового розладнання кола ( $\alpha_r = 0$ )                           |  |              |
| Коефіцієнт шуму   | $F_{uu}(\alpha_r = 0) = 1 + [G_{uu} + 2\gamma_{uu} \operatorname{Re}(Y_{ex} + Y_r) + R_{uu} \operatorname{Re}^2(Y_{ex} + Y_r)] / \operatorname{Re} Y_r$                  | (2.16)       |
| Оптимальне значення дійсної складової вхідної провідності УП                  | $\operatorname{Re} Y_{ex\ opt}(\alpha_r = 0) = -\operatorname{Re} Y_r - \gamma_{uu} / R_{uu}$  | (2.17)       |
| Мінімальнодосяжне значення коефіцієнта шуму                                   | $F_{uu\ min}(\alpha_r = 0) = 1 + \frac{G_{uu}}{\operatorname{Re} Y_r} - \frac{\gamma_{uu}^2}{R_{uu} \operatorname{Re} Y_r}$  | (2.18)       |
| Режим оптимального розладнання вхідного кола ( $\alpha_r = \alpha_{r\ opt}$ ) |  |              |
| Коефіцієнт шуму   | $F_{uu}(\alpha_r = \alpha_{r\ opt}) = 1 + [G'_{uu} + 2\gamma'_{uu} \operatorname{Re}(Y_{ex} + Y_r) + R'_{uu} \operatorname{Re}^2(Y_{ex} + Y_r)] / \operatorname{Re} Y_r$ | (2.19)       |
| Оптимальне значення дійсної складової вхідної провідності УП                  | $\operatorname{Re} Y_{ex\ opt}(\alpha_r = \alpha_{r\ opt}) = -\operatorname{Re} Y_r - \gamma'_{uu} / R'_{uu}$  | (2.20)       |
| Мінімальнодосяжне значення коефіцієнта шуму                                   | $F_{uu\ min}(\alpha_r = \alpha_{r\ opt}) = 1 + \frac{G'_{uu}}{\operatorname{Re} Y_r} - \frac{\gamma'^2_{uu}}{R'_{uu} \operatorname{Re} Y_r}$                             | (2.21)       |

Продовження табл. 2.1

| Найменування параметра   | Розрахункова формула  | Номер формулі |
|--|---|---------------|
| Режим розладнання вхідного імітансу УПІ з імітаном генератора ( $W_{ax} = W_r^*$ ) |   |               |
| Коефіцієнт шуму  | $F'_u(\alpha_r = 0) = 1 + [4 \operatorname{Re} Y_{0r} (\gamma_{uu} + R_{uu} \operatorname{Re} Y_{0r}) + G_{uu}] / \operatorname{Re} Y_{0r}$ | (2.25)        |
| Оптимальне значення дійсної складової вхідної провідності УПІ                      | $\operatorname{Re} Y'_{ax\ opt}(\alpha_r = 0) = (G_{uu} / 4R_{uu})^{1/2}$   | (2.26)        |
| Мінімальнодосяжне значення коефіцієнта шуму  | $F'_{u\ min}(\alpha_r = 0) = 1 + 4(\sqrt{R_{uu} G_{uu}} + \gamma_{uu})$   | (2.27)        |

Порівнявши (2.16) і (2.19), зробимо два важливих висновки:

1. Коефіцієнт шуму при оптимальному розладненні  $\alpha_{r\ opt}$  менше ніж при резонансі ( $\alpha_r = 0$ ) на величину

$$F_u(\alpha_r = 0) - F_u(\alpha_{r\ opt}) = [\gamma_{u0\alpha} \operatorname{Re}(Y_{ax} + Y_r) + \gamma_{u\alpha}]^2 / \operatorname{Re} Y_r R_{u\alpha}.$$

На факт зменшення коефіцієнта шуму резонансного активного кола при розладненні вперше звернули увагу С. Е. Фалькович і З. Н. Музика [11].

2. Коефіцієнт шуму при оптимальному розладненні ( $\alpha_r = \alpha_{r\ opt}$ ) і при резонансі ( $\alpha_r = 0$ ) описується подібними виразами, які відрізняються тільки значеннями шумових параметрів УПІ, що мають однозначний взаємозв'язок (2.20).

Другий висновок дозволяє записати вираз (2.21) для оптимального значення дійсної складової  $\operatorname{Re} Y_{ax\ opt}$  вхідної провідності УПІ при оптимальному розладненні, аналогічний (2.17), при якому досягається мі-

німальнодосяжне значення коефіцієнта шуму  $F_{u\min}(\alpha_r = \alpha_{r\text{opt}})$ , яке описується формулою (2.22).

Прирівнявши (2.17) до (2.21), з урахуванням (2.20) визначимо вимоги до шумових параметрів УП  $R_u = \gamma_u \gamma_{u0\alpha} / \gamma_{u0\alpha}$ , при яких на резонансній частоті вхідного кола досягається мінімальне значення коефіцієнта шуму

$$F_{u\min}(\alpha_{r\text{opt}} = 0) = 1 + G_u / \text{Re}Y_r - \gamma_u \gamma_{u0\alpha} / \gamma_{u0\alpha} \text{Re}Y_r. \quad (2.23)$$

Порівнюючи (2.18), (2.22) і (2.23), видно, що при будь-яких значеннях розладнання  $\alpha_r$  і при оптимальному значенні дійсної складової  $\text{Re}Y_{ex\text{ opt}}$  провідності вхідного кола, мінімальне значення коефіцієнта шуму  $F_{u\min}$  знижується з ростом дійсної складової  $\text{Re}Y_r$  провідності генератора  $Y_r$ .

Визначимо умови, при яких забезпечується мінімальний вплив дійсної складової УП на величину коефіцієнта шуму. З цією метою, враховуючи подібність виразів (2.16) і (2.18), (2.19) і (2.22), запишемо вираз для коефіцієнта шуму невзаємного ПІ у вигляді

$$F_u(\alpha_r = 0, \alpha_r = \alpha_{r\text{opt}}) = F_{u\min} + [R_u \text{Re}(Y_{ex} + Y_r) + \gamma_u]^2 / R_u \text{Re}Y_r. \quad (2.24)$$

Використовуючи (2.24), визначимо залежність крутизни  $S'$  зміни  $F_u(\alpha_r = 0, \alpha_r = \alpha_{r\text{opt}})$  від зміни  $\text{Re}Y_{ex}$ :

$$S' = \partial F_u(\alpha_r = 0, \alpha_r = \alpha_{r\text{opt}}) / \partial \text{Re}Y_{ex} = 2[R_u \text{Re}(Y_{ex} + Y_r) + \gamma_u] / \text{Re}Y_r.$$

З ростом  $\text{Re}Y_r$  величина  $S'$  зменшується. Таким чином збільшення дійсної складової  $\text{Re}Y_r$  провідності генератора сприяє не тільки зниженню мінімальнодосяжного значення коефіцієнта шуму  $F_{u\min}$ , але й дозволяє послабити вплив вхідного імітансу УП на величину цього коефіцієнта.

В табл. 2.2 приведені розрахункові та експериментальні значення мінімальних коефіцієнтів шуму на основі різних видів УП, а також оптимальні значення дійсної складової вхідної провідності УП. Окремим випадком проведеного аналізу є режим узгодження вхідного імітансу УП з імітантом генератора ( $W_{ex} = W_r^*$ ). Коефіцієнт шуму

$F'_{u \min}(\alpha_r = 0)$  невзаємного ПП, найдений з (2.16), в цьому випадку визначається формулою (2.25), де  $\text{Re}Y_{0r}$  – дійсна складова провідності генератора в режимі узгодження.

Таблиця 2.2

| Параметр*  | Розмірність      | Вид УПП          |                      |                  |
|--|------------------|------------------|----------------------|------------------|
|  |                  | УПП <sup>b</sup> | УПП <sup>k</sup>     | УПП <sup>e</sup> |
| $\gamma_u$                                       | –                | -4,2             | –                    | -0,144           |
| $\gamma_{u\alpha}$                               | –                | 0,745            | $-1,2 \cdot 10^{-3}$ | -0,284           |
| $\gamma_{u0\alpha}$                              | –                | 0                | 0                    | 0                |
| $R_u$  | Ом               | 59,3             | 58,8                 | 59,3             |
| $R_{u\alpha}$                                    | Ом               | 59,3             | 58,8                 | 59,3             |
| $G_u$  | $\text{Ом}^{-1}$ | 0,33             | 0,026                | 0,023            |
| $\gamma'_u$                                      | –                | -4,2             | -1                   | -0,144           |
| $R'_u$   | Ом               | 59,3             | 58,8                 | 59,3             |
| $G'_u$   | $\text{Ом}^{-1}$ | 0,32             | 0,026                | 0,0016           |
| $\text{Re}Y(\alpha \neq 0)_{ex,opt}$             | $\text{Ом}^{-1}$ | 0,051            | -0,003               | -0,018           |
| $\text{Re}Y(\alpha = \alpha_{opt})_{ex,opt}$     | $\text{Ом}^{-1}$ | 0,051            | -0,003               | -0,018           |
| $\text{Re}Y(\alpha = 0)_{ex,opt}$                | $\text{Ом}^{-1}$ | 0,037            | 0,011                | 0,018            |
| $F_{u \min}(\alpha_r = 0)$<br>експеримент        | дБ               | 4,2              | 1,6                  | 3,3              |
|  |                  | 4,3              | 2,9                  | 3,6              |
| $F_{u \min}(\alpha_r = \alpha_u)$<br>експеримент | дБ               | 3,2              | 1,6                  | 2,54             |
|  |                  | 3,1              | 2,9                  | 2,8              |
| $F'_{u \min}(\alpha_r = 0)$<br>експеримент       | дБ               | 2,7              | 2,89                 | 5,1              |
|  |                  | 3,0              | 3,1                  | 6,2              |

\* $VT - IT313$ ,  $Ie = 5 \text{ mA}$ ,  $U_{kb} = -5 \text{ В}$ ,  $f = 30 \text{ МГц}$ ,  $\text{Re}Y_2 = 0,02 \text{ Ом}^{-1}$ .

Розв'язавши рівняння вигляду  $\partial F'_u(\alpha_r = 0)/\partial \text{Re}Y_{0r} = 0$ , з урахуванням того, що в режимі узгодження  $\text{Re}Y_{0r} = \text{Re}Y_{bx}$ , визначимо оптимальне значення дійсної складової входної провідності УПП  $\text{Re}Y_{ex,opt}$ , яке рівне (2.26) і забезпечує мінімальнодосяжне значення коефіцієнта шуму (2.27) невзаємного ПП при узгодженні УПП на вході.

Використовуючи (2.25) і (2.27), знайдемо узагальнений вираз для коефіцієнта шуму невзаємного ПП при узгодженні входу УПП

$$F'_{\text{ш}}(\alpha_r = 0) = F'_{\text{шmin}} + \left( \sqrt{G_{\text{ш}}} - 2 \operatorname{Re} Y_{0r} \sqrt{R_{\text{ш}}} \right)^2 / \operatorname{Re} Y_{0r}.$$

Одержані вираз дозволяє дослідити залежність крутизни  $S''$  зміні  $F'_{\text{ш}}(\alpha_r = 0)$  від зміни  $\operatorname{Re} Y_{0r}$

$$S'' = \partial F'_{\text{ш}}(\alpha_r = 0) / \partial \operatorname{Re} Y_{0r} = \left( \sqrt{G_{\text{ш}}} + 2 \operatorname{Re} Y_{0r} \sqrt{R_{\text{ш}}} \right)^2 / \operatorname{Re}^2 Y_{0r}.$$

З ростом  $\operatorname{Re} Y_{0r}$ , величина  $S''$  зменшується, що узгоджується з результатами аналізу коефіцієнта шуму для загального режиму роботи невзаємного ПП.

З порівняння результата табл. 2.2 для оптимальної входної провідності УПП в даному режимі видно, що  $\operatorname{Re} Y'_{ex\ opt}(\alpha_r = 0) > 0$ . Це відповідає загальній теорії узгодження активних чотириполюсників [72]. В даному випадку величина мінімально досяжного значення коефіцієнта шуму  $F'_{\text{шmin}}(\alpha_r = 0)$  при використанні УПП<sup>6</sup> практично не змінюється, а при використанні УПП<sup>k</sup> і, особливо, УПП<sup>c</sup>, зростає.

Система рівнянь (2.16) – (2.27) утворює математичну модель шумів невзаємних ПП. Її використання можливе при відомих шумових параметрах багатоелектродної напівпровідникової структури:  $R_{\text{ш}}$ ,  $R_{\text{ш}\alpha}$ ,  $G_{\text{ш}}$ ,  $\gamma_{\text{ш}}$ ,  $\gamma_{\text{ш}\alpha 0}$ ,  $R'_{\text{ш}}$ ,  $\gamma'_{\text{ш}}$ ,  $G'_{\text{ш}}$ , методика визначення яких викладена в [14].

## 2.4. Постановка задачі синтезу невзаємних інформаційних пристрій

Задачею синтезу невзаємних ПП є визначення характеристик їх пасивних RLC кіл, які забезпечують досягнення екстремальних значень параметрів, котрі мають найбільший пріоритет, і значень параметрів, що залишилися, в межах технічних вимог.

Аналіз ефективності ПП, проведений в першому розділі, показав, що для заданих видів УПП та технологічного рівня виробництва ( $\eta_c = \text{const}$ ), підвищення їх ефективності досягається зниженням коефіцієнта шуму  $F_{\text{ш}}$  і смуги пропускання  $\Delta f$ , а також збільшенням коефіцієнта передачі  $K_{\text{ном}}$ . Враховуючи, що ПП реалізуються на потенційно-нестійких УПП, до найважливіших параметрів яких потрібно також віднести інваріантний коефіцієнт стійкості ПП  $K_c$ . При реалізації вимірювальних перетворювачів, а також виходячи з вимог до стабільності параметрів ПП, виникає задача реалізації ПП з заданою чутливістю  $S$  їх параметрів до зміни параметрів елементів. Тому для більшості видів ПП на

основі потенційнонестійких УПІ в якості основних параметрів запропоновано використовувати:  $K_{\text{ном}}$ ,  $F_u$ ,  $\Delta f$ ,  $K_c$  і  $S$ . Визначимо аналітичну залежність між цими параметрами, характеристиками УПІ і пасивних RLC кіл. Сумарні імітанси генератора та  $RLC^1$  кола, навантаження та  $RLC^2$  кола, приведені відповідно до вхідних і вихідних клем УПІ, будемо позначати як  $W_r$  і  $W_h$ .

Інваріантний коефіцієнт стійкості  $K_c$  і коефіцієнт шуму  $F_u$  характеризуються виразами, (2.3) і (2.14), а відносна смуга пропускання дорівнює

$$\Delta f/f = 1/Q_{\text{HH}} , \quad (2.28)$$

де  $Q_{\text{HH}}$  – навантажена добробтність вихідного кола III,  $Q_{\text{HH}} = \text{Im} W_h / \text{Re}(W_{ex} + W_h)$ .

Чутливість III у відповідності з (2.2) дорівнює коефіцієнту множення добробтності вхідного кола  $S_{V_K}^{Q_{\text{HH}}} = -m = -Q_{\text{HH}}/Q_0$ . Враховуючи, що власна добробтність вхідного кола  $Q_0 = \text{Im} W_r / \text{Re} W_r$ , а навантажена добробтність  $Q_h$  визначається імітансом вхідного кола УПІ і дорівнює  $Q_h = \text{Im} W_r / \text{Re}(W_r + W_{ex})$ , знайдемо вираз для чутливості добробтності вхідного кола III

$$S_{W_r}^{Q_h} = -\text{Re} W_r / \text{Re}(W_r + W_{ex}) . \quad (2.28)$$

Аналіз виразів (2.3), (2.14), (2.28) і (2.29) показує, що всі основні параметри невзаємних III є функціями (в загальному випадку нелінійними) параметрів УПІ та приведених значень імітансів навантаження  $W_h$  і генератора  $W_r$  (рис. 2.3). Вважаючи, що  $W$ -параметри відомі, мету синтезу визначимо в знаходженні характеристик  $W_r$  і  $W_h$  імітансів, які забезпечують досягнення екстремальних значень параметрів, що мають найбільший пріоритет, і значень параметрів, що залишилися в межах технічних вимог.

Визначимо граничні умови синтезу невзаємних III.

Для виконання умов фізичної можливості реалізації імітансів  $W_r$  і  $W_h$ , вони повинні описуватися позитивними дійсними функціями [15].

Для забезпечення максимального значення номінального коефіцієнта  $K_{\text{ном21}}$  передачі потужності сигналу необхідно двостороннє узгодження УПІ. Але внаслідок потенційної нестійкості УПІ, його двосто-

роннє узгодження неможливе [16]. Тому запропоновано використовувати режими узгодження входу або виходу УПП.

В загальному випадку УПП може бути повністю неузгоджений. З урахуванням цього, на кола, що синтезуються, накладаються такі обмеження:

при  $\alpha_r = 0$ :

- 1)  $W_r \neq W_{ex}^*$ ,  $W_h = W_{aux}^*$  – УПП узгоджений на виході;
- 2)  $W_r = W_{ex}^*$ ,  $W_h \neq W_{aux}^*$  – УПП узгоджений на вході;
- 3)  $W_r \neq W_{ex}^*$ ,  $W_h \neq W_{aux}^*$  – УПП неузгоджений;

при  $\alpha_r \neq 0$ :

- 4)  $W_r \neq W_{ex}^*$ ,  $W_h = W_{aux}^*$  – УПП узгоджений на виході;
- 5)  $W_r \neq W_{ex}^*$ ,  $W_h \neq W_{aux}^*$  – УПП неузгоджений.

Значення коефіцієнта розладнання вхідного кола  $\alpha_r$  накладає обмеження тільки на імітанс  $W_{0r}$  вхідного кола.

$$K_{c2}, \quad K_{cr}, \quad F_{u\min}(\alpha_r = 0), \quad K_h$$

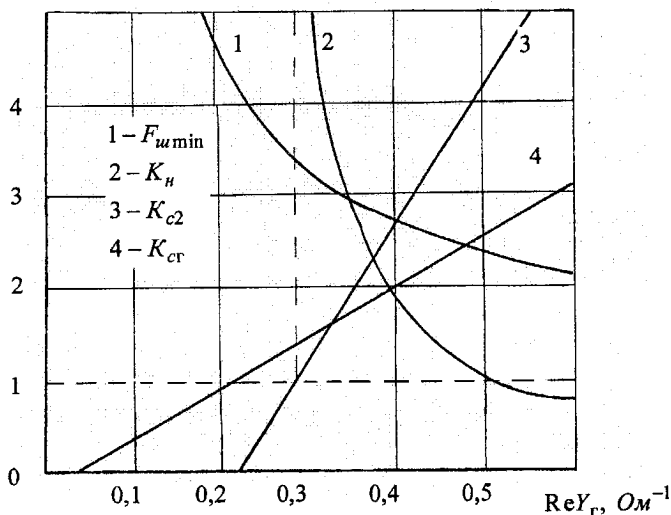


Рис. 2.3. Залежність основних параметрів невзаємного ПП від дійсної складової провідності генератора  $ReY_g$

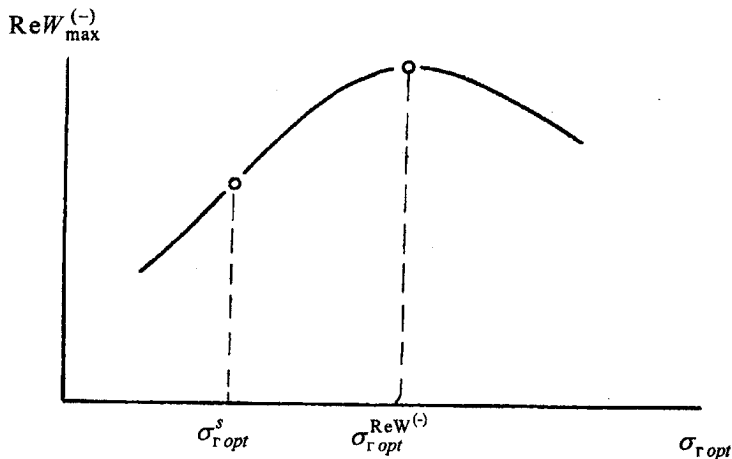


Рис. 2.4. Залежність максимальнодосяжного значення ВДО, що реалізується УПІ, від приведеної значення імітансу, що перетворюється

Тому достатньо розробити синтез невзаємних ПП при  $\alpha_r = 0$  з наступною корекцією параметрів входного кола при  $\alpha_r = 0$ .

Аналізуючи введені граничні умови бачимо, що в режимі часткового узгодження цим незалежним імітансом є тільки імітанс, що підключається до неузгоджених клем УПІ, який однозначно визначає перетворений імітанс, що комплексно-спряжений з іншим шуканим імітансом. Тому в режимі часткового узгодження, параметрами, що контролюються, можуть бути тільки два екстремальних параметри ПП. В режимі неузгодження цими незалежними імітансами є обидва імітанси  $W_r$  і  $W_h$ , і при проведенні синтезу параметрами, що контролюються, є чотири екстремальних параметри.

Сформулюємо умови реалізації та визначимо значення екстремальних параметрів.

Теоретично номінальний коефіцієнт  $K_{\text{ном}21}$  передачі потужності сигналу може дорівнювати нескінченності (наприклад при  $W_{\text{вих}} = W_h$ ), що відповідає границі стійкості ПП. Але в більшості видів ПП (за винятком деяких типів логічних пристрій) вимагається забезпечити визначений запас стійкості  $K_c$  ПП. Встановимо зв'язок між  $K_{\text{ном}}$  і  $K_c$ . З цією метою запишемо  $K_{\text{ном}21}$  у вигляді

$$K_{\text{nom}21} = 4Y_{21}^2 \operatorname{Re} Y_r \operatorname{Re} Y_h / \left( (Y_{\text{aux}} + Y_h)(Y_{11} + Y_r) \right)^2. \quad (2.30)$$

Ввівши позначення  $\alpha_h = \operatorname{Im}(Y_{\text{aux}} + Y_h) / \operatorname{Re}(Y_{\text{aux}} + Y_h)$ ,  $\sigma_r = \operatorname{Im}(Y_{11} + Y_r) / \operatorname{Re}(Y_{11} + Y_r)$ , з урахуванням (2.4) і (2.5), вираз (2.20) прийме вигляд

$$K_{\text{nom}21} = 16 \operatorname{Re} W_r \operatorname{Re} W_h / \left( (1 + \sigma_r^2)^2 (1 + \alpha_h)^2 (1 - K_c)^2 |Y_{12}|^2 \right). \quad (2.31)$$

На резонансній частоті  $f_0$ , де  $\operatorname{Im}(Y_{\text{aux}} + Y_h) = 0$ ,  $\alpha_h = 0$ , коефіцієнт передачі  $K_{\text{nom}21}$  максимальний

$$K_{\text{nom}21} = 16 \operatorname{Re} W_r \operatorname{Re} W_h / \left( (1 + \sigma_r^2)^2 (1 - K_c)^2 |Y_{12}|^2 \right). \quad (2.32)$$

Вираз (2.32) показує, що з ростом запасу стійкості  $K_c$  номінальний коефіцієнт передачі  $K_{\text{nom}210}$  зменшується.

Виходячи з вимоги, що зворотний зв'язок в УПІ не повинен змінювати величину нормованого перетвореного імітансу більше ніж на  $20 \div 10\%$ , рекомендується вибирати  $K_c = 5 \div 10$  [13]. Практика показує, що для типу пристройів, що досліджуються, достатнім є значення  $K_{c\min} = 5$ .

Тому в подальшому, під екстремальним значенням  $K_{\text{nom}}^{\max}$  номінального коефіцієнта передачі потужності сигналу будемо розуміти значення  $K_{\text{nom}21}$  при  $K_c = 5$ .

Інваріантний коефіцієнт стійкості ПІ  $K_c$  теоретично може змінюватися від  $-1$  до  $+\infty$  [17]. Але, як видно з (2.31), з ростом  $K_c$  зменшується  $K_{\text{nom}21}$ . Враховуючи, що ПІ з значенням  $K_{\text{nom}210} < 1$  мають обмежене застосування (за винятком комутаторів в режимі "закрито"), під екстремальним значенням  $K_c$  будемо розуміти значення  $K_c^{\max}$ , при якому  $K_{\text{nom}210} = 1$ .

Відносна смуга пропускання теоретично може бути зроблена як завгодно малою. (При  $\operatorname{Re}(W_{\text{aux}} + W_h) = 0$  маємо  $\Delta f/f = 0$ ). Але ця умова відповідає границі стійкості ( $K_c = 1$ ). Тому під екстремальним значенням відносної смуги пропускання ( $\Delta f^{\min}/f$ ) ПІ будемо розуміти її значення, що відповідає мінімальному запасу стійкості  $K_{c\min}$ .

Ці ж міркування застосуємо для визначення екстремального значення чутливості ПІ  $S^{\max}$ , яка відповідає мінімальному запасу стійкості  $K_{c\min}$ .

Екстремальне значення коефіцієнта шуму визначено в підрозділі 2.3 і відповідає мінімальнодосяжному значенню коефіцієнта шуму  $F_{w\min}$ .

Ці визначення та сформульовані граничні умови дозволяють перейти до розв'язання задачі синтезу, поділивши його на три випадки, що відповідають таким режимам роботи невзаємного ПІ: узгодження виходу УПІ; узгодження входу УПІ; неузгодження УПІ.

## 2.5. Синтез для режиму узгодження виходу УПІ

Запропоновано вести розв'язання задачі синтезу за допомогою коефіцієнтів зв'язку, під якими розуміються значення будь-якого параметру ПІ (не обов'язково такого, що входить в склад його основних параметрів), який має аналітичний зв'язок з основними параметрами та шуканими імітансами ПІ, і однозначну залежність його від екстремального параметра. З використанням коефіцієнта зв'язку, порядок синтезу складається з таких етапів:

1. Вибір екстремальних параметрів.
2. Знаходження значення коефіцієнта зв'язку, що відповідає значенню екстремального параметра.
3. Визначення імітансів  $W_r$  і  $W_h$ , які підключаються до входу та виходу УПІ.
4. Розрахунок параметрів ПІ, що реалізуються, і перевірка їх, виходячи з заданої умови працездатності.
5. Корекція вихідних даних у випадку невиконання умов працездатності.
6. Визначення за допомогою знайдених значень імітансів виду та значень параметрів RLC кіл на вході та виході УПІ.

Перейдемо до знаходження значень коефіцієнтів зв'язку по кожному екстремальному параметру та встановимо їх зв'язок з шуканими імітансами і основними параметрами ПІ.

В якості коефіцієнтів зв'язку використаємо інваріантний коефіцієнт стійкості УПІ, що навантажений тільки зі сторони вхідних клем

$$K_{cr} = [2 \operatorname{Re}(W_{11} + W_r) \operatorname{Re} W_{22} - \operatorname{Re}(W_{12} W_{21})] / |W_{12} W_{21}|. \quad (2.33)$$

Підставивши в (2.33) значення для інваріантного коефіцієнта стійкості УПІ  $K_{csh}$ , знайдемо

$$K_{cr} = K_{c\theta n} + 2 \operatorname{Re} W_r \operatorname{Re} W_{22} / |W_{12} W_{21}|. \quad (2.34)$$

Розв'язавши (2.30), визначимо дійсну складову  $\operatorname{Re} W_{0r}$  імітансу вхідного кола, яка забезпечує інваріантний коефіцієнт стійкості  $K_{cr}$

$$\operatorname{Re} W_{0r} = |W_{12} W_{21}| (K_{cr} - K_{c\theta n}) / 2 \operatorname{Re} W_{22}. \quad (2.35)$$

При узгодженні УП на виході виконується умова  $W_h = W_{ex}^*$ , підставивши яку в (2.30), з урахуванням (2.34), після перетворення одержимо для цього режиму номінальний коефіцієнт  $K_{nom21}$  передачі потужності сигналу в невзаємному П

$$K_{nom21} = 2K_{ms} (K_{cr} - K_{c\theta n}) / (K_{cr}^2 - 1). \quad (2.36)$$

Розв'язавши одержане рівняння відносно  $K_{cr}$ , знайдемо вираз (2.37) в табл. 2.3 для значення інваріантного коефіцієнта стійкості  $K_{c\theta opt}^{K_{nom}}$ , що забезпечує екстремальне значення номінального коефіцієнта передачі.

Використовуючи умову  $K_{nom21} = 1$ , на підставі рівняння (2.36), знайдемо вираз (2.38) для оптимального значення інваріантного коефіцієнта стійкості  $K_{c\theta opt}^{K_c}$ , що забезпечує екстремальне значення інваріантного коефіцієнта стійкості ПІ  $K_c^{\max}$ .

З урахуванням узгодження виходу УП при нульовому розладненні вхідного кола ( $\alpha_r = 0$ ) дійсна складова вхідного імітансу УП дорівнює

$$\operatorname{Re} W_{ex} = \operatorname{Re} W_{11} - |W_{12} W_{21}| / 2 \operatorname{Re} W_{22} K_{cr}. \quad (2.48)$$

Прирівнявши (2.17) до (2.48), записаному в термінах провідності, після перетворень, знайдемо вираз (2.39) для оптимального значення інваріантного коефіцієнта стійкості  $K_{c\theta opt}^{F_u}$ , який забезпечує для відомого УП екстремальне значення коефіцієнта шуму  $F_{u\min}$ .

При  $\alpha_r = 0$  маємо  $\operatorname{Im} W_r = \operatorname{Im} W_{ex}$ . Враховуючи, що при узгодженні виходу УП уявна складова його вхідної провідності дорівнює

[41]  $\text{Im}W_{\text{вх}} = \text{Im}W_{11} - \text{Im}(W_{12}W_{21})/2\text{Re}W_{22}$ , визначимо потрібне значення уявної складової імітансу генератора

$$\text{Im}W_{0r} = \text{Im}(W_{12}W_{21})/2\text{Re}W_{22} - \text{Im}W_{11}. \quad (2.49)$$

Підставивши (2.36) і (2.49) в  $W_{\text{вих}} = W_{22} - W_{12}W_{21}/(W_{11} + W_r)$  з урахуванням режиму узгодження на виході ( $W_h = W_{\text{вих}}^*$ ), визначимо дійсну

$$\text{Re}W_{0h} = \text{Re}W_{22} \left( K_{cr}^2 - 1 \right) / \left( K_{cr}^2 + 2K_{cr}\varphi_w + 1 \right) \quad (2.50)$$

та уявну

$$\text{Im}W_{0h} = 2\text{Re}W_{22}K_{cr}\Theta_w / \left( K_{cr}^2 + 2K_{cr}\varphi_w + 1 \right) - \text{Im}W_{22} \quad (2.51)$$

складові імітансу навантаження. Де  $\Theta_w = \text{Im}(W_{12}W_{21})/|W_{12}W_{21}|$ .

Підставивши (2.50) і (2.51) в (2.28), знайдемо відносну смугу пропускання ПП в даному режимі

$$\frac{\Delta f}{f_0} = \frac{2(K_{cr}^2 - 1)}{2K_{cr}(\Theta_w - \varphi_w) - \beta_w(K_{cr}^2 + 1)}, \quad (2.52)$$

де  $\beta_w = \text{Im}W_{22}/\text{Re}W_{22}$ .

Розв'язавши (2.52) відносно  $K_{cr}$ , знайдемо вираз (2.40) для значення інваріантного коефіцієнта стійкості  $K_{cr}^{\Delta f}$ , який забезпечує екстремальне значення смуги пропускання  $\Delta f^{\min}$ .

Виразимо чутливість добробтності входного кола ПП через інваріантний коефіцієнт стійкості  $K_{cr}$ . З цією метою, підставивши в (2.29) вираз (2.35) і (2.48), знайдемо

$$S_V^{Q_{ax}} = -\frac{K_{cr}(K_{cr} - K_{crh})}{K_{cr}^2 + K_{cr}\varphi_w - 1}. \quad (2.53)$$

Таблиця 2.3

Коефіцієнти зв'язку, що використовуються при синтезі  
невзаємних ПП на базі потенційнонестійких УПП

| Екстремальний параметр      | Розрахункова формула  | Номер формули |
|-----------------------------|---|---------------|
| Режим узгодження виходу УПП |   |               |
| $K_{\text{ном}}^{\max}$     | $K_{\text{cr opt}}^{\text{K}_{\text{ном}}} = E + \sqrt{E^2 - 2EK_{\text{свн}} + 1}$   | (2.37)        |
| $K_c^{\max}$                | $K_{\text{cr opt}}^{\text{K}_c} = K_{mS} + \sqrt{K_{mS}^2 - 2K_{mS}K_{\text{свн}} + 1}$   | (2.38)        |
| $F_{w\min}$                 | $K_{\text{cr opt}}^{F_w} = \sqrt{B_F^2 + 1} - B_F$  | (2.39)        |
| $\Delta f^{\min}$           | $K_{\text{cr opt}}^{\Delta f} = \frac{\Theta_w - \varphi_w \pm \sqrt{(\Theta_w - \varphi_w)^2 - \varphi_w(\beta_w - 2Q_h)}}{\varphi_w}$                                 | (2.40)        |
| $S^{\max}$                  | $K_{\text{cr opt}}^S = S_1 + \sqrt{S_1^2 + S_2}$  | (2.41)        |
| Режим узгодження входу УПП  |   |               |
| $K_{\text{ном}}^{\max}$     | $K_{\text{cr opt}}^{\text{K}_{\text{ном}}} = E + \sqrt{E^2 - 2K_{\text{свн}}E + 1}$   | (2.42)        |
| $K_c^{\max}$                | $K_{\text{cr opt}}^{\text{K}_c} = K_{mS} + \sqrt{K_{mS}^2 - 2K_{mS}K_{\text{свн}} + 1}$   | (2.43)        |
| $F_{w\min}$                 | $K_{\text{cr opt}}^{F_w} = \left( A_F \varphi_w + \sqrt{1 - A_p^2 \Theta_w^2} \right) / (1 - A_F)$  | (2.44)        |
| $\Delta f^{\min}$           | $K_{\text{cr opt}}^{\Delta f} = \frac{\Theta_w - \varphi_w \pm \sqrt{(\Theta_w - \varphi_w)^2 - \varphi_w(\gamma_w - 2Q_h)}}{\varphi_w}$                                | (2.45)        |
| Режим неузгодженого УПП     |   |               |
| $\text{Re}W_{\max}^{(-)}$   | $\sigma_{\text{cr opt}}^{\text{Re}W^{(-)}} = \frac{ W_{12}W_{21}  - \text{Re}(W_{12}W_{21})}{\text{Im}(W_{12}W_{21})}$  | (2.46)        |
| $S^{\max}$                  | $\sigma_{\text{cr opt}}^S = \frac{3 \text{Re}(W_{12}W_{21})}{2 \text{Im}(W_{12}W_{21})} \pm \sqrt{\frac{9 \text{Re}^2(W_{12}W_{21})}{4 \text{Im}^2(W_{12}W_{21})} + 2}$ | (2.47)        |

$$\begin{aligned}
\text{Примітка: } E &= K_{mS} / K_{\text{ном}}, \\
B_F &= \text{Re}Y_{22}\gamma_w / |Y_{12}Y_{21}|R_w + \varphi_w/2, \\
Q_w &= \text{Im}(W_{12}W_{21}) / |W_{12}W_{21}|, \\
\varphi_w &= \text{Im}(W_{12}W_{21}) / |W_{12}W_{21}|, \\
\beta_w &= \text{Im}W_{22} / \text{Re}W_{22}, \\
S_1 &= \left( S^{\max} \varphi_w - K_{c\text{вн}} \right) / 2(S^{\max} + 1), \\
S_2 &= S^{\max} / (S^{\max} + 1), \\
A_F &= (G_w / R_w)^{1/2} / 2\text{Re}Y_{11}, \\
\gamma_w &= \text{Im}W_{11} / \text{Re}W_{11}.
\end{aligned}$$

Розв'язавши (2.53) відносно  $K_{\text{cr}}$ , визначимо вираз (2.41) для значення інваріантного коефіцієнта стійкості  $K_{c\text{гопт}}^S$ , який забезпечує екстремальне значення чутливості вхідного кола III  $S^{\max}$ .

Знайдені коефіцієнти  $K_{c\text{гопт}}^{K_{\text{ном}}}$ ,  $K_{c\text{гопт}}^{K_c}$ ,  $K_{c\text{гопт}}^{F_w}$ ,  $K_{c\text{гопт}}^{\Delta f}$  і  $K_{c\text{гопт}}^S$  є коефіцієнтами зв'язку, за допомогою яких здійснюється синтез не взаємних III в режимі узгодження виходу УПІ. Процедура синтезу невзаємних III з використанням даних коефіцієнтів зображена на структурній схемі рис. 2.5. Практика показує, що для всіх видів III одним з параметрів, що контролюються, є квазирезонансна частота  $f_0$  пристрою. Тому в даному режимі синтез можливий тільки за одним екстремальним параметром. Процедура синтезу починається з визначення екстремального параметра та відповідного коефіцієнта зв'язку  $K_{c\text{гопт}}$  з наступним знаходженням на підставі формул (2.35), (2.49) – (2.51) імітансів  $W_r$  і  $W_h$  пасивних кіл. Подальша процедура синтезу міститься в знаходженні робочих параметрів синтезованого пристрою та перевірці їх на відповідність технічним вимогам. Якщо вимога працездатності не виконується, то необхідно змінити (в сторону погіршення) значення екстремального параметра і повторити процедуру синтезу. Закінчується процедура синтезу пошуком конфігурації пасивних RLC кіл за знайденими імітансами  $W_r$  і  $W_h$ .

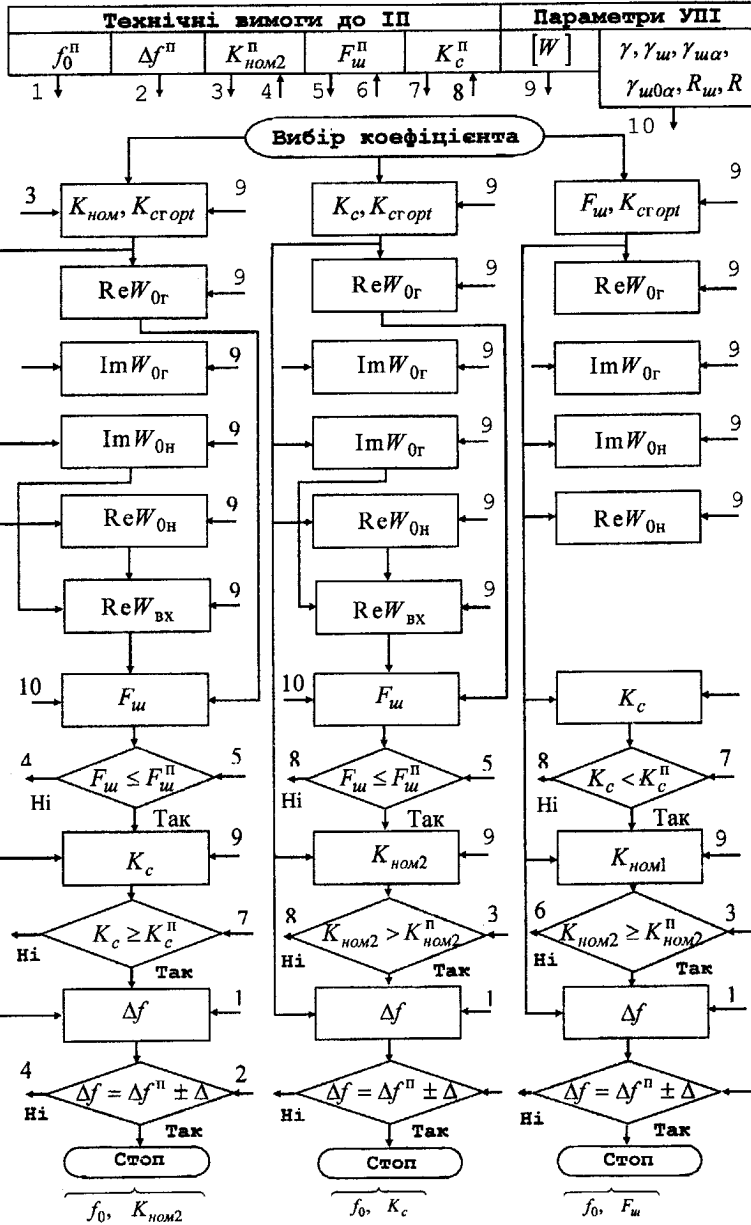


Рис. 2.5. Блок-схема алгоритму синтезу невзаємних ІП з частково узгодженими УПІ

## 2.6. Синтез для режиму узгодження входу УПІ

Синтез невзаємних ПІ в даному режимі також запропоновано вести з використанням коефіцієнтів зв'язку, в якості яких використовуються різні значення інваріантного коефіцієнта стійкості УПІ, навантаженого тільки зі сторони вихідних клем

$$K_{ch} = K_{csh} + 2 \operatorname{Re} W_h \operatorname{Re} W_{11} / |W_{12} W_{21}|. \quad (2.54)$$

Визначимо значення даного коефіцієнта для випадку синтезу за різними екстремальними параметрами ПІ ( $K_{nom21}$ ,  $K_c$ ,  $F_u$ ,  $\Delta f$ ,  $S$ ). З цією метою перетворимо (2.54) до вигляду

$$K_{ch} = \frac{2 \operatorname{Re} W_{11} (\operatorname{Re} W_{22} + W_h) - \operatorname{Re} (W_{12} W_{21})}{|W_{12} W_{21}|}. \quad (2.55)$$

Розв'язавши (2.55), визначимо дійсну складову імітансу вихідного кола, який забезпечує інваріантний коефіцієнт стійкості  $K_{ch}$

$$\operatorname{Re} W_{0h} = W_{12} W_{21} (K_{ch} - K_{csh}) / 2 \operatorname{Re} W_{11}. \quad (2.56)$$

При узгодженні УПІ на вході виконується умова  $W_r = W_{sx}^*$ , підставивши яку в (2.30) з урахуванням (2.55), після перетворення одержуємо для даного режиму номінальний коефіцієнт  $K_{nom21}$  передачі потужності сигналу в невзаємному ПІ

$$K_{nom21} = 2 K_{mS} (K_{ch} - K_{csh}) / K_{ch}^2 - 1. \quad (2.57)$$

Розв'язавши дане рівняння відносно  $K_{ch}$  для випадку  $K_{nom21} = K_{nom}^{\max}$ , знайдемо вираз (2.42) в табл. 2.3 значення  $K_{ch\text{opt}}^{K_c}$  інваріантного коефіцієнта стійкості УПІ, що забезпечує екстремальну величину номінального коефіцієнта передачі  $K_{nom}^{\max}$ .

Використовуючи умову  $K_{nom21} = 1$ , на підставі розв'язку (2.57), знайдемо вираз (2.43) для значення інваріантного коефіцієнта стійкості  $K_{ch\text{opt}}^{K_c}$ , що забезпечує екстремальну величину інваріантного коефіцієнта стійкості  $K_c^{\max}$ .

З урахуванням узгодження входу УПІ на квазирезонансній частоті ПІ  $f_0$ , уявна складова навантаження дорівнює [41]

$$\operatorname{Im} W_{0H} = -\operatorname{Im} W_{aux} = \operatorname{Im}(W_{12}W_{21})/2\operatorname{Re} W_{11} - \operatorname{Im} W_{22}. \quad (2.58)$$

Підставивши знайдені значення  $\operatorname{Re} W_{0H}$  (2.56) і  $\operatorname{Im} W_{0H}$  (2.58) в  $W_{bx} = W_{11} - W_{12}W_{21}/(W_{22} + W_H)$ , з урахуванням умови узгодження  $W_r = W_{bx}^*$ , знайдемо імітанс вхідного кола:

$$\operatorname{Im} W_{0H} = 2\operatorname{Re} W_{11} K_{ch} \Theta_w / \left( K_{ch}^2 + 2K_{ch} \varphi_w + 1 \right) - \operatorname{Im} W_{11}, \quad (2.59)$$

$$\operatorname{Re} W_{0H} = \operatorname{Re} W_{11} \left( K_{ch}^2 - 1 \right) / \left( K_{ch}^2 + 2K_{ch} \varphi_w + 1 \right) = \operatorname{Re} W_{bx}. \quad (2.60)$$

Прирівнявши (2.26) до значення (2.60), записаному в термінах прівності, після перетворень знайдемо вираз (2.44) для значення інваріантного коефіцієнта стійкості  $K_{ch, opt}^{F_{ch}}$ , що забезпечує екстремальне значення коефіцієнта шуму  $F_{w, min}$ .

Використовуючи (2.59) і (2.60) з урахуванням узгодження та нульового розладнання на вході УПІ ( $\alpha_r = 0$ ), знайдемо

$$\operatorname{Re} W_{aux} = \operatorname{Re} W_{22} - |W_{12}W_{21}|/2\operatorname{Re} W_{22} K_{ch}. \quad (2.61)$$

Підставивши (2.56), (2.58) і (2.61) в (2.28), знайдемо відносну смугу пропускання ПІ в режимі узгодження на вході

$$\frac{\Delta f}{f} = \frac{2(K_{ch}^2 - 1)}{2K_{ch}(\Theta_w - \varphi_w) - \gamma_w(K_{ch}^2 + 1)}, \quad (2.62)$$

де  $\gamma_w = \operatorname{Im} W_{11} / \operatorname{Re} W_{11}$ .

Розв'язавши одержане рівняння відносно  $K_{ch}$ , знайдемо вираз (2.45) для значення інваріантного коефіцієнта стійкості  $K_{ch, opt}^{\Delta f}$ , що забезпечує екстремальне значення смуги пропускання  $\Delta f^{\min}$ .

Виразимо чутливість ПІ через параметри УПІ. З цією метою підставивши в (2.29) вираз (2.58) і (2.61), знайдемо  $S_v^{Q_{ax}} = -1/2$ . Таким чи-

ном, в режимі узгодження на вході УПІ, чутливість добротності вхідного кола невзаємного ІП завжди постійна і дорівнює ( $-1/2$ ).

Порівнюючи одержані в даному параграфі вирази для коефіцієнтів зв'язку  $K_{ch}$  (табл. 2.3) з виразами для цих величин, одержаними в по-передньому параграфі, видно, що вони відрізняються тільки індексами (за винятком формули для  $K_{ch}^{F_w}$ ). Це дозволяє здійснювати процедуру синтезу невзаємного ІП, узгодженого на вході, в такій же послідовності, що і при синтезі невзаємних ІП, узгоджених на виході (рис.2.5).

## 2.7. Синтез для режиму неузгодженого УПІ

Даний режим не може забезпечити максимальний коефіцієнт  $K_{nom21}$  передачі потужності сигналу. Але він дозволяє здійснювати оптимальний синтез відразу за чотирма параметрами, що контролюються. Крім цього, в даному режимі можлива реалізація ДВО як на вході, так і на виході УПІ, що знижує вимогу до добротності пасивних RLC кіл і дозволяє зменшити кількість елементів в цих колах при реалізації заданої АЧХ [18]. Даний режим роботи одержав застосування при реалізації фільтрів, ліній затримки, вимірювальних перетворювачів і синтезаторів частоти, для яких основні труднощі виникають при реалізації значень, що вимагаються, добротності та стабільності. Тому в якості параметрів зв'язку запропоновано використовувати два коефіцієнти. Перший коефіцієнт  $\sigma_{\text{гопт}}^{\text{Re}W^{(-)}}$  (2.46) дорівнює значенню імітанса, що перетворюється, одержаному з розв'язку рівняння вигляду  $d\text{Re}W_{\text{вих}}^{(-)}/d\sigma_r = 0$  за умови  $\text{Re}W_{0r} - \text{const}$ , і відповідає максимальнодосяжному значенню на даній частоті від'ємного дійсного імітансу виходу УПІ (див. рис. 2.4).

Синтез невзаємного ІП з використанням даного коефіцієнта зв'язку не тільки забезпечує реалізацію максимального ДВО, але й зменшує чутливість цього імітансу до зміни уявного імітансу вхідного RLC<sub>1</sub> кола.

Другий коефіцієнт  $\sigma_{\text{гопт}}^S$  (2.47) дорівнює значенню імітансу, що перетворюється, одержаному з розв'язку рівняння вигляду  $d^2\text{Re}W_{\text{вих}}^{(-)}/d\sigma_r^2 = 0$  за умови  $\text{Re}W_{0r} - \text{const}$ , і відповідає максимальнодосяжному значенню на даній частоті крутизни зміни  $\text{Re}W_{\text{вих}}^{(-)}$  від величини уявної складової імітансу, що перетворюється.

Синтез невзаємного ІП з використанням даного коефіцієнта оптимізації забезпечує максимальну чутливість параметрів вихідного кола ІП до зміни параметрів вхідного кола, що дозволяє реалізувати високо-чутливі ПВП [19 – 21].

Так як і при синтезі частково-узгоджених невзаємних ПП, одним з параметрів, що контролюється, є квазирезонансна частота  $f_0$  пристрою. Другий параметр, що контролюється, визначається коефіцієнтом оптимізації  $\sigma_{\text{гopt}}$ . Це або екстремальне значення  $\text{Re}W_{\text{aux}}^{(-)}$  при використанні (2.46), або екстремальне значення крутизни  $\partial \text{Re}W_{\text{aux}}^{(-)} / \partial \sigma_{\text{г}}$ , при використанні (2.47). Два параметри, що залишилися, являють собою комбінацію з основних параметрів ПП:  $K_{\text{ном21}}, K_c, \Delta f, F_{\text{ш}}$ . При проведенні оптимального синтезу неузгоджених невзаємних ПП в якості двох параметрів, що залишилися, використаємо або  $K_{\text{ном21}}$  і  $K_c$ , або  $S$  і  $K_c$ , або  $K_{\text{ном21}}$  і  $\Delta f$ . Синтез ПП з використанням останньої комбінації параметрів в явному вигляді неможливий і вимагає використання методів оптимізації з використанням відомих [22, 23] методів скорочення інтервалу невизначеності. З урахуванням цього процесу синтезу невзаємних неузгоджених ПП має вигляд, зображенний на структурній схемі рис. 2.6.

Процедура синтезу закінчується визначенням, за допомогою одногого з відомих методів синтезу пасивних RLC кіл за їх імітансою функцією [24], конфігурації пасивних  $RLC_1$  і  $RLC_2$  кіл (даний етап на структурній схемі не зображено).

Дамо аналітичне обґрунтування процедури синтезу відносно кожної з груп параметрів, що контролюються.

При проведенні оптимального синтезу за параметрами, що контролюються:  $\text{Re}W_{\text{aux}}^{(-) \max}, K_c, \Delta f$  і  $f_0$  невзаємних ПП в режимі неузгодження, використаємо коефіцієнт оптимізації  $\sigma_{\text{гopt}}^{\text{Re}W^{(+)}}$  у вигляді (2.46), що визначається через відомі  $W$  - параметри УПП на частоті  $f_0$ . В даному випадку перетворений імітанс УПП є однозначною функцією дійсної складової імітансу  $\text{Re}W_{0\Gamma}$ , що перетворюється

$$\text{Re}W_{\text{aux}}^{(-)} = \text{Re}W_{22} - [W_{12}W_{21} + \text{Re}(W_{12}W_{21})]/2\text{Re}(W_{11} + W_{\Gamma}), \quad (2.63)$$

$$\text{Im}W_{\text{aux}} = \text{Im}W_{22} - \text{Im}(W_{12}W_{21})/2\text{Re}(W_{11} + W_{\Gamma}). \quad (2.64)$$

Підставивши (3.63) і (2.64) в (2.4) з урахуванням (2.28), після перетворення знайдемо

$$\Delta f = f_0 \frac{|W_{12}W_{21}|(K_c - 1)}{2\text{Re}(W_{11} + W_{\Gamma})\text{Im}W_{22} - \text{Im}(W_{12}W_{21})}. \quad (2.65)$$

Розв'язавши рівняння (2.65) для випадку  $\Delta f = \Delta f^\Pi$ ,  $f_0 = f_0^\Pi$ ,  $K_c = K_c^\Pi$ , знайдемо

$$\operatorname{Re} W_{0r} = \frac{Q^\Pi |W_{12} W_{21}| \left( K_c^\Pi - 1 \right) + \operatorname{Im}(W_{12} W_{21})}{2 \operatorname{Im} W_{22}} \operatorname{Re} W_{11}, \quad (2.66)$$

де  $Q^\Pi = f_0^\Pi / \Delta f^\Pi$ .

Підставивши знайдене значення в (2.3) і (2.46), визначимо невідомі параметри, що залишилися, пасивних RLC кіл

$$\operatorname{Re} W_{0n} = \frac{K_c |W_{12} W_{21}| + \operatorname{Re}(W_{12} W_{21})}{2 \operatorname{Re}(W_{11} + W_r)} - \operatorname{Re} W_{22}, \quad (2.67)$$

$$\operatorname{Im} W_{0r} = \sigma_{\text{гопт}} \operatorname{Re}(W_{0r} - W_{11}) - \operatorname{Im} W_{11}, \quad (2.68)$$

$$\operatorname{Im} W_{0n} = -\operatorname{Im} W_{\text{aux}} = \operatorname{Im}(W_{12} W_{21}) / 2 \operatorname{Re}(W_{11} + W_r) - \operatorname{Im} W_{22}. \quad (2.69)$$

Подальша процедура синтезу міститься в знаходженні значень параметрів, що не контролюються,  $K_{\text{ном}21}$  (2.32) і  $F_u$  (2.15) синтезованого пристрою та перевірки їх на відповідність технічним вимогам.

При проведенні синтезу за параметрами, що контролюються:  $\operatorname{Re} W_{\text{aux}}^{(-)}$ ,  $K_c$ ,  $K_{\text{ном}21}$  і  $f_0$  невзаємних ПІ в режимі неузгодження, на першому етапі також знаходимо значення коефіцієнта оптимізації  $\sigma_{\text{гопт}}^{\operatorname{Re} W^{(+)}}$  (2.47). Потім, розв'язавши систему рівнянь (2.3) і (2.32), знаходимо

$$\operatorname{Re} W = \frac{- (8B - J + 8 \operatorname{Re} W_{11} \operatorname{Re} W_{22}) + \sqrt{(8B - J + 8 \operatorname{Re} W_{11} \operatorname{Re} W_{22})^2 - 256B \operatorname{Re} W_{11} \operatorname{Re} W_{22}}}{16 \operatorname{Re} W_{22}} - \operatorname{Re} W_{11},$$

де  $B = K_c^\Pi |W_{12} W_{21}| + \operatorname{Re}(W_{12} W_{21})$ ;

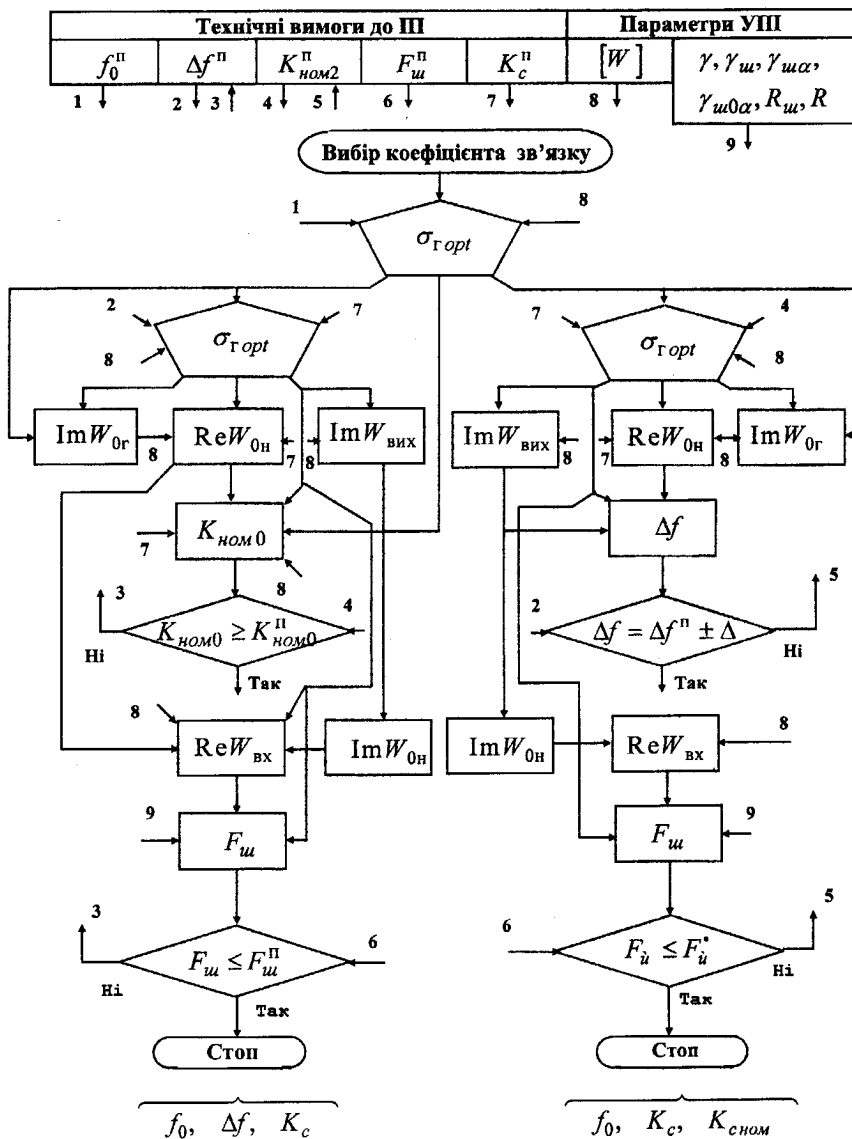


Рис. 2.6. Блок-схема синтезу невзаємних ІП на основі неузгоджених УП

$$\delta = K_{\text{nom}21} \left[ 1 + \left( \sigma_{F_{\text{opt}}}^{\text{Re}W^{(-)}} \right)^2 \right] (1 - K_c)^2 |W_{12}|^2.$$

Підставивши знайдене значення в (2.67), (2.68) і в (2.69), визначимо невідомі параметри, що залишилися, пасивних RLC кіл.

Подальша процедура синтезу міститься в знаходженні значень параметрів, що не контролюються,  $\Delta f$  (2.28) і  $F_w$  (2.15) синтезованого пристрою та перевірки їх на відповідність технічним вимогам.

Практичний інтерес становить випадок синтезу неузгоджених не-взаємних ПП за параметрами, що контролюються,  $\text{Re}W_{\text{vix max}}^{(-)}$ ,  $f_0$ ,  $K_{\text{nom}21}$  і  $\Delta f$ . Але, внаслідок нелінійної залежності параметрів, що контролюються,  $K_{\text{nom}21}$  і  $\Delta f$  (або  $Q_{\text{п}}$ ) від дійсної складової  $\text{Re}W_r$  імітансу, що перетворюється (див. рис. 2.4), не вдається одержати аналітичний вираз для  $\text{Re}W_{0r}$  через вказані параметри, що контролюються. Тому для даного випадку рекомендується проводити синтез за параметрами, що контролюються,  $\Delta f$ ,  $f_0$ ,  $K_c$ .  $\text{Re}W_{\text{vix max}}^{(-)}$  з наступною зміною  $K_c$  до досягнення параметра, що контролюється,  $K_{\text{nom}21}^{\text{п}}$ , тобто використовувати цільову функцію  $K_{\text{nom}21} - K_{\text{nom}21}^{\text{п}} = 0$ .

Порівнюючи процедуру синтезу взаємного ПП в режимі часткового узгодження (див. рис. 2.5) та в режимі неузгодження (рис. 2.6) УПП видно, що в останньому випадку кількість кроків процедури синтезу на 20% менше ніж в першому випадку, а синтезований пристрій оптимізовано за більшою кількістю параметрів (в два рази).

## Перелік літератури до розділу 2

1. Малорацкий Л.Г. Микромініатюризація елементов и устройств СВЧ. – М.: Сов. радіо, 1976. – 216 с.
2. Негатроника / А.Н. Степанов, Л.Н. Степанова, Н.А. Філінюк и др. – Новосибирск. Сибирская издательская фирма РАН, 1995. – 315с.
3. Філінюк Н.А. Активные СВЧ фильтры на основе обобщенных преобразователей иммитанса. // Радиотехника и электроника, 1983. – Т.8, №5. – С. 817–833.
4. Філінюк Н.А. Синтез активных СВЧ фильтров на основе однотранзисторных преобразователей импеданса. // Машинное моделирование электрических и электронных цепей. – К.: Наукова думка, 1981. – С. 72–77.
5. Філінюк Н.А. Активные СВЧ фильтры. – М.: Радио и связь, 1987. – 112с.
6. Аналіз і расчет інтегральних схем. Под ред. Д. Ліна. Пер. с англ. – М.: Мир, 1969. – 370с.
7. Белоусов А.П. Расчет коэффициента шума радиоприемников. – М.: Оборонгиз, 1959. – 184 с.
8. Айбиндер И.М. Шумы радиоприемников. – М.: Связь, 1974. – 328с.
9. Желуд В., Кулешов В. Шумы в полупроводниковых устройствах. – М.: Сов. радио, 1977. – 416 с.
10. Смогилев К.А. Резонансные усилители на трехполюсниках. – М.: Сов. радио, 1972. – 304 с.
11. Музика З.Н. Чувствительность радиоприемных устройств на полупроводниковых приборах. – М.: Радио и связь, 1981. – 168с.
12. Lange I. Noise characterization of linear two ports in terms of invariant parameters. – IEE S, 1967. V.SC-2. – P. 37–40.
13. Богачев В.М., Никифоров В.В. Транзисторные усилители мощности. – М.: Энергия, 1978. – 334 с.
14. Філінюк М.А., Ле Туан Ту, Судакевич Д.Г. Визначення шумових коефіцієнтів інформаційного приладу. // Вимірювальна та обчислювальна техніка в технологічних процесах. Хмельницький, 1998. – №1, С. 97–100.
15. Ланнэ А.А. Оптимальный синтез линейных электронных схем. – М.: Связь, 1978. – 336 с.
16. Вай Кайчэн. Теория и проектирование широкополосных согласующих цепей: Пер. с англ. – М.: Связь, 1979. – 288 с.

17. Rollet J.M. Stability and power gain invariant of linear for ports. IRE Trans., 1962. V. CT-9, N1. – P. 29–32.
18. Маттей Д.Л., Янг Л., Джонс Е.М.Т. Фильтры СВЧ, согласующие цепи и цепи связи: Пер. с англ. / Под ред. Л.В. Алексеева и Ф.В. Кушнира. – М.: Связь, 1971. – 240 с
19. Филинюк Н.А. Использование индуктивного транзистора в качестве первичного измерительного преобразователя. // Тез. докл. республиканской научн.-техн. конф. „Информационно-измерительные системы”. – Кишинев: 1975. – С. 38.
20. Филинюк Н.А., Дмитриев Ю.А. Построение измерительных преобразователей для определения концентрации спирта, использующих пролетные явления в транзисторах. // Тез. докл. республ. научн.-техн. конф. „Физические основы построения первичных измерительных преобразований”. – Винница: 1977. – Т.2. – С.8.
21. Филинюк Н.А., Лютворт С.Г., Шанчук Н.И. Разработка измерителя внутричерепного давления на основе транзисторного преобразования импеданса. // Тез. докл. всесоюзн. научн.-техн. конф. „Вопросы улучшения технических параметров универсальных электроизмерительных приборов”. – Житомир: 1979. С.304–306.
22. Машинная оптимизация электронных узлов РЭА. А.Г. Ларин, Д.И. Томашевский, Ю.М. Шумков, В.М. Эйдельнант. – М.: Сов. радио 1978. – 192 с.
23. Моделирование и потимизация на ЭВМ радиоэлектронных устройств. З.М. Бенинсон, М.Р. Елистратов, Л.К. Ильин и др. /Под ред. З.М. Бенинсона. – М.: Радио и связь, 1981. – 272 с.
24. Фельдштейн А.Л., Явич Л.Р. Синтез четырехполюсников и восемьиполюсников на СВЧ. – М.: Связь, 1971. – 388 с.
25. Филинюк М.А. Аналіз і синтез інформаційних пристройів на базі потенційно-нестійких узагальнених перетворювачів імітанса. – Вінниця, ВДТУ, 1998.

## РОЗДІЛ 3

# ІНФОРМАЦІЙНІ ПРИСТРОЇ НА ОСНОВІ КОМБІНОВАНИХ ДИНАМІЧНИХ НЕГАТРОНІВ

Результати теоретичних і експериментальних досліджень інжекційно-прольотних ефектів виникнення ДНО у багатоелектродних напівпровідникових структурах [1], а також розроблені в попередніх розділах основи теорії ІП на основі цих ефектів, дозволяють створювати різні види високоефективних ІП. У розділі розглянуті принципи побудови таких пристрій, їхні принципові схеми, топологія й конструкція, а також результати досліджень, що підтверджують коректність основних теоретичних положень. Не порушуються питання стабільності параметрів ІП. Ці питання, з огляду на їхню важливість для широкого практичного використання ІП в інформаційних системах, внесені в четвертий розділ.

### 3.1. Керуючі елементи

Важливою властивістю багатоелектродної напівпровідникової структури є реалізація на її основі високоефективних керуючих елементів (КЕ), елементів, імітанси яких може змінюватися в широкому діапазоні значень під дією різних керуючих сигналів.

Відомо широке використання в якості КЕ варикалів [2, 3], р-і-п діодів [4], сегнетоелектриків [5], ферітів [6], терморезисторів [7] і фоторезисторів [8]. Однак всі вони відносяться до пасивних пристрій і є двополюсниками, що обмежує їхні функціональні можливості.

Розроблена в [1] модель багатоелектродної напівпровідникової структури, як УПП, дозволяє представити єдину класифікацію таких КЕ (рис. 3.1) і провести їх дослідження з єдиних теоретичних позицій.

Відповідно до представленої класифікації, всі керуючі елементи діляться на однокаскадні й багатокаскадні. Використовуючи шість відомих видів УПП можна реалізувати 24 типи однокаскадних КЕ. Найбільший практичний інтерес становлять КЕ, що забезпечують реалізацію ДНО.

Незважаючи на вплив паразитних реактивних елементів корпуса й виводів напівпровідникової структури, а також явища міждолинного переносу заряду, які не є предметом досліджень, практичне застосування одержали три види однокаскадних УПП: УПП<sup>K</sup> із закороченим по змінному струму вхідним ланцюгом (рис. 3.2а), УПП<sup>K</sup> із закороченим по постійному струму вхідним ланцюгом (рис. 3.2в) і УПП<sup>K</sup> з розірваним по змінному струму вхідним ланцюгом (рис. 3.2е). КЕ перших

двох типів мають ДНО на частотах  $f < f_{\max}$ , третього типу – на частотах  $f > f_{\max}$ .

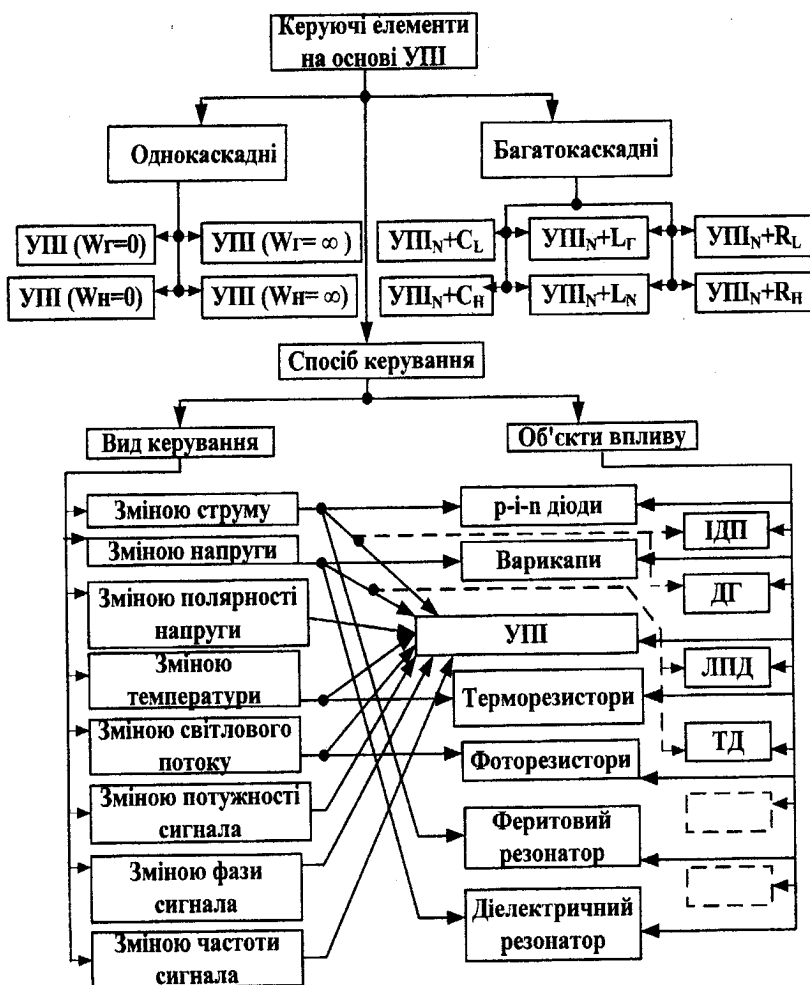
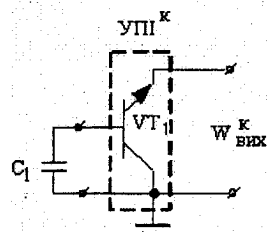
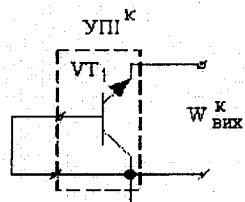
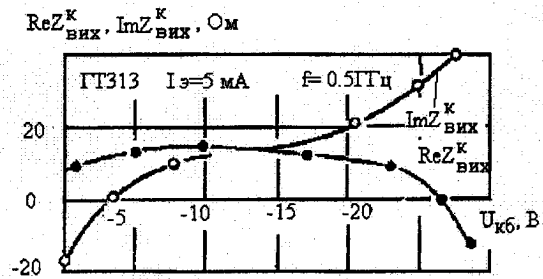


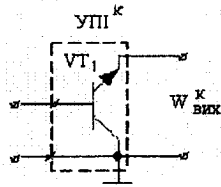
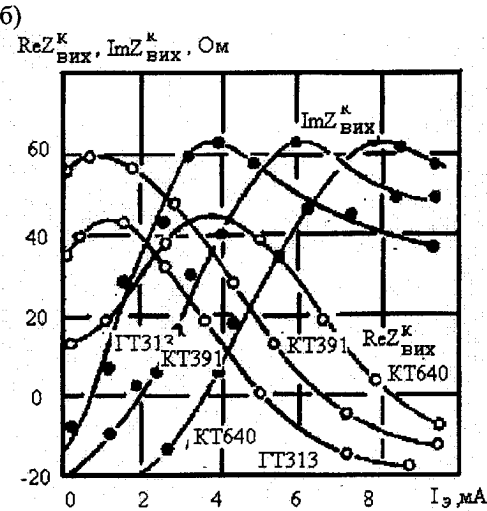
Рис. 3.1. Класифікація керуючих елементів на базі транзисторних узагальнених перетворювачів імітансу



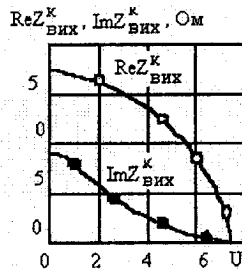
а)



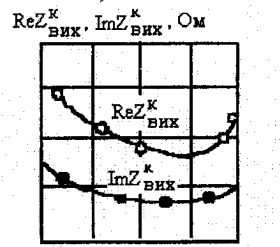
б)



д)



е)



ж)

Рис. 3.2. Різновиди однокаскадних керуючих елементів на основі УПІ і їх експериментальні характеристики

Вихідний імітанс КЕ вигляду рис. 3.2а у діапазоні частот  $f < 0,5f_T$ , де  $1/WC_k \gg r_b$  дорівнює  $Z_{\text{aux}} = r_b(1 - \alpha)$ . З формулі випливає, що перетвореним є омічний опір бази  $r_b$  біополярної напівпровідникової структури. Зміна робочої точки такої структури незначно змінює величину цього опору [9, 10], але призводить до суттєвого зменшення коефіцієнта передачі транзистора по струму  $\alpha_0$  ( $\beta_0$ ). При наближенні до межі пробою виникає лавинне множення носіїв струму в колекторному переході ( $\alpha_0 > 1$ ) та при значенні  $M_L = 2/\alpha_0(1 - \omega_T C_K r_b)$ , маємо  $\text{Re } Z_{\text{aux}}^k < 0$ . Таким чином, змінюючи напругу на колекторному переході  $U_{KB}$  можна керувати перетворюваним імітансом такого КЕ від додатних до від'ємних значень (рис. 3.2б) [11, 12]. Недоліком такого КЕ є його низька температурна стабільність та надійність, що властиві напівпровідниковим приладам, що працюють в лавинному режимі [13].

Використання точкових транзисторів, у яких ( $\alpha_0 > 1$ ), наприклад типу СІА, дозволяє реалізувати КЕ з аналогічними властивостями без використання режиму лавинного множення. Технологічні труднощі реалізації транзисторів цього типу привели до зняття їх із серійного виробництва, хоча унікальні властивості вказують на можливість їхнього часткового застосування, наприклад у якості КЕ або аналогів індуктивності. З цієї точки зору їх можна успішно замінити одноперехідним транзистором [14].

У випадку замикання ланцюга "база-колектор" по постійному й по змінному струмах рис. 3.2в, реалізується КЕ другого типу. На рис. 3.2г представлена залежність дійсної  $\text{Re } Z_{\text{aux}}^k$  і уявної  $\text{Im } Z_{\text{aux}}^k$  складових перетвореного імітансу від струму емітера  $I$  для даного КЕ. При розрахунку враховувалася струмова залежність параметрів  $r$ ,  $i$   $\alpha$ . При малих струмах емітера  $I_e < 3mA$ , перетворений імітанс має ємнісний характер з низькою добробутністю, обумовлений імітансом емітерного переходу. Зі збільшенням  $I_e$ , у результаті зниження  $r$ , і росту  $\alpha_0$  починає зростати індуктивна складова перетвореного імітансу й зменшується дисипативні втрати. При  $I_e > I_{e,\text{nom}}$  відбувається зміна знака  $\text{Re } Z_{\text{aux}}^k$  на протилежний. Цей же ефект описаний без пояснення в [15]. Причина зниження  $\text{Im } Z_{\text{aux}}^k$  при більших струмах, варто вважати, по-перше, зменшення коефіцієнта передачі  $\alpha_0$  внаслідок зниження коефі-

цієнта інжекції, а також зростання омічного опору бази  $r_b$  внаслідок її звуження під дією струмів, що течуть вздовж осі  $Z$ , що найглибше досліджено в уніполярних транзисторах, як ефект "звуження каналу" [16].

Результати, наведені на графіках (е) і (ж), отримані з використанням біполярного транзистора ГТ312 ( $I_e = 5 \text{ mA}$ ,  $U_{cb} = -5 \text{ V}$ ,  $f = 0,5 \text{ ГГц}$ )

У випадку розірваного по змінному струму ланцюга бази ( $Z_b = \infty$ ) (рис. 3.2д) поява ДНО можлива тільки на частотах, де  $\arg(1 - \alpha) < 0$ , тобто на частотах вище  $f_{\max}$ . Досліджувалася залежність вихідного імітансу такого КЕ від  $U_{cb}$  і  $I_s$  (рис. 3.2е, ж). Найбільша крутість зміни перетвореного імітансу спостерігається при зміні напруги  $U_{cb}$ , з ростом якого відбувається зміна як коефіцієнта перетворення УП  $T_k^k = (1 - \alpha)$ , так і перетвореного імітансу, роль якого виконує імітанс бар'єрної емності колекторного переходу  $C_k$ . Зміна  $I_s$  не впливає на величину  $C_k$ , а змінює тільки  $T_k^k$ , що обмежує діапазон зміни перетвореного імітансу й зумовлює його значну нелінійність, небажану при реалізації КЕ.

Всі досліжені види однокаскадних КЕ на основі УП в діапазоні регулювання керованого параметра істотно змінюють свою добробутність, що є їхнім недоліком. Але реалізація КЕ з використанням тільки одного УП забезпечує їхню високу надійність і технологічність.

Багатокаскадні КЕ на основі УП запропоновано реалізувати у вигляді багатокаскадних УП [17, 18], або у вигляді однокаскадного УП й пасивного КЕ [19, 20, 21] (рис. 3.1). Зміна параметрів багатокаскадних КЕ на основі УП досягається як зміною параметрів УП, так і пасивного КЕ. Розглянемо переваги, які дає використання УП в КЗ.

Відомо, що діапазон керування частотно-вибіркових пристрій визначається коефіцієнтом перекриття  $K_x$  по керуючому параметру (на приклад, для варикапа – це коефіцієнт перекриття по емності  $K_c$  [2] і "якістю" [22] цього КЕ при використанні його в комутуючих пристроях. Одним з обмежень першого параметра  $K_c$ , є зменшення добробутності КЕ нижче одиниці. З огляду на те, що УП дозволяє синтезувати ДНО, можливе підвищення добробутності КЕ, що веде до росту коефіцієнта перекриття  $K_c$ . Покажемо це на прикладі КЕ виду  $UPI_{N=1} + C_n$ .

Відомо, що  $K_{cl} = (C_{\max 1}/C_{\min})^{1/2}$ , де емність  $C_{\min}$  обмежена напругою пробою варикапа (рис. 3.3), а емність  $C_{\max}$  відповідає добробутності варикапа  $Q_{el} = 1$ . З огляду на те, що  $Q_{el} = 1/\omega R_s C$ , знаходимо  $C_{\max 1}(Q_{el} = 1) = 1/\omega R_s$ . При підключені варикапа до УП<sup>K</sup> його добробутність підвищується до величини  $Q_{d2} = 1/C(R_s - \operatorname{Re} W_{aux})$ . Звідки знаходимо  $C_{\max 2}(Q_{d2} = 1) = 1/\omega(R_s - \operatorname{Re} W_{aux})$ , враховуючи, що при цьому  $C_{\min} = const$  визначаємо:

$$\frac{K_{cl}}{K_{c2}} \approx \left( \frac{R_s}{R_s - ReW_{aux}} \right)^{\frac{1}{2}} = \left( \frac{Q_{el}}{Q_{el2}} \right)^{\frac{1}{2}} = m^{\frac{1}{2}},$$

тобто коефіцієнт перекриття по ємності варикапа збільшується в  $\sqrt{m}$  разів, де  $m$  – коефіцієнт збільшення його добротності. Отримане співвідношення є наближенним, тому що, не враховує зниження власної добротності варикапа  $Q_{el}$  внаслідок зменшення диференціального опору р-п переходу, що при прямому зсуві змінюється зворотно пропорційне його струму ( $r_e = KT/qI_e$ ). Як показали експериментальні дослідження з використанням варикапів типу KB108 та УПІ<sup>K</sup> на транзисторі КТ391, можливо збільшити  $K_c$  в 1,5÷2 рази.

На рис.3.4 представлені залежності "якості" КЕ на базі УПІ<sup>K</sup> від струму емітера  $I_s$ . "Якість" однокаскадного КЕ досягає  $K_{A1}=200$  од, а використанням двокаскадного УПІ<sup>K</sup> з  $Z_L=R_b$  та багатокаскадного КЕ типу УПІ<sup>K</sup><sub>N=1+L</sub>, при тому ж керуючому впливі, забезпечує  $K_{A2}=K_{A3}=800$  од. Для порівняння, "якість" р-і-п діодів у дециметровому діапазоні досягає 150-200 од. [23].

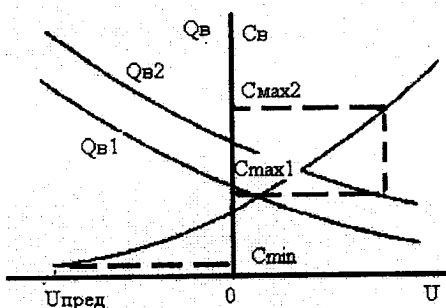


Рис. 3.3. Залежність ємності  $C_B$  і добротності  $Q_B$  варикапа від напруги на ньому з урахуванням множення його добротності

Більш висока "якість" КЕ на основі УПІ пояснюється широким діапазоном зміни перетвореного імітансу. Як дійсна, так і уявна складова цього імітансу можуть змінюватися від позитивних до негативних значень [156]. Каскадуючи УПІ, можна керувати величиною й характеристиками імітансу (рис. 3.5).

Керуючі елементи на основі УПІ мають ще одну важливу перевагу в порівнянні з відомими пасивними КЕ. Це широкий діапазон керуючих впливів (рис. 3.1). Для однокаскадних КЕ на основі УПІ ця зміна струму й напруги [11], температури [25], величини світлового потоку (табл. 3.1) [21], потужності [26], і частоти сигналу [27].

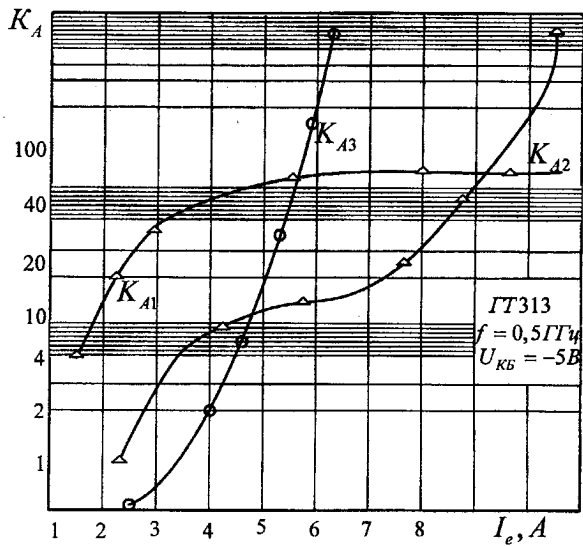


Рис. 3.4. Залежність "якості" керуючого елемента на основі УПІ<sup>К</sup> від струму емітера  $I_e$ :  $K_{A1} - Z_\Gamma = R_\Gamma$ ,  $K_{A2} - Z_\Gamma = jwL_\Gamma$ ,  $K_{A3} - Z_\Gamma = Z_{aux2}^K$

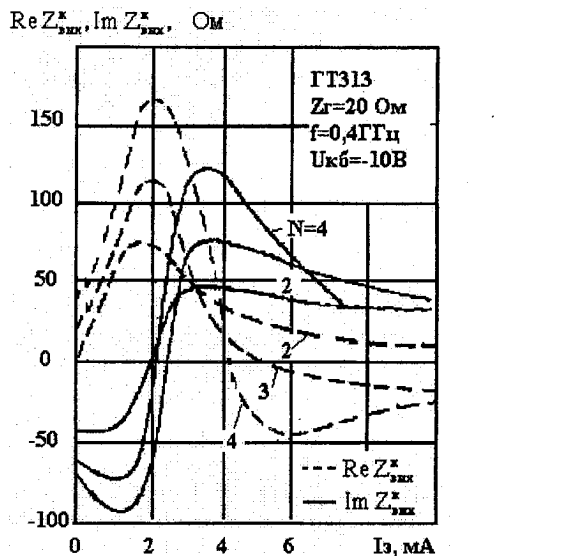


Рис. 3.5. Залежність перетвореного імітансу УПІ<sup>К</sup> від числа каскадів  $N$  та струму емітера транзистора  $I_e$

Таблиця 3.1

Залежність параметрів УПІ<sup>к</sup> від величини світлового потоку

| ГТ313                                   | U <sub>к0</sub> =5 В |      |      |      |      | I <sub>3</sub> =5 мА |       |       |       |       |      |
|---|----------------------|------|------|------|------|----------------------|-------|-------|-------|-------|------|
|   | 0                    | 1    | 5    | 10   | 20   | 30                   | 50    | 75    | 100   | 150   | 200  |
| Φ, Лм·10 <sup>-3</sup>                  | 4,8                  | 4,6  | 4,0  | 3,46 | 2,7  | 2,2                  | 1,6   | 1,2   | 0,985 | 0,7   | 0,56 |
| R <sub>в</sub> , (Ом)                   | 0,73                 | 0,76 | 0,87 | 1,0  | 1,29 | 1,57                 | 2,12  | 2,86  | 3,56  | 4,96  | 6,34 |
| C <sub>в</sub> , (пФ)                   | 2,1                  | 2,17 | 2,5  | 2,9  | 3,7  | 4,5                  | 6,1   | 8,15  | 10,2  | 14,2  | 18,2 |
| ReZ <sup>k</sup> <sub>вих.</sub> , (Ом) | 6,25                 | 6,06 | 5,8  | 3,52 | 2,8  | 2,56                 | 2,42  | 2,25  | 2,23  | 2,18  | 2,12 |
| ImZ <sup>k</sup> <sub>вих.</sub> , (Ом) | 16,1                 | 15,5 | 14,3 | 13,2 | 11,1 | 10,7                 | 7,9   | 5,6   | 4     | 2,58  | 1,02 |
| Q <sub>L</sub>                          | 2,58                 | 2,56 | 2,48 | 3,76 | 3,96 | 4,18                 | 3,14  | 2,49  | 1,8   | 1,18  | 0,48 |
| L <sub>екв.</sub> , (мГ)                | 5,14                 | 4,94 | 4,55 | 4,2  | 3,54 | 3,4                  | 2,5   | 1,78  | 1,27  | 0,82  | 0,32 |
| I <sub>в</sub> , (мА)                   | 5,23                 | 5,43 | 6,23 | 7,23 | 9,23 | 11,23                | 15,23 | 20,23 | 25,23 | 35,23 | 45,2 |

Вони можуть реалізовувати як дискретне, так і аналогове керування. Але при використанні режиму роботи КЕ із широким діапазоном зміни перетвореного імітансу, спостерігається зміна знака дійсної складової перетвореного імітансу.

### 3.2. Некеровані активні фільтри

#### 3.2.1. Некеровані активні фільтри і лінії затримки на базі бі-полярних транзисторів

Основним елементом аналогових процесорів, багатозначних логічних схем і оптимальних інформаційних систем, що використовують як носій інформації електромагнітні коливання, є фільтри (Ф). Вони реалізуються на зосереджених LC елементах [28], феритах [6], сегнетоелектриках [5] і відрізках ліній передачі [29]. Загальним недоліком цих Ф є пропорційна залежність їхньої добробутності від геометричних розмірів, що ускладнює їхню мініатюризацію. Крім того всі вони відносяться до пасивних пристрій, що є причиною дисипативних втрат сигналу у смузі прозорості. Відомі також активні RC фільтри на основі дійсних конверторів і інверторів імітансу [30]. Але їхній робочий діапазон частот не перевищує 100 – 500 МГц.

Усі вищерозглянуті недоліки відсутні в активних фільтрах (АФ), що використовують негатрони. Класифікація цих АФ відбита на рис.3.6. Вони відносяться до групи транзисторних АФ і можуть мати як взаємні, так і невзаємні властивості. Взаємні АФ реалізуються у вигляді відрізків лінії передачі, паралельно яким включаються квазіактивні резонатори.



Рис. 3.6. Класифікація активних фільтрів (ФВЧ – фільтр верхніх частот, ФНЧ – фільтр нижніх частот, ППФ – смуго-пропускаючий фільтр, ППЗ – смуго-загороджувальний фільтр)

Схеми й характеристики однорезонаторних АФ, що використовують комбінований транзисторний негатрон, зображені на рис. 3.7 і 3.8. На рис. 3.7а представлена принципова схема однорезонаторного невзаємного АФ. Такий АФ дозволяє реалізувати загасання поза смугою пропущення порядку 15–20 дБ при 1% відносній смузі пропущення й одиничному коефіцієнти передачі на частоті 660 МГц [30]. Зміна струму емітера від 6 до 10 мА веде до зміни коефіцієнта передачі, а квазірезонансна частота АФ при цьому залишається практично незмінною. Це явище можна пояснити слабкою залежністю коефіцієнта перетворення УПП<sup>K</sup> від  $I_3$ , поблизу його номінальних значень і сильним впливом  $r_3$ , що зменшується пропорційно струму емітера, що веде до росту добротності резонатора. Коефіцієнт шуму такого фільтра при

використанні транзистора типу КТ326 на частоті 0,65 ГГц дорівнює 3,9 дБ [31].

Аналогічно ППФ реалізується однорезонаторний ПЗФ (рис. 3.7г), топологія плати й АЧХ якого зображені на рис. 3.7д, е. Даний ПЗФ забезпечує в дециметровому діапазоні загасання порядку 20 + 25 дБ при 1% смузі запирання. Втрати поза смugoю запирання становлять 0,5 + 1ДБ. Підстроювання АФ на необхідну частоту  $f_0$  можна здійснювати шляхом зміни напруги  $U_{KB}$ , що викликає зміну ємності колекторного переходу  $C_K$ , імітанс якої, трансформуючи у ланцюг емітера, веде до зміни перетвореного імітансу  $Z_{aux}^k$ .

Забезпечити більшу мініатюризацію розглянутих АФ можна шляхом виключення зі схеми перетвореної індуктивності. Для вирішення даного завдання використовується чотири способи: використання транзисторів з коефіцієнтом передачі по струму  $\alpha_0 > 1$ ; використання транзистора в режимі лавинного множення [32, 12], використання багатокаскадних УП [18], використання дифузійної індуктивності бази біполярного транзистора [15].

Перший спосіб можливий при використанні точкових чи одноемітерних біполярних транзисторів, що мають  $\alpha_0 > 1$ .

Використання режиму лавинного множення при реалізації мало сигнальних ІП обмежено сильними шумами біполярного транзистора при напругах на колекторному переході поблизу напруги лавинного пробою. Однак, як показали дослідження максимальної частоти генерації біполярних структур [33], використання цього режиму має перспективу при реалізації ІП, призначених для роботи з більшим рівнем потужності на частотах, що значно перевищують максимальну частоту генерації біполярного транзистора в нелінійному режимі.

Найбільш перспективним способом реалізації без індуктивних АФ широкого діапазону частот, включаючи НВЧ діапазон, є користування багатокаскадних УП. На рис. 3.8а, б зображені принципові схеми однорезонаторних взаємних ППФ і ПЗФ на основі двокаскадних УП<sup>K</sup> в режимі зворотного перетворення дійсного імітансу резистора R. Дані АФ, у порівнянні з однокаскадними (рис. 3.7), мають нижчу стабільність, що властиво багатокаскадним УП.

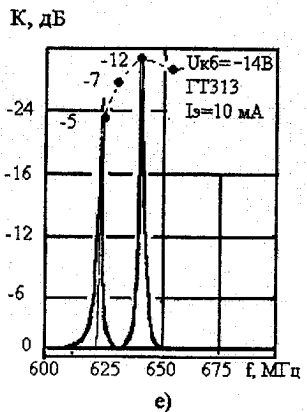
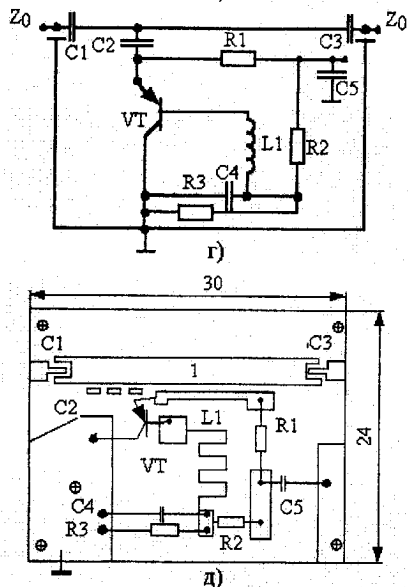
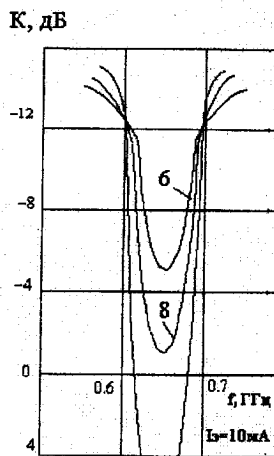
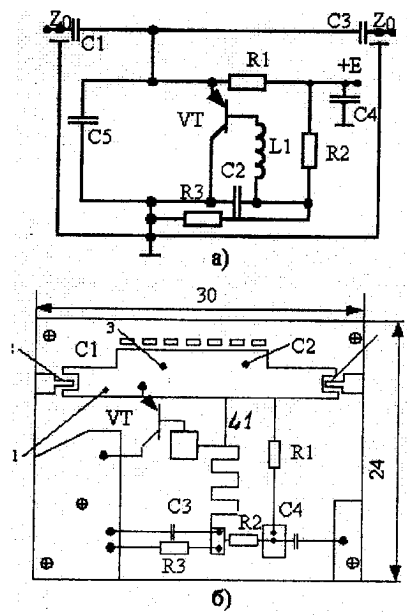
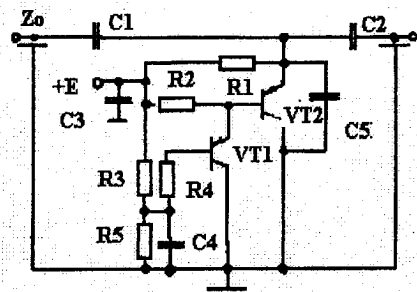
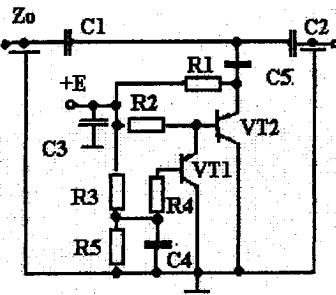


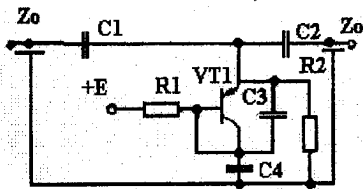
Рис. 3.7. Однорезонаторні взаємні АФ



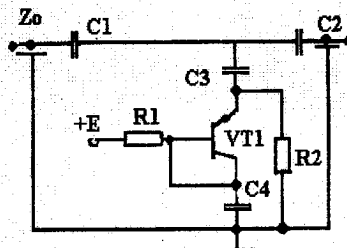
а)



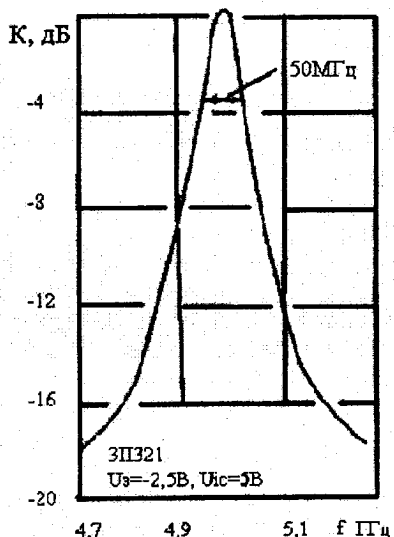
б)



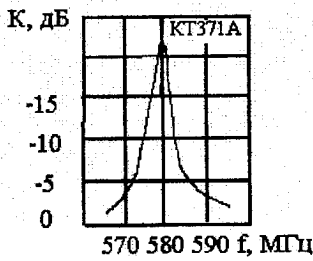
в)



г)



д)



е)

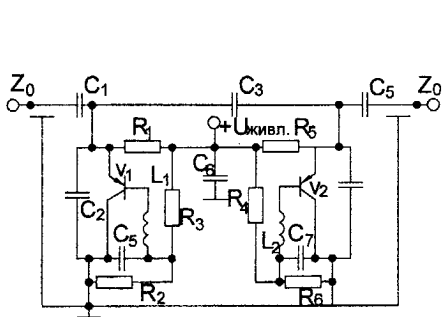
Рис. 3.8. Безіндуктивні однорезонаторні взаємні АФ

Використання дифузійної індуктивності бази також дозволяє реалізувати безіндуктивні АФ (рис. 3.8в, г). Порівнюючи АЧХ такого АФ (рис. 3.8д) з АЧХ АФ на основі УПІ<sup>К</sup> (рис. 3.7в), бачимо, що їхні параметри близькі по величині. Робота цих АФ при великих струмах емітера ( $I_E=25$  мА) забезпечує їх високу температурну стабільність, але робить їх енергетично невигідними (потужність розсіювання на резисторах  $R_1$  і  $R_2$  становить порядку 100 мВт).

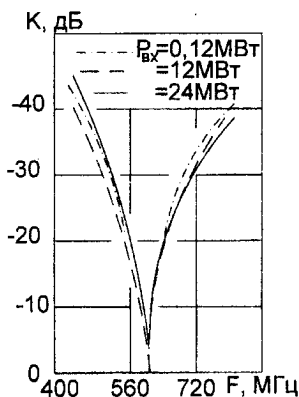
Для розширення смуги пропускання ППФ збільшення придушення поза смugoю пропускання й зменшення нерівномірності їхніх коефіцієнтів передачі у смузі пропускання, а також для збільшення придушення в робочій смузі ПЗФ, використовуються схеми багатокаскадних АФ (рис. 3.9г).

Наприклад [18], двохкаскадний ППФ на основі УПІ<sup>К</sup> забезпечує придушення сигналу при відстрийці на 100 МГц від  $f_0=0,6$  Гц більше 40 ДБ при  $\Delta f = 10$  МГц (рис. 3.9б). Його коефіцієнт шуму дорівнює 9,2 дБ. Топологічне рішення даного НАФ (рис. 6.3.4в) аналогічно рішенням, використовуваним при реалізації однорезонаторних АФ і відповідає вимогам їхнього масового виробництва у вигляді гібридних мікросхем.

Збільшуючи число каскадів, можна продовжувати поліпшувати параметри АЧХ взаємних АФ, але при цьому відбувається подальше погіршення їхньої стабільноти, пропорційно збільшується споживана потужність, веде до зменшення їхньої ефективності. Частково перебороти ці недоліки можна шляхом використання або нової елементної бази або нових схематичних рішень.

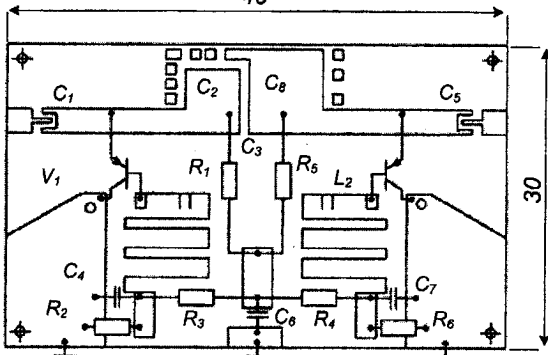


a)

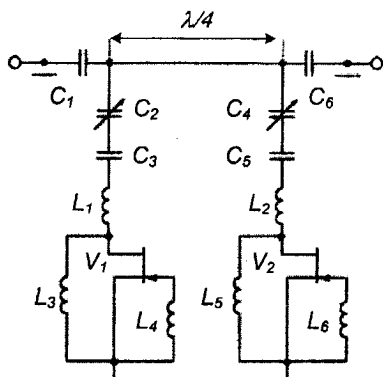


б)

Рис. 3.9. Двохрезонаторні взаємні АФ

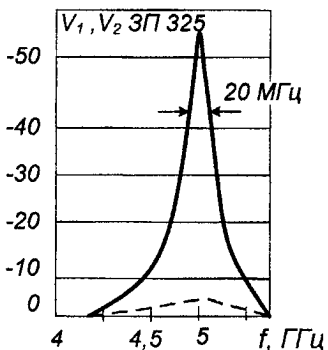


б)



г)

К, дБ



д)

Продовження рис. 3.9. Двохрезонаторні взаємні АФ

У першому випадку для реалізації взаємного двох резонаторного ППФ, запропоновано використати спарений тетрод. Підвищена термостабільність даного АФ пов'язана з однаковим тепловим режимом кожного каскаду, реалізованих на одному кристалі.

У другому випадку використовується властивість УПІ перетворювати імітанс сходового ланцюга без зміни його форми. На рис. 3.10а представлена принципова електрична схема ППФ, що реалізує даний спосіб [34]. Усі вищерозглянуті взаємні АФ призначенні для реалізації на частотах нижче максимальної частоти генерації  $f_{\max}$ . В підрозділі 2.3 теоретично була обґрунтована можливість реалізації ДНО за допомогою біполярної напівпровідникової структури на частотах

вище  $f_{\max}$ . Для експериментальної перевірки можливості практичного технічного використання цього ефекту, реалізований однорезонаторний ППФ (рис. 3.10б) [35], у якому ланцюг бази на частоті  $f > f_{\max}$  розривається по змінному струмі за допомогою ПЗФ. В експерименті, з метою виключення впливу паразитних реактивностей використовувався низькочастотний транзистор типу КТ3І2, що має  $f_{\max} = 72,7$  МГц. На частоті  $f_0 = 120$  МГц була отримана частотна вибірковість  $\Delta f = 10$  МГц при коефіцієнті передачі  $K_0 = +2$  дБ, що підтверджує правильність теоретичних висновків.

Відомо [36], що ППФ можуть використовувати як лінії затримки (ЛЗ). Це відноситься й до розроблених АФ [37]. З метою перевірки цієї можливості була реалізована активна ЛЗ (АЛЗ) у вигляді ланки типу "m". Груповий час затримки такої ланки АЛЗ, реалізованого на транзисторі типу КТ3107, становило  $t_{30} = 80$  мкс у смузі частот 650–670 МГц. При цьому забезпечувалося посилення сигналу в смузі затримки на 2 дБ.

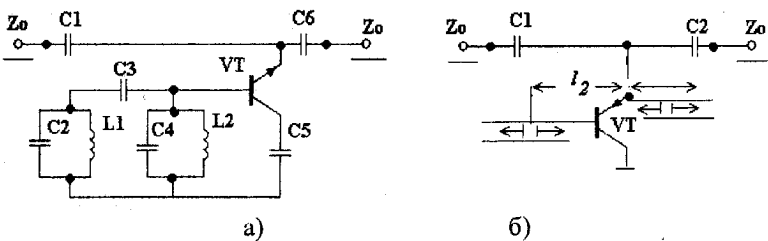


Рис 3.10. Різновиди взаємних АФ

Невзаємні АФ можуть працювати в одному з режимів: узгодження на вході, узгодження на виході й – у режимі неузгодженості. Принципова схема АФ, синтезованого за допомогою представленої в другому розділі методики, виявилася для всіх режимів одинакова й має вигляд, зображений на рис. 3.11а. Теоретичне значення коефіцієнта  $F_w = 2,8$  дБ для цієї схеми є найменшим у режимі узгодження вихідного ланцюга УП. Однак у цьому режимі вибірковість АФ значно гірше, ( $\Delta f = 5$  МГц), чим у випадку режиму з розузгодженим УП ( $\Delta f = 3$  МГц,  $F_w = 4,3$  дБ).

Експериментальна перевірка синтезованого АФ у цих режимах здійснювалася на АФ типу АФ-391-2. Експериментальні результати наведені на рис. 3.11б, в.

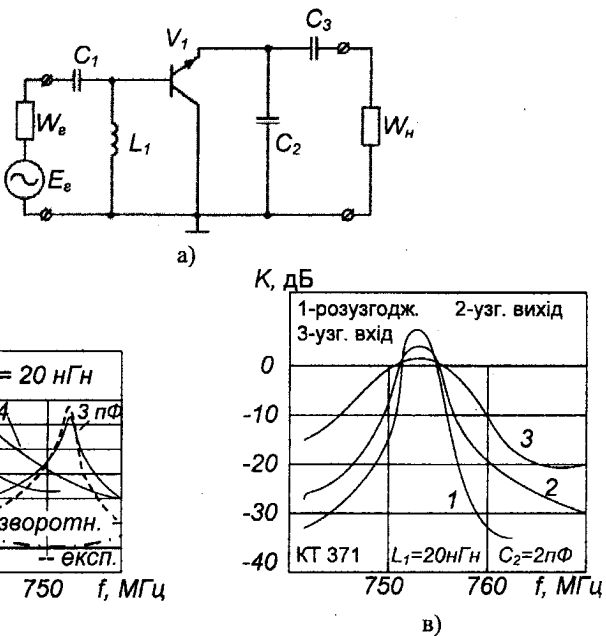


Рис. 3.11. Високочастотна частина схеми (а) та амплітудно-частотні характеристики (б, в) однорезонаторного взаємного АФ

В режимі неузгодження даний Ф забезпечує заглушення порядку 30dB при відстройці на 15 МГц від  $f_0$  при коефіцієнті передачі  $K_0=12$  dB та коефіцієнті шуму  $F_{ш}=5$  dB. В режимі узгодження виходу УП в даному АФ відбувається розширення смуги пропускання до 5 МГц (рис. 3.11в), але зменшується коефіцієнт шуму до 2,3 dB. Отримані результати співпадають з результатами теоретичних досліджень в межах  $\pm 5\%$  інтервалу.

Крім розглянутих параметрів ( $f_0$ ,  $K_0$ ,  $F_{ш}$ ) найважливішою характеристикою АФ є величина заглушення сигналу. Для розглянутих одно резонаторних АФ, величина заглушення при відбудуванні на  $2\Delta f$  від  $f_0$  у дециметровому діапазоні становить порядку 20 – 30 dB і знижується до 15 – 20 dB при переході в сантиметровий діапазон частот. Для збільшення придушення сигналу поза смugoю пропущення при побудові як вузькосмугових, так і широкосмугових АФ запропоновані багатоконтурні АФ. Для їхньої реалізації використовуються режими як частково узгодженого, так і неузгодженого УП.

У першому випадку багатоланковий, звичайно багаторезонансний RLC ланцюг підключається до виходу УПІ після ланцюга, погоджувального (рис. 3.12а). Недоліком цього типу АФ є необхідність у великій кількості RLC елементів (наприклад при реалізації максимальної плоскої характеристики загасання із заглушенням на 40 дБ при відбудуванні  $f_{np}/f - 1 = I$ , маємо  $n=7$ ). Крім того, з метою узгодження потрібно як мінімум два елементи.

При реалізації багаторезонаторних АФ на основі розузгоджених УПІ, багатоланковий RLC ланцюг може підключатися як на виході, так і на вході УПІ (рис. 3.12б, в). В другому випадку, внаслідок часткового придушення сигналу у вхідному ланцюгу (в залежності від матеріалу підложки) відбувається збільшення на 3+10 дБ рівня насичення АФ.

Але в цьому випадку на 1,5–5 дБ зростає коефіцієнт шуму АФ. Наприклад в АФ, зображеному на рис. 3.12в, реалізованому на транзисторі типу KT640A, він досягає 6 – 8 дБ при смузі пропущення 20 МГц на частоті  $f_0 = 1,2\text{ГГц}$ . Розташовуючи багатоелементний RLC ланцюг на виході УПІ, вдається знизити коефіцієнт шуму до 3 – 5 дБ, але в цьому випадку рівень насичення АФ знижується на 3 – 10 дБ. Розрахунок вихідного багатоелементного LC ланцюга даного АФ проводиться з обліком того, що до її входу підключений вихідний імітанс УПІ, що має негативну дійсну складову  $\operatorname{Re}Y_{uu} < 0$ . Методика розрахунку таких ланцюгів розроблена для випадку прохідних підсилювачів на тунельних діодах [4].

Внесення в багатоелементний LC ланцюг на виході УПІ негативного дійсного імітансу веде до підвищення його добротності, що, як показано С.Б. Коном [37], дозволяє зменшити кількість елементів п для реалізації заданого придушення при постійному значенні коефіцієнта передачі.

Цей важливий висновок підтверджують і результати експериментальних досліджень АФ типу ФПЧ I-СА-2, виконаних по схемах рис. 3.12а, б. Маючи однакові значення параметрів (рис. 3.12г, д) (за винятком коефіцієнта шуму, що для випадку неузгодженого УПІ більше на 2,3 дБ), АФ з неузгодженого УПІ має на 30% меншу кількість LC елементів.

Важливим достоїнством розглянутих АФ є невзаємність, що характеризується коефіцієнтом невзаємності (рис. 3.13а). Як показали експериментальні дослідження однорезонаторного АФ на основі транзистора KT371 [38], у діапазоні частот 730–740 МГц його зворотній коефіцієнт передачі досягає – 30 дБ при посиленні 5 дБ.

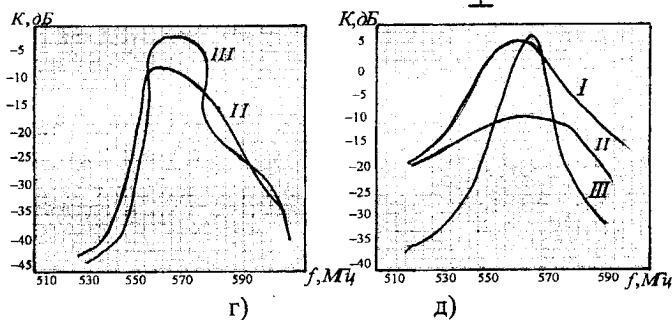
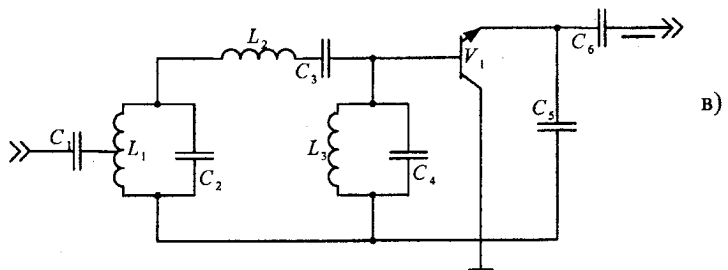
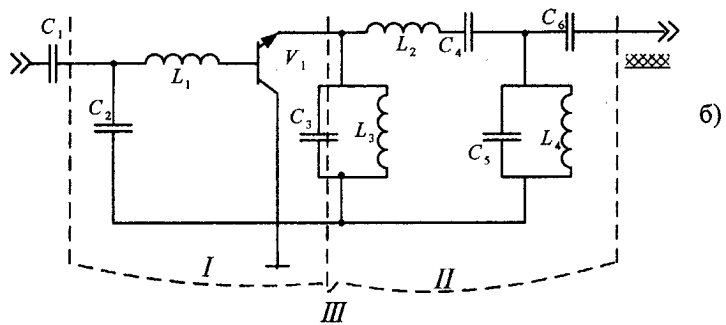
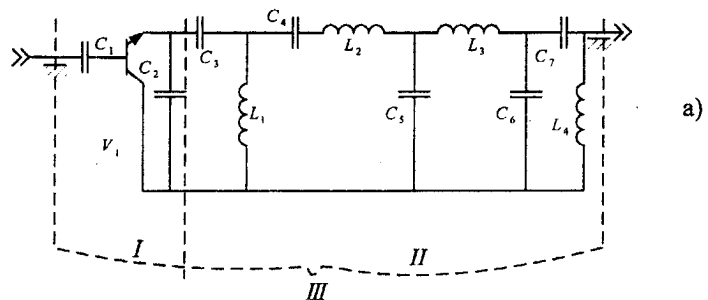


Рис. 3.12. Високочастотна частина схем (а-в), амплітудно-частотні характеристики (г, д) багаторезонантних невзасмінних АФ

Невзаємні властивості розглянутих АФ дозволяють будувати на їхній основі мультиплексори (рис. 3.13а) без використання спеціальних дільників потужності [31]. Відключення напруги від транзистора приводить до запирання каналу мультиплексора на 20 дБ. Розмір підкладки розробленого мультиплексора, виконаного у вигляді гібридної мікросхеми на підкладці тип. СТ38 рівний 60x38 мм.

### 3.2.2. Некеровані АФ на польових транзисторах

Розглянуті АФ реалізовані на основі біполярних серійних транзисторів і знайшли застосування в аналогових процесорах широкого діапазону частот. Однак на їхній основі не вдалося реалізувати ІП у вигляді напівпровідникових мікросхем. Успіхи технології виготовлення напівпровідникових приладів із затвором Шоттки, забезпечують вирішення цього завдання. Аналіз результатів моделювання показує, що найширшу область потенційної нестійкості мають схеми включення польового транзистора з спільним стоком (СС) і спільним затвором (СЗ), що визначає доцільність використання цих схем у якості УПП при створенні активних НВЧ фільтрів. Схема з загальним стоком є конвертором імітансу. На рис. 3.13 представлена схеми УПП<sup>С</sup> з індуктивним (рис. 3.13а) і активним (рис. 3.13б) опором включеним на вході УПП. Залежності вихідного опору таких навантажених чотириполюсників від частоти сигналу представлені на рис. 3.14.

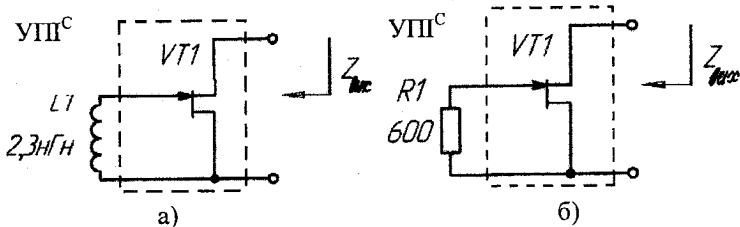
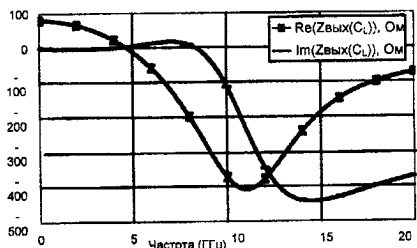
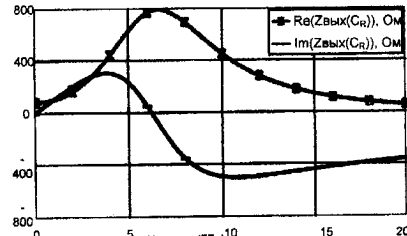


Рис. 3.13.



а)



б)

Рис. 3.14

Аналіз результатів моделювання показує, що схема УП<sup>C</sup> із включеним на вході індуктивним опором (рис. 3.13а) дозволяє реалізувати індуктивний елемент із негативним вихідним опором  $ReZ_{\text{вых}}$  до -400 Ом на частоті 12Гц. Схема УП<sup>C</sup> із включеним на вході активним опором (рис.3.13б) дозволяє реалізувати аналог низькодобротної ( $Q \approx 1$ ) індуктивності.

Каскадне включення цих двох схем дає можливість реалізувати транзисторний аналог високодобротної катушки індуктивності, у яко-му відсутні індуктивні елементи, що дозволяє виконати його у вигляді напівпровідникової мікросхеми. Результат об'єднання двох схем і ре-зультати моделювання вихідного опору показані на рис. 3.15.

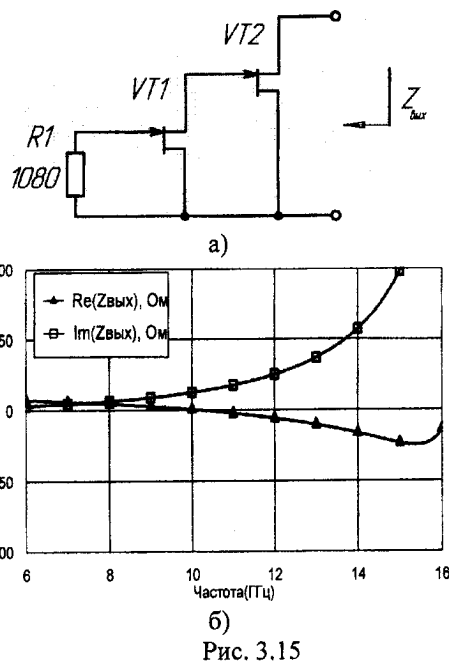


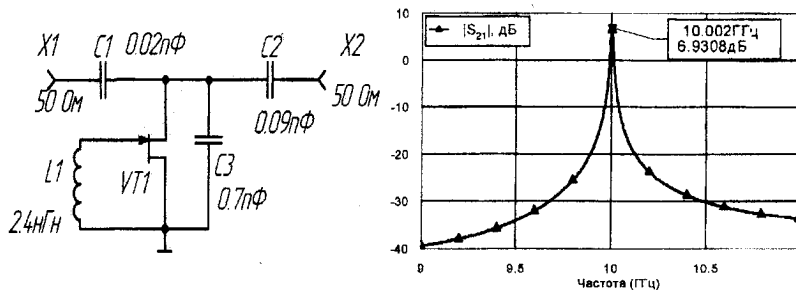
Рис. 3.15

Як видно з графіків схема на рис. 3.15а в діапазоні частот 10–16Гц має індуктивний і негативний диференціальний опір.

Використання схем (рис. 3.13а і рис. 3.15а) забезпечує побудову смуго-пропускних і смugo-загороджувальних НВЧ фільтрів, придат-них до виконання у виді гібридної чи напівпровідникової мікросхеми.

Прикладом, у якому реалізується принцип перетворення низкодобротної катушки індуктивності в активну високодобротну індуктив-ність, є схеми розроблених смуго-пропускних (рис. 3.16а і рис. 3.17а) і

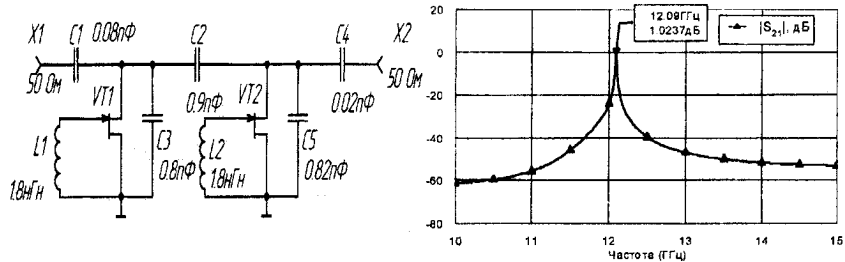
смugo-загороджувальних (рис. 3.18 а і рис. 3.19а) фільтрів. У цих фільтрах як індуктивний елемент використовується мікросмугова індуктивність з добротністю не більш 10 одиниць. Результат моделювання коефіцієнта передачі по напрузі показує (рис. 3.16б, 3.17б, 3.18б, 3.19б), що використання таких низькодобротних індуктивностей у комплексі з УПР дає можливість реалізувати значне загасання за межами смуги пропускання ( $-40\text{dB}$  і  $-60\text{dB}$  відповідно для однорезонаторного і двухрезонаторного смugo-пропускних фільтрів) і невелике посилення сигналу в смузі пропускання. Для однорезонаторного смugo-замикаючого фільтра загасання в смузі запирання складає  $-42\text{dB}$ , для двохрезонаторного ПЗФ:  $-73\text{dB}$ . Ці фільтри призначені для реалізації у вигляді гібридної мікросхеми.



а)

б)

Рис. 3.16



а)

б)

Рис. 3.17

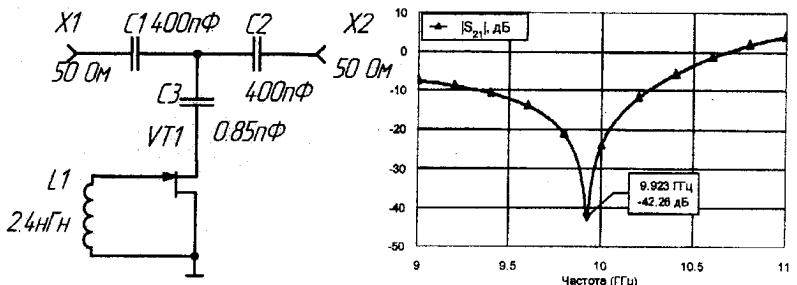


Рис. 3.18

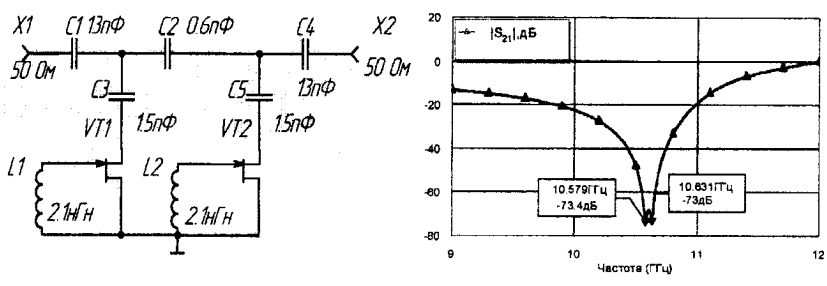
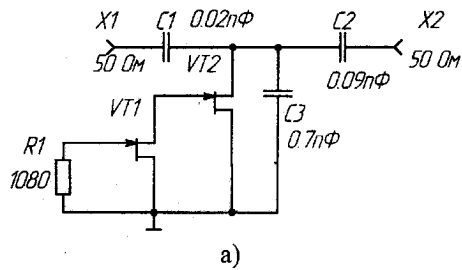


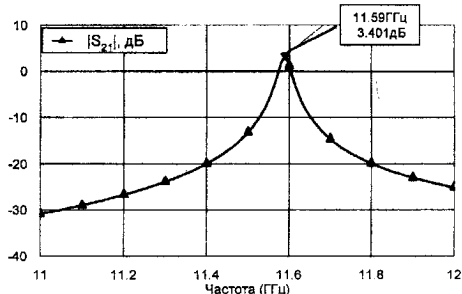
Рис. 3.19

Використання індуктивного елемента у вигляді каскадного з'єднання двох транзисторів, включених за схемою з загальним стоком і активним опором, включеному на вході, дозволяє побудувати активні ППФ (рис.3.20а і 3.21а) і ПЗФ (рис. 3.22) з такими параметрами: для однорезонаторного ППФ загасання за межами смуги пропускання складає  $-30\text{dB}$ , для двухрезонаторного  $-60\text{dB}$ ; для однорезонаторного і двохрезонаторного ПЗФ загасання складає  $-24\text{dB}$  і  $-47\text{dB}$  відповідно [39].

Аналіз результатів дає можливість стверджувати про перспективність розвитку безіндуктивних активних аналогів катушок індуктивності і можливості реалізації на їхній основі активних НВЧ фільтрів як у вигляді гібридних, так і напівпровідникових мікросхем високого ступеня інтеграції.

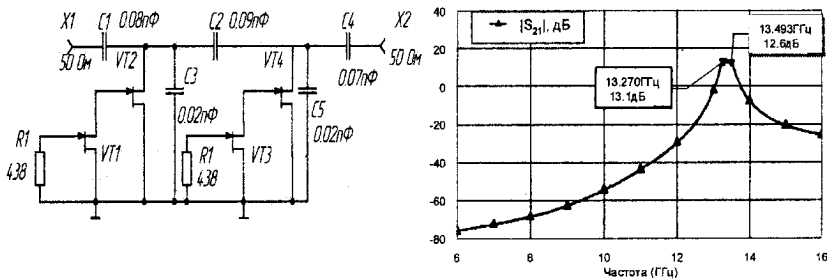


a)



б)

Рис. 3.20



а)

б)

Рис. 3.21

Активні багаторезонаторні НВЧ фільтри (НВЧ АФ), в порівнянні з однорезонаторними, мають кращі параметри амплітудно-частотної характеристики (АЧХ) (більше згасання за межами смуги пропускання, велика крутизна скатів, менша нелінійність в смузі пропускання) [39].

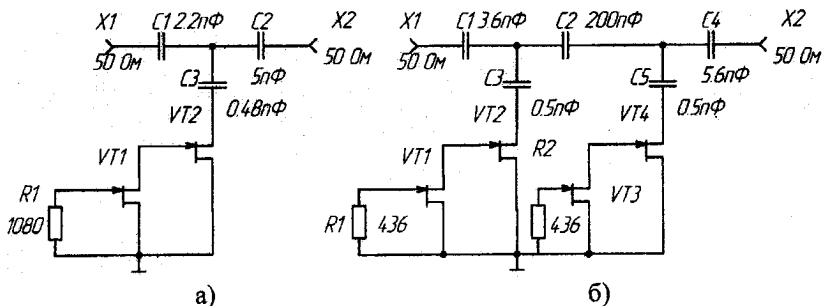


Рис. 3.22

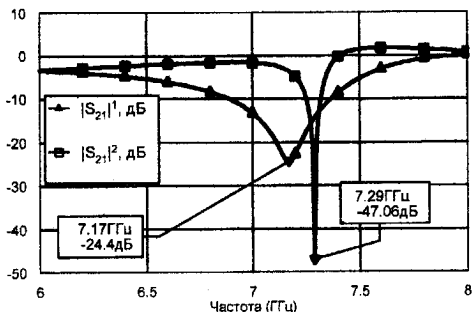


Рис. 3.23

Наявність в кожному резонаторі такого фільтру активного приладу визначає його недолік – підвищену нестабільність під час дії різних дестабілізуючих чинників (температури, режиму живлення, радіації та ін.). Крім того, зі зростанням числа активних резонаторів зростає споживана фільтром енергія, що також є його недоліком. Це особливо суттєво при використанні їх у фазованих активних решітках, де їх кількість може досягати декілька тисяч одиниць. Розв'язання задачі часткового або повного подолання вище перерахованих недоліків можливе шляхом використання одно затворного ПТШ.

Аналізуючи топологію сучасного однозатворного ПТШ, можна побачити, що його витік складається з двох омічних ділянок, з'єднаних повітряною перемичкою (рис. 3.34а). Якщо перемичку розірвати (або виключити з технологічного циклу виготовлення), то одержимо двовитоковий транзистор Шоттки (за аналогією з двозатворним транзистором Шоттки, що випускається промисловістю), схемотехнічне позначення якого матиме вигляд, представлений на рис. 3.34б.

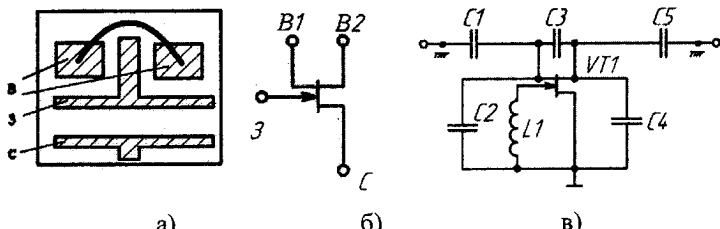


Рис. 3.34. Топологія однозатворного ПТШ (а), схемотехнічне позначення дводвітокового ПТШ (б) і високочастотна схема дворезонаторного НВЧ АФ на базі дводвітокового ПТШ (в)

З урахуванням вищеприведеного аналізу можна вважати, що якщо між затвором і витоком такого транзистора включити індуктивність, тоді провідності між кожним витоком B1 і B2 і стоком володітимуть індуктивним характером з негативною активною складовою провідності. А це дозволяє модернізувати схему дворезонаторного НВЧ АФ (рис. 3.17а) представивши її у вигляді рис. 3.34в. Оскільки в цій схемі для реалізації двох активних резонаторів використовується один транзистор, то будь-які дестабілізуючі чинники однаково впливатимуть на параметри резонаторів, що забезпечить вищу стабільність АЧХ. Для експериментальної перевірки результатів вище-приведеного аналізу реалізовано двохрезонаторний НВЧ АФ на кристалі транзистора типу ЗП321 з розімкненою витоковою перемічкою. Фільтр виготовлений з використанням гібридної інтегральної технології на ситаловій підкладці товщиною 0,5 мм. При напрузі на затворі  $U_g = -2,5\text{ В}$ , струмі стоку  $I_c = 10\text{ мА}$  і перетворюваної індуктивності  $L_1 = 20\text{nГн}$ , НВЧ АФ на частоті  $f_0 = 1\text{ Гц}$  забезпечив абсолютну смугу пропускання  $\Delta f = 20\text{ МГц}$ , підсилення сигналу в смузі пропускання 1,5 дБ. Згасання при зміні частоти на 20 МГц від краю смуги пропускання складає  $L_f = 38\text{ дБ}$ . Для порівняння, був реалізований дворезонаторний НВЧ АФ по схемі рис. 3.17а. Кожний з активних резонаторів такого фільтру також реалізовано на транзисторі ЗП321 з аналогічними параметрами АЧХ. Обидва фільтри були випробувані в температурному діапазоні  $-50^\circ \text{C} \dots +50^\circ \text{C}$ . Результати оцінки величини нестабільності параметрів АЧХ представлені в табл. 3.1.

Таблиця 3.1

| Схема фільтру | Нестабільність, % |            |       |       |
|---------------|-------------------|------------|-------|-------|
|               | $f_0$             | $\Delta f$ | $K_0$ | $L_f$ |
| Рис. 3.17а    | 2                 | 20         | 30    | 18    |
| Рис. 3.34в    | 1,05              | 8          | 12    | 18    |

З аналізу одержаних результатів видно, що розроблений НВЧ АФ на базі двовитокового ПТШ дозволяє підвищити температурну стабільність  $f_0$  – на 2.5%,  $\Delta f$  – на 60%,  $K_0$  – на 26%. Практично незмінним залишився вплив температури на величину згасання за межею смуги пропускання, яке із зростанням температури зменшилося на 18%. Найважливішою перевагою розробленого НВЧ АФ є в 2-х кратне зменшення споживаної потужності, величина якої склала 50 мВт. В процесі настройки фільтру була виявлена можливість відмови від конденсатора зв'язку  $C_3$ , роль якого може виконувати емність між першим і другим електродами витоку. Крім того, в якості перетворюваної індуктивності  $L_1$  можна використати індуктивність металізації затвора транзистора. Але при цьому частотні параметри НВЧ АФ визначаються топологією транзистора.

Аналіз двозатворних транзисторів Шоттки (ПТШ2), в якості УП дозволяє створювати на їх основі високодобротні напівпровідникові одноколивальні індуктивності [70], що дозволяє ставити задачу створення на їх основі активних НВЧ фільтрів. В [40] показано, що польовий транзистор, включений за схемою з загальним стоком і загальним затвором має властивості конвертора імітансу. Використовуючи таблицю перетворення імітансів (табл. 3.2) знаходимо, що вихідний імітанс чотириполюсника, утвореного польовим транзистором Шоттки, включеним із загальним стоком, при підключені на його вході активного опору  $R_{GEN}$  може бути індуктивним  $ImZ_{OUT.CD} > 0$  з позитивною дійсною складовою  $ReZ_{OUT.CD} > 0$ . Визначимо умову при якому  $ImZ_{OUT.CD} > 0$ . З цією метою знаходимо повний опір  $Z_{OUT.CD}$

$$Z_{OUT.CD} = Z_1 Z_2 / (Z_1 + Z_2), \quad (3.1)$$

де  $Z_1 = R_{OUT.CD1} + j\omega L_{OUT.CD1}$ ,  $Z_2 = R_{OUT.CD2} + j\omega L_{OUT.CD2}$ ,

Звідки

$$Im Z_{OUT.CD} = \frac{BC - AD}{C^2 + D^2}, \quad (3.2)$$

де  $S_0$  – низькочастотне значення крутизни;  $R_i$  – диференційний опір між затвором та витоком,  $\omega_s$  – гранична частота по крутизні

$$A = 2\omega^2 R_{GEN} / S_0 R_i \omega_s^2; B = \omega R_{GEN}^2 (\omega_s^2 - \omega^2) / S_0 R_i \omega_s^2; \\ C = R_{GEN} (\omega^2 + S_0 R_i \omega_s^2) / S_0 R_i \omega_s^2; D = \omega R_{GEN} (1 - S_0 R_i) / S_0 R_i \omega_s; \quad (3.3)$$

Для виконання умови  $Im Z_{OUT.CD} > 0$  з (3.2) знаходимо, що

$$BC - AD > 0. \quad (3.4)$$

Підставляючи (3.3) у (3.4), отримаємо нерівності

$$\frac{\omega R_{GEN}^3 (\omega_s^2 - \omega^2) \cdot (\omega^2 + S_0 R_i \omega_s^2)}{S_0^2 R_i^2 \omega_s^5} - \frac{2\omega^3 R_{GEN}^3 (1 - S_0 R_i)}{S_0^2 R_i^2 \omega_s^3} > 0;$$

$$\omega R_{GEN}^3 (\omega_s^2 - \omega^2) \cdot (\omega^2 + S_0 R_i \omega_s^2) - 2\omega^3 R_{GEN}^3 \omega_s^2 (1 - S_0 R_i) > 0 \quad (3.5)$$

Розв'язуючи (3.5) враховуючи, що  $S_0 R_i << 1$  знаходимо умову

$$f_{M1} < f_s \sqrt{S_0 R_i}, \quad (3.6)$$

при якій УПІ<sup>c</sup> забезпечує реалізацію низькодобротної напівпровідникової індуктивності.

Таблиця 3.2

Перетворення імітансу УПІ<sup>c</sup> і УПІ<sup>3</sup>

| Вид УПІ          | Перетворюваній імітанс | Перетворений імітанс  |
|------------------|------------------------|---|
| УПІ <sup>c</sup> | $R_{LD}$               | $L_{OUT.CD} = R_{GEN}/S_0 R_i \omega_s$ $C_{OUT.CD} = \omega_s / \omega^2 R_{GEN}$ $R_{OUT.CD1} = \omega^2 R_{GEN} / S_0 R_i \omega_s^2$ $R_{OUT.CD2} = R_{GEN}$  |
| УПІ <sup>3</sup> | $L_{LD}$               | $L_{IN.CG1} = G L_{LD} / S_0$ $L_{IN.CG2} = L_{LD} (\xi_G + \xi_S) / (1 - S_0 R_i)$ $R_{IN.CG1} = -\omega^2 (\xi_G + \xi_S) L_{LD} / S_0 R_i \omega_s$ $R_{IN.CG2} = R_i G L_{LD} \omega_s / (1 - S_0 R_i)$ |

Наприклад, при використанні транзисторної структури типу «Пенс-5», що має:  $R_i=10$  Ом,  $S_0=0,02$  См,  $C_{B3}=0,3$  пФ, знаходимо  $f_s=53$  ГГц,  $f_{M1}<23$  ГГц. В результаті розв'язання нерівності (5) зникло значення перетворюваного опору  $R_{GEN}$ , що вказує на його незначний вплив на виконання умови  $\text{Im}Z_{OUT.CD}>0$ .

З табл.3.2 також випливає, що у випадку, коли до входу ПТШ1, включеного за схемою з загальним затвором, підключена індуктивність  $L_{LD}$ , перетворюваний імітанс також буде мати індуктивний характер, і за певних умов його дійсна складова  $\text{Im}Z_{IN.CD}<0$ . Для знаходження цих умов, використовуючи результати приведені в табл. 3.2, знаходимо повний вхідний опір УПІ<sup>3</sup>:

$$Z_{IN.CD} = Z_3 Z_4 / (Z_5 + Z_6), \quad (3.7)$$

де  $Z_1 = R_{IN.CG1} + j\omega L_{IN.CG1}$ ,  $Z_2 = R_{IN.CG2} + j\omega L_{IN.CG2}$

Звідки

$$ReZ_{IN.CG} = (KM + LN) / (M^2 + N^2), \quad (3.8)$$

де  $G$  – провідність каналу;  $\xi_G$  й  $\xi_s$  – коефіцієнт розділення ємності затвор-стік та затвор-витік

$$K = \omega^2 (\xi_G + \xi_s) L_{LD} G / S_0; \quad L = \omega L_{LD} [G^2 \omega_s^2 R_i^2 - \omega^2 (\xi_G + \xi_s)] / S_0 R_i \omega_s; \\ M = L_{LD} [G \omega_s^2 R_i^2 S_0 - \omega^2 (\xi_G + \xi_s)] / S_0 R_i \omega_s; \quad N = \omega L_{LD} [G + S_0 (\xi_G + \xi_s)] / S_0. \quad (3.9)$$

Для виконання умови  $ReZ_{IN.CG} < 0$  з (3.8) знаходимо, що

$$KM + LN < 0. \quad (3.10)$$

Підставляючи (3.9) у (3.10) отримаємо нерівність

$$2\omega^2 L_{LD}^3 G^2 R_i^2 S_0 \omega_s^2 (\xi_G + \xi_s) - 4\omega^4 L_{LD}^3 G (\xi_G + \xi_s) + \omega^2 L_{LD}^3 G^2 R_i^2 S_0 \omega_s^2 (\xi_G + \xi_s) - \omega^4 L_{LD}^3 S_0 (\xi_G + \xi_s)^3 + \omega^2 L_{LD}^3 G^3 R_i^2 \omega_s^2 - \omega^2 L_{LD}^3 G (\xi_G + \xi_s)^2 < 0, \quad (3.11)$$

розв'язуючи яку відносно частоти, знаходимо

$$f_{M1} \leq \sqrt{\frac{3S_0(\xi_G + \xi_s) + G}{3G + S_0(\xi_G + \xi_s)^2}}. \quad (3.12)$$

Як видно з (12) діапазон частот, на яких за допомогою УПІ<sub>3</sub> можна реалізувати напівпровідникову індуктивність з негативною дієсною складовою її повного опору, не залежить від величини перетворюваної індуктивності  $L_{LD}$ , а визначається тільки параметрами напівпровідникової структури. Для порівняльної кількісної оцінки граничних частот  $f_{M1}$  і  $f_{M2}$ , знаходимо для напівпровідникової структури типу «Пенс-5», що має  $G=0,002$  См і  $C_{BC}=0,03\text{nF}$ ,  $f_{M2}=18$  ГГц, що менше  $f_{M1}$ . Враховуючи те, що гранична частота по крутизні такої структури дорівнює  $f_s=53$  ГГц, при проектуванні активних НВЧ фільтрів на їх основі необхідно, щоб робочі частоти фільтра були в 2-3 рази менші  $f_s$ .

Таким чином, включаючи каскадно УПІ<sup>3</sup> і УПІ<sup>4</sup> і навантажуючи останній резистором  $R_{LD}$ , отримуємо двокаскадний напівпровідниковий еквівалент індуктивності (рис. 3.35а). Аналіз цієї схеми показує, що стік VT1 з'єднаний із витоком VT2, що характерно для структури двозатворного транзистора Шоттки (ПТШ2). Це дозволяє замінити схему двокаскадної напівпровідникової індуктивності на однокаскадну схему (рис. 3.35б), реалізовану на базі ПТШ2.

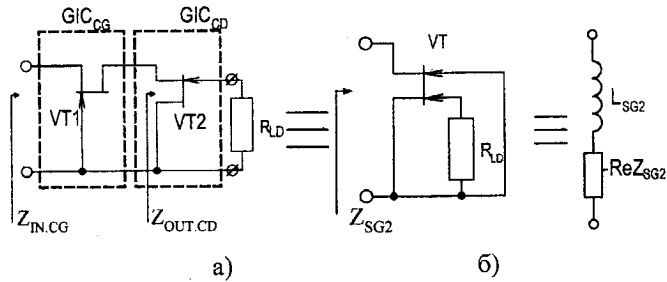


Рис. 3.35. Високочастотні схеми двокаскадної (а) і однокаскадної (б) напівпровідникової індуктивності на базі ПТШ

Результати числового аналізу еквівалентної індуктивності  $L_{SG2}$  і активного опору  $ReZ_{SG2}$  синтезованої схеми в діапазоні частот і в залежності від величини перетворюваного активного опору представлена на рис. 3.36.

Параметри робочої точки транзистора  $U_{31} = -0,23\text{В}$ ,  $U_{32} = -0,13\text{В}$ ,  $I_c = 16\text{mA}$ .

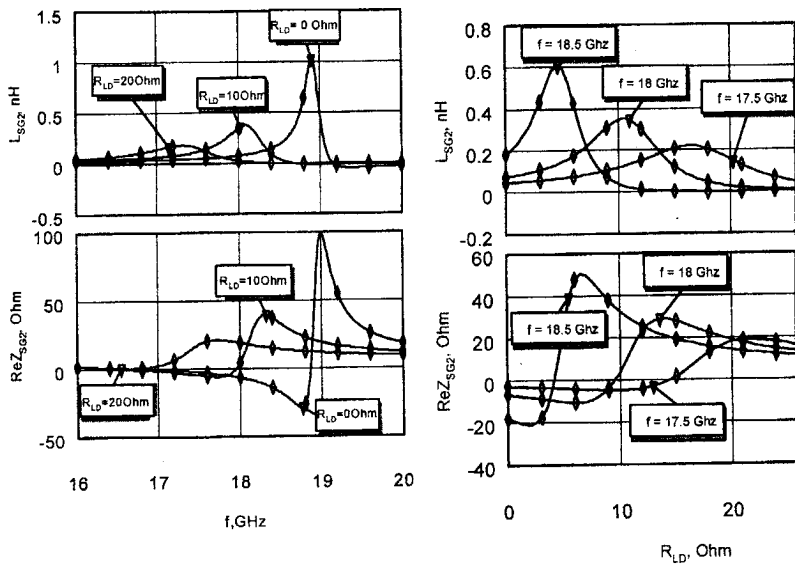


Рис 3.36. Залежності еквівалентної індуктивності  $L_{SG2}$  і активного опору  $ReZ_{IN.CD}$  схеми рис. 3.35а від частоти (а) і перетворюваного опору \* (б)

Максимальна величина еквівалентної індуктивності  $L_{SG2}$  досягає 1нГн на частоті 18.8ГГц, а негативний опір – значення -30Ом на частоті 18.8ГГц при  $R_{LD} = 0$  (рис. 3.36а). Для знаходження екстремальних значень  $L_{SG2}$  і  $ReZ_{SG2}$  необхідно використовувати оптимальні значення  $R_{LD}$  (рис.3.36б). Але при цьому вони відрізняються на 2–3 Ома при досягненні екстремальних значень  $L_{SG2}$  і  $ReZ_{SG2}$ .

Найпростіший однотранзисторний взаємний СПФ (рис. 3.37) являє собою відрізок лінії передачі, паралельно якому підключається активний паралельний коливальний контур, утворений резонуючою ємністю  $C_2$  і колом витік-затвор ПТШ2, що має еквівалентну індуктивність  $L_{SG2}$  і негативним активним опором  $ReZ_{SG2}$ . Наявність цього опору дозволяє компенсувати дисипативні втрати в контурі, що забезпечує посилення сигналу в смузі пропускання.

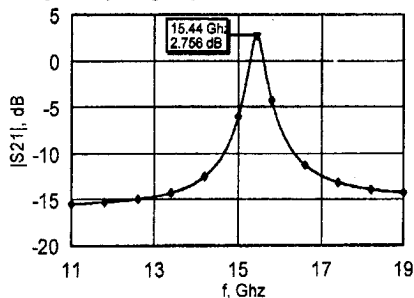
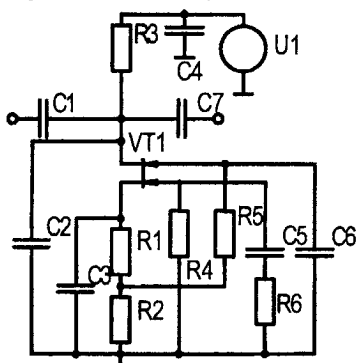


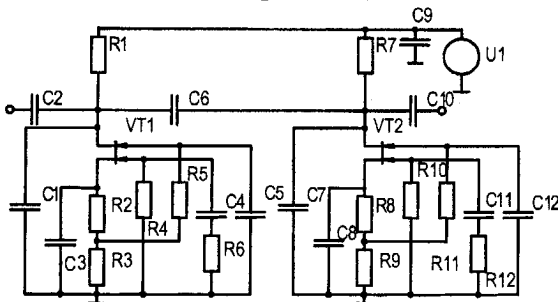
Рис. 3.37. Схема електрична принципова (а) та АЧХ (б) взаємного однорезонаторного СПФ

Для установки робочої точки ПТШ2 в активній області використовується комбіноване коло автозміщення, утворене резисторами  $R_1-R_5$  і конденсатором  $C_3$ , що забезпечує незалежне встановлення напруги зсуву на обох затворах ПТШ2. Як показали результати числового моделювання (рис. 3.37б) такий фільтр у сантиметровому діапазоні частот забезпечує посилення сигналу на центральній частоті  $f_0=15,44\text{ГГц}$  близько 3dB. Його смуга пропускання дорівнює 0,17ГГц, а послаблення сигналу на частотах  $f_0\pm1\text{ГГц}$  складає порядку 15dB. Можливе підвищення коефіцієнта підсилення на  $f_0$ , але як показано в [41], це веде до погіршення температурної і режимної стабільності фільтра.

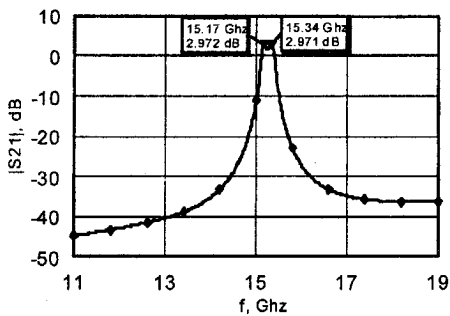
Збільшення послаблення сигналу поза смugoю пропускання досягається каскадуванням однорезонаторних взаємних фільтрів. На рис. 3.38а

представлена схема електрична принципова взаємного дворезонаторного СПФ. Володіючи аналогічною з однорезонаторним СПФ смугою пропускання і коефіцієнтом підсилення на  $f_0$ , він має значно більшу величину послаблення сигналу (порядку 40 dB) і меншу нерівномірність АЧХ у смузі пропускання. Отриманий позитивний результат досягається за рахунок збільшенням у два рази споживаної потужності і приводить до зростання коефіцієнта шуму.

Включення паралельно лінії передачі активного послідовного контуру, утвореного резонуючою ємністю  $C_2$  і еквівалентною індуктивністю  $L_{SG2}$ , між витоком і другим затвором ПТШ2, забезпечує реалізацію однорезонаторного СЗФ (рис. 3.39а).



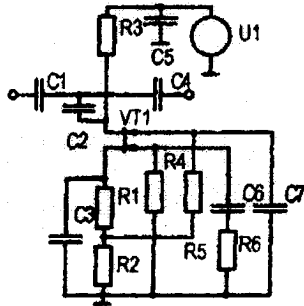
a)



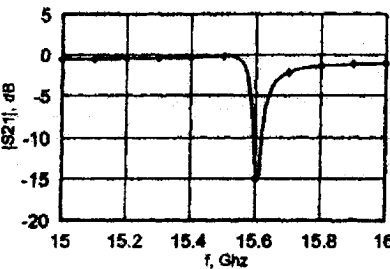
б)

Рис. 3.38. Схема електрична принципова (а) та АЧХ (б) взаємного дворезонаторного СПФ

АЧХ такого фільтра представлена на рис. 3.39б. Він забезпечує послаблення сигналу на частоті 15,6 ГГц, що дорівнює 15 dB при втратах у частотній області пропускання сигналу порядку 0,5–1 dB.



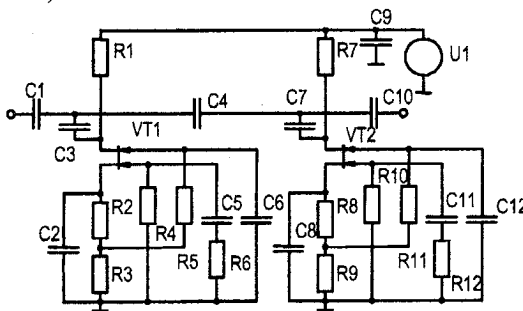
a)



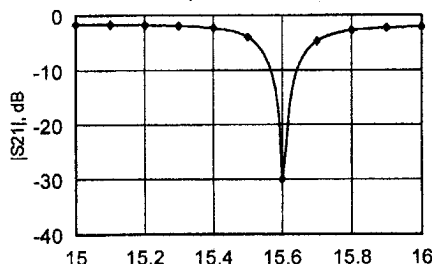
б)

Рис. 3.39. Схема електрична принципова (а) та АЧХ (б) взаємного однорезонаторного СЗФ

Як і при побудові СПФ, можливе каскадування однорезонаторних СЗФ (рис. 3.40а).



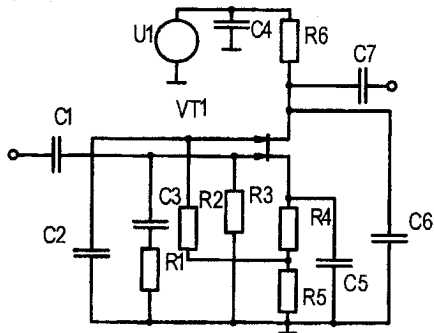
а)



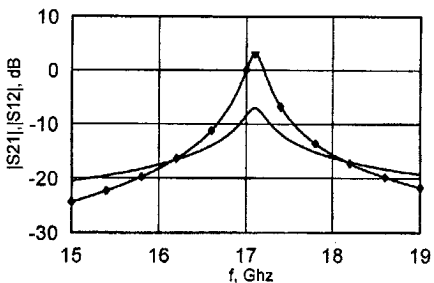
б)

Рис. 3.40. Схема електрична принципова (а) АЧХ (б) взаємного дворезонаторного ПЗФ

При використанні двох каскадів, послаблення в смузі запирання збільшується в два рази (30дБ) при незначному збільшенні втрат (на 1–1,5дБ) у смузі прозорості. Розроблені взаємні активні фільтри мають однакову форму АЧХ при прямій і зворотній передачі сигналу, тобто  $|S_{21}|=|S_{12}|$ . На базі ПТШ2 можлива побудова невзаємних активних СПФ у яких  $|S_{21}|\neq|S_{12}|$ . Схема електрична принципова одного з варіантів однорезонаторного невзаємного активного СПФ представлена на рис. 3.41а. Параметри елементів для схем взаємних та невзаємних СПФ та СЗФ представлені в табл. 3.3.



a)



б)

Рис. 3.41. Схема електрична принципова (а) АЧХ (б) невзаємного однорезонаторного СПФ

У розробленого невзаємного СПФ, також як і у вище розглянутих взаємних фільтрів, використовується активна напівпровідникова індуктивність на базі ПТШ2, що разом з резонуючою ємністю С6 утворить паралельний коливальний контур, включений паралельно вихідному колу, що забезпечує частотну вибірковість сигналу. Вхідний сигнал, через розділові конденсатори С1 і С5 подається між першим затвором

і витоком ПТШ2, що забезпечує невзаємні властивості фільтра. Як ви-  
дно з рис.7б, фільтр забезпечує на частоті 17,1ГГц посилення сигналу  
на 3дБ, а за смugoю пропускання величина послаблення перевищує  
20дБ. Величина  $|S_{12}|$  на частотах смуги пропускання складає порядку –  
8дБ, тобто його коефіцієнт невзаємності перевищує 10дБ. Каскадне  
включення таких фільтрів забезпечує поліпшення в 1,5–2 рази вище-  
розглянутих параметрів. Але при цьому, також як і для взаємних фільт-  
рів, зростає споживана потужність і погіршується стабільність.

Таблиця 3.3

Параметри елементів (значення ємності в пФ, опору – Ом )

| Номер компонента | Вид фільтра      |                  |                  |                    | Невзаємний СПФ |  |
|------------------|------------------|------------------|------------------|--------------------|----------------|--|
|                  | СПФ              |                  | Взаємні          |                    |                |  |
|                  | Однорезонаторний | 2-х резонаторний | Однорезонаторний | 2-х резонаторний 2 |                |  |
| C1               | 18,5             | 1,3              | 134              | 1000               | 0,1            |  |
| C2               | 1                | 0,12             | 0,15             | 1000               | 1000           |  |
| C3               | 1000             | 1000             | 1000             | 0,2                | 1000           |  |
| C4               | 1000             | 1000             | 134              | 510                | 1000           |  |
| C5               | 1000             | 1000             | 1000             | 1000               | 1000           |  |
| C6               | 1000             | 0,3              | 1000             | 1000               | 0,7            |  |
| C7               | 1                | 0,6              | 1000             | 0,2                |                |  |
| C8               |                  | 1000             |                  | 1000               |                |  |
| C9               |                  | 1000             |                  | 1000               |                |  |
| C10              |                  | 3,5              |                  | 1200               |                |  |
| C11              |                  | 1000             |                  | 1000               |                |  |
| C12              |                  | 1000             |                  | 1000               |                |  |
| R1               | 5,09             | 5,09             | 5,09             | 5,09               | 5,5            |  |
| R2               | 5,32             | 5,32             | 5,32             | 5,32               | $10^6$         |  |
| R3               | 108              | 108              | 108              | 108                | $10^6$         |  |
| R4               | $10^6$           | $10^6$           | $10^6$           | $10^6$             | 5,09           |  |
| R5               | $10^6$           | $10^6$           | $10^6$           | $10^6$             | 5,32           |  |
| R6               | 5,2              | 4,7              | 6,5              | 6,5                | 108            |  |
| R7               |                  | 108              |                  | 108                |                |  |
| R8               |                  | 5,09             |                  | 5,09               |                |  |
| R9               |                  | 5,32             |                  | 5,32               |                |  |
| R10              |                  | $10^6$           |                  | $10^6$             |                |  |
| R11              |                  | $10^6$           |                  | $10^6$             |                |  |
| R12              |                  | 5,2              |                  | 6,6                |                |  |

### 3.3. Розробка й дослідження керованих активних фільтрів

Керованим АФ (КАФ) наземо АФ, один або кілька параметрів  $X_{yl}$  якого можуть змінюватися під дією керуючого сигналу  $F$  за заданим законом керування  $X_{\phi i} = f(F)$  при допустимій нестабільноті  $\Delta X_{\phi i}$  в діапазоні керування фіксованих параметрів  $X_{\phi i}$  [20]. Вони можуть бути взаємними й невзаємними. Класифікація, основні параметри й пропоновані вимоги сформульовані в роботі [40].

Головними факторами, що визначають ефективність КАФ є: метод, використовуваний для керування параметрами; простота схем керування й стабілізації. Керування параметрами КАФ можна здійснювати прямими й непрямими методами. Особливістю розроблювальних КАФ є можливість використання для цілей керування й стабілізації залежності коефіцієнта перетворення УПП від режиму роботи. Це дозволяє використати при побудові КАФ метод погодженого настроювання [42]. Із цією метою, КАФ реалізується у вигляді різних комбінацій УПП, фіксованих і електрично керованих RLC елементів. При реалізації КАФ метод погодженого настроювання полягає в погодженні зміні параметрів схеми таким чином, щоб вона у всьому діапазоні керування працювала поблизу границі стійкості не переходячи її.

Практично будь-який АФ можна перетворити в КАФ, шляхом включення в його схему або керуючих елементів, або змінюючи робочий режим УПП. Характерними в цьому випадку є експериментальні залежності, наведені на рис. 3.7. У першому випадку неконтрольовано змінюється добротність  $Q_t$ , а в другому випадку коефіцієнт передачі  $K_0$ , що є звичайно небажаним явищем. Тому потрібна розробка принципів побудови таких одно параметричних КАФ, у яких у процесі управління контролювалися б всі основні параметри. Із цією метою проведемо аналіз можливостей керування параметрами одно резонаторного АФ (рис. 3.7а), еквівалентна схема якого зображена на рис. 3.42а.

На підставі еквівалентної схеми знаходимо:

$$\omega_0 = 1/\sqrt{LC}, \quad Q_T = \omega_0 / \Delta\omega = 1/G_\Sigma p, \quad K_0 = 4G_T^1 G_H^1 / G_\Sigma^2, \quad (3.13)$$

де  $G_\Sigma = G_T^1 + G_H^1 - G^{(-)}$

З (3.13) випливає, що при керуванні одним з параметрів  $\omega_0$ ,  $K_0$ ,  $Q_T$  або  $\Delta\omega$  при збереженні сталості інших параметрів, необхідно узгоджено змінювати декілька складових провідності схеми рис. 3.41а. На підставі (6.4.1) побудована таблиця 3.4, що дозволяє визначити, які параметри схеми необхідно змінювати для одержання необхідного закону

керування. З метою синтезу ланцюга, що реалізує необхідний перетворений імітанс запропоновано використати таблиці перетворень, для яких отримані графіки залежностей дійсної й уявної складових перетвореного імітансу від частоти й величини перетвореного імітансу [40].

Таблиця 3.4

Потрібний закон зміни провідностей  
однорезонаторного КАФ

| Параметр, яким керують | Параметр, що стабілізують | Потрібна залежність провідності еквівалентної схеми |   |            |
|------------------------|---------------------------|---|---|------------|
|                        |                           | L   | C | $G_\Sigma$ |
| $f_0$                  | $K_0, \Delta f$           | ~   | — | —          |
| $\Delta f$             | $K_0, f_0$                | ↓   | ↑ | —          |
| $K_0$                  | $\Delta f, f_0, Q_T$      | ↓   | ↑ | ↓          |
| $f_0$                  | $K_0, Q_T$                | ↑   | ↑ | —          |

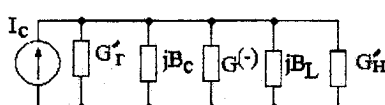
~ – довільна зміна,

↑ – збільшення,

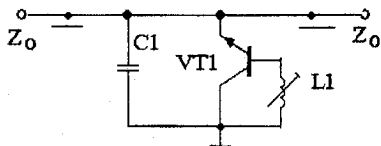
↓ – зменшення,

— – сталість.

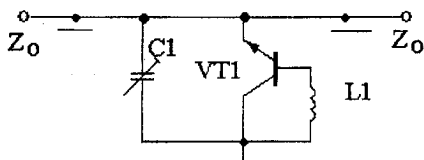
Наприклад при реалізації КАФ на основі УПІ<sup>K</sup>, використається табл.3.5. З її допомогою проведемо синтез КАФ що зберігає:  $K_0 = const$  і  $\Delta\omega = const$ , при  $\omega_0 = var$ . З табл. 3.4 випливає, що для цього необхідно, щоб  $B_c = const$ ,  $G_E = const$  і  $B_L = const$ . З огляду на те, що  $\omega_0$  змінюється зворотно пропорційно  $B_L$ , для  $G_E = const$  необхідно щоб  $G^{(-)}$  мала одинаковий знак збільшення як від зміни  $B_L$ , так і від  $\omega_0$ . З табл. 3.5 знаходимо, що цим вимогам відповідає зворотне перетворення УПІ<sup>K</sup> індуктивного імітансу. У результаті схема КАФ приймає вигляд, зображений на рис. 3.42б. На рис. 3.43 представлени експериментальні й розрахункові залежності параметрів  $\Delta f$  і  $f_0$  при керуванні ємністю  $C_1$  резонатора (рис. 3.42а) і трансформує індуктивністю,  $L_1$  (рис. 3.42б). Розрахунок і експериментальні дослідження наведені для КАФ на транзисторах типу KT372В. Аналіз графіків показує, що при керуванні квазірезонансною частотою від 500 до 710 МГц шляхом зміни  $L_1$ , нестабільність смуги пропускання не перевищує  $\pm 5\%$ . а коефіцієнта передачі – 5,1%. При керуванні шляхом зміни величини ємності  $C_1$  квазірезонансної частотою від 500 до 550 ГГц маємо відповідно – 102% і 55,5%, що значно перевищує нестабільність параметрів синтезованого КАФ.



a)

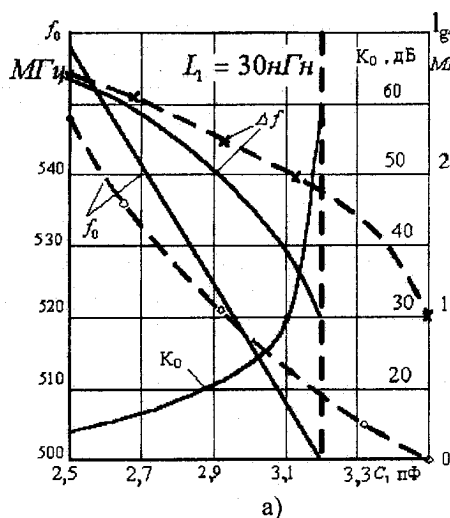


б)

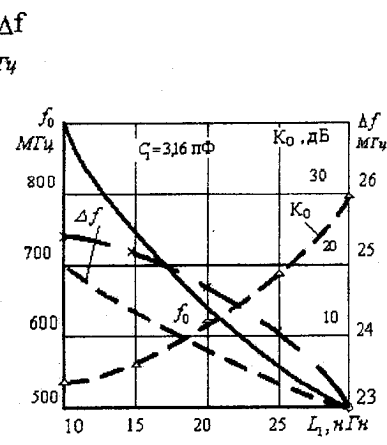


в)

Рис. 3.42. Еквівалентна схема однорезонаторного взаємного КАФ  
(а) та варіанти його реалізації (б, в)



а)

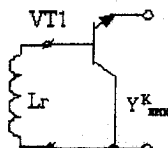
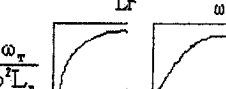
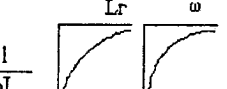
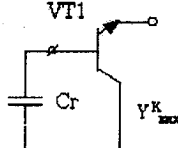
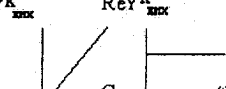
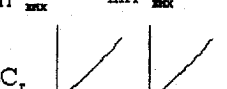
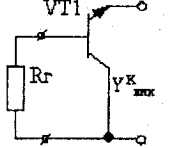
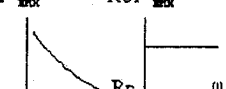
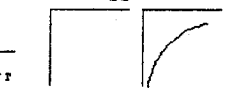
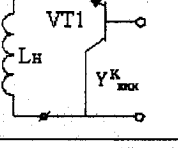
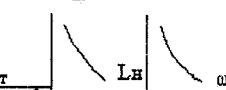
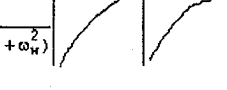
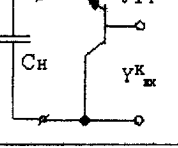
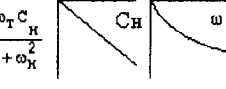
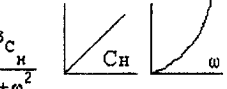
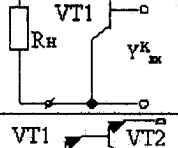
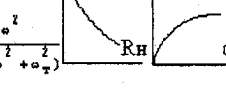
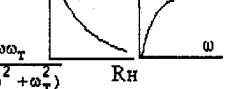
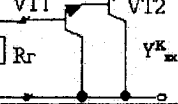
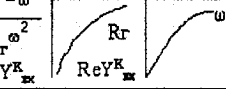
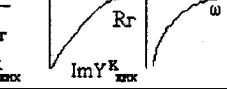


б)

Рис. 3.43. Експериментальні - - - і розрахункові — залежності параметрів одно резонаторного КАФ при управлінні емністю  $C_1$   
(а) і перетвореною індуктивністю  $L_1$  (б)

Таблиця 3.5

Характеристики КЕ на основі УПІ<sup>к</sup>

| Схема включення КЕ в УПІ  | Перетворена речовинна складова провідності<br>$ReY_{\max}^K (Y_{\max}^K)$   | Перетворена уявна складова провідності<br>$ImY_{\max}^K (Y_{\max}^K)$  |
|---|---|--|
|    | $-\frac{\omega_T}{\omega^2 L_r}$<br><br>$ReY_{\max}^K$<br>$ReY_{\max}^K$                         | $\frac{1}{j\omega L_r}$<br><br>$ImY_{\max}^K$<br>$ImY_{\max}^K$                                   |
|    | $\omega_r C_r$<br><br>$ReY_{\max}^K$<br>$ReY_{\max}^K$   | $j\omega C_r$<br><br>$ImY_{\max}^K$<br>$ImY_{\max}^K$   |
|    | $\frac{1}{R_r}$<br><br>$ReY_{\max}^K$<br>$ReY_{\max}^K$  | $\frac{\omega_T}{j\omega R_r}$<br><br>$ImY_{\max}^K$<br>$ImY_{\max}^K$                            |
|    | $L_H(\omega_T^2 + \omega_H^2)$<br><br>$ReY_{\max}^K$<br>$ReY_{\max}^K$                           | $\frac{j\omega}{L_H(\omega_T^2 + \omega_H^2)}$<br><br>$ImY_{\max}^K$<br>$ImY_{\max}^K$            |
|   | $\frac{\omega^2 \omega_T C_H}{\omega_T^2 + \omega_H^2}$<br><br>$ReY_{\max}^K$<br>$ReY_{\max}^K$ | $\frac{j\omega^3 C_H}{\omega_T^2 + \omega_H^2}$<br><br>$ImY_{\max}^K$<br>$ImY_{\max}^K$          |
|  | $\frac{1}{R_H(\omega_T^2 + \omega_T^2)}$<br><br>$ReY_{\max}^K$<br>$ReY_{\max}^K$               | $\frac{j\omega \omega_T}{R_H(\omega_T^2 + \omega_T^2)}$<br><br>$ImY_{\max}^K$<br>$ImY_{\max}^K$ |
|  | $-\frac{\omega_T - \omega^2}{R_r \omega_r^2}$<br><br>$ReY_{\max}^K$<br>$ReY_{\max}^K$          | $\frac{2\omega_T^2}{j\omega R_r}$<br><br>$ImY_{\max}^K$<br>$ImY_{\max}^K$                       |

Спостережувана кількісна розбіжність результатів розрахунку й експерименту пояснюється використанням при побудові табл. 3.5 наближені вираження для функції перетворення  $T^k$ . Точніший розрахунок при проектуванні КАФ виконується з використанням W- або S- параметрів транзистора [43, 44].

Стабілізація параметрів КАФ можлива також шляхом введення коригувальних ланцюгів, які розділимо на два види: ланцюги, що впливають на коефіцієнт перетворення УП; ланцюги, що впливають на перетворений імітанс. Найбільш ефективний вплив на коефіцієнт перетворення реального УП шляхом зміни струму емітера. На рис. 3.44а представлена принципова схема КАФ, що використовує коригувальний ланцюг даного виду [45].

Використання даної корекції дозволяє в дециметровому діапазоні частот забезпечити стабільність коефіцієнта передачі ( $\pm 1$  dB) при зміні  $f_0$  на  $+10\%$ . Недоліком цього виду корекції є додаткові витрати потужності джерела енергії, які при використанні малопотужних транзисторів типу ГТ313, КТ3101, КТ3115 становлять порядку ( $5+10\%$ ) загальної споживаної потужності. Економічнішим є коригувальний ланцюг другого виду (рис.3.44б) [46].

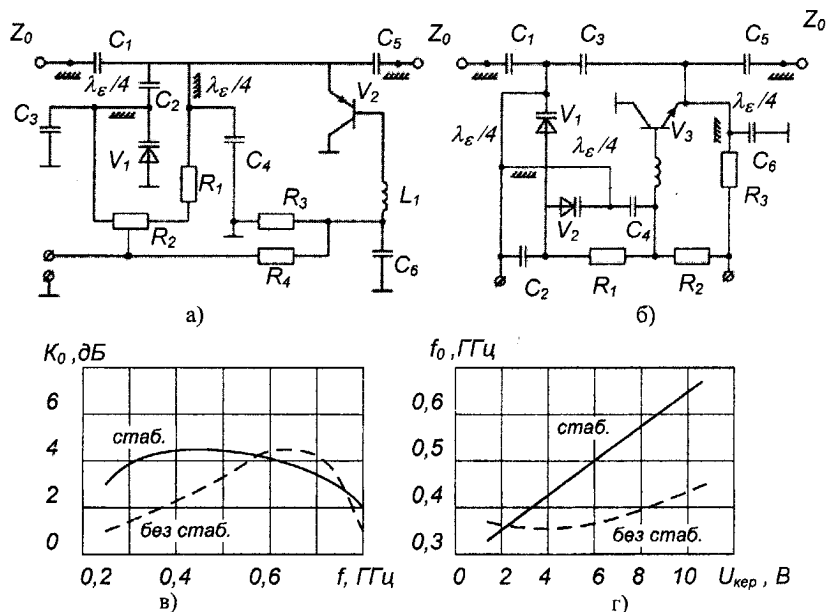


Рис. 3.44. Різновиди КАФ з корекцією коефіцієнта перетворення УП (а) і перетворюючого імітансу (б), а також їхньої характеристики (в, г)

У режимі керування відбувається синхронна зміна напруг на варикапі  $V_1$ , резонатора й корегуючі варикапі  $V_2$ . Це дозволяє (рис. 3.44г) у діапазоні частот 0,3 – 0,7 ГГц забезпечити стабільність  $K_0$  не більше  $\pm 0,25\text{dB}$  і додатково підвищує крутість керування квазірезонансної частоти  $f_0$ .

Розглянуті КАФ є однопараметричними. При побудові багатопараметричних КАФ ускладнюється в основному низькочастотний ланцюг керування, а методика синтезу не змінюється. Розглянемо реалізацію ланцюга керування багатопараметричного КАФ, у якого: забезпечується роздільне керування абсолютною смugoю пропускання  $\Delta f$  при фіксованих значеннях частоти  $f_0$  і коефіцієнта передачі  $K_0$ ; і частотою  $f_0$  при фіксованих значеннях абсолютної смugi пропускання  $\Delta f$  і коефіцієнта передачі  $K_0$  (рис.3.45).

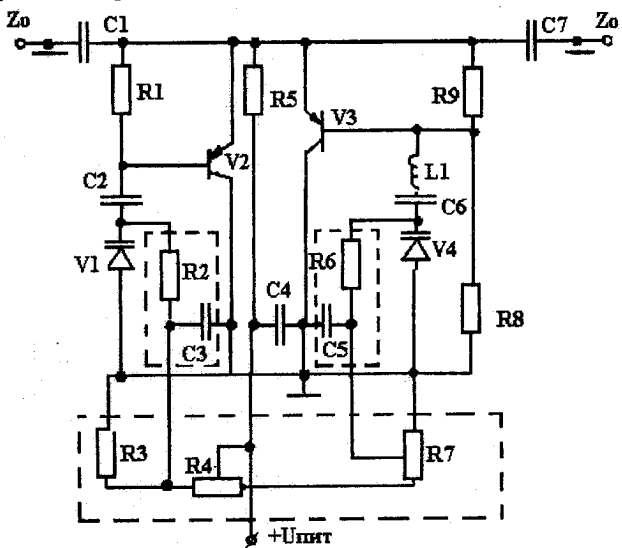
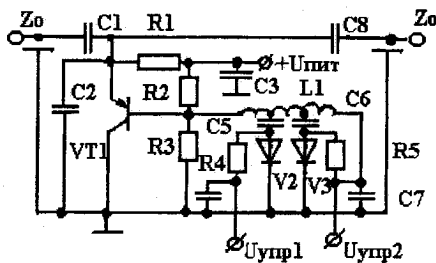


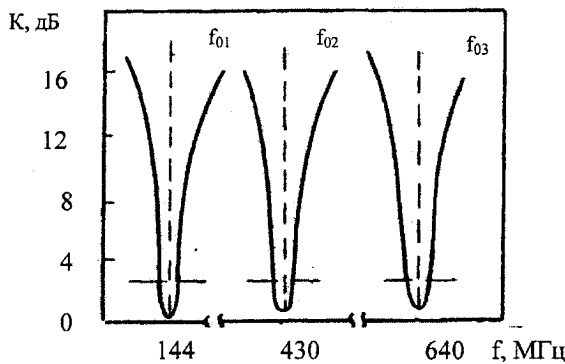
Рис. 3.45. Багатопараметричний КАФ

Експериментальний зразок даного КАФ, виконаний на транзисторі типу КТ3114 у вигляді гібридної мікросхеми на частоті  $f_0 = 2 \text{ ГГц}$  забезпечує: 50% керування за допомогою резистора  $R_4$  абсолютною смugoю пропускання при нестабільності в процесі керування квазірезонансної частоти  $\pm 0,5\%$  і коефіцієнта передачі  $\pm 0,5 \text{ dB}$ ; 20% діапазон керування з допомогою резистора  $R_7$  частотою  $f_0$ , при нестабільності коефіцієнта передачі  $K_0$  не більше  $\pm 1 \text{ dB}$  і абсолютної смugi пропускання  $\Delta f$  не більше  $\pm 3,2\%$ .

Розглянуті КАФ відносяться до групи аналогових і їхній діапазон частотної перебудови обмежений коефіцієнтом перекриття по реактивному параметрі керуючого елемента. Цей недолік відсутній у дискретному КАФ. Його основними вузлами є: УП, ланцюги, що забезпечують формування необхідного імітансу й ланцюга комутації. Наприклад, для керування центральною частотою  $f_0$ , при збереженні постійними абсолютної смуги пропущення  $\Delta f$  і коефіцієнта передачі  $K_0$ , здійснюється зміна величини перетвореної індуктивності  $L_1$  (рис. 3.48а) шляхом секціонування її й шунтування частин секцій за допомогою p-i-n діодів  $V_2$  і  $V_3$ .



a)



б)

Рис. 3.46. Принципова схема (а) та АЧХ (б) КАФ з дискретним керуванням

При використанні в якості УП уніполярного транзистора типу ЗП321, p-i-n діодів типу AS17 і перетвореної індуктивності  $L_1$  у вигля-

ді відрізка мікросмугової лінії типу "меандр" з характеристичним опором 300 Ом, отримані АЧХ типу рис. 3.466.

Принципи керування параметрами невзаємних КАФ, аналогічні принципам використовуваним у взаємних КАФ. По структурній побудові такі КАФ діляться на три групи: із частковою комутацією елементів (рис. 3.47а), з комутацією складного частотнозалежного імітансу (рис. 3.47б) і з комутацією каналів КАФ (рис. 3.47в). В КАФ першої групи як керуючі елементи використаються р-і-п діоди, за допомогою яких закорочується частина L або С елементів пасивної RLC ланцюга на вході або виході УПІ.

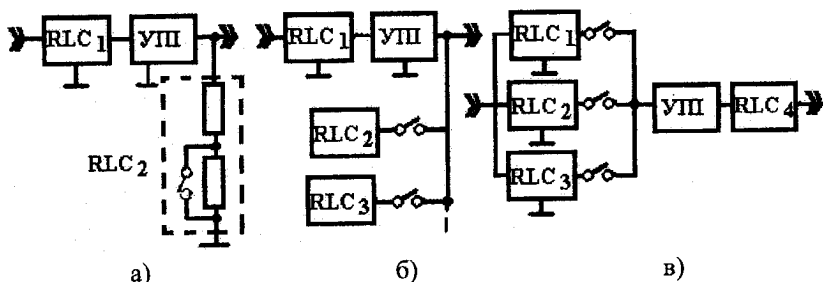


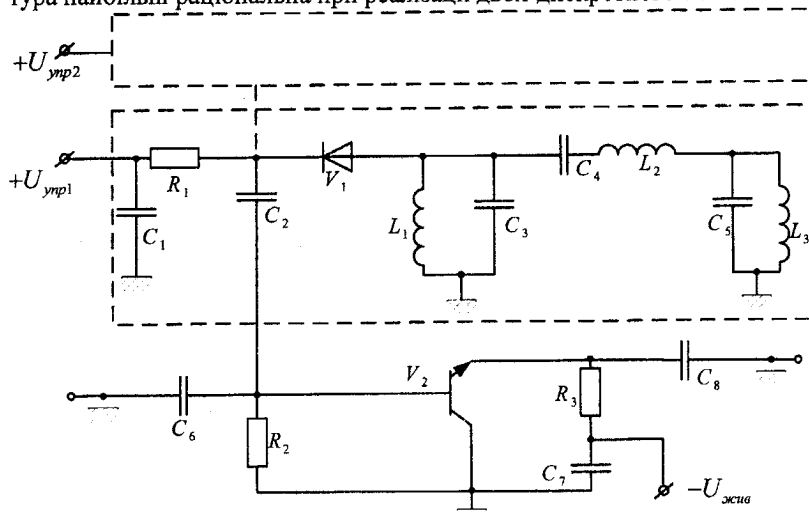
Рис. 3.47. Структурні схеми невзаємних КАФ з дискретним керуванням

В КАФ другої групи ланцюги, що реалізують складні частотнозалежні імітанси (у найпростішому випадку L або С елементи), підключаються до входу або виходу УПІ за допомогою комутаторів. Перевагою такої структури невзаємного КАФ є незалежне настроювання параметрів пасивних ланцюгів, що комутують RLC, на кожний дискрет. Як показали дослідження УАЗ, зображеного на рис. 3.48а, ця незалежність досягається при забезпеченні розв'язки комутуючим ланцюгом більш ніж на 15 dB, що дозволило здійснювати комутацію за допомогою одного р-і-п діода типу КД309, при струмі комутації в режимі "відкрито" 10 мА й напругі в режимі "закрито" -5В.

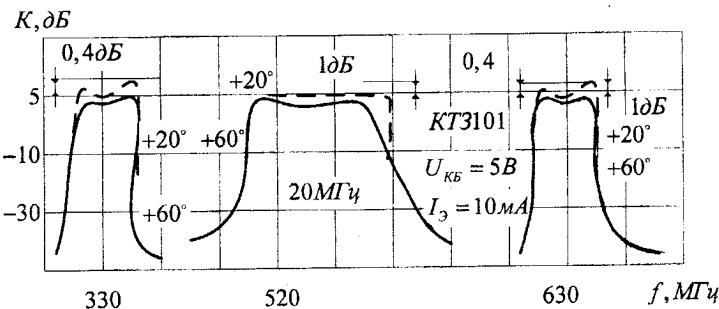
Представлені експериментальні АЧХ рис. 3.48б показують можливість незалежного формування АЧХ на різних дискретах: на нижчій (330 МГц) і вищої (630 МГц) частотах формувалися АЧХ із однаковими абсолютною смугами пропущення (f = 15 МГц), а на середній частоті (520 МГц) абсолютна смуга пропущення дорівнює 40 МГц.

Недоліком розглянутої структури є труднощі її настроювання у випадку реалізації широких смуг пропускання. Ці недоліки відсутні у невзаємних КАФ з комутованими каналами (рис. 3.49а).

Експериментальне дослідження, проведене на УПІ<sup>к</sup> із використанням транзистора типу КТ640, показали (рис. 3.49б), що при комутації вхідного RLC ланцюга можливе використання тільки одного комутатора зі сторони УПІ<sup>к</sup>, вплив відключаемого RLC<sub>11</sub> кола на сусіднього RLC<sub>12</sub> ланцюга коректується зміною величини ємності C<sub>7</sub>. Дано структура найбільш раціональна при реалізації двох-дискретного КАФ.

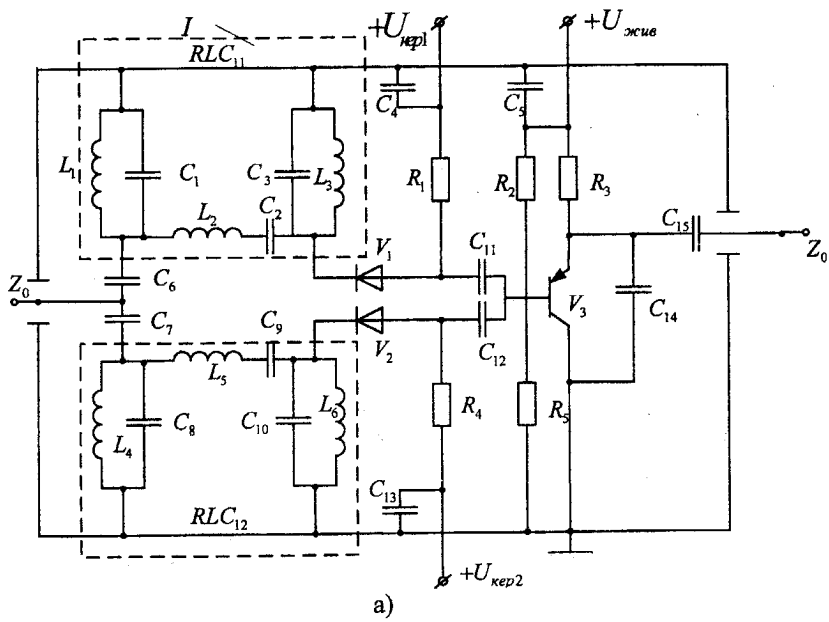


a)

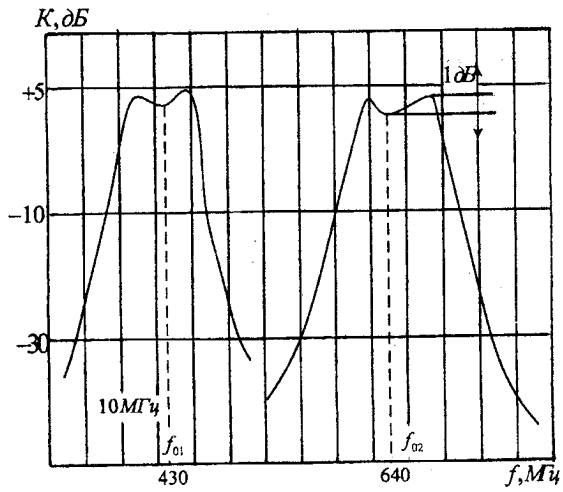


б)

Рис. 3.48. Принципова схема (а) та АЧХ (б) невзаємного КАФ з комутацією складного частотно-залежного імітансу

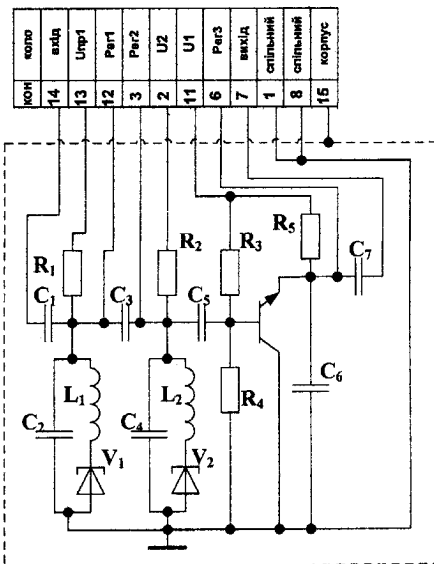


a)

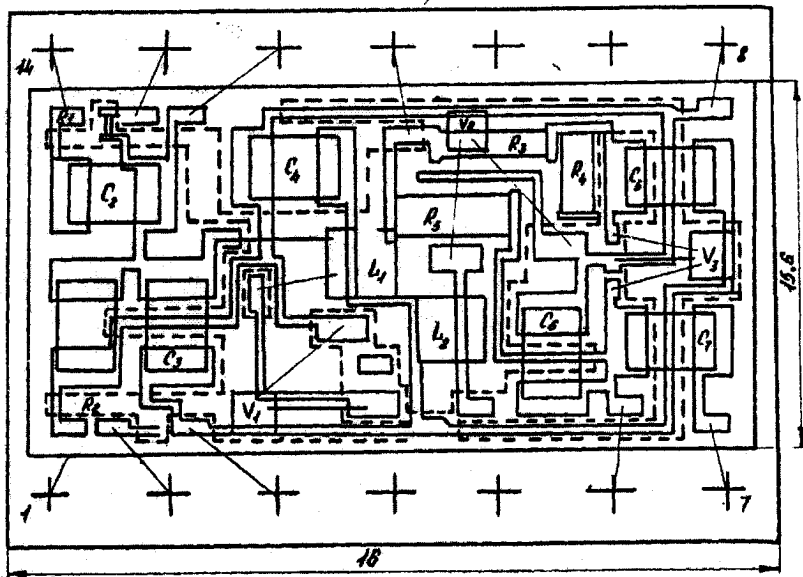


б)

Рис. 3.49. Принципова схема (а) і АЧХ (б) невзаємного КАФ з комутацією каналів



a)



б)

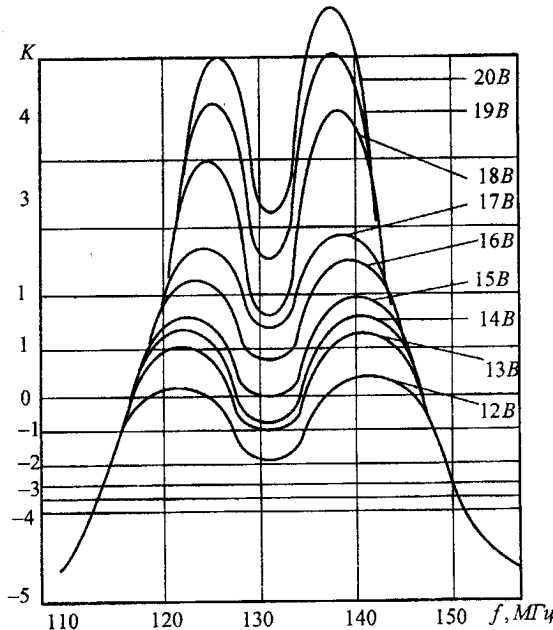
Рис. 3.50. Принципова схема (а) та топологія (б) мікросхеми 5Y708

Для реалізації КАФ з аналоговим керуванням, у якості КЕ використаються варикапи й р-і-п діоди, а для цілей корекції змінюється робоча точка УПП. Найбільш характерними є два завдання: забезпечення аналогового керування квазірезонансної частоти у широкому діапазоні частот; забезпечення дистанційного підстроювання параметрів КАФ, що перебуває в недоступній зоні. Остання група КАФ ставиться в КАФ з електронним підстроюванням. У розробленій мікросхемі типу 5У708 (див. рис. 3.50), для підстроювання центральної частоти смуги пропущення в межах  $f_0 \pm \Delta f$  у схему введені варикапи  $V_1$  і  $V_2$ , змінюючи напругу на яких  $U_{y1}$  та  $U_{y2}$ , здійснюється компенсація індуктивного опору індуктивностей  $L_1$  і  $L_2$ , за рахунок чого її здійснюється підстроювання частоти  $f_0$ .

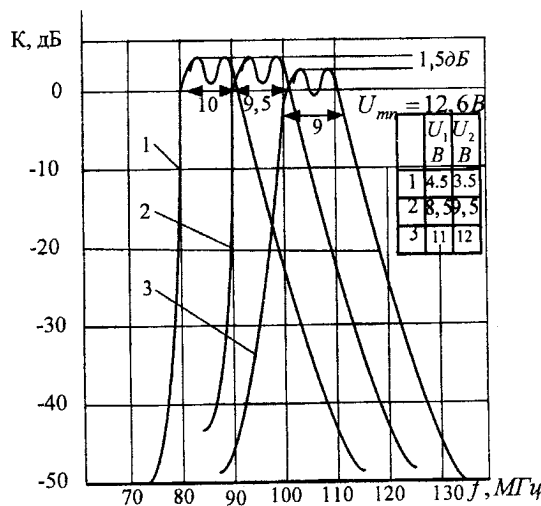
Комплект складається з 3-х фільтрів, розрахованих на частоти  $f_0 = 95\text{МГц}$ , 120 МГц і 200 МГц. Фільтри виконані з використанням УПП<sup>K</sup> на транзисторі KT354. Всі фільтри виконані по єдиній топології (див. рис. 3.50б) у вигляді гібридних мікросхем на ситалі марки СГ50 і в метало-скляному корпусі типу I5-I.I5-2. Керування здійснюється варикапами типу 2ВН4. АЧХ розроблених мікросхем представлена на рис. 3.51а, б. Додаткове регулювання можливе також шляхом зміни напруги живлення. Як видно з рис. 3.51а зміна цієї напруги від 12 В до 20 В забезпечує регулювання коефіцієнта передачі  $K_0$  на 7 дБ. Наявність ДНО на вході або виході УПП дозволяє розширити діапазон перекриття, як показано в підрозділі 6.2 в  $\sqrt{t}$  раз.

Найважливішими параметрами КАФ є діапазон перебудови й швидкість керування. Швидкість перебудови визначається трьома основними факторами: постійної часу  $\tau_{\text{УПП}}$  перехідного процесу в УПП, постійної часу  $t_{\text{KE}}$  перехідного процесу в КЕ й постійної часу  $t_y$  перехідного процесу в ланцюгах керування. Найбільші обмеження на швидкість перебудови КАФ накладають перехідні процеси в ланцюгах керування, тому що зменшення постійної часу цих ланцюгів веде до посилення вибірковості й перешкодозахищеності КАФ. У дециметровому діапазоні частот воно становить порядку 0,01 + 0.1 мкс.

Слід зазначити що один важливий параметр, що характеризує розглянуті АФ – це широкий діапазон їхньої реалізації. Вони можуть бути реалізовані на частотах від одиниць кілогерц до десятків гігагерц.



a)



б)

Рис. 3.51. Амплітудно-частотні характеристики мікросхеми 5У708

### 3.4. Логічні пристрой

Одним з нових напрямків реалізації логічних пристрой для інформаційних систем з фазочастотним кодуванням інформації є реалізація їх на базі інжекційно-пролітних ефектів виникнення ДНО у багатоелектродних напівпровідникових структурах [27, 47].

У якості ключових логічних пристрой запропоновано використати послідовний (рис. 3.52а) і паралельний (рис. 3.52б) квазіактивні коливальні контури, утворені УПІ на транзисторі  $V_1$  і ємностю [18]  $C_1$ .

Контури підключаються до лінії передачі, по якій поширюються або опорні  $U_-$ , або керуючі  $U_{bx}$  електромагнітні коливання. У схемі на рис. 3.52а керуючий гармонійний сигнал  $U_{bx1}$  когерентний опорному сигналу  $U_-$ , подається на емітерний переход транзистора  $VT_1$ . Величина ємності  $C_1$  вибирається таким чином, щоб її опір на частоті опорного сигналу  $f_-$  було високим. При відсутності керуючого сигналу  $U_{bx1}=1$ , опорний сигнал майже без втрат надходить на вихід. При подачі керуючого сигналу частотою  $f_-$  і з фазовою затримкою  $\varphi_{bx1} > \pi/2$  у схемі забезпечується резонанс напруг. Опорний канал шунтується низьким опором ланцюга  $C_1$  і амплітуда вихідного сигналу зменшується, що відповідає функції інвертування.

У логічному пристрої (рис. 3.52б) величина ємності вибирається таким чином, щоб її опір на робочій частоті був низьким і, при відсутності керуючих сигналів  $U_{bx1}$  і  $U_{bx2}$  шунтував вихідний ланцюг. При одночасній подачі керуючих сигналів  $U_{bx1}$  і  $U_{bx2}$ , фазове зрушення між якими перевищує  $\pi/2$  радіан, у ланцюзі  $C_1-Z_{bx}$  реалізується резонанс струмів і на виході логічного пристрою з'являється опорний сигнал. У такий спосіб схема забезпечує логічну функцію "I".

Використовуючи запропоновані ключові схеми, розроблені логічні пристрої, що реалізують функції: АБО - НІ (рис. 3.52в) і І (рис. 3.52 г), на  $n$  - не число входів. Таким чином, запропонований комплект логічних пристрой має функціональну повноту.

Принципова електрична схема двох інверторів, об'єднаних в одну мікрозбірку і їхню топологію зображені на рис. 3.53а. (Розмір підкладки 15x12мм. Опорна частота – 0,3 ГГц).

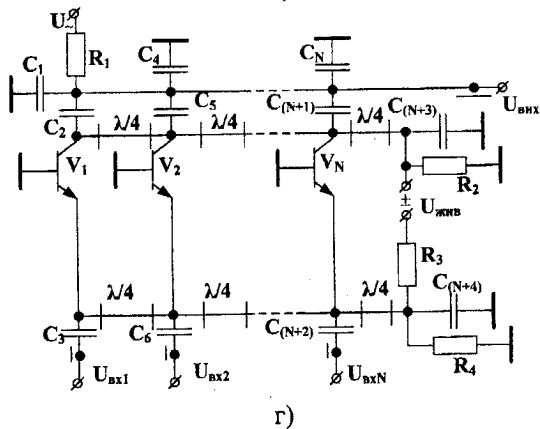
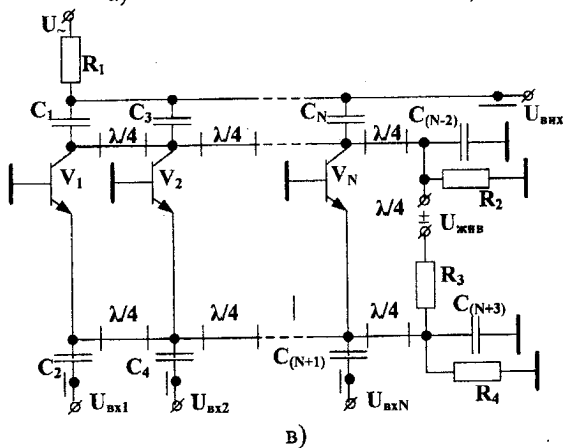
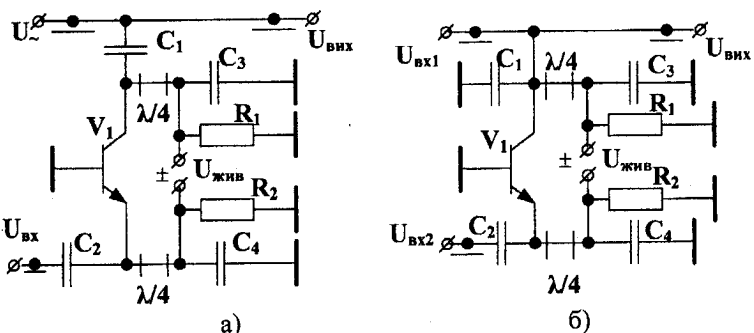
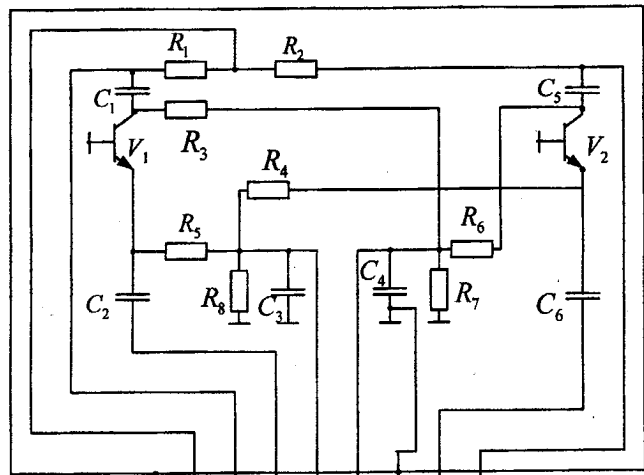
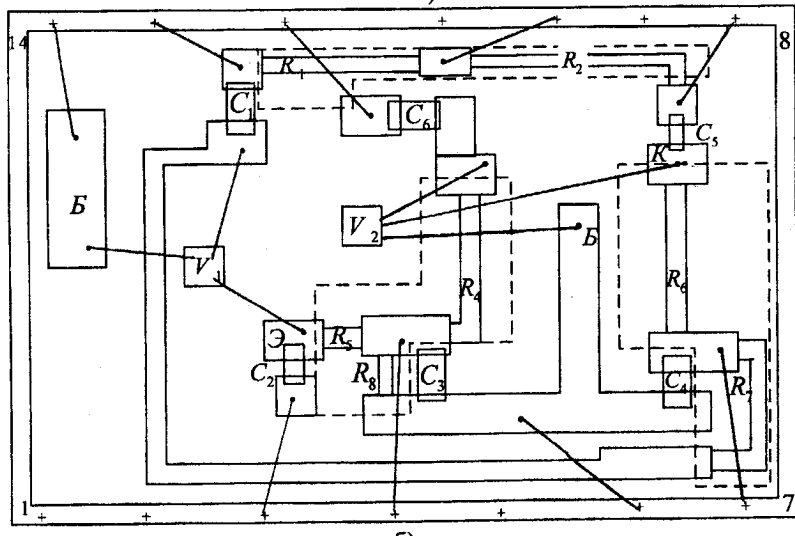


Рис. 3.52. Радіочастотні логічні схеми НІ (а), І (б, г) та АБО-НІ (в) на основі транзисторних УПІ



a)

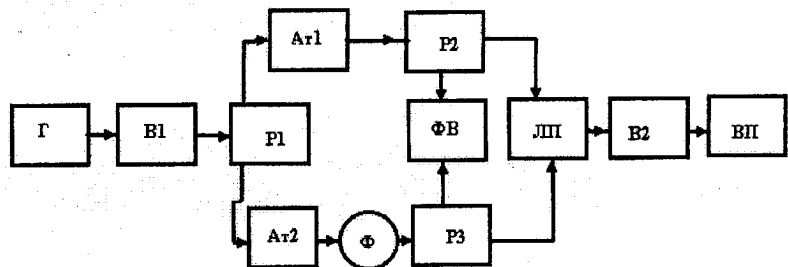
| КОН        |    |
|------------|----|
| спільн     | 14 |
| $U_{op}$   | 10 |
| $U_{вих}$  | 13 |
| $U_{ex1}$  | 3  |
| $-U_{ex2}$ | 5  |
| $+U_{вих}$ | 7  |
| спільн     | 6  |
| $U_{ex2}$  | 11 |
| $U_{вих2}$ | 8  |



б)

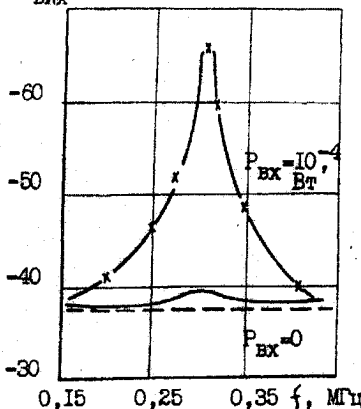
Рис. 3.53. Принципова схема (а) та топологія (б) мікрозбірки двох радіочастотних інверторів

Експеримент проводився на вимірювальному комплексі, структурна схема й загальний вигляд якого зображені на рис. 3.54а. Комплекс забезпечує проведення випробувань у діапазонах: частоти (0,1 – 1 ГГц) шляхом перебудови вимірювального генератора  $\Gamma$ ; амплітуди сигналу, змінюваної плавними атенюаторами At1 і At2 на 40 дБ; фази сигналу, що задається за допомогою фазообертача у межах  $\pi$  радіан.

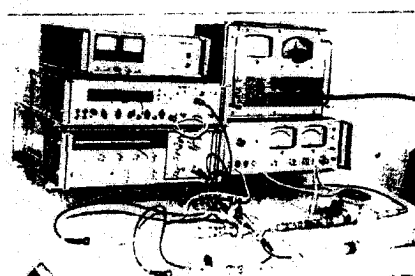


а)

$P_{\text{ВИХ}}$ , дБ/Вт



б)



в)

Рис. 3.54. Структурна схема (а), загальний вигляд (б) вимірювального комплекса та АЧХ (в) радіочастотного інвертора. На рисунку:

Г – вимірювальний генератор, В1 та В2 – вентилі;

Р1, Р2 та Р3 – розгалужувачі; At1 та At2 – атенюатори; Ф – фазообертач; ФВ – фазовий вольтметр; ЛП – логічний пристрій; ВП – вимірювач потужності

динамічному діапазоні 80 дБ (логічне І). При подачі керуючого сигналу когерентного з опорним і зрушеним по фазі на  $95^\circ$ , здійснювалося заглушення опорного сигналу на 30 дБ тобто в 1000 разів (логічний 0). Зміна частоти керуючого сигналу щодо опорного веде до зменшення заглушення зі швидкістю 1,5 дБ/МГц (рис. 3.546). Аналогічний ефект спостерігається при зміні фази керуючого сигналу щодо її робочого значення. Зміна потужності керуючого сигналу в динамічному діапазоні 50 дБ не впливає на результативний сигнал. Наведені результати вказують на високу перешкодозахищеність такого логічного пристроя.

Дослідження подвійної уніпольлярної структури із затвором Шоттки (ДЛТПШ2), дозволили розробити комплект невзаємних радіочастотних логічних схем, виконуючих функції І, АБО, НІ (рис. 3.55).

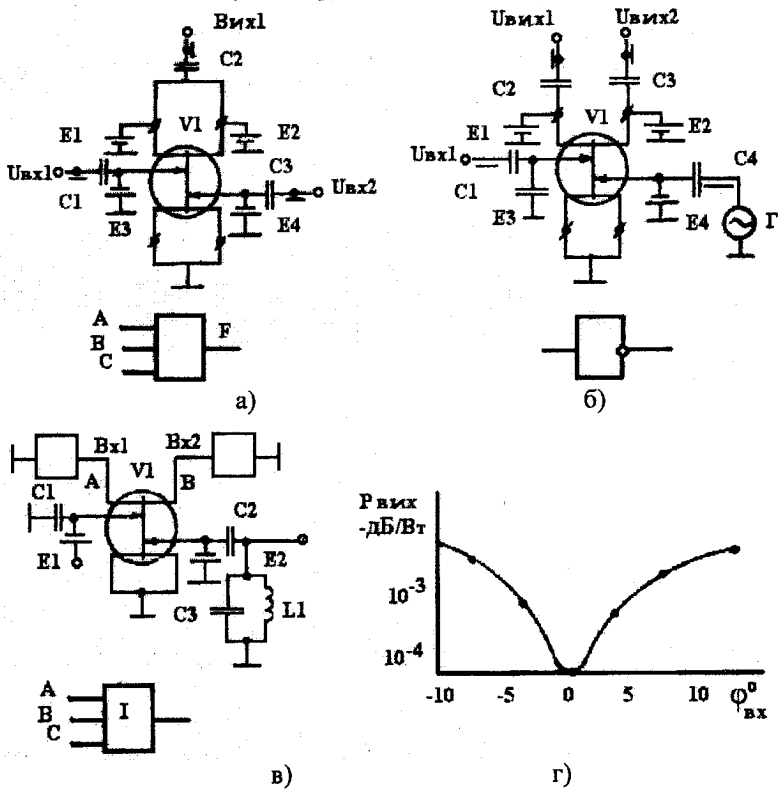


Рис. 3.55. Радіочастотні логічні схеми АБО (а), НІ (б), І (в) та залежність потужності вихідного сигналу від фази сигналу керування (г) в схемі (а)

На рис. 3.55а представлена принципова схема, що реалізує функцію АБО. Вона складається із ДПТШ2, що перебуває в активному режимі. При подачі гармонійного сигналу на кожній із входів, на виході з'являється посиленний сигнал.

Як показали експериментальні дослідження, зміна сигналу  $U_{bx1}$  або  $U_{bx2}$  у діапазоні 40 дБ забезпечувало лінійність динамічної характеристики логічного пристроя. Коефіцієнт підсилення становить 5,6 дБ на частоті 1 ГГц. Чутливість кожного входу регулюється зміною зсуву на затворах і при  $U_{31} = -1,8$ ,  $U_{32} = -2,1$  В вона дорівнює 0,2 + 0,3 мА/В. У відмінності від взаємної схеми АБО, НІ, що призначена для роботи на цілком певній частоті, дана схема є широкосмуговою. За рівнем коефіцієнта передачі 1 дБ її робоча смуга частот дорівнює 15,8%.

Схема, представлена на рис.3.55б, реалізує логічну функцію НІ. Джерело опорного сигналу  $\Gamma$  модулює щільність електронних потоків за гармонійним законом і при відсутності сигналу на клемі  $Bx 1$ , на вихідних клемах існують посилені синфазні гармонійні сигнали. При подачі на клему  $Bx 1$  керуючого сигналу із частотою опорного сигналу, але зрушеною щодо останнього на кут  $\pm 180^\circ$ , відбувається перемодуляція електронних потоків  $i$ , у результаті суперпозиції, на виході логічного пристроя амплітуда гармонійного сигналу стрибкоподібно зменшується.

У відмінності від попередньої схеми, робоча смуга частот даного логічного пристроя вже й становить на частоті  $f_0 = 1$  ГГц порядку 100 МГц. Друга його особливість полягає в чутливості до фази вхідного сигналу. Як видно з рис. 3.55г, зміна фази вхідного сигналу  $\Phi_{bx}$  щодо опорного коливання на  $\pm 5^\circ$  веде до зменшення сигналу на кожному з виходів на 5 дБ, з порівнянням з оптимальним.

Як логічний пристрій, що реалізує логічну функцію I використається схема, зображена на рис. 3.55в. При відсутності керуючих сигналів  $U_{bx1} = 0$  і  $U_{bx2}=0$  крізь міжзатворний проміжок проходять немодульовані два електронних потоки  $\bar{i}$  у контурі  $L_1 C_3$  коливання відсутні. При подачі хоча б одного керуючого сигналу, відповідно до теореми Рамо, у міжзатворному проміжку наводиться змінний струм. Аналогічний ефект спостерігається при подачі другого керуючого сигналу  $U_{bx2}$ . З роздільною появою керуючих сигналів, електронна провідність міжзатворного проміжку залишається позитивною. При їхній одночасній появлі електронна провідність стає негативною і у контурі  $L_1 C_e$  виникають незатухаючі гармонійні коливання, що відбуваються в перебігу часу надходження сигналів  $U_{bx1}$  і  $U_{bx2}$ . Це відповідає реалізації логічної функції I.

Зрив коливань спостерігається не при повнім зникненні одного із сигналів  $U_{bx1}$  або  $U_{bx2}$ , а при їхньому зменшенні до величини 10 мВт або перевищенні рівня 100 мВт. Зміна потужності керуючих сигналів у цих межах, викликає зміну на  $\pm 2,5$  МГц частоти генеруемых коливань, що пояснюється впливом мнимої складової електронної провідності області дрейфу.

Час перемикання розроблених логічних пристройів, оцінене на частотах 1 і 3 ГГц [49], відповідно дорівнює  $15 \div 20$  нс і  $6 \div 10$  нс. Середня потужність сигналу, затрачувана на перемикання становить  $10^{-6}$  Вт, тобто  $P_{\text{упр}} \approx 6 \cdot 10^{-15} + 2 \cdot 10^{-14}$  Вт в діапазоні частот 1 – 3 ГГц.

Використовуючи властивості УПП на основі багатоелектродних напівпровідників структур, запропонований радіочастотний тригер (рис. 3.56а) з лічильним запуском, який забезпечує у кожному з стійких станів генерацію електромагнітних коливань заданої частоти [48].

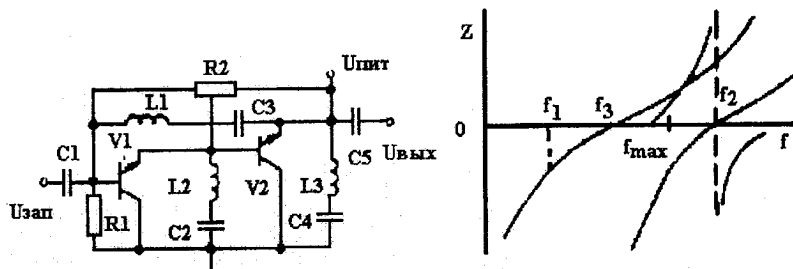


Рис. 3.56. Радіочастотний тригер (а) та частотна залежність опору його контурів (б)

Принцип роботи тригера заснований на динамічній нестабільноті УПП<sup>K</sup>. Транзистор  $VT_1$  вибирався малопотужним, типу ГТ313, а транзистор  $VT_2$  – великої потужності, типу КТ919, що забезпечувало установлену роботу схеми на частоті  $f_2$ . У першому стійкому стані забезпечувалася генерація сигналу на частоті  $f_1 = 0,5$  ГГц потужністю 3 мВт, а у другому стійкому стані на частоті  $f_2 = 2,5$  ГГц потужність 10 мкВт. Керування тригера здійснюється радіоімпульсом з середньою потужністю  $P_{\text{упр}} = 2$  мВт та тривалістю  $10^{-5}$  с.

### 3.5. Кодувальні пристрої

Багатоелектродний напівпровідникові структури, що мають ДНО, знаходять застосування при кодуванні гармонійних електрических сигналів, інформаційними параметрами яких є: амплітуда, фаза й частота,

а відповідні їм пристрої, що кодують, підрозділяються на амплітудні, фазові й частотні модулятори [8]. Основні переваги пристройв, що кодують, на основі багатоелектродних напівпровідниковых структур, що мають ДНО, проявляються в діапазонах високих і надвисоких частот. На цих частотах амплітудна модуляція здійснюється за допомогою електронно-керованих атенюаторів, фазова модуляція – за допомогою електронно-керованих фазообертачів, частотна модуляція – за допомогою електронно-керованих коливальних контурів (резонаторів).

Розглянемо найефективніші запропоновані технічні рішення пристройв, що кодують, на основі багатоелектродних напівпровідниковых структур, що мають ДНО.

На рис. 3.57 представлена високочастотну частину схеми атенюатора, що забезпечує плавне керування коефіцієнтом передачі  $K_0$  зі збереженням постійними абсолютної і відносної смуг пропущення [50, 51]. Робота атенюатора заснована на синхронному регулюванні двох елементів схеми – активного опору  $R1$  і ємності  $C1$ .

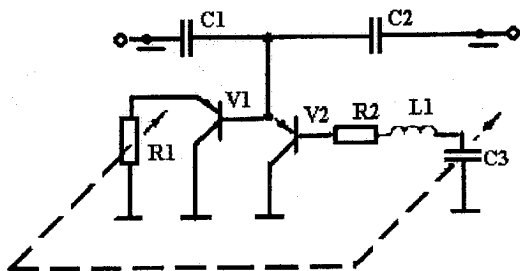


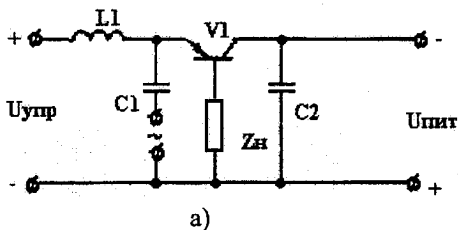
Рис. 3.57. Високочастотна частина схеми частотно-вибіркового атенюатора

Використання в якості керованої ємності  $C_1$  варикапів типу KB109A, а в якості керованого активного опору  $R1$  діода типу AA517, дозволило реалізувати на транзисторі КТ3101 атенюатор, що забезпечує стабільність центральної частоти  $f_0 = 1200 \text{ МГц} \pm 1 \text{ МГц}$  і абсолютної смуги пропущення  $\Delta f_0 = 10 \text{ МГц} \pm 0,5 \text{ МГц}$  у діапазоні керування коефіцієнтом передачі  $\pm 10 \text{ дБ}$ .

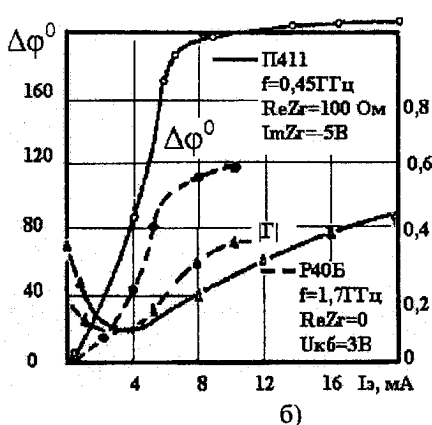
Властивості УП як КЕ дозволяють реалізувати на його основі мініатюрні фазообертачі, що мають малі втрати сигналу й більший діапазон зміни фазового зрушения [52, 53, 54]. З огляду на те, що загальна теорія фазообертаючих пристройв досить повно розглянута в низці праць [2, 4], оцінимо можливості застосування багатоелектродних напівпровідниковых структур у НВЧ фазообертачах на прикладі одноч-

ного фазообертаючого елементу відбивного типу, що дозволить судити про його можливості при використанні в більш складних цілях. При використанні вихідного імітансу УП<sup>K</sup> у режимі перетворення речовинного імітансу ReW<sub>T</sub> можлива реалізація фазообертача (рис. 3.58а), що забезпечує плавне керування аргументом коефіцієнта відбиття на 200° шляхом зміни струму емітера (рис. 3.58б), але при цьому втрати у фазообертачі у всьому діапазоні керування великі [55], що пояснюється низькою добротністю перетвореного імітансу.

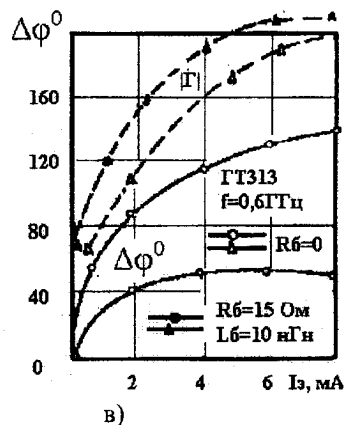
Застосування індуктивного перетворюваного імітансу дозволяє підвищити модуль коефіцієнта відбиття (рис. 3.58в), але при цьому діапазон керування аргументом коефіцієнта відбиття знижується до 140°. Трохи кращі результати при використанні двохкаскадного УП<sup>K</sup> [152]. У цьому випадку забезпечується фазове зрушення порядку 155° (рис. 3.58в). Недоліком такого фазообертача є зміна величини втрат від 12 дБ при I<sub>E</sub>=0 до 0 дБ при I<sub>E</sub>=9mA (транзистор типу KT3101). Для поліпшення цієї характеристики була запропонована схема фазообертача з компенсацією втрат (рис. 3.59а).



а)

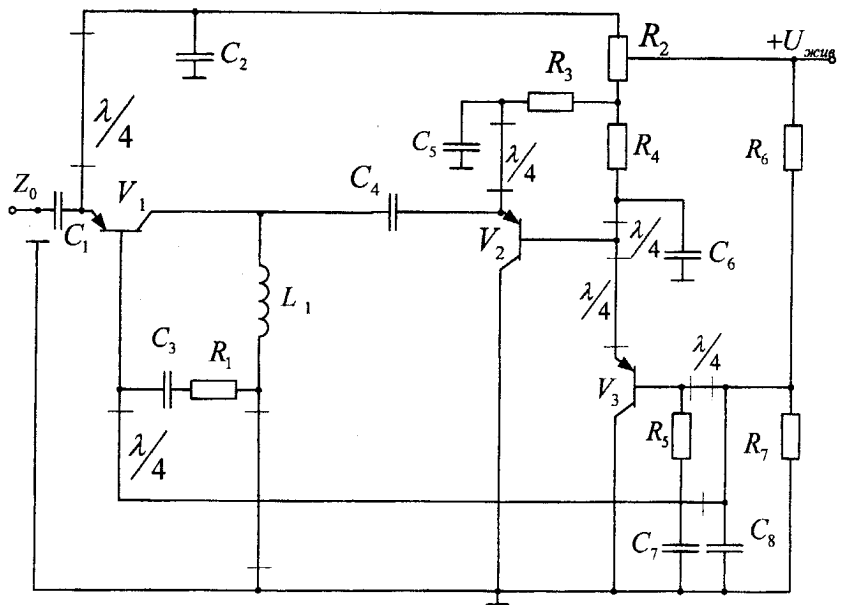


б)

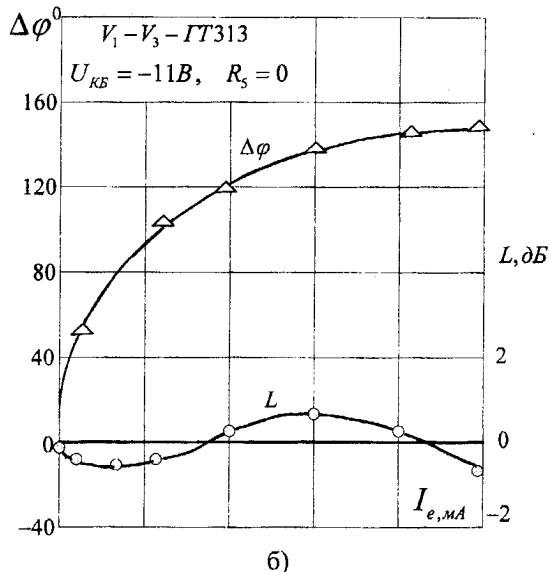


в)

Рис. 3.58. Принципова схема (а) та характеристики керування (б, в) відбиваючого фазообертача на основі УП<sup>K</sup>



a)



б)

Рис. 3.59. Принципова схема (а) та характеристика керування (б)  
фазообертача з компенсацією втрат

Втрати в такому фазообертачі у всьому діапазоні керування не перевищують  $\pm 0,7$  дБ (рис. 3.59б). Потужність, затрачувана на керування в розглянутих фазообертачах, може бути знайдена з виразу  $P_{\text{втр}} = N I_s U_{\text{eb}}$ , де  $N=1,2,3 \dots$  – число каскадів УП, і становить порядку 10 мВт на один каскад.

Зменшення потужності керування досягається шляхом керування величиною перетворюваного імітансу за допомогою варикапа (рис. 3.60а). В експериментальному фазообертачі на транзисторі ГГ313 з використанням варикапа типу КВИ2 був досягнутий діапазон керування  $260^\circ$  при зміні втрат від 1,5 до 9 дБ (рис. 3.60в). Потужність, затрачувана на керування в такому фазообертачі, не перевищує  $P_{\text{втр}} < 3 \cdot 10^{-6}$  Вт.

Розглянуті фазообертачі використовують аналогове управління. При реалізації оптимальних інформаційних систем, так само потрібні дискретні фазообертачі з різною величиною дискрета [56].

Цей режим реалізується у фазообертачі, схема якого зображена на рис.3.60б. Він складається з однокаскадного УП<sup>3</sup>, на вході якого включений перетворюваний імітанс індуктивності  $L_1$ , а вихід підключений до вихідних клем. Робота фазообертача заснована на керуванні перетворюваним імітансом, шляхом зміни полярності напруги, прикладеного між джерелом і стоком польового транзистора.

Такий фазообертач, що використовує кристал транзистора ЗП325, на частоті 0,5 ГГц забезпечує  $180^\circ$  дискрет зміни аргумента коефіцієнта відбиття, але різні модулі коефіцієнта відбиття (1,05 і 1,5). Це пояснюється існуючою асиметрією реальної уніполярної структури.

Основним з елементів більшості частотних модуляторів є LC коливальний контур, параметри якого змінюються за законом керуючого сигналу. Як керуючий елемент у частотних модуляторах найбільш широке застосування одержали варикапи [3]. Підключення варикапа до коливального контура зменшує його добробутність і, як наслідок, стабільність генерованих коливань. Тому використовується часткове включення варикапа в контур, що скорочує діапазон частотної модуляції. Ці недоліки відсутні в транзисторних коливальних контурах, в яких підключення варикапа забезпечує не тільки частотну модуляцію, але й підвищення добробутності коливальних контурів [57, 58].

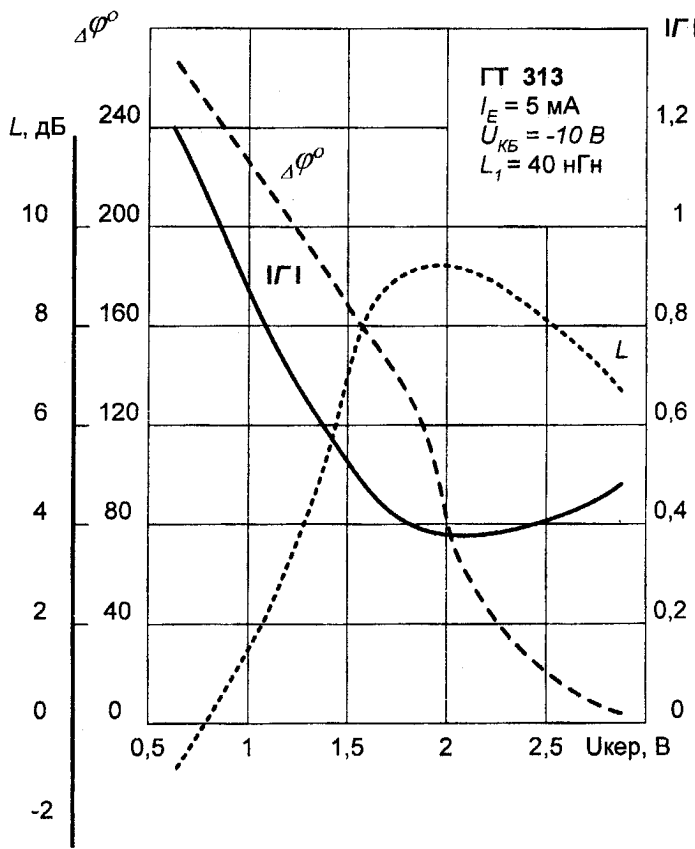
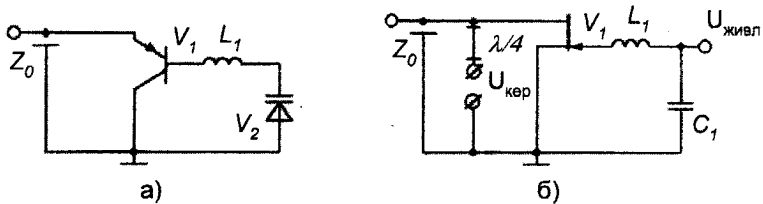
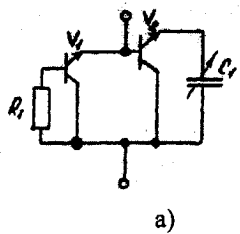
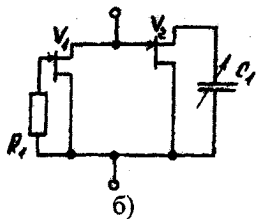
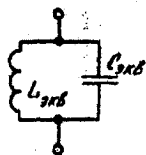


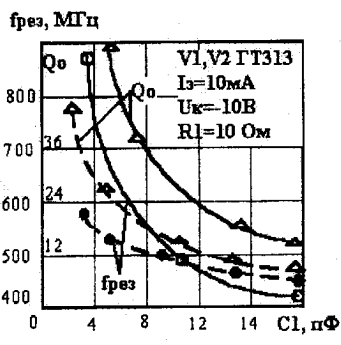
Рис. 3.60. Однокаскадний аналоговий (а) та дискретний (б) фазообертачі та характеристика керування аналогового фазообертача



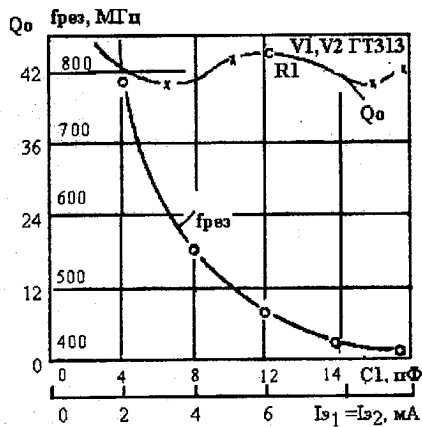
a)



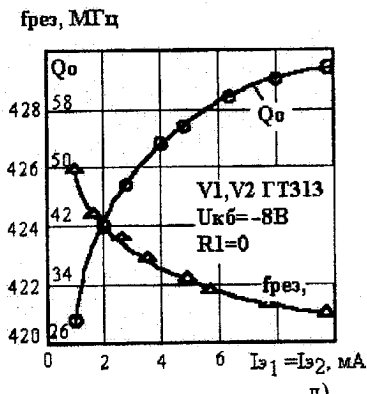
б)



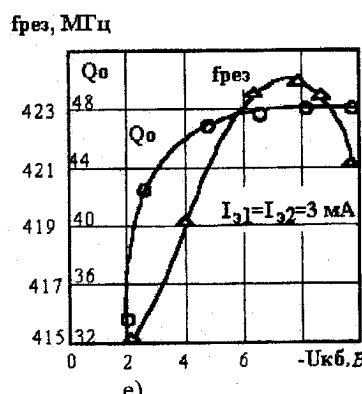
в)



г)



д)



е)

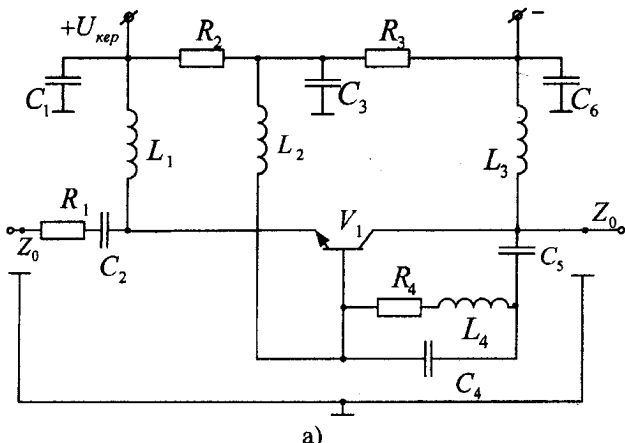
Рис. 3.61. Активні керовані контури (а, б) та їх характеристики (в–е)

Контур складається із двох УПІ й може бути реалізований як на біполярні (рис. 3.61а), так і на уніполярні (рис. 3.61б) транзисторах. Експериментальна перевірка здійснювалася на контурі, зіброму на транзисторах типу ГТ313, при  $R_L=10$  Ом і варикапі типу КВП4. На рис. 3.61в представлена розрахункові й експериментальні залежності резонансної частоти  $-f_0$  і добротності  $Q_0$  реалізованого контуру від ємності варикапа. Як видно із графіків, зі зменшенням ємності  $C_1$  варикапа, відбувається ріст резонансної частоти й добротності контуру, що в експерименті досягала 54 одиниці. В процесі експерименту було встановлено, що управляти цими параметрами можна й шляхом зміни робочих точок УПІ. Найцікавішою, із практичної точки зору, є залежність параметрів  $Q_0$  і  $f_0$  від струму емітера транзисторів  $V_1$  і  $V_2$ . Із графіків рис. 3.61в, д видно, що якщо зі зменшенням ємності варикапа  $C_1$  одночасно збільшувати струми емітерів  $I_{31} = I_{32}$ , то зростає крутість зміни резонансної частоти й зменшується зміна власної добротності контуру (рис. 3.61г). Зростом температури від 30° до 50°C відбувається зменшення добротності  $Q_0$  і резонансної частоти  $f_0$  в середньому на 0,00174% град<sup>-1</sup>. При більш високій температурі величина зміни параметрів істотно зростає. Для розширення температурного діапазону використовувалося включення, в якого резистор  $R_1$ , терморезистора типу ММТ-І. У цьому випадку границю температурного діапазону з вищевказаною нестабільністю вдалося розширити до 60°C. Підбором оптимальних значень параметрів схеми ( $C_1=1,8$  пФ,  $R_1=0$ ,  $I_3=10$  мА,  $U_{k\theta}=-8$  В) отримана на частоті 700 МГц добротність 120 одиниць при тій же стабільності. Включення послідовно з резистором  $R_1$  індуктивності  $L_1=10$  нГн привело до збудження схеми на частоті 620 МГц. При зміні ємності  $C_1$  від 1,8 до 2,4 здійснювалося 10% регулювання частоти генерації.

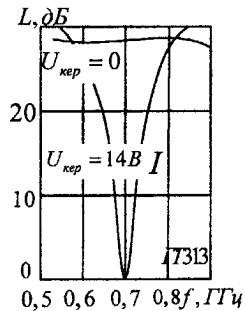
### 3.6. Комутатори

Комутатори призначенні для розподілу сигналів по каналах інформаційної системи. Основним елементом комутатора є ключ. Вид режиму його роботи змінюється в часі відповідно до алгоритму функціонування інформаційної системи.

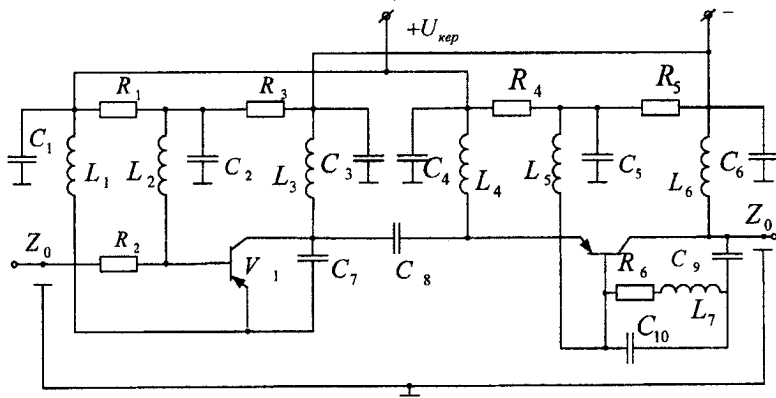
В [22] показано, що параметри комутатора на основі електрично керованого імітансу тим вище, чим більше "якість" керуючого елемента. "Якість" такого елемента на базі багатоелектродної напівпровідникової структури становить кілька сотень одиниць (§ 6.2). Це дозволило синтезувати високоефективний частотно-вибірковий ключ, принципово схема якого зображена на рис. 3.62а [59].



a)



б)



в)

Рис. 3.62. Частотновибркові ключі

Він складається з УПІ<sup>K</sup> на транзисторі  $V_1$ , вихідний ланцюг якого включено послідовно з резистором  $R$ , і ємністю  $C$ , у розрив відрізка лінії передачі.

Експериментальний мікросмуговий ключ, зібраний на кристалі транзистора ГТ313 (рис. 3.62б) на частоті 0,7 ГГц забезпечує у режимі відкрито нульове загасання при 3% смузі пропускання. У режимі "закрито" у смузі частот (0,5÷0,9) ГГц загасання 29 дБ [60, 61].

Максимальне значення загасання в режимі "закриті" обмежено величиною негативного речовинного імітансу, синтезованого УПІ. Чим він більше, тим більше береться значення величини резистора, що визначає основну частку дисипативних втрат сигналу в режимі "закриті". Виходячи із цього, з метою збільшення загасання у режимі "закрито" запропонована схема ключа (рис. 3.62г), у яку введений другий УПІ<sup>K</sup> на основі транзистора  $V_1$ , що працює в режимі прямої конверсії імітансу ємності  $C$ . Цей ключ, реалізований на транзисторах типу ГТ313, дозволяє підвищити загасання в режимі "закрито" до 52 дБ.

Використовуючи схему однотранзисторного ключа (рис. 3.62а), розроблений двоканальний комутатор (рис. 3.63а).

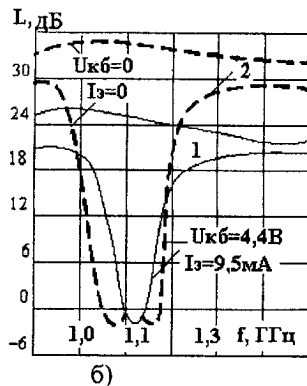
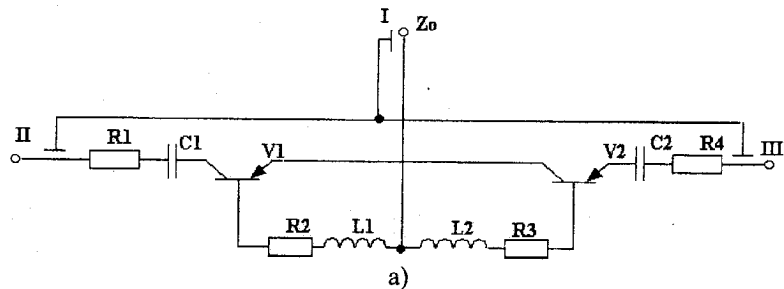


Рис. 3.63. Двоканальний комутатор

В якості активних елементів використовувалися транзистори типу ГТ325. Загальний вид комутатора виконаного у вигляді гібридної мікросхеми, на сигналі марки СТЗ6 представлений на рис. 3.63б. При відсутності керуючої напруги розв'язка між каналами I-II і I-III становить 24 dB (рис.3.63в) [66]. При подачі керуючої напруги ( $I_s = 9,5$  mA,  $U=4,4$  В), втрати на частоті 1,11 ГГц відсутні й спостерігається посилення на 0,5 dB.

Для збільшення загасання в режимі "закрито" було здійснено послідовне включення в кожному каналі 2-х ключів вигляду (рис. 3.62а) з розстроєними центральними частотами. Це дозволило одержати в три рази ширшу смугу пропускання в режимі "відкрито" і підвищити величину загасання в режимі "закрито" до 33 dB.

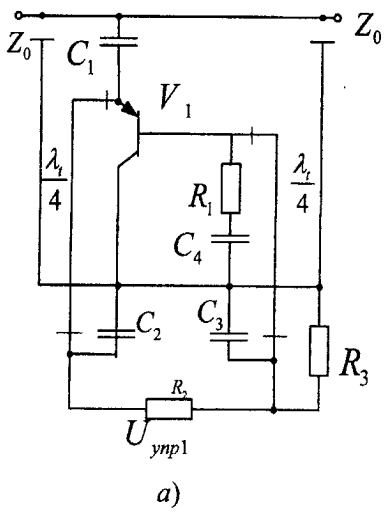
Потенційні можливості ключа на основі напівпровідникових діодів були досягнуті завдяки використанню паразитних реактивностей їхніх висновків і корпуса [4]. Цей же принцип використовується при реалізації резонансного транзисторного ключа, принципова й еквівалентна схеми якого зображені на рис. 3.64 [63]. Експериментальні дослідження ключа були проведені в дециметровому діапазоні частот. Використався транзистор типу ГТ313 і відрізок передавальної лінії з характеристичним опором 50 Ом.

Результати експериментів (рис. 3.64б) показали, що на частоті  $f_0 = 0,7$  ГГц загасання в режимі "закрито" становить 30 dB. КСВН експериментального макета ключа в режимі "відкрито" на частоті резонансу дорівнює 1,14.

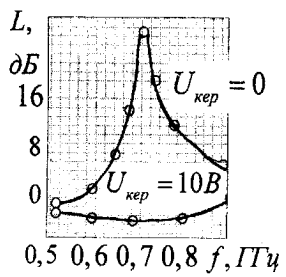
Недоліком розглянутих ключів є їхня низька стабільність, обумовлена включенням у резонуючий ланцюг емітерного переходу, імітанс якого найбільш сильно піддається впливу температури, потужності сигналу й напруги зміщення.

Вищу стабільність має ключ, принципова схема якого зображена на рис. 3.65 [64]. Він утворений УП<sup>6</sup> на транзисторі  $V_1$ , вихідний імітанс якого включений послідовно з ємністю  $C_1$  паралельно відрізу лінії передачі. Опір емітерного переходу не включено безпосередньо в резонуючі контури, що забезпечує високу стабільність ключа. Експериментальний зразок ключа, виконаний на основі транзистора КТ640А, забезпечує на частоті 1 ГГц у режимі "закрито" ослаблення 28 dB, у режимі "відкрито" – підсилює сигнал на 4,2 dB. У температурному діапазоні  $\pm 60^\circ\text{C}$  нестабільність коефіцієнта передачі не перевищує  $\pm 1$  dB, а центральної частоти  $\pm 1$  МГц.

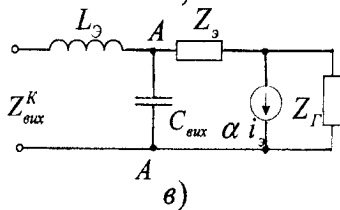
Швидкодія розроблених ключів визначається інерційністю ланцюгів керування й транзистора.



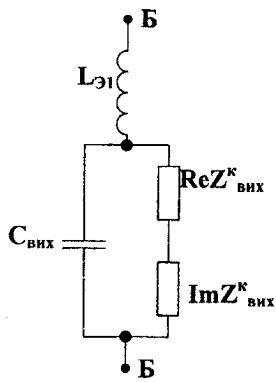
a)



б)

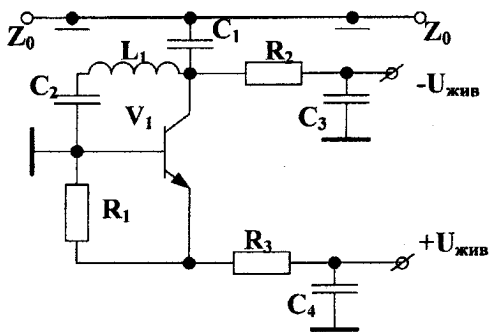


б)

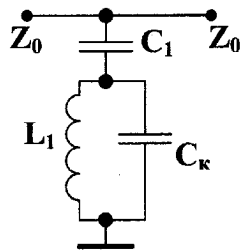


г)

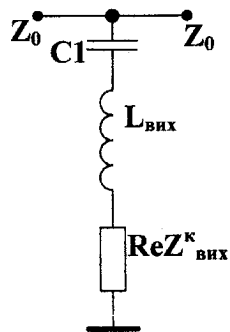
Рис. 3.64. Частотновибрковий ключ, що використовує паразитні реактивності корпуса та виводів



a)



б)



в)

Рис. 3.65. Частотновибрковий ключ із підвищеною температурною стабільністю

Аналіз інерційності ланцюгів керування, виконаний в [24], показав, що їхня гранична швидкодія повинна бути порядку  $t_y \approx 2/f_0$  та для метрового діапазону ця величина становить близько 2 нс. Проведені експерименти показали [31], що практично тривалість фронту комутації не перевищує 5 нс.

Обмеження, що накладають на швидкодію ключа транзистором, визначаються його імпульсивними властивостями. СВЧ транзистори мають час включення й вимикання порядку 1 нс [64].

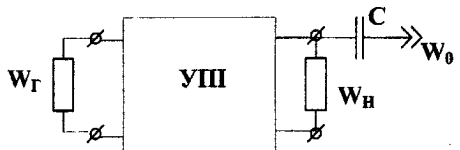
Ці результати підтверджують і дані числового аналізу, проведених в [49], де показано, що час затримки встановлення імітансу сучасного біполярного транзистора на частоті  $f=10$  ГГц дорівнює 4 нс. У такий спосіб швидкодія розглянутих ключів становить менш 10 нс.

Важливою характеристикою будь-якого комутатора є величина потужності затрачуваної на комутацію. При використанні малопотужних германієвих транзисторів з струмовим керуванням вона становить порядку 5÷10 мВт на один каскад [65], а при використанні кремнієвих транзисторів зростає в 2÷3 рази.

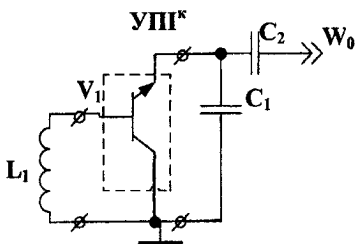
### 3.7. Елементи синтезаторів частоти

Основними вузлами синтезаторів частоти є генератори гармонійних коливань, перетворювачі частоти й фільтри [66]. Ефективність синтезаторів частоти багато в чому визначається вибірковістю, використовуваних у ньому фільтрів. Розглянуті в підрозділах 3.3, 3.4 АФ у порівнянні з їхніми пасивними аналогами мають в 5 – 10 разів більшу ефективність [67], що дозволяє рекомендувати їх для використання в синтезаторах частоти. Покажемо, що генератори гармонійних коливань і перетворювачі частоти, розроблені з використанням теорії УПІ, також мають ряд технічних переваг.

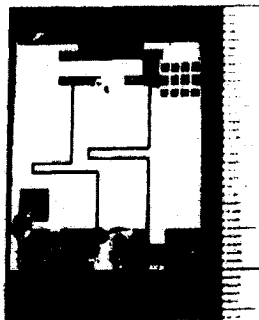
Найважливішою властивістю УПІ, є синтез ДНО, що забезпечує реалізацію на їхній основі генераторів гармонійних коливань. Узагальнена структурна схема такого генератора зображена на рис. 3.66а. Вперше генератор такого типу був реалізований в 1956 році Jamaguchi [68], (рис 3.66б). Вона реалізована на основі УПІ<sup>к</sup> в режимі зворотного перетворення активного імітансу  $Z_r = j\omega L_1$ .



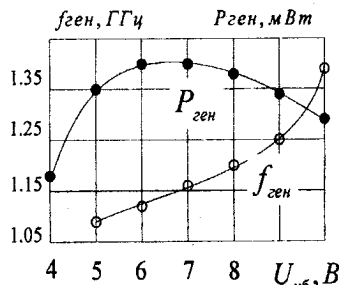
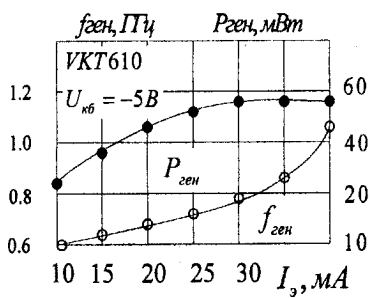
a)



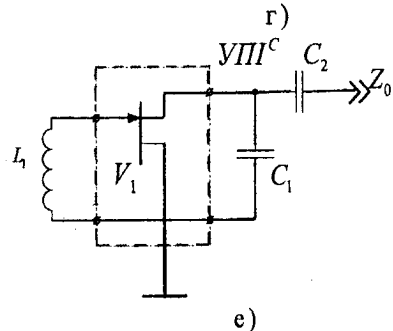
б)



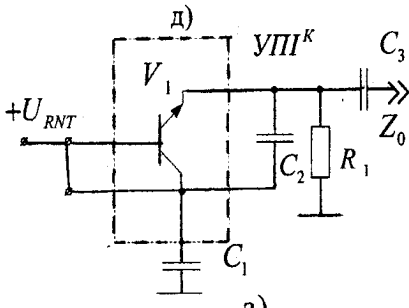
в)



г)



е)



з)

Рис. 3.66. Однокаскадні генератори гармонічних коливань на основі УПІ

Розрахунок генератора здійснюється з допомогою структурної схеми рис. 3.66а шляхом визначення коефіцієнта оптимізації  $\sigma_{\Gamma \text{opt}}$ , що забезпечує стабільну роботу генератора при зміні перетворюваного імітансу  $j\omega L_1$ .

Експериментальна перевірка даної схеми, проведена на транзисторах типу ГТ313, КТ640, КТ371, КТ904, показала можливість здійснення генерації коливань як на низьких, так і на надвисоких частотах. Наприклад, генератор, реалізований на основі мікросмугової лінії передачі з  $Z_0 = 50 \Omega$ , на транзисторі типу КТ904Б з  $f_T = 0,8 \text{ ГГц}$ , забезпечував на частоті 1 ГГц генерування електромагнітних коливань напругою 200 мВт при ККД, рівному 30% і стабільністю частоти  $10^{-3}\%$  град<sup>1</sup>. Зміна напруги  $U_{\text{кб}}$  забезпечує електронну перебудову частоти на 20% [69, 70].

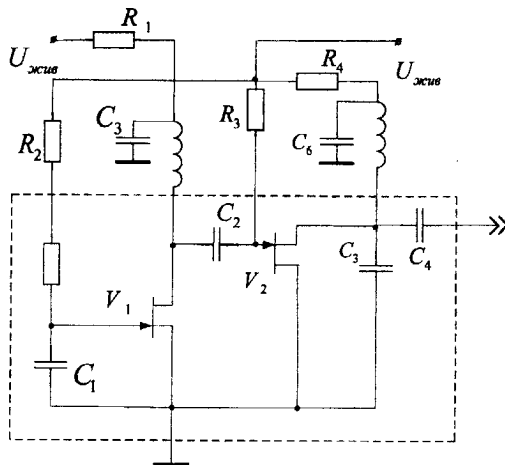
При проведенні досліджень даної схеми були встановлені дві її важливі особливості: можливість електронної перебудови шляхом зміни як струму емітера (рис. 3.66г), так і напруги на колекторі  $U_{\text{кб}}$  (рис. 3.66д) (причому другий спосіб забезпечував більшу стабільність генерованої потужності); можливість генерації на частотах, значно більших максимальної частоти генерації транзистора (рис. 3.69).

Враховуючи що УПІ<sup>K</sup> еквівалентний по своїх властивостях УПІ<sup>C</sup>, був реалізований генератор на УПІ<sup>C</sup>, у якості якого використався ПТШ типу ЗП326 (рис. 3.66е). Маючи центральну частоту генерації 3 ГГц, він забезпечує 20% її зміни шляхом зміни перетвореного імітансу. Максимальне значення ККД генератора становило 12% при напрузі на затворі  $U_{U3} = -1,6 \text{ В}$ .

Наявність у розглянутих схемах індуктивності  $L_1$  погіршує масогабаритні характеристики й перешкодозахищеність пристрою. Ці недоліки відсутні в безіндуктивній схемі генератора (рис. 3.66з) на основі УПІ<sup>K</sup> із закороченим по постійному й змінному струмі входним ланцюгом.

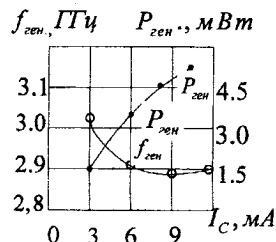
З використанням ПТШ реалізована схема безіндуктивного двохкаскадного генератора (рис. 3.67а). Як перший каскад використовувалися УПІ<sup>B</sup> на транзисторі  $V_1$ , що інвертує імітанс ємності  $C_1$ . Другий каскад представляє УПІ<sup>C</sup>. Максимальна генерована потужність цієї схеми дорівнює 5 мВт і обмежена максимальнодопустимим струмом стоку.

Частота генерації, зростом струму стоку від 3 до 10 мА, зменшується від 3,02 ГГц до 2,88 ГГц.



а)

Рис. 3.67. Двокаскадний генератор гармонічних коливань



б)

Застосування ПТШ2 дозволяє спростити схему безіндуктивного генератора. На рис. 3.68 представлена схема такого генератора на кристалі ПТШ2. Схема отримана в результаті перетворення її зі схеми двокаскадного генератора на основі УПП<sup>С</sup> (рис. 3.68а). У реальному пристрої використався активний режим кристала ПТШ2.

На частоті  $f=6$  Гц отримана генерація сигналу потужністю 0,3 мВт при оптимальній величині перетвореного опору  $R_i=9$  Ом і опорі навантаження генератора  $Z_0=50$  Ом.

Можливість реалізації ДНО біполярного транзистора на частотах вище  $f_{\max}$  дозволила реалізувати на одному УПП<sup>К</sup> двохчастотний генератор, особливістю якого є синхронна генерація сигналу на частотах як вище, так і нижче  $f_{\max}$ . Схема складається (рис. 3.69а) з УПП<sup>К</sup>, паралельно входу якого підключений паралельний коливальний контур з резонансною частотою  $f_2 > f_{\max}$  (рис. 3.69б), а паралельно виходу підключений послідовний коливальний контур з резонансною частотою  $f_1 < f_{\max}$ .

Експериментальна перевірка проводилася на макеті, утвореному відрізком лінії передачі, в якій установлювався транзистор типу КТ371, паралельно входу й виходу цього відрізу підключалися плавно регульовані короткозамикаючі поршні. Генерація спостерігається на частоті  $f_{\text{a}}=1,8$  Гц потужністю 10 мкВт.

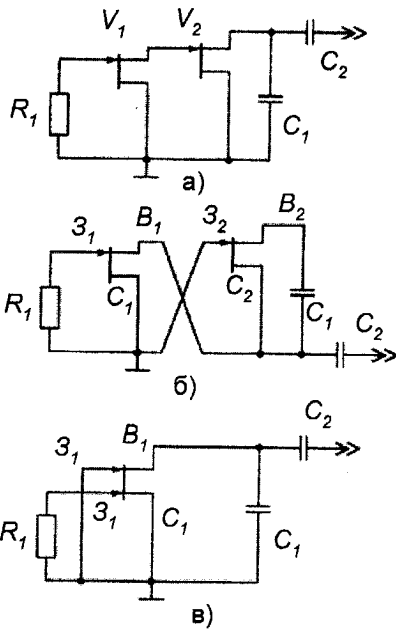


Рис. 3.68. Безіндуктивний генератор гармонічних коливань

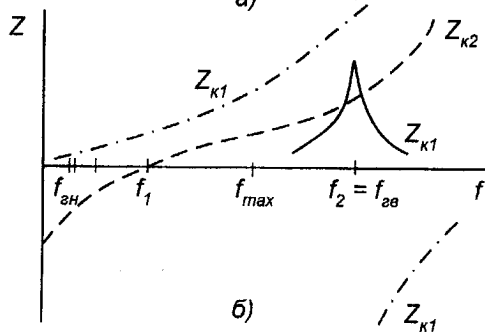
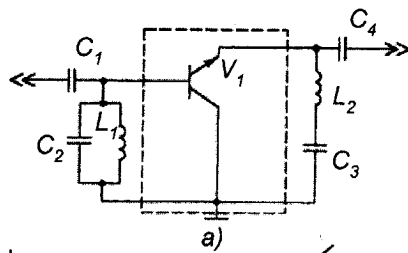


Рис. 3.69. Двочастотний генератор гармонічних коливань

Недоліком існуючих пасивних і активних перетворювачів частоти є виконання функції зсуву частот і їхньої фільтрації різними блоками, що знижує ступінь інтеграції й надійність. Ці недоліки відсутні в запропонованому перетворювачі частоти (рис. 3.70а), у якого функції перетворення й фільтрації сигналу реалізуються за допомогою УПІ<sup>К</sup>.

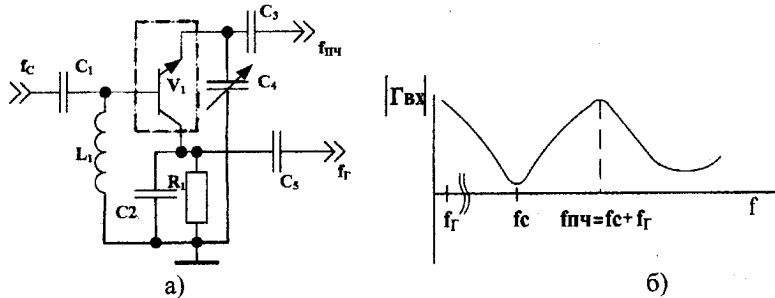


Рис. 3.70. Перетворювач частоти

Розглянемо можливість проходження сигналу проміжної частоти на вхід перетворювача з боку гетеродина. Враховуючи, що на частоті f<sub>пЧ</sub> маємо  $Y_{\text{вх}} \approx Y_{\text{вих}}$ , а вхідна провідність УПІ дорівнює  $Y_{\text{вх}} = Y_{11} - Y_{12}Y_{21}/(Y_{22} + Y_h)$ , знаходимо

$$Y_{\text{вх}}(f_{\text{пЧ}}) \approx Y_{11} - Y_{12}Y_{21}/(Y_{22} - Y_{\text{вих}}),$$

де  $Y_{11}$ ,  $Y_{12}$ ,  $Y_{21}$ ,  $Y_{22}$  – параметри матриці провідності УПІ<sup>К</sup>.

Підставляючи в цей вираз значення вихідної провідності УПІ<sup>К</sup>  $Y_{\text{вих}} = Y_{22} - Y_{12}Y_{21}/(Y_{11} + Y_r)$ , знаходимо вхідну провідність перетворювача у вигляді  $Y_{\text{вх}}(f_{\text{пЧ}}) \approx -Y_r$ . Таким чином, на частоті f<sub>пЧ</sub> вхідна провідність перетворювача приблизно дорівнює провідності генератора, взятої з протилежним знаком. В цьому випадку  $\Gamma_{\text{вх}}(f_{\text{пЧ}})$  дорівнює

$$\Gamma_{\text{вх}}(f_{\text{пЧ}}) \approx |Y_{\text{вх}}(-Y_r)| / |Y_{\text{вх}}(-Y_r)| \rightarrow \infty.$$

В реальній схемі величина модуля коефіцієнта відбиття  $\Gamma_{\text{вх}}(f_{\text{пЧ}})$  скінчена, але має значно більшу величину, ніж на частоті сигналу (рис. 3.70б). Частота гетеродина вибирається з умови  $f_r \ll f_c, f_r > f_{\text{пЧ}}$ . На частоті гетеродина  $1/2\pi f_r C_2$  величину  $R_1$  вибираємо з умови  $R_1 = R_e Z_r$ , що забезпечує узгодження перетворювача з гетеродином. Вхідна та вихідна клеми становуть розв'язаними, а вхід сигналу та гетеродина – узгодженими. Експериментальний зразок перетворювача частоти на базі транзистора КТ640А забезпечує такі параметри:  $f_c = 536 \text{ МГц}$ ,  $f_r = 36 \text{ МГц}$ ,  $f_{\text{пЧ}} = 572 \text{ МГц}$ ,  $= 3 \text{ МГц}$ ; заглушення  $f_c$  у вихідному ланцюзі – більше 45dB; підсилення 5dB;  $F_w = 8 \text{ dB}$ ;  $P_{\text{пT}} = 0,3 \text{ мВт}$ ;  $U_{\text{пЧ}} = 126 \text{ В}$ ;  $I_k = 10 \text{ mA}$ ;  $Z_r = Z_h = Z_{\text{гет}} = 50 \Omega$ ;  $\Gamma_{\text{вх}}(f_c) \leq 1,1$ ;  $\Gamma(f_{\text{пЧ}}) > 15$ ;  $\Gamma(f_{\text{рет}}) \leq 1,15$ .

### Перелік літератури до розділу 3

1. Филинук Н.А. Основы анализа и синтеза информационных устройств на базе инжекционно-пролетных эффектов. – Диссертация на соискание ученой степени д.т.н., спец. 05.13.05 – Элементы и устройства вычислительной техники и систем управления. К.: Ин-т кибернетики им. В.М. Глушкова АН Украины, 1984. – 562 с.
2. Викулин И.М. Частотные датчики на основе однопереходного транзистора. – М.: Радиотехника и электроника, 1973. – Вып. 11. – С.2384–2389.
3. Чудаков И.М. Частотная модуляция с помощью ємкостей р-п-переходов. – М.: Связь, 1968. – 108 с.
4. СВЧ устройство на полупроводниковых диодах / Под ред. И.В. Мальского, Б.В. Сестрорецкого. – М.: Сов. радио, 1969. – 580 с.
5. Ильченко М.Е., Мелков Г.А., Мирських Г.А. Твердотельные СВЧ фільтри. – К.: Техніка, 1977. – 120 с.
6. Богданов Г.Б. Частотно-избирательные системы на ферритах и применение их в технике СВЧ. – М.: Сов. радио, 1973. – 352 с.
7. Бокринська О.Я., Сташук В.Д. Функціональні низькочастотні RC та RLC кола. – К.: Техніка, 1969. – 132 с.
8. Удалов Н.П. Электронные устройства автоматики. – М.: Машиностроение, 1982. – 288 с.
9. Петросян К.О. Модель транзистора, учитывающая эффекты больших токов и модуляцию ширины базы. // Микроэлектроника – М.: Сов. радио, 1971. – Вып.4. – С.138-350.
- 10.Степаненко Н.П. Основы теории транзисторов и транзисторных схем. – М.: Энергия, 1977. – 672 с.
- 11.Некрасов М.М., Осадчук В.С., Филинук Н.А. Исследование входного импеданса индуктивного СВЧ транзистора от тока эмиттера и напряжения на колекторе. – Диэлектрики и полупроводники. – К.: Вища школа, 1973. – Вып.4. – С.74-78.
12. Некрасов М.М., Осадчук В.С., Филинук Н.А. Работа индуктивного СВЧ транзистора в лавинном режиме. – Полупроводниковая техника и микроэлектроника. – К.: Наукова думка, 1974, вып.16. – С.66-67.
- 13.Дьяконов В.П. Лавинные транзисторы и их применение в импульсных устройствах. – М.: Сов. радио, 1973. – 108 с.
- 14.Бова Н.Т., Стукало П.А., Храмов В.А. Управляющие устройства СВЧ. – К.: Техніка, 164 с.
15. Oyama S., Takahaski A. Active high Q filter using transistor. – USA Patent, № 3974399, 1976.

- 16.Федотов А.Я. Основы физики полупроводниковых приборов. – М.: Сов. радио, 1969. – 592 с.
- 17.Николаев И.М., Филиньюк Н.А. Микроэлектронные устройства и основы их проектирования. – М.: Энергия, 1979. – 336 с.
- 18.Осадчук В.С., Филиньюк Н.А. Некоторые вопросы построения СВЧ устройств на индуктивном эффекте поставного транзистора. // Радиотехника и электроника, 1973. – Т.19, №9. – С.1983–1985.
- 19.Хейнлейн В.Е., Холмс В.Х. Активные фильтры для интегральных схем. – М.: Связь. 1980. – 656 с.
- 20.Филиньюк Н.А. К вопросу построения перестраиваемых активных СВЧ фильтров. // XXXVI Всесоюзная научн.-техн. конф. по интегральной электронике СВЧ. – Новгород: 1982. с.191.
- 21.Филиньюк Н.А., Павлов С.М.Активные СВЧ устройства управления на основе ОПИ. / Тез. докл. 1 Всесоюзн. научн.-техн. конф. по интегральной электронике СВЧ. – Новгород: 1982, С. 191.
- 22.Сестрорецкий Б.В., Либерман Л.С. Теория СВЧ выключателей на полупроводниковых диодах. // Полупроводниковые приборы и их применение – М.: Сов. радио, 1964. – Вып.12. – С.32–57.
- 23.СВЧ полупроводниковые приборы и их применение. Пер с англ. – М.: Мир, 1972, – 660 с.
- 24.Осадчук В.С., Филиньюк Н.А. Исследование входного импеданса транзистора с индуктивностью в цепи базы. – Радиотехника, 1974. – Т.29, №3. – С.95–96.
- 25.Осадчук В.С., Филиньюк Н.А. Влияние температуры на параметры индуктивного СВЧ транзистора. // Тез. докл. Всесоюзной межвузовской конф. по прогнозированию надежности электронной техники. – Киев, 1971. – С.29–31.
- 26.Осадчук В.С., Молчанов П.А., Филиньюк Н.А. Нелинейный режим работы индуктивного транзистора. – Электронная техника, Сер.12. Полупроводниковые приборы. – М.: 1977. – №1. – С.64–72.
- 27.Радиочастотный логический элемент: А.с. 963132 СССР. / Н.А. Филиньюк, Ю.Г. Калиниченко (СССР). – Заявл. 03.12.801, №3211372/18-21, опубл. в Б.И., 1982, №36.
- 28.Малорацкий Л.Г. Миниатюризация элементов и устройств СВЧ. – М.: Сов. радио, 1976. – 216 с.
- 29.Матей Д.Л., Янг Л., Джонс Е.М.Т. Фильтры СВЧ, согласующие цепи и цепи связи: Пер. с англ. – М.: Связь, 1971. – 240 с.
- 30.Осадчук В.С., Филиньюк Н.А. Активные СВЧ фильтры // Полупроводниковые аналоги индуктивности. – Киев: РДЭНП, 1974. – С.11–77.

31.Филинюк Н.А. Разработка устройства селекции на индуктивном транзисторе. – Сб. рефератов НИР и ОКР. – М.: 1976, №13, реф. №Б496318, С.43.

32.Некрасов М.М., Осадчук В.С., Филинюк Н.А. Некоторые вопросы работы индуктивного СВЧ транзистора при повышенном напряжении на коллекторе / Тез докл. Всесоюзной межвузовской конференции по прогнозированию надежности изделий электронной техники. – Киев: 1971. – С.31–32.

33. Филинюк Н.А. Анализ максимальной частоты генерации транзисторной схемы с общим коллектором с учетом лавинного умножения. // Радиотехника и электроника, 1982. – Т.27. №8. – С.1571–1575.

34.Филинюк Н.А. Синтез активных СВЧ фильтров на основе однотранзисторных преобразователей импеданса. / В кн. Машинное моделирование электрических и электронных цепей. – К.: Наукова думка, 1981. – С.72–77.

35.. Активный СВЧ фильтр: А.с. 2888614/09 СССР / Н.А. Филинюк. – Заявл. 15.02.80, № 2888614/09; положительное решение от 27.05.1982.

36.Баев Е.Ф., Бурылин Е.И. Миниатюрные электрические линии задержки. – М.: Сов. радио, 1977. – 248 с.

37.Филинюк Н.А. Активные линии задержки СВЧ диапазона. // В кн. Развитие и внедрение новой техники радиоприемных устройств: Тез. докл. всесоюзн. науч.-техн. конф. – М.: Горький: 1982, С.52–53.

38.Филинюк Н.А. Невзаимный активный СВЧ фильтр. – М.: Радиотехника, 1982. – Т. 37, №10. – С.67–70.

39.Филинюк Н.А., Куземко А.М. Схемотехническое моделирование и синтез активных СВЧ фильтров на полевых Шоттки // Технология и конструирование в электронной аппаратуре. – 2005. – №3. – С.49–54.

40. Филинюк Н.А. Активные СВЧ фильтры на основе обобщенных преобразователей иммитанса // Радиотехника и электроника, 1983. – Т.8, №5. – С.817–833.

41. Филинюк Н.А. Исследование реактивных свойств сверхвысокочастотных транзисторов и разработка СВЧ устройств на их основе. – Дис. ... канд. техн. наук. – Киев, 1974. – 172 с.

42.Биберман Л.И. Широкополосные генераторы на негатронах. – М.: Радио и связь, 1982. – 88 с.

43.Филинюк Н.А. Расчет активных фильтров СВЧ на основе индуктивных транзисторов. / СВЧ элементы и узлы радиоприемных устройств: Тез. докл. всесоюзн. научн.-техн. семинара. – М.: 1975. – С.13.

44. Филинюк Н.А. Расчет транзисторного активного СВЧ фильтра. // Изв. вузов СССР. Сер. Радиоэлектроника. – Киев: 1980. – Т.23, №3. – С.82–83.
45. Сверхвысокочастотный перестраиваемый активный фильтр: А.с. 625274 (СССР). / Н.А. Филинюк, П.А. Молчанов. В.С. Осадчук, В.М. Кичак, А.Д. Щербацкий. – Заявл. 22.03.76, № 2335894/18-09; опубл. в Б.И., 1978, №35.
46. Сверхвысокочастотный фильтр: А.с. 685113 (СССР) / Н.А. Филинюк, П.А. Молчанов. – Заявл. 16.11.77, № 25444096/18-09; не подлежит публикации в открытой печати.
47. Радиочастотный триггерный и логический элемент: А.с. 790339 (СССР) / В.В. Дмитриев. – Заявл. 22.01.79, № 2716509/18-21; опубл. в Б.И., 1980, №47.
48. Филинюк Н.А. Радиочастотный логический элемент. А.с. №1417185 (СССР), 1988, Б.И. №30.
49. Глинский В.В., Калиниченко Ю.Г., Осадчук В.С., Филинюк Н.А. Динамическая модель обобщенного преобразователя иммитанса на основе биполярного транзистора // Тез. докл. Третьего республиканского совещания-семинара по машинному проектированию электронных схем. – Львов: 1983. – С.58–59.
50. Аттенюатор: А.с. 932579 (СССР). / Н.А. Филинюк. – Заявл. 21.07.80, № 2962846/18-09; опубл. в Б.И., 82, №20.
51. Филинюк Н.А., Дубов Е.В., Клочковская Л.В., Молчанов П.А. Минимизация фазового сдвига плавного аттенюатора. – СВЧ элементы и узлы радиоприемных устройств // Тез. докл. всесоюzn. научн.-техн. семинара. – М.: 1977. – С.10.
52. Осадчук В.С., Кичак В.М., Филинюк Н.А. Исследование фазочастотных характеристик индуктивного транзистора. // В кн. Радиотехнические измерения в физических исследованиях. – Новосибирск: Наука, 1977. – С.92–94.
53. Осадчук В.С., Филинюк Н.А. Электрические управляемые СВЧ устройства на основе индуктивного СВЧ транзистора. – VI республиканская научн.-техн. конф. молодых специалистов: Тез. докл. – Вильнюс: 1972, с.54–55.
54. Филинюк Н.А., Молчанов П.А., Дубов Е.В. Плавный фазовращатель с регулируемым коэффициентом передачи. – Интегральная схемотехника в радиоприемных устройствах // Тез. докл. всесоюzn. научн. техн. семинара. – М.: 1977. – с.9.
55. Осадчук В.С., Филинюк Н.А. Некоторые вопросы управления фазой электромагнитных колебаний СВЧ при помощи индуктивного транзистора // Радиотехника и электроника, 1972. – Т.18, №7. – С.1538–1540.

56. Филиньюк Н.А. Об использовании транзистора в дискретном СВЧ фазовращателе. // Тез. докл. всесоюзн. научн.-техн. Семинара «СВЧ элементы и узлы радиоприемных устройств». – М.: 1975. – с.13.
57. Осадчук В.С., Филиньюк Н.А. Исследование колебательного контура на транзисторах. // Радиотехника, 1975. – Т.30. 31. – С.100–102.
58. Филиньюк Н.А. Активные УКВ фильтры. – М.: Радио и связь, 1984. – 84с.
59. Каоксиальный выключатель: А.с. 435576 (СССР) / Н.А. Филиньюк., В.С. Осадчук. – Заявл. 15.01.73, № 1972778/26-9; опубл. в Б.И., 1974, №25.
60. Осадчук В.С., Филиньюк Н.А. Исследование и разработка СВЧ устройств на основе конечности времени движения неосновных носителей тока в базе транзистора. – Основные направления в развитии радиоэлектроники, вычислительной техники и связи // Тез. докл. Украйинск. республ. научн.-техн. конф. – Киев: 1973, вып.1. – С.16–127.
61. Осадчук В.С., Филиньюк Н.А. Расчет и практическое построение СВЧ радиотехнических устройств на нелинейных свойствах индуктивных транзисторов. // Теория и автоматизация проектирования электрических цепей. – К.: Наукова думка, 1974. – С.99–103.
62. Осадчук В.С., Филиньюк Н.А. СВЧ коммутатор на транзисторах // Радиотехника и электроника, 1974. – Т.19. №15. – С.1121–1123.
63. Филиньюк Н.А. Использование паразитных реактивностей выводов транзистора при построении резонансных СВЧ выключателей // Радиотехника и электроника, 1978. – Т.21, №5. – С.1125–1128.
64. Электрически-управляемый выключатель: А.с. 913595 (СССР / Н.А. Филиньюк. – Заявл. 21.07.80, № 2962497/24-07; опубл. в Б.И., 1982, №10.
65. Осадчук В.С., Филиньюк Н.А. Исследование коммутатора с нулевыми потерями. /Тез. докл. Всесоюzn. научн.-техн. семинара СВЧ элементы и узлы радиоприемных устройств, 1975. – С.24.
66. Зарецкий М.М., Мовшович М.Е. Синтезаторы частоты с кольцевой фазовой автоподстройкой. – Л.: Энергия, Ленингр. отд., 1974. – 254 с.
67. Филиньюк Н.А., Осадчук В.С., Павлов С.Н. Оценка эффективности активных СВЧ фильтров. // В кн. Развитие и внедрение новой техники радиоприемных устройств.: Тез. докл. всесоюzn. научн.-техн. конф. – М. – Горький: 1982. – с.52.
68. Jamaguchi J. On the inductive reactance and negative resistance the transistor. – Journal Physical Society of Japan, 1956, V.11, p. 717–718.

69. Осадчук В.С., Филинюк Н.А., Молчанов П.А. Использование влияния конечности времени движения неосновных носителей тока в базе транзистора для генерации электромагнитных колебаний. // В кн. Полупроводниковые аналоги индуктивности. – Киев: РДЭНТП, 1974. – С.18–19.

70. Филинюк Н.А. Комплект активных СВЧ устройств, использующих пролетные явления в транзисторах. // В кн. Радиоизмерения. – Докл. XV республ. научн.-техн. конф. – Каунас, 1975. – Т.IV. – С.54.

71. Филинюк Н.А., Куземко А.М., Салех М.М. Журбан. Полупроводниковые индуктивности // Технология и конструирование в электронной аппаратуре. – 2006. – №5. – С.48–53.

## РОЗДІЛ 4

# СТАБІЛЬНІСТЬ ПАРАМЕТРІВ ІНФОРМАЦІЙНИХ ПРИСТРОЇВ НА ОСНОВІ КОМБІНОВАНИХ ТРАНЗИСТОРНИХ НЕГАТРОНІВ

Широке використання ІП визначається не тільки високими значеннями їх основних технічних параметрів, але і стабільністю цих параметрів під впливом різних дестабілізуючих факторів. Основними дестабілізуючими факторами є зміни температури, потужності сигналу, режиму живлення по постійному струму, імітансів генератора і навантаження.

Зміна основних параметрів ІП відбувається внаслідок впливу дестабілізуючих факторів на його елементи, які можна розділити на дві групи: активні і пасивні. До першої групи відносяться багатоелектродні напівпровідникові структури, реальними аналогами яких у даний час є біполярні й уніполярні транзистори, а до другої – пасивні еле-менти схеми. Ступінь впливу дестабілізуючих факторів на елементи першої і другої груп неоднакова.

З огляду на те, що ІП відносяться до малосигнальних пристроїв, можна зневажити впливом потужності сигналу на пасивні елементи схеми. Їхні параметри також не залежать від режиму живлення і змін імітансів генератора і навантаження. Основний дестабілізуючий фактор, що впливає на них, це зміна температури, дія якої оцінюється відповідними температурними коефіцієнтами [1].

Параметри багатоелектродних напівпровідниковых структур піддаються впливу усіх вищеперерахованих дестабілізуючих факторів, що виявляється в зміні перетвореного імітанса. Величина цих змін залежить не тільки від амплітуди коливань дестабілізуючих факторів, але і від їхніх середніх значень (положення робочої точки, номінального імітанса генератора і навантаження і т.д.).

Порівняння їхньої нестабільності з температурними коефіцієнтами пасивних елементів показує, що основним об'єктом нестабільності параметрів ІП є багатоелектродні напівпровідникові структури. Тому основну увагу в подальших дослідженнях приділимо нестабільності цих структур, а сумарний ефект від нестабільності всіх елементів будемо досліджувати на реальних ІП.

#### 4.1. Методи ізасоби зменшення чутливості параметрів інформаційних пристрой до зміни імітансів навантаження і генератора

При побудові взаємних і невзаємних ПП на базі комбінованих негатронів використовується зсув полосів передатної функції до уявної осі комплексної площини, що дозволяє підвищувати добробутність цих пристройів. Однак при цьому зростає чутливість їхньої добробутності до зміни імітансів навантаження і генератора. При реалізації негасенсорів збільшення чутливості добробутності до зміни імітанса генератора є позитивним явищем. При реалізації інших видів ПП це явище є негативним і потрібна розробка спеціальних заходів для її зменшення. З метою аналізу цієї чутливості скористаємося елементарними ланками взаємного (рис. 5.1.1а) і невзаємного (рис. 5.1.16) ПП.

Для аналізу чутливості добробутності  $Q_{tb}$  до зміни імітансів генератора ( $S_{ReY_r}^{Q_{tb}}$ ) і навантаження ( $S_{ReY_n}^{Q_{tb}}$ ) взаємних ПП запишемо вираз для його добробутності з урахуванням трансформуючих властивостей вхідного і вихідного кола, у вигляді  $Q_{tb} = Q_0 / (1 - \rho_s Re Y_\Sigma)$ , де  $Re Y_\Sigma = Re Y_H / m_t^2 + Re Y_r / m_t^2 - Re Y_{up}$ ;  $m_t$  і  $n_t$  – коефіцієнти трансформації дійсної складової провідностей навантаження  $Re Y_H$  і генератора  $Re Y_r$ , у площину клем УПП, з'єднаних з лінією передачі;  $Re Y_{up}$  – дійсна складова провідності між клемами УПП, з'єднаними з лінією передачі. На підставі цього виразу знаходимо

$$S_{ReY_n}^{Q_{tb}} = -Q_{tb} \rho_s Re Y_n / m_t^2, \quad S_{ReY_r}^{Q_{tb}} = -Q_{tb} \rho_s Re Y_r / n_t^2. \quad (4.1)$$

З отриманих виразів випливає, що чутливість добробутності елементарної ланки взаємного ПП росте пропорційно його добробутності  $Q_{tb}$ , дійсній складовій провідностей генератора  $Re Y_r$  і навантаження  $Re Y_H$  і зменшується зі збільшенням коефіцієнтів трансформації  $m_t$  і  $n_t$ .

З огляду на те, що для розглянутих видів ПП величини  $Q_{tb}$  і  $\rho_s$  визначають основні параметри ПП, а значення  $Re Y_r$  і  $Re Y_H$  визначаються сусідніми каскадами і часто задані відповідним стандартом (наприклад для ПП, виконуваних у вигляді гібридних НВЧ мікросхем ОСТ 4 ОКО:012.010 [2] встановлює  $1/Re Y_0 = 50 \text{ Ом}$ ), зниження чутливості можливо шляхом використання трансформаторів імітансу [3], коефіцієнти трансформації яких визначаються з виразу (4.1).

Для аналізу чутливості ( $S_{ReY_r}^{Q_{tb}}$ ) добробутності  $Q_{tb}$  невзаємного ПП до дійсної провідності навантаження  $Re Y_H$  скористаємося виразом (5.7.2) для його добробутності, на підставі якого одержуємо

Порівнюючи (4.1) і (4.2) бачимо, що чутливість добротності як взаємних і невзаємних П однаково залежить від  $\text{Re}Y_H$  і при  $Q_{TH} \rightarrow \infty$ ,  $S_{\text{Re}Y_r}^{Q_m} \rightarrow \infty$ . При цьому чутливість не залежить від типу УПІ.

Для знаходження чутливості  $S_{\text{Re}Y_r}^{Q_m}$  добротності  $Q_{TH}$  невзаємних П від зміни провідності генератора  $\text{Re}Y_G$ , запишемо вираз (3.2.8) у вигляді

$\text{Re} Y_{\text{вых max}}^{(-)} = [Y_{12} Y_{21} (K_{y_{BH}} - 1) + 2 \text{Re} Y_{22} \text{Re} Y_r] / 2 \text{Re}(Y_{11} + Y_r)$ , підставивши який в (4.2), знаходимо

$$Q_{TH} = \frac{2 \text{Re}(Y_{11} + Y_r)}{Y_{12} Y_{21} (K_{y_{BH}} - 1) + 2 \text{Re} Y_{22} \text{Re} Y_r + 2 \text{Re} Y_H \text{Re}(Y_{11} + Y_r) \rho_3}. \quad (4.3)$$

На підставі (4.3), після перетворень, одержуємо

$$S_{\text{Re}Y_r}^{Q_m} = - \frac{[Y_{12} Y_{21} (K_{y_{BH}} - 1) - 2 \text{Re} Y_{11} \text{Re} Y_{22}] \text{Re} Y_r}{2 \text{Re}^2(Y_{11} + Y_r)} Q_{mH} \rho_3. \quad (4.4)$$

З (4.4) випливає, що  $S_{\text{Re}Y_r}^{Q_m}$  росте пропорційно добротності, має нелінійну залежність від  $Q_{TH}$  і залежить від параметрів УПІ (рис. 4.1).

Розв'язуючи рівняння  $\partial(S_{\text{Re}Y_r}^{Q_m}) / \partial \text{Re} Y_r = 0$ , знаходимо, що при  $\text{Re} Y_r = \text{Re} Y_{11}$  спостерігається максимум чутливості, рівний

$$S_{\text{Re}Y_r}^{Q_m} \Big|_{\text{max}} = - [Y_{12} Y_{21}] + \text{Re}(Y_{12} Y_{21}) Q_{mH} \rho_3 / 8 \text{Re} Y_{11}. \quad (4.5)$$

У такий спосіб зменшення чутливості  $S_{\text{Re}Y_r}^{Q_m}$  може бути досягнуто як зниженням, так і збільшенням зв'язку невзаємного П з генератором сигналів. Зменшення чутливості добротності до зміни імітанса генератора і навантаження досягається шляхом зменшення еквівалентного хвильового опору  $\rho_3$  до добротності  $Q_{TH}$ , наприклад збільшуючи смугу пропускання чи зменшуючи робочу частоту ПІ.

Інший метод зменшення чутливості  $S_{\text{Re}Y_r}^{Q_m}$  (чи збільшення її для випадку реалізації негасенсорів [260]) полягає у виборі відповідного вигляду УПІ.

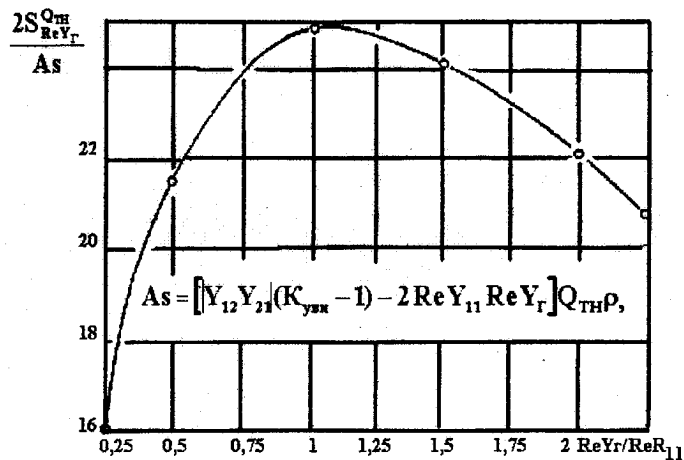


Рис. 4.1. Залежність чутливості потрібної добротності ІП до зміни провідності генератора  $S_{ReY_r}^{Q_{th}}$  від величини речовинної складової провідності генератора  $ReY_r$ .

Таблиця 4.1

Основні параметри феритових и транзисторних вентилів

|             | Тип вентиля                | $K_{\text{ном}}^B$ , дБ | $K_{\text{ном}}^{B(-)}$ , дБ | КСВН не більш | Смуга, % | Розміри, мм     | Число елем., шт. |
|-------------|----------------------------|-------------------------|------------------------------|---------------|----------|-----------------|------------------|
| Феритові    | ФОПЗ-4                     | 0,5                     | 20                           | 1,25          | 5        | 42,2<br>40 14,2 | —                |
|             | ФОПЗ-5                     | 0,5                     | 21                           | 1,25          | 5        | 40<br>35,4 13   | —                |
| Транзистор. | На основі УПІ <sup>3</sup> | 0                       | 38                           | 1,2           | 50       | 30<br>24 3      | 8                |
|             | На основі УПІ <sup>к</sup> | 0                       | 60                           | 1,21          | 10       | 15 24 3         | 5                |

X – центральна частота смуги пропускання, рівна 1 ГГц.

Порівняємо чутливості  $S_{Re Y_r}^{Q_m}$  при використанні УПІ<sup>K</sup> і УПІ<sup>b</sup>. Підставляючи елементи матриць (3.3.1) і (3.4.1) у (4.5) знаходимо

$$S_{Re Y_r}^{Q_m} \Big|_{max}^{УПІ^K} = -\left(\sqrt{1+\Omega_t^2} + \Omega_t\right) Q_{th} \rho_3 / 8\Omega_t r_6^2 \operatorname{Re} Y_r,$$

$$S_{Re Y_r}^{Q_m} \Big|_{max}^{УПІ^b} = -\left(\sqrt{1+\Omega_t^2} + \Omega_t\right) Q_{th} \rho_3 \omega_t C_{k1} / 8\Omega_t r_6^2 \operatorname{Re} Y_r.$$

Відношення цих чутливостей дорівнює  $1/\omega_t r_6 C_{k1} >> 1$  і показує, що ІП на основі УПІ в  $1/\omega_t r_6 C_{k1}$  раз менш чутливі до зміни провідності генератора, ніж ІП з аналогічними  $Q_{th}$  і  $\rho_3$ , але такі, що використовують УПІ<sup>K</sup>. Величина  $1/\omega_t r_6 C_{k1}$  для сучасних ВЧ і НВЧ транзисторів лежить у межах (4÷200) одиниць, що дозволяє рекомендувати при використанні негасенсорів технічні рішення, що використовують УПІ<sup>K</sup>.

Провівши аналогічні обчислення для ОПІ<sup>B</sup>, УПІ<sup>C</sup> і УПІ<sup>3</sup> на частотах  $\Omega_s^2 << 1$  маємо

$$S_{Re Y_r}^{Q_m} \Big|_{max}^{УПІ^B} = -Q_{th} \rho_3 \xi_3 S_0 (1 - \Omega_s) ; \quad (4.6)$$

$$S_{Re Y_r}^{Q_m} \Big|_{max}^{УПІ^C} = -Q_{th} \rho_3 \left[ \sqrt{\Omega_s^2 + R_i^2 S_0^2} - \Omega_s^2 (1 - 2S_0 R_i) \right] / 8\Omega_s R_i , \quad (4.7)$$

$$S_{Re Y_r}^{Q_m} \Big|_{max}^{УПІ^3} = -Q_{th} \rho_3 [2GR_i + \Omega_s \xi_H] / 8R_i . \quad (4.8)$$

Аналізуючи (4.6) – (4.8), з використанням параметрів сучасних польових транзисторів Шоттки знаходимо співвідношення  $S_{Re Y_r}^{Q_m} \Big|_{max}^{УПІ^B} / S_{Re Y_r}^{Q_m} \Big|_{max}^{УПІ^C} \approx (10^{-2} \div 10^{-1})$ , які показують, що найбільшою чутливістю добротності до зміни імітансу генератора мають ІП на основі УПІ<sup>C</sup>.

Ефективним методом зменшення впливу імітансу генератора на параметри ІП є включення між генератором сигналу і ІП вентиля. У діапазонах високих і надвисоких частот набули застосування феритові вентилі [4]. Однак вони мають (табл. 4.1) низькі масо-габаритні характеристики, велике загасання сигналу в прямому напрямку і вузьку смугу пропускання. Крім того, технологія їхнього виготовлення не сумісна з інтегральною технологією, використовуваною при виготовленні розглянутого класу ІП. Реалізація цього методу можлива шляхом створення транзисторних вентилів ВЧ і НВЧ діапазону. Виходячи

Порівнямо чутливості  $S_{Re Y_r}^{Q_m}$  при використанні УП<sup>K</sup> і УП<sup>6</sup>. Підставляючи елементи матриць (3.3.1) і (3.4.1) у (4.5) знаходимо

$$S_{Re Y_r}^{Q_m} \Big|_{\max}^{\text{УП}^K} = -\left(\sqrt{1+\Omega_t^2} + \Omega_t\right) Q_{th} \rho_3 / 8\Omega_t r_b^2 \operatorname{Re} Y_r,$$

$$S_{Re Y_r}^{Q_m} \Big|_{\max}^{\text{УП}^6} = -\left(\sqrt{1+\Omega_t^2} + \Omega_t\right) Q_{th} \rho_3 \omega_t C_{k1} / 8\Omega_t r_b^2 \operatorname{Re} Y_r.$$

Відношення цих чутливостей дорівнює  $1/\omega_t r_b C_{k1} >> 1$  і показує, що ПП на основі УП в  $1/\omega_t r_b C_{k1}$  раз менш чутливі до зміни провідності генератора, ніж ПП з аналогічними  $Q_{th}$  і  $\rho_3$ , але такі, що використовують УП<sup>K</sup>. Величина  $1/\omega_t r_b C_{k1}$  для сучасних ВЧ і НВЧ транзисторів лежить у межах (4÷200) одиниць, що дозволяє рекомендувати при використанні негасенсорів технічні рішення, що використовують УП<sup>K</sup>.

Провівши аналогічні обчислення для ОП<sup>B</sup>, УП<sup>C</sup> і УП<sup>3</sup> на частотах  $\Omega_s^2 \ll 1$  маємо

$$S_{Re Y_r}^{Q_m} \Big|_{\max}^{\text{УП}^B} = -Q_{th} \rho_3 \xi_3 S_0 (1 - \Omega_s), \quad (4.6)$$

$$S_{Re Y_r}^{Q_m} \Big|_{\max}^{\text{УП}^C} = -Q_{th} \rho_3 \left[ \sqrt{\Omega_S^2 + R_i^2 S_0^2} - \Omega_S^2 (1 - 2S_0 R_i) \right] / 8\Omega_S R_i, \quad (4.7)$$

$$S_{Re Y_r}^{Q_m} \Big|_{\max}^{\text{УП}^3} = -Q_{th} \rho_3 [2GR_i + \Omega_{SH} \xi] / 8R_i. \quad (4.8)$$

Аналізуючи (4.6) – (4.8), з використанням параметрів сучасних польових транзисторів Шоттки знаходимо співвідношення  $S_{Re Y_r}^{Q_m} \Big|_{\max}^{\text{УП}^B} / S_{Re Y_r}^{Q_m} \Big|_{\max}^{\text{УП}^C} \approx (10^{-2} \div 10^{-1})$ , які показують, що найбільшою чутливістю добротності до зміни імітансу генератора мають ПП на основі УП<sup>C</sup>.

Ефективним методом зменшення впливу імітансу генератора на параметри ПП є включення між генератором сигналу і ПП вентиля. У діапазонах високих і надвисоких частот набули застосування феритові вентилі [4]. Однак вони мають (табл. 4.1) низькі масо-габаритні характеристики, велике загасання сигналу в прямому напрямку і вузьку смугу пропускання. Крім того, технологія їхнього виготовлення не сумісна з інтегральною технологією, використовуваною при виготовленні розглянутого класу ПП. Реалізація цього методу можлива шляхом створення транзисторних вентилів ВЧ і НВЧ діапазону. Виходячи

приведена принципова схема, а на рис.4.3 конструкція двохканального АФ типу ФП1-СА-2 на основі УПІ<sup>6</sup> ( $V_3, V_4$ ), до складу якого входять транзисторні вентилі ( $V_1, V_2, V_5, V_6$ ). Експериментальна перевірка показала, що 20% зміна імітансів навантаження і генератора веде до зміни його смуги пропускання не більш, ніж на 0,01%. При відсутності вентилів нестабільність досягає 35%.

Недоліком розглянутого вентиля є відносно велика кількість елементів, необхідних для його реалізації. Не рахуючи елементів ланцюгів живлення, потрібно не менш 8 елементів. Крім того, для забезпечення режиму узгодження повинно здійснюватися налаштування вентиля шляхом зміни параметрів мінімум 4-х реактивних елементів. Ці недоліки відсутні в розробленому транзисторному вентилі на основі УПІ<sup>K</sup>, високочастотна частина схеми якого зображена на рис. 4.4.

Принцип роботи вентиля полягає в наступному. Як випливає з (3.2.18), для того, щоб коефіцієнт невзаємності вентиля був максимальним, достатньо, щоб  $W_{12}=0$ . Ця умова виконується при включені між загальною шиною УПІ на транзисторі  $V_1$  і загальною шиною вентиля опору  $Z_1=Y_{12}/\Delta_y$ .

При реалізації вентиля на основі УПІ<sup>K</sup> маємо  $ZI=1/\omega_r C_{K2}(1+\Omega^2_r)+j\Omega_r/\omega_r C_{K2}(1+\Omega^2_r)=-R+j\omega L$ . У такий спосіб для реалізації "ідеального" вентиля в загальне коло УПІ<sup>K</sup> необхідно включити індуктивний опір  $j\omega L$  з негативною дійсною складовою  $-R$ . Такий опір реалізується другим УПІ на транзисторі  $V_2$  у режимі зворотного перетворення індуктивного опору  $Z_2$ . З огляду на те, що  $Y_{12}=0$ , визначаємо вхідну і вихідну провідність реалізованого вентиля:  $Y_{bx}=Y_{11}$ ,  $Y_{vых}=Y_{22}$ . З урахуванням елементів матриці (3.3.1) знаходимо вираження  $Y_{11}\approx j\omega C_{K2}\omega_r$ ,  $Y_{22}\approx-1/\Omega_r r_6$ , справедливі на частотах, де  $\Omega^2_r<<1$  і  $(1+z_1\Sigma)\approx 1$ .

При підключені опору  $R_2$  вихідний опір вентиля дорівнює  $Z_{vых}=R_2+j\omega r_6$ , звідки з умови узгодження ( $Z_h=Z^*$ ) знаходимо величину опору  $R_2$ , при якій забезпечується узгодження вентиля з опором навантаження  $R_2=Z_h-j\omega r_6$ .

З огляду на те, що  $Z_h$  є чисто активним ( $Z_h = Z_0$ , наприклад 50 Ом), а величина  $\omega_r r_6 << Z_h$  (наприклад при використанні транзистора типу KT640A, маємо:  $\Omega_r=0,25$ ,  $r_6=4$  Ом,  $\omega_r r_6=1$  Ом), величина резистора  $R_2=Z_h$ .

З урахуванням опору  $R_1$ , вхідна провідність вентиля  $Y_{bx}=1/R_1+j\omega C_{K2}\omega_r$ . Виходячи з умови узгодження  $Y_{bx}^*=Y_r$ , і активного характеру провідності  $Y_r=Y_0$ , а також нерівності  $Y_r<<1/\Omega_r C_{K2}\omega_r$  (наприклад для транзистора KT640A маємо:  $\Omega_r=0,25$ ,  $\Omega_r C_{K2}\omega_r=1,884 \cdot 10^{-3}$  Ом<sup>-1</sup>,  $Y_r=1/Z_r=0,02$  Ом<sup>-1</sup>) визначаємо величину резистора  $R_1 \approx R_r$ , при якій забезпечується узгодження входу вентиля з опором генератора.

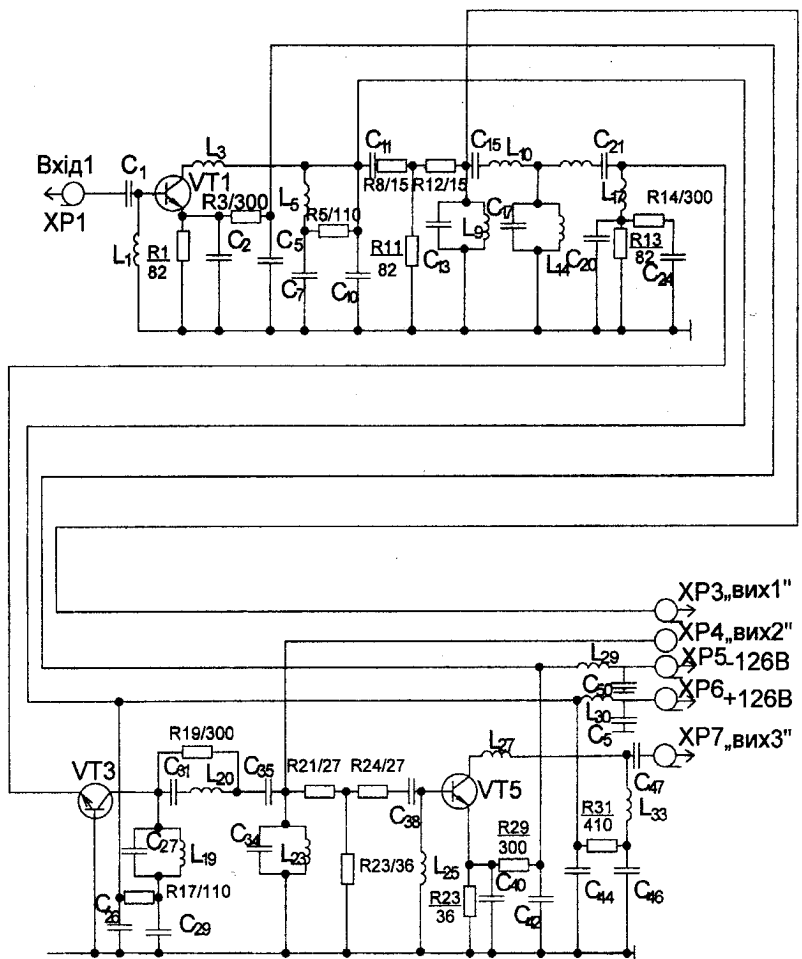


Рис. 4.2. Принципова схема мікросхеми типу ФПЧ-СА-2

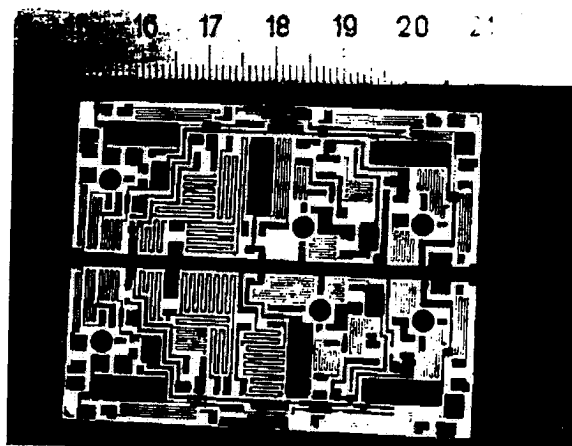


Рис. 4.3. Підложка мікросхеми ФПЧ-СА-2

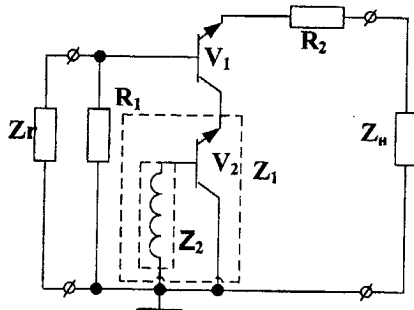


Рис. 4.4. Високочастотна частина схеми мікросхеми транзисторного вентиля

Експериментальні параметри розробленого вентиля, приведені в табл. 4.1, показують, що він має найбільше значення коефіцієнта незваємності (60 дБ).

У порівнянні з раніше дослідженім транзисторним вентилем, для його реалізації потрібна на 40% менша кількість елементів. Налаштування вентиля полягає в регулюванні індуктивності  $L_1$  по мінімуму КСВН. Недоліком цього вентиля є більш вузька смуга пропускання (10%).

## 4.2. Динамічна нестабільність

### 4.2.1. Модель динамічної нестабільноті

Розроблювані ІП відносяться до лінійних пристроїв, тобто їхні параметри в робочому діапазоні не залежать від потужності сигналу. Однак з деякого рівня потужності  $P_{\text{вх}\text{ н}}$  ця залежність починає виявлятися. Для оцінки лінійної ділянки використовується поняття – динамічний діапазон пристрою  $K_d = P_{\text{вх}\text{ н}}/P_{\text{вх}\text{ ш}}$ . Розширення динамічного діапазону можливе шляхом зниження коефіцієнта шуму і збільшенням потужності  $P_{\text{вх}\text{ н}}$ . Аналіз коефіцієнта шуму ІП і шляхів його зменшення проведений у підрозділах 5.4 і 5.8. Розглянемо шляхи збільшення потужності  $P_{\text{вх}\text{ н}}$ .

Наявність рівня насищення і його величина визначаються нелінійними властивостями УПІ, зміна перетвореного імітанса якого під дією потужності сигналу [6], веде до нелінійної залежності параметрів ІП. Тому доцільно оцінити вплив перетвореного імітанса на параметри ІП поблизу рівня насищення. Як інтегральний параметр ІП, використовуємо його добротність.

Використовуючи теорему про еквівалентний генератор [7], пасивну частину схеми елементарної ланки ІП щодо клем УПІ представимо у вигляді джерела напруги  $U_r$  і опору  $Z_{r3}$  (рис. 4.5), а залежність вхідного струму  $i_{\text{вх}}$  УПІ від напруги  $U_r$  апроксимуємо рядом Тейлора

$$i_{\text{вх}} = a_0 + a_1 U_r + a_2 U_r^2 + a_3 U_r^3 + \dots + a_n U_r^n \quad , \quad (4.9)$$

$$a_0 = \frac{1}{n!} \left[ \frac{d^r i_{\text{вх}}}{d U_r} \right]_{U_r=0} \quad . \quad (4.10)$$

Для випадку надходження на вхід ІП гармонійного сигналу  $U_r = V_r \cos \omega t$ , використовуючи в якості апроксимуючого, поліном (4.9) третього ступеня ( $n=3$ ) одержимо

$$i_{\text{вх}} = a_0 + \frac{V_r^2}{2} a_2 + (a_1 + \frac{3}{4} V_r^2 a_3) V_r \cos \omega t - \frac{a_2 V_r^2}{2} \cos 3\omega t + \frac{1}{4} V_r^3 \cos 3\omega t \quad . \quad (4.11)$$

З (4.11) знаходимо вираження для перетвореної провідності  $Y^E$  УПІ з урахуванням еквівалентного опору  $Z_{r3}$  зовнішніх ланцюгів на основній гармоніці сигналу, у залежності від його амплітуди

$$Y^E = a_1 + \frac{3}{4} V_r^2 a_3 \quad . \quad (4.12)$$

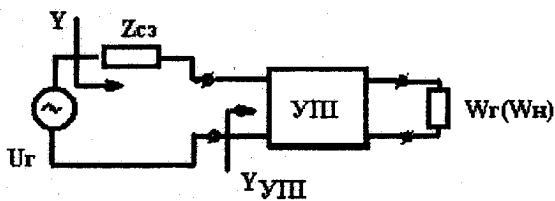


Рис. 4.5. Еквівалентна схема елементарної ланки ІП, використовувана для аналізу його динамічної нестабільності

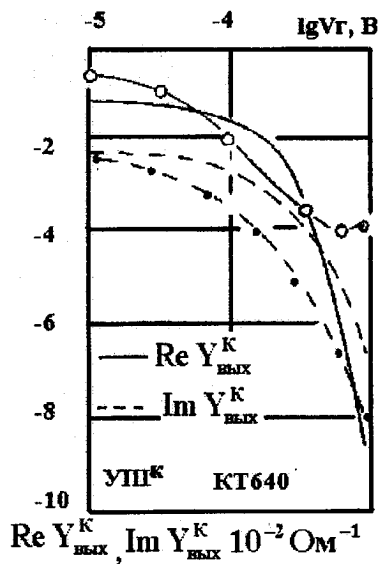


Рис. 4.6. Розрахункові ----- і експериментальні ---●○--- залежності перетвореної провідності УП<sup>K</sup> від амплітуди напруги сигналу  $V_r$

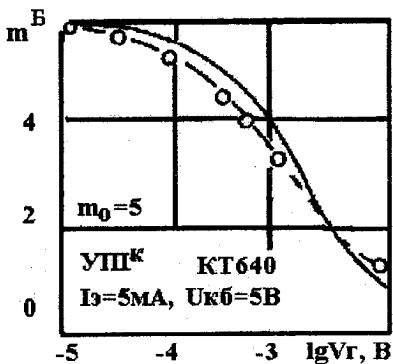


Рис. 4.7. Розрахункові —— й експериментальні ----- залежності коефіцієнта збільшення добробтності елементарної ланки ІІ від амплітуди напруги сигналу

Аналіз (4.12) показує, що залежність  $Y^b$  від  $V_r$  визначається величиною коефіцієнта розкладання  $a_3$ . У випадку малого значення  $a_3$  чи малої амплітуди  $V_r$  сигналу, провідність  $Y^b$  буде дорівнювати мало-сигнальному значенню  $Y_0=a_1$ , з якого знаходимо малосигнальне значення добробтності ІІ  $Q_1=\text{Im } a_1/\text{Re } a_1$ .

З огляду на те, що за відсутності УПІ добробтність пасивного кола дорівнює  $Q_0=\text{Im } Z_{r3}/\text{Re } Z_{r3}$ , визначаємо коефіцієнт збільшення добробтності в режимі малого сигналу

$$m_0=Q_p/Q_0=\text{Im } a_1 \text{Im } Z_{r3} \quad . \quad (4.13)$$

Зі збільшенням амплітуди сигналу відбувається зміна добробтності ІІ, обумовленої з (4.12) виразом

$$Q_T^b=\text{Im } Y^b / \text{Re } Y^b = \left( \text{Im } a_1 + \frac{3}{4} \text{Im } V_r^2 a_3 \right) / \left( \text{Re } a_1 + \frac{3}{4} \text{Re } V_r^2 a_3 \right), \quad (4.14)$$

використовуючи який знаходимо формулу для коефіцієнта збільшення добробтності ІІ в режимі великого сигналу

$$m^B = \frac{\left( \text{Im } a_1 + \frac{3}{4} \text{Im } V_r^2 a_3 \right) \text{Im } Z_{r3}}{\left( \text{Re } a_1 + \frac{3}{4} \text{Re } V_r^2 a_3 \right) \text{Re } Z_{r3}} = m_0 \frac{1 + \frac{3}{4} \text{Im } V_r^2 a_3 \text{Im } a_1}{1 + \frac{3}{4} \text{Re } V_r^2 a_3 \text{Re } a_1} \quad . \quad (4.15)$$

Аналіз (4.16) і (4.17) дозволяє зробити два важливих висновки. З ростом амплітуди сигналу  $V_r$  добротність ПЗ зменшується і прагне до величини  $Q_T^B = \text{Im } a_3 / \text{Re } a_3$ . Коефіцієнт збільшення добротності  $m^B$ , рівний при малих синалах  $m_0$ , з ростом  $V_r$  також зменшується і прагне до величини  $m_{\min}^B = m_0 Q_T^B / Q_T$ .

Таким чином, ефективність застосування УПЗ з ростом амплітуди сигналу падає, що вказує на доцільність їхнього використання в мало-сигнальних ПЗ.

Експериментальну перевірку динамічної моделі ПЗ на основі УПЗ проведемо на основі УПЗ<sup>K</sup> у режимі зворотного перетворення індуктивного імітансу. У роботі [8] показано, що залежність струму емітера  $i_3$  такого ланцюга від напруги сигналу  $U_r$  можна апроксимувати виразом

$$i_3 = I_3 \exp \left[ -U_r - (Z_{aux}^k + Z_{r3} - Z_3) i_3 / \varphi_T \right], \quad (4.16)$$

де  $I_3$  – постійна складова струму емітера.

На підставі (4.10) з врахуванням (4.13) і (4.16) знаходимо коефіцієнти (4.1) розкладання ряду Тейлора:

$$\begin{aligned} a_0 &= I_3, \quad a_1 = (Z_{aux}^k + Z_{r3})^{-1}, \quad a_2 = (Z_{aux}^k + Z_{r3})^{-3} Z_3 / 2I_3, \\ a_3 &= (-Z_3 / 6 I_3^2) [(2(Z_{aux}^k + Z_{r3})^{-3} - 3Z_3)] / (Z_{aux}^k + Z_{r3}). \end{aligned} \quad (4.17)$$

Використовуючи коефіцієнти (4.17) і вираження (4.12), на рис. 4.6 представлени розрахункові залежності перетвореної провідності транзистора КТ640А від амплітуди напруги сигналу у порівнянні з результатами експериментального дослідження. Більш значна розбіжність отриманих результатів з ростом амплітуди сигналу пояснюється наближеністю апроксимації (4.16), що побудована в припущені про те, що основна залежність струму емітера від потужності сигналу визначається нелінійністю емітерного переходу транзистора.

На рис. 4.7 представлени розрахункові, з використанням вираження (4.16), і експериментальні залежності коефіцієнта збільшення добротності  $m^B$  для індуктивного негасенсора на основі УПЗ<sup>K</sup> від амплітуди сигналу  $V_r$ , що підтверджують зменшення рівня насичення з ростом мало-сигнального значення добротності.

#### 4.2.2. Методи і засоби розширення динамічного діапазону

Рівень насичення ПЗ оцінимо по амплітуді сигналу  $V_{gn}$ , що зменшує величину добротності  $Q_T^B$  у порівнянні з мало-сигнальними зна-

ченнями  $Q_T$  на 10%. На підставі (4.14), знаходимо

$$V_{en} = [Q_T / 7.5(0.9Q_T \operatorname{Re} a_3 - \operatorname{Im} a_3)]^{1/2}.$$

З отриманого виразу випливає, що для збільшення рівня насичення або необхідно зменшувати малосигнальне значення добротності ІП  $Q_T$ , або змінювати коефіцієнт розкладання  $a_3$ .

Зменшення добротності  $Q_T$  для ряду пристройів є небажаним, тому що веде до зниження їхньої вибірковості (АФ), перешкодозахищеності (ЛП) і чутливості (ІП).

Розглянемо другий метод збільшення рівня насичення  $V_{en}$  на прикладі реалізації ІП на основі УП<sup>K</sup>. Як випливає з (4.17), коефіцієнт розкладання  $a_3$  пропорційно залежить від квадрата постійного струму емітера  $I_3$  транзистора. Тому збільшення цього струму повинне забезпечувати збільшення рівня насичення ІП. На рис. 4.8 представлени експериментальні залежності квазірезонансної частоти  $f_0$  невзаємного АФ і коефіцієнта передачі  $K_0$  на цій частоті від зміни потужності сигналу  $P_{av}$ , при різних струмах емітера  $I_3$ .

Як видно з графіків, підвищуючи струм емітера вдається збільшувати рівень потужності насичення АФ більш ніж на 10 дБ. Однак постійна робота ІП при великих струмах емітера  $I_3$  транзистора веде до погіршення його динамічного діапазону, внаслідок росту рівня шумів. Крім того погіршуються його енергетичні показники.

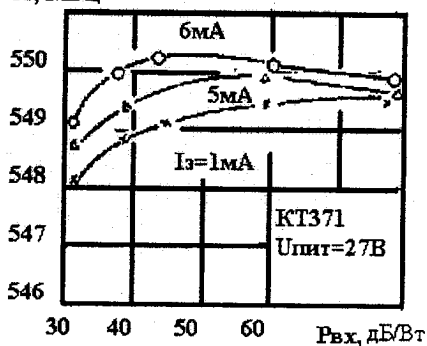
Для поліпшення цих показників у схему ІП вводяться кола динамічної стабілізації (КДС). Вони поділяються на дві групи – КДС, що не змінюють робочу точку транзистора і КДС, що змінюють робочу точку транзистора.

Дія КДС першої групи основана на керуванні коефіцієнтом розкладання  $a_1$  зі зміною потужності сигналу шляхом реалізації члена  $Z_{tr}$ , на основі динамічно нестабільних елементів. Прикладом застосування цього методу є АФ на основі УП<sup>K</sup> ( $V_1$ ) КДС якого виконана у вигляді компенсуючого послідовного резонансного коливального контуру, утвореного другим УП<sup>K</sup> ( $V_2$ ) і ємністю  $C_4$ .

Дія КДС другої групи заснована на зміні коефіцієнта розкладання  $a_3$  зі зміною потужності сигналу. Наприклад, при реалізації такого ланцюга в ІП на основі УП<sup>K</sup>, з цією метою запропоновано використовувати динамічне керування струмом емітера  $I_3$  транзистора [10, 11]. Установлено, що коефіцієнт передачі  $K_0$  різних видів ІП (АФ, К, ЛП) має нелінійну залежність від цього струму (рис. 4.10), на якій можна виділити дві характерних ділянки: на першій ділянці (АВ) з ростом струму  $I_3$  коефіцієнт передачі  $K_0$  збільшується, а на другому (ВР) зменшується [12, 13]. З огляду на те, що з ростом потужності сигналу

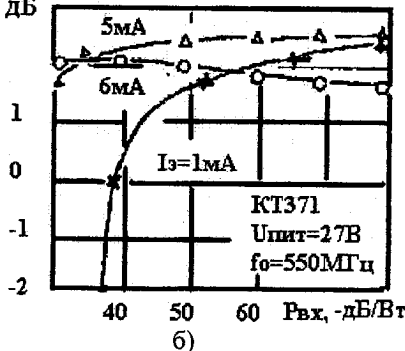
коєфіцієнт передачі зменшується (рис. 4.11), для забезпечення динамічної стабільності необхідно синхронно збільшувати струм емітера  $I_3$ , (ділянка АВ) чи зменшувати його (ділянку ВР). Реалізація цього методу можлива за допомогою схеми рис. 4.9б. Зростом рівня вхідної потужності напруга на діоді  $V_1$  зростає, що у свою чергу веде до росту напруги на емітерному переході транзистора  $V_2$ , струму емітера  $I_3$ , і як наслідок, до стабілізації коефіцієнта передачі  $K_0$  (рис. 4.11). При цьому, як показали експериментальні дослідження, динамічна стабільність квазірезонансної частоти також підвищується. У розглянутому прикладі вибором струму емітера транзистора ( $I_3 = 6 \text{ mA}$ ) вдалося знизити нестабільність коефіцієнта передачі до 0,1 dB, а квазірезонансної частоти до 0,1 МГц у динамічному діапазоні більш 40 dB.

$f_0, \text{МГц}$



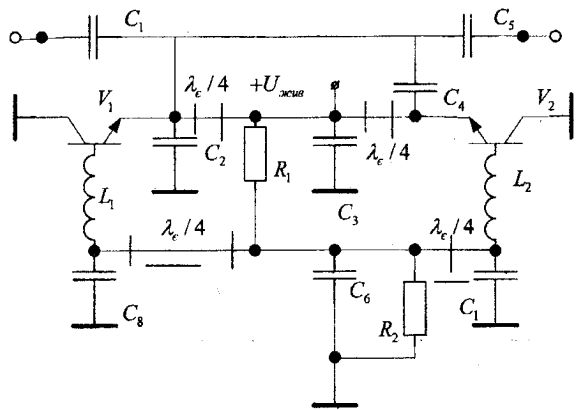
a)

$K_0, \text{dB}$

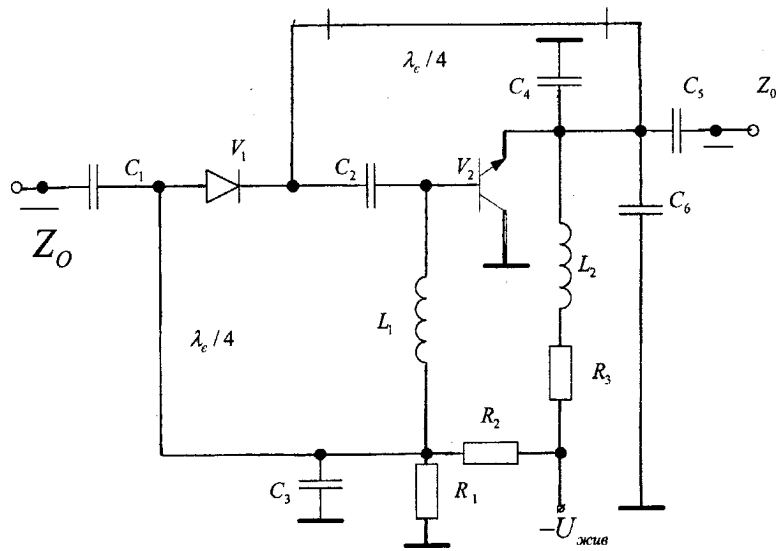


б)

Рис. 4.8. Експериментальні залежності квазірезонансної частоти  $f_0$  (а) і коефіцієнта передачі  $K_0$  (б) невзаємного АФ від зміни потужності сигналу  $P_{vx}$  при різних струмах емітера  $I_3$ .

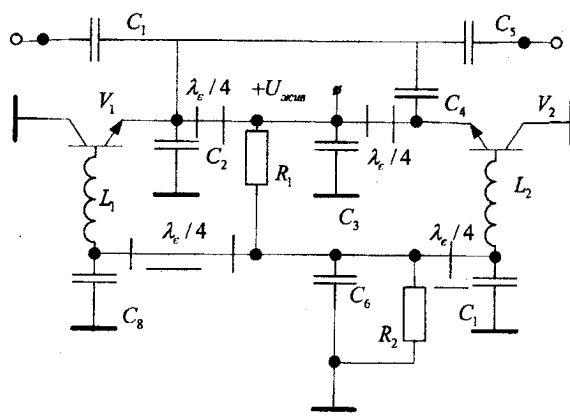


a)

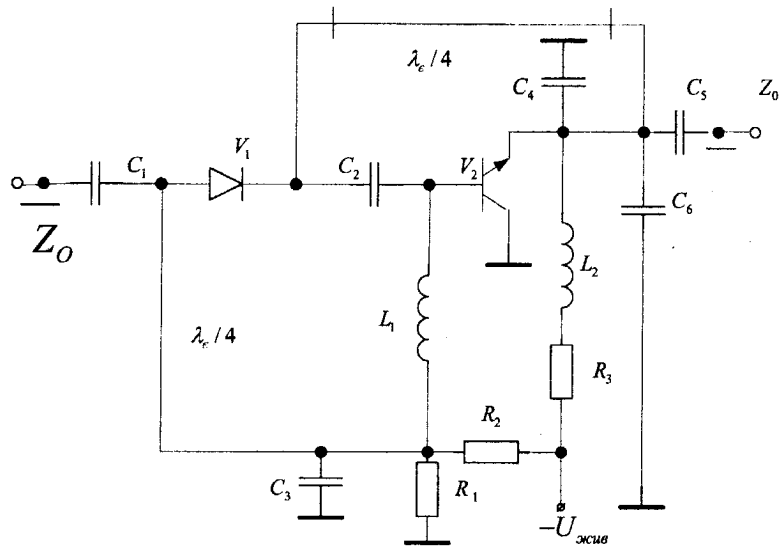


б)

Рис. 4.9. Принципові схеми АФ з ланцюгами динамічної стабілізації



a)



б)

Рис. 4.9. Принципові схеми АФ з ланцюгами динамічної стабілізації

Введення КДС ускладнює схему ІП і веде до появи додаткових паразитних зворотних зв'язків. Тому, де це можливо, перевагу варто віддавати застосуванню могутніх багатоемітерних транзисторів, що як видно з рис. 4.12 дозволяє збільшувати рівень насищення ІП більш ніж на 10 dB без застосування КДС. Потужність насищення ІП при використанні УПІ на основі малопотужних транзисторів (типу KT3101, KT371) складає порядку 100 мВт, а при використанні могутніх багатоемітерних транзисторів (типу KT913, KT319) – досягає 10 мВт. З огляду на те, що коефіцієнт шуму ІП, зібраного на транзисторі типу KT3101 при смузі пропускання  $\Delta f=8$  МГц, дорівнює 6 dB, а при смузі пропускання  $\Delta f=6$  МГц зростає до 20 dB (розглядається ІП в розузгодженому режимі), знаходимо значення динамічного діапазону, що відповідають цим смугам пропускання  $K_{d1}=156$  dB і  $K_{d2}=63,67$  dB. Застосування розглянутих методів дозволяє розширити ці діапазони на 10 dB. Цей висновок підтверджує і результати експериментальних досліджень проведених з використанням спектроаналізатора при потужності входного сигналу  $P_{bx}=3$  мВт не перевищує 60 dB від основної гармоніки.

Залежність перетворюваного імітансу УПІ від потужності сигналу може бути використана при реалізації обмежувачів [14] і пристрой відновлення частоти сигналу [15].

### 4.3. Температурна нестабільність

#### 4.3.1. Моделювання температурної нестабільності

При дослідженні температурної нестабільності більшості транзисторних пристройів основна увага спрямована на аналіз зміни під впливом температури робочої точки транзистора, що веде до зміни підсилювальних властивостей і рівня насищення [16]. Використання транзистора в якості УПІ, ставить іншу мету дослідження. Вона полягає у визначенні температурної нестабільності перетвореного імітансу, що дозволяє розробити методи і засоби її зменшення.

Температурна нестабільність УПІ визначається температурною нестабільністю параметрів багатоелектродної напівпровідникової структури, використовуваної в якості УПІ. Для реальних біполярних структур до цих параметрів відносяться:  $r_s$ ,  $C_s$ ,  $r_d$ ,  $C_k$ ,  $\alpha_0$  і  $f_T$ . Ці параметри аналітично можуть бути описані через параметри матеріалу напівпровідникової структури [17, 18]. Однак параметри матеріалу реальної біполярної структури не завжди визначені для розроблювача ІП. Тому більш доцільно виявляється використовувати напівемпіричні вирази, параметри в яких визначаються експериментально.

1. Диференціальний опір емітерного переходу  $r$ , пропорційний

температури і визначається вираженням [19]  $r_s = KT^0/qI_s$ , де  $K$  – постійна Больцмана.

2. Емність емітерного переходу утворена двома складовими: зарядною  $C_{ss}$  і дифузійною  $Z_{ss}$  ємностями. При малих струмах ( $I_s < 2$  mA) досить враховувати тільки зарядну емність.

3.  $C_{ss} = 1/\omega r_s$ . При великих струмах емітера потрібно враховувати дифузійну емність, для дрейфових транзисторів рівну  $C_{ss}=0,25/2\pi r_s f_T$  [20]. Таким чином, емність емітерного переходу залежить від температури через параметри  $r_s$  і  $f_T$ .

4. Залежність опору бази від температури може бути апроксимовано виразом  $r_\delta(T^0) = r_\delta(T^0_0) + 0.03(T^0 - T^0_0)$ , де  $r_\delta(T^0_0)$  – опір бази при температурі  $T^0_0$ .

5. Емність колекторного переходу  $C_k$  незначно залежить від температури [22] і її температурною нестабільністю зневажаємо.

6. Границя частота транзистора  $f_T$  при зниженні температури від 343 до 80°K, майже не міняється [21]. При підвищенні температури вище 343°K відбувається зменшення  $f_T$ , що обумовлено зниженням рухливості носіїв струму  $i$ , як наслідок, збільшенням часу його прольоту через базу транзистора.

7. Коефіцієнт передачі по струму  $\alpha_0$  залежить від температури. Згідно [23], ця залежність для високочастотних дифузійно-дрейфових транзисторів визначається залежностями від температури коефіцієнтів інжекції  $y_s = 1/(1+j\omega C_s r_s)$  і переносу неосновних носіїв струму через базу  $\beta_P$ . Залежність коефіцієнта переносу  $\beta_P$  від температури визначається в основному збільшенням дифузійної довжини неосновних носіїв струму в базі зростом температури, що веде до росту коефіцієнта переносу. З огляду на те, що  $\alpha_0 = \gamma_s \beta_P$  і  $\beta_P = \alpha_0 / (1 - \alpha_0)$ , температурна залежність коефіцієнта передачі по струму  $\alpha_0$  може бути визначена за результатами вимірювання коефіцієнта підсилення транзистора  $\beta_0$  у схемі з загальним емітером.

У такий спосіб для опису температурної нестабільності УПІ на основі реальних біполярних структур досить визначити температурну нестабільність наступних параметрів:  $r_s$ ,  $r_\delta$ ,  $\beta_0$ ,  $f_T$ .

На рис. 4.14а представлени експериментальні залежності цих параметрів від температури для різних типів біполярних транзисторів, що підтверджують результати теоретичного аналізу поведінки цих параметрів при зміні температури.

Коректність запропонованої моделі температурної нестабільності УПІ на основі біполярних транзисторів може бути оцінена за результатами експериментальних і теоретичних досліджень перетвореної провідності УПІ<sup>K</sup> у режимі прямого і зворотного перетворення.

На рис. 4.14а представлена залежність складових вихідного опору УПІ<sup>K</sup> при зворотному перетворенні активного  $Z_e=ReZ_e$  і індуктивного  $Z_e=ReZ_e+jImZ_e$  опорів від температури.

З графіків видно, що зростом температури, у діапазоні (20–80°C) відбувається незначна зміна уявної складової перетвореного опору (не більше 1,93% /град<sup>-1</sup>).

Причому у випадку  $Z_e=ReZ_e$  відбувається зменшення  $ImZ_{\text{r}}^K$ , а у випадку  $Z_e=ReZ_e+jImZ_e$  спостерігається ріст  $ImZ_{\text{vых}}^K$ . При обох видах перетворюваного опору спостерігаються значні зміни речовинної складової перетвореного опору, що зростом температури в діапазоні (20+80°C) збільшується із середньою швидкістю 4,7 % град.

При прямому перетворенні емнісного опору  $Z_h=-j/\omega C_h$  (рис. 4.14б) у температурному режимі (20 – 80°C) відбувається зменшення  $ImZ_{\text{вх}}^K$ , (0,161% град.<sup>-1</sup>) і ріст  $ReZ_{\text{вх}}^K$  (0,65% град<sup>-1</sup>). Найбільш істотна температурна нестабільність спостерігається починаючи з температури  $T > 80^\circ\text{C}$ , яку варто розглядати як граничну температуру використання УПІ на даному типі транзистора.

У випадку реалізації УПІ на основі реальної уніполярної структури температурну залежність перетвореного імітансу УПІ оцінюмо по зміні від температури параметрів його фізичної моделі  $R_i$ ,  $C_{cs}$ ,  $C_{hz}$ ,  $G$ ,  $S_0$ . Однак, на відміну від реальних біполярних структур, розв'язання цієї задачі для сучасних ПТШ має значні труднощі, тому що відсутні аналітичні вирази, що визначають ряд фізичних параметрів GaAs у діапазоні температур (наприклад таких параметрів, як рухливість  $\mu$  і діелектрична проникність  $\epsilon$ ).

Аналіз математичних моделей польових транзисторів [24–26] дозволяє зробити висновок, що температурна нестабільність розглянутих параметрів спостерігається внаслідок температурної залежності фізичних параметрів матеріалу кристала  $\mu$  і  $\epsilon$ .

Відомо, що зростом температури рухливість  $\mu$  знижується. Фізична природа цього явища дотепер цілком не ясна і не має аналітичного опису [27].

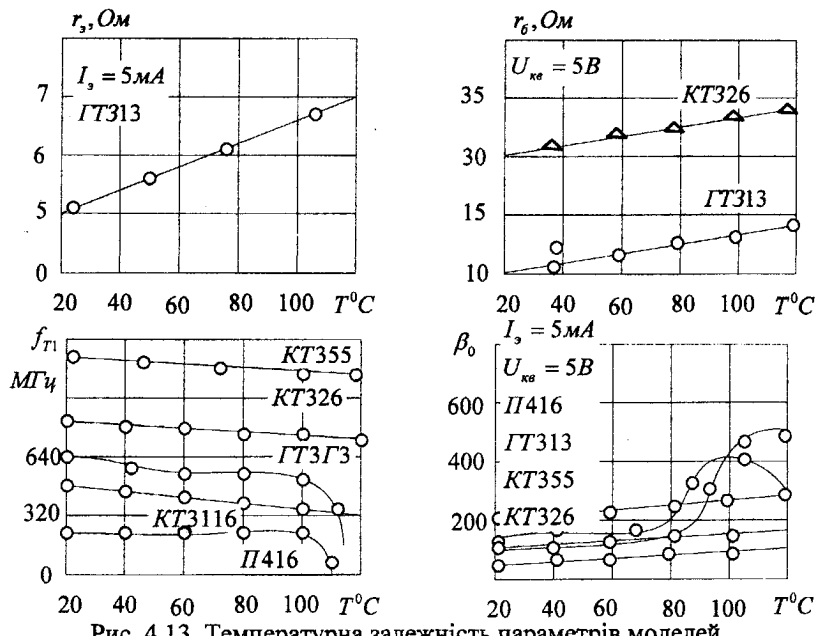


Рис. 4.13. Температурна залежність параметрів моделей біполярних транзисторів

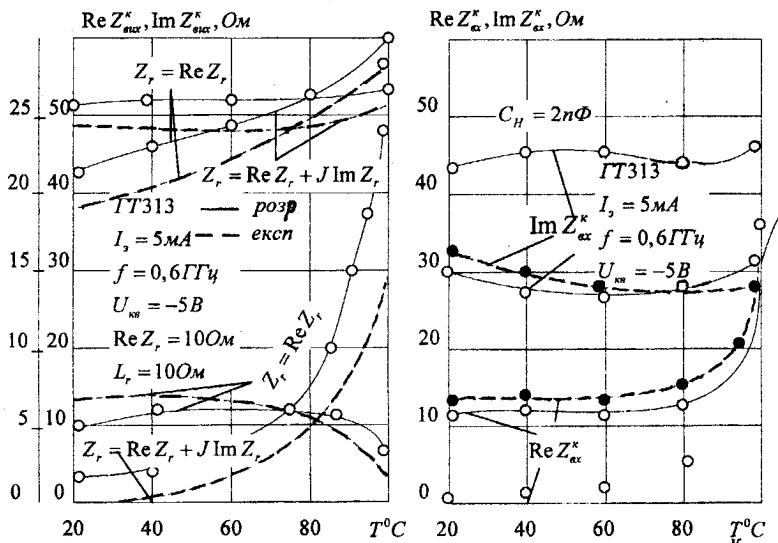


Рис. 4.14. Температурна залежність перетвореного імітансу  $Y_{II^K}$  на основі біполярного транзистора

Тому можна тільки зробити висновок про зменшення провідності каналу G, крутизни S і диференціального опору затвора  $R_i$  з ростом температури. Відсутні також досить точні дослідження температурної залежності діелектричної проникності збідненої області каналу для GaAs ПТШ. Однак, використовуючи результати досліджень ТКЕ діодів на основі GaAs, можна зробити висновок про слабку температурну нестабільність параметра  $\epsilon$ , а отже й ємностей  $C_{n3}$  і  $C_{c3}$ , що підтверджують і результати експериментальних досліджень, приведені в [28].

Експериментальна перевірка даних висновків була проведена на ПТШ типу ЗП321. Параметри  $C_{n3}$  і  $C_{c3}$  визначалися за методикою обґрунтованою в [29]. Результати експериментів представлені в табл. 4.2 підтверджують зроблені висновки.

#### 4.3.2. Методи і засоби термостабілізації

Результати моделювання температурної нестабільноти УПІ показують, що зі зміною температури відбувається зміна як речовинної, так і уявної складових перетвореного імітансу. Виходячи з цього, виникає задача розробки методів і засобів термостабілізації. З цією метою можливо здійснювати термокомпенсацію, використовуючи або залежність перетвореного імітансу від положення робочої точки напівпровідникової структури – термокомпенсація по постійному струму, або залежність перетвореного імітансу від перетворюваного імітансу – термокомпенсація по змінному струму.

Передумовою до розробки першого методу з'явилися температурні дослідження резонансного комутатора в режимі "відкрито". Як видно з графіків (рис. 4.15) при зміні температури від  $-50^{\circ}\text{C}$  до  $+60^{\circ}\text{C}$  при відсутності кола термокомпенсації відбувається зменшення його коефіцієнта передачі  $K_0$  на  $\pm 2\text{dB}$  і квазірезонансної частоти на  $\pm 2 \text{ МГц}$  при незначному зростанні струму емітера  $I_s$  (менше 1 мА) транзистора. Стабілізація струму емітера веде до ще більшої температурної нестабільноти параметрів комутатора. Експериментальним шляхом установлена необхідна залежність струму емітера  $I_s$ , що забезпечує стабілізацію параметрів  $K_0$  і  $f_0$ . Виявилось, що з ростом температури для стабілізації параметрів  $K_0$  і  $f_0$  комутатора потрібно здійснювати збільшення струму емітера  $I_s$  (рис. 4.15).

Найпростіша реалізація даного методу полягає у включені по послідовно в коло живлення емітера транзистора терморезистора. Але внаслідок його значної температурної нелінійності вдається забезпечити стабілізацію параметрів схеми лише в області позитивних температур. У розглянутому прикладі при зміні температури від  $+20^{\circ}$  до  $+60^{\circ}\text{C}$  забезпечувалася стабілізація коефіцієнта передачі  $\pm 0,5 \text{ dB}$  і квазірезонансної частоти  $-\pm 0,5 \text{ МГц}$ .

Таблиця 4.2

## Температурна залежність параметрів еквівалентної схеми ПТІІІ

| Параметри | Розмірність              | Температура, °C |      |      |      |
|-----------|--------------------------|-----------------|------|------|------|
|           |                          | -50             | -30  | 25   | 50   |
| $S_0$     | $\Omega^{-1} \cdot 10^3$ | 26              | 24   | 20   | 11,2 |
| $R_i$     | $\Omega$                 | 31              | 23   | 15   | 10   |
| $G$       | $\Omega^{-1} \cdot 10^3$ | 2,8             | 2,1  | 1,7  | 1,5  |
| $C_{n3}$  | $p\Phi$                  | 0,27            | 0,27 | 0,27 | 0,27 |
| $C_{c3}$  | $p\Phi$                  | 0,03            | 0,03 | 0,03 | 0,03 |
| $f_T$     | ГГц                      | 6,22            | 6,20 | 6,15 | 6,07 |

Транзистор – ЗП321,  $U_{3e} = -3$  В,  $U_{ch} = -2$  В,  $I_c = 12,6$  мА

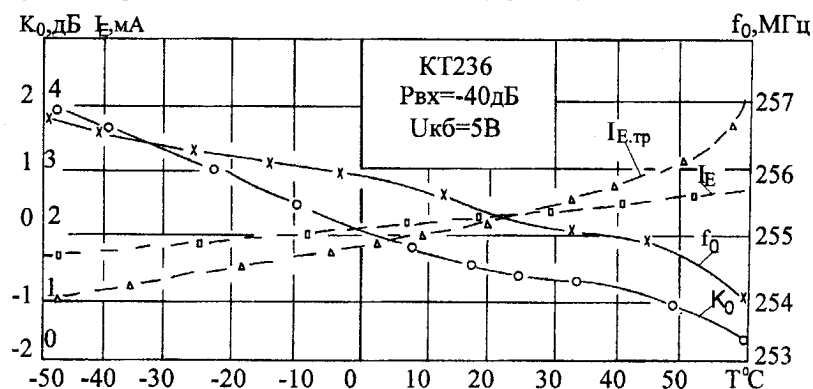


Рис. 4.15. Температурні залежності коефіцієнта передачі  $K_0$ , квазірезонансної частоти  $f_0$  і струму емітера транзистора  $I_e$  комутатора на основі УПІІІ ( $I_{e,тр}$  – необхідна залежність)

Результати досліджень, приведені закордонними авторами, також вказують на збільшення температурної нестабільності АФ, що використовують компенсацію шляхом зміни струму емітера УПІІ при розширенні температурного діапазону (табл. 4.3).

Для здійснення термокомпенсації по змінному струму можливе використання залежності перетвореного імітансу УПІІ: 1) від речовинної складової перетворюваного імітансу; 2) від уявної складової перетворюваного імітансу; 3) від синхронної зміни, як дійсної, так і уявної складової перетворюваного імітансу [30–32].

Оцінюмо можливості реалізації цих варіантів.

У першому варіанті використовується включення в коло перетворюваного імітансу терморезистора. Принцип здійснення термокомпенсації в цьому випадку пояснюється за допомогою графіків рис. 4.16. Унаслідок сильної температурної нелінійності терморезистора в області негативних температур, застосування такого кола, що компенсує, обмежене областю позитивних температур. Цей висновок підтверджують і результати інших дослідників. Зокрема, у [33] повідомляється про використання терморезистора для температурної стабілізації резонансного коливального контуру на основі УПІ<sup>K</sup> тільки в області позитивних температур.

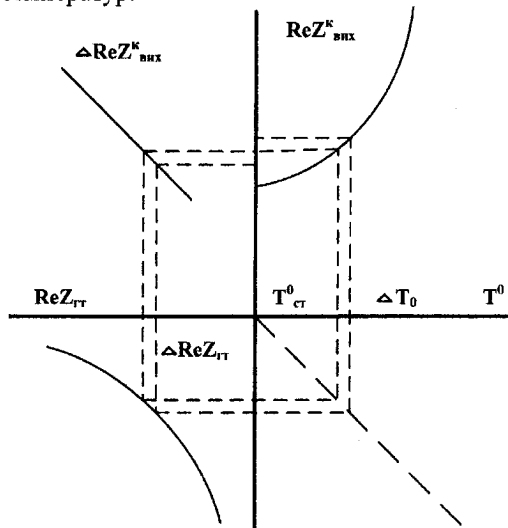


Рис. 4.16. До обґрунтування принципу термокомпенсації УПІ шляхом зміни з температурою дійсної складової перетворюваної провідності

Реалізація другого варіанта можлива шляхом реалізації уявного перетворюваного імітансу з різними значеннями температурного коефіцієнта. На рис. 4.17 представлені результати експериментального дослідження коефіцієнта передачі взаємного комутатора на основі УПІ в режимі зворотного перетворення ємності конденсатора з різними значеннями ТКЕ [12]. Як видно з графіків, температурна стабілізація забезпечується також у вузькому температурному діапазоні. Краща стабільність коефіцієнта передачі отримана при використанні конденсатора С типу М470 ( $\pm 0,5$  дБ у діапазоні температур від + 10 до +60°C). У більш широкому діапазоні спостерігається зростання тем-

пературної нелінійності коефіцієнта передачі  $K_0$ , що можна пояснити суперпозицією температурної нелінійності УПІ і перетворюваного імітансу.

Третій варіант термокомпенсації УПІ передбачає одночасну зміну як дійсної, так і уявної складових перетворюваного імітансу. З цією метою можливе включення в коло перетворюваного імітансу реактивного й активного елементів, що мають необхідні температурні коефіцієнти. Обмежена номенклатура таких елементів не дозволяє здійснювати термокомпенсацію в широкому діапазоні температур. Тому запропоновано включати в коло перетворюваного імітансу КЕ, вплив на який змінюється зі зміною температури за законом, що забезпечує термокомпенсацію параметрів [34]. Загальна структурна схема реалізації такого способу термокомпенсації УПІ, зображена на рис. 4.18. Сигнал, вироблюваний датчиком температури (ПВП), надходить на формувач (ФП), де виробляється необхідний закон зміни керуючого впливу, підсилюється підсилювачем (П) де подається на КП у колі перетворюваного імітансу. Оцінимо ефективність цього способу термокомпенсації УПІ на прикладі термостабілізації коефіцієнта передачі  $K_0$  і квазірезонансної частоти  $f_0$  взаємного АФ (рис. 4.19). При відсутності кола термокомпенсації, у діапазоні температур  $\pm 60^\circ\text{C}$  спостерігається нестабільність коефіцієнта передачі  $\pm 2 \text{ dB}$  і квазірезонансної частоти  $\pm 4,5 \text{ МГц}$ .

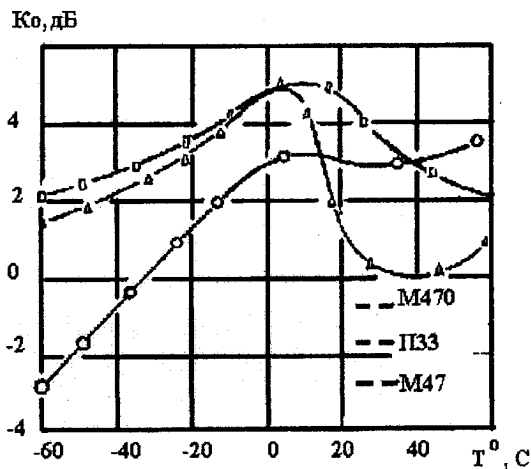


Рис. 4.17. Температурна залежність коефіцієнта передачі взаємного комутатора на основі УПІ<sup>6</sup> у режимі зворотного перетворення ємності конденсатора з різними ТКЕ

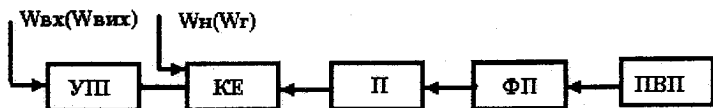


Рис. 4.18. Структурна схема реалізації способу термокомпенсації УПП шляхом використання схеми керування перетворюваного імітансом. На схемі: КЕ – керуючий елемент, П – підсилювач, ФП – формуючий пристрій, ПВП – первинний вимірювальний перетворювач температури

Таблиця 4.3

Температурна нестабільність квазірезонансної частоти і коефіцієнта передачі НВЧ АФ з струмовою компенсацією

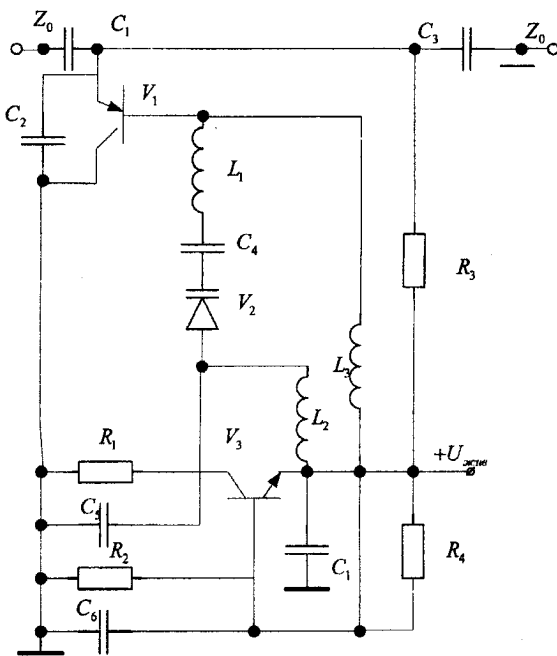
| Діапазон зміни температури | Температурна нестабільність $f_0$ , % | Температурна нестабільність $K_0$ , дБ |
|----------------------------|---------------------------------------|--|
| +30°C ÷ +85°C              | ±2                                    | ±0,2                                   |
| -85°C ÷ +85°C              | ± 5                                   | ±0,5                                   |
| -55°C ÷ +85°C              | + 20                                  | ± 1,0                                  |

У якості КЕ запропоновано використовувати варикап, включений послідовно з перетворюваною індуктивністю  $L_1$ , у якого під впливом керуючої напруги змінюється не тільки уявна  $X_B=1/\omega C_B$ , але і дійсна  $R_B$  складова повного опору. Розрахунок кола термокомпенсації обґрунтований у [34].

Коло керування варикапом реалізовано на транзисторі  $V_3$ , що виконує роль підсилювача – формувача, вихідна напруга якого залежить від напруги  $U_{B3}$  транзистора  $V_1$ , що одночасно виконує роль УПП і датчика температури.

Експериментальні результати на рис. 4.19б, отримані для АФ з параметрами:  $f_0=0,6$  ГГц,  $K_0 = 3$  дБ, смуга пропускання – 4 МГц, загасання при розстройці на 20 МГц від смуги пропускання 38 дБ. Настроювання кола термокомпенсації здійснюються підбором опору колекторного резистора  $R_1$ , що і веде до стабілізації коефіцієнта передачі  $K_0$  ( $\pm 0,4$  дБ) і квазірезонансної частоти  $f_0$  ( $\pm 0,6$  МГц) АФ (рис. 4.19б).

Для невзаємних ПП, що мають вищу стабільність до різних дестабілізуючих факторів, а також у випадку ослаблених вимог до серйонопридатності, схему термокомпенсації можна спростити, використовуючи як датчик температури терморезистор. У цьому випадку можна відмовитися від підсилювача, а формування необхідного закону керування здійснити шляхом підбору типу терморезистора  $R_1$ , і величини додаткового резистора  $R_2$  (рис. 4.20а).



a)

$$\Delta f_0, \text{МГц}$$

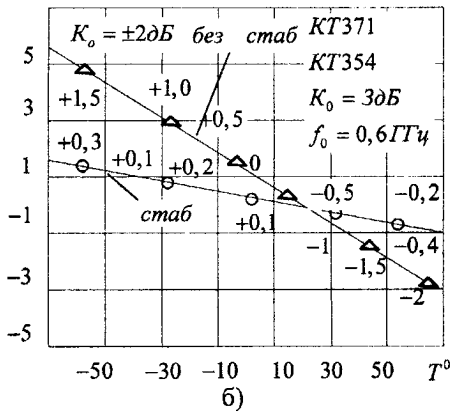


Рис. 4.19. Принципова схема (а) і температурна залежність (б) основних параметрів взаємного однорезонаторного АФ

Експериментально був установлений потрібний закон зміни керуючої напруги (рис. 4.20б – пунктирна крива) і шляхом підбора резисторів ( $R_1=R_4$ ,  $R_2=\infty$ ,  $R_3=M20K$ ,  $R4=1,2K$ ). Використання цього кола термокомпенсації забезпечило в діапазоні температур від +60 до – 60°C) нестабільноті коефіцієнта передачі  $K_0$  не більш  $\pm 1$  dB і квазірезонансної частоти  $f_0$  не більш  $\pm 0,5$  Гц (рис. 4.20в).

У висновку слід зазначити, що термокомпенсуюче коло може бути реалізоване також на основі УПІ. Прикладом такої реалізації є коло, виконане на транзисторі  $V_1$  (див. рис. 4.9а), що забезпечує не тільки динамічну, але і температурну стабілізацію параметрів ІП [9].

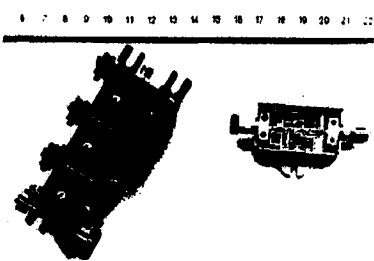
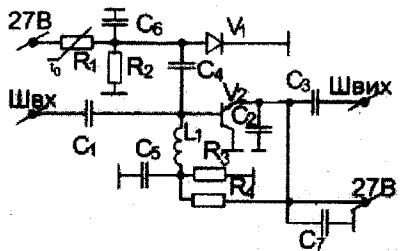
#### 4.4. Режимна нестабільність

Зміна положення робочої точки реальної багатоелектродної напівпровідникової структури веде до зміни коефіцієнта перетворення імітансу, а отже змінюється величина перетворюваного імітансу і параметри ІП.

Положення робочої точки реальних біполярних напівпровідниково-вих структур визначається струмом емітера  $I_e$ , і напругою  $U_{KB}$  між колектором і базою транзистора. Залежність параметрів фізичних моделей цих транзисторів від струму  $I_e$  і напруги  $U_{KB}$  розглянуті в роботах [16, 19].

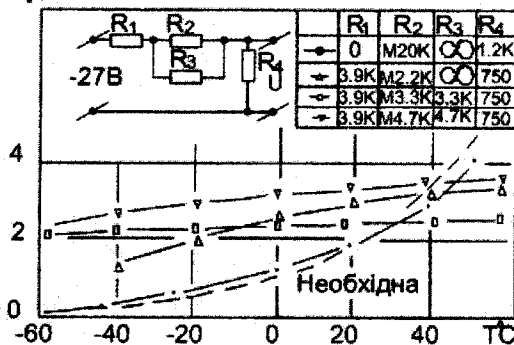
Зі зміною струму емітера  $I_e$  найбільше істотно змінюються:  $r_E$ ,  $\alpha_0$ ,  $(\beta_0)$ ,  $f_T$ . Коефіцієнти  $\alpha_0$  чи  $\beta_0$  і частота  $f_T$  з високою точністю вимірюються за допомогою стандартної вимірювальної апаратури. На рис. 4.21а представлена результати таких вимірювань для різних типів транзисторів, проведені за допомогою вимірювача параметрів високочастотних транзисторів типу Л2-12. З графіків рис. 4.21а видно, що найбільш істотна залежність  $\beta_0$  і  $f_T$  спостерігається при початкових значеннях ( $0 \div 4$  мА) струму емітера. Найбільш положиста ділянка випливає за номінальним значенням  $I_{e,nom}$  струму емітера (для сучасних малошумлячих біполярних транзисторів  $I_{e,nom} \approx 5$  мА) і простирається до граничних значень струму емітера (звичайно 10–15 мА).

Розглянуті залежності параметрів  $r_E$ ,  $\beta_0$ , і  $f_T$  від  $I_e$  визначають режимну нестабільність усіх видів УПІ на основі біполярних транзисторів, що найбільш істотна в діапазоні струмів  $0 \div I_{e,nom}$  і зменшується при подальшому збільшенні  $I_e$ . Як приклад на рис. 4.22а, б приведені експериментальні залежності складових перетвореної провідності УПІ на основі транзистора КТ3115 при прямому і зворотному перетворенні різних імітансів у залежності від струму емітера.



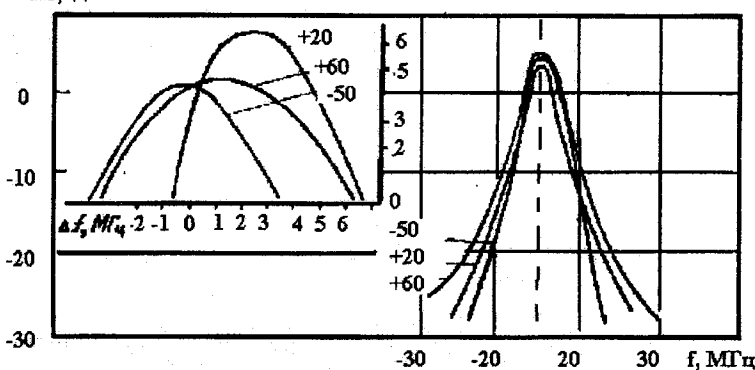
a)

$U_y, \text{В}$



б)

$K_o, \text{дБ}$



в)

Рис. 4.20. Принципова схема і загальний вигляд підложки (а), температурні зміни керуючої напруги (б) і АЧХ (в) невзаємного АФ зі спрощеною схемою термокомпенсації

Представлені графіки підтверджують справедливість положення, що найбільша режимна нестабільність перетвореного імітанса спостерігається як при прямому (рис. 4.22б), так і при зворотному (рис. 4.22а) перетворенні імітансу при струмах ( $0\text{--}4$ )mA. На цій ділянці найбільшу крутість зміни (блізько  $10 \text{ Ом } \text{mA}^{-1}$ ) від  $I_s$  має уявна складова перетвореного імітансу. Найбільш стабільним є режим при  $I_s > I_{s,\text{ном}}$ . Характерно, що на цій ділянці більшу нестабільність має дійсна складова перетвореного імітансу, причому з ростом добротності перетворюваного імітансу, нестабільність  $\text{Re}Z_{\text{вих}}^K$  зростає (рис. 4.22а).

Залежність параметрів фізичної моделі біполярних транзисторів від напруги на колекторі  $U_{KB}$  визначається впливом  $U_{KB}$  на  $C_k$ ,  $f_T$  і  $\beta_0$ . Залежність параметрів  $\beta_0$  і  $f_T$  від напруги  $U_{KB}$  істотна в основному на початковій ділянці (рис. 4.21б)  $U_{KB} = 0\text{--}2 \text{ В}$ .

Поблизу граничних значень  $U_{KB\max}$ , обумовлених напругою пробою колекторного переходу, спостерігається експонентний ріст коефіцієнта підсилення, що пояснюється лавінним множенням носіїв струму в колекторному переході. Таким чином, з погляду забезпечення стабільності параметрів фізичної моделі УПІ на основі біполярного транзистора, варто вибирати робочу точку біполярного транзистора при напругах  $2\text{В} < U_{KB} < U_{KB\max}$ . Ці висновки підтверджують результати експериментального дослідження складових перетвореного імітансу УПІ<sup>K</sup> у залежності від  $I_s$  (рис. 4.22в, г). Також, як і при дослідженні залежностей цих параметрів від  $I_s$  (рис. 4.22а, б), найбільш стабільною є ділянка зі значеннями напруги  $U_{KB} > U_{KB\max}$  яке для сучасних малошумлячих транзисторів дорівнює  $U_{KB\max} = 5 \text{ В}$ . Характерним є велике значення нестабільності перетвореного імітансу в режимі зворотного перетворення (рис. 4.22в), ніж у режимі прямого перетворення (рис. 4.22г).

Це пояснюється тим, що в першому режимі, ємність  $C_k$  виявляється включеною паралельно перетворюваному імітансу  $Z_r$  і впливає на його величину зі зміною  $U_{KB}$ . Зменшення цієї нестабільності сприяє включення паралельно колекторному переходу зовнішньої додаткової ємності.

Представлені на рис. 4.22 експериментальні залежності отримані при реалізації УПІ на основі одного із самих високочастотних і малошумлячих вітчизняних транзисторів типу КТ3115. Результати теоретичних і експериментальних досліджень проведені на УПІ, що використовує інші типи транзисторів (ГТ313, ГТ311, КТ320 і ін.) більш ранніх випусків, цілком підтверджують зроблені висновки про те, що з метою підвищення стабільності перетвореного імітанса УПІ, робоча точка біполярної багатоелектродної напівпровідникової структури по-

винна вибиратися при струмах емітера  $I_3$  і напругах на колекторі  $U_{KB}$  в областях значень

$$I_{3nom} \leq I_3 < I_{3max}, \quad U_{KBnom} \leq U_{KB} < U_{KBmax}. \quad (4.17)$$

На рис. 4.23 представлені результати іспитів при різних значеннях напруги живлення  $U_{пит}$  вузькосмугового (рис. 4.23а) і широкосмугового (рис. 4.23б) АФ, принципові схеми яких зображені, відповідно на рис. 6.3.6а і рис. 6.3.7в, а робоча точка транзистора  $V_1$  обрана з урахуванням нерівності (4.21). Для обох видів АФ найбільш характерним є більший вплив зміни  $U_{пит}$  на коефіцієнт передачі  $K_0$ , чим на квазірезонансну частоту  $A\Phi$ . Це узгоджується з результатами рис. 4.22, де видно, що в діапазоні струмів  $I_3$  і напруг  $U_{KB}$ , що відповідають умові (4.21), більшою нестабільністю володіє дійсна складова перетвореного імітансу. Висока нестабільність, що спостерігається у вузькополосного АФ ( $\partial f_0 / \partial U_{пит} \approx 3.6 \text{МГц } \text{В}^{-1}$ ,  $\partial K_0 / \partial U_{пит} \approx 0.93 \text{дБ } \text{В}^{-1}$ ) у порівнянні із широкополосним АФ ( $2 \text{МГц } \text{В}^{-1}$ ,  $0.5 \text{ дБ } \text{В}^{-1}$ ) узгоджується з результатами проведених в підрозділі 5.6 досліджень, тому що останній має меншу добродійність.

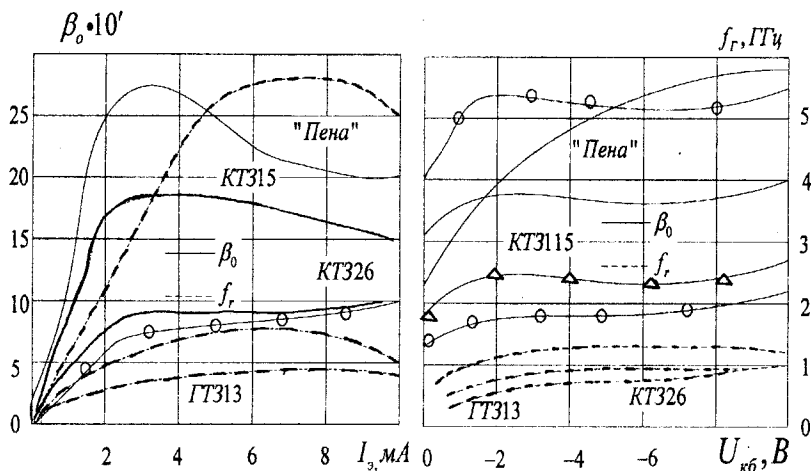


Рис. 4.21. Режимна залежність параметрів  $\beta_0$  і  $f_T$

Аналогічні дослідження, проведені для ІП на базі ПТШ, підтвердили, що найбільша стабільність досягається при виборі робочої точки, виходячи з умов  $U_{Eном} \leq U_C < U_{Cmax}$ ,  $U_{3Н} \approx U_{3Нном}$ .

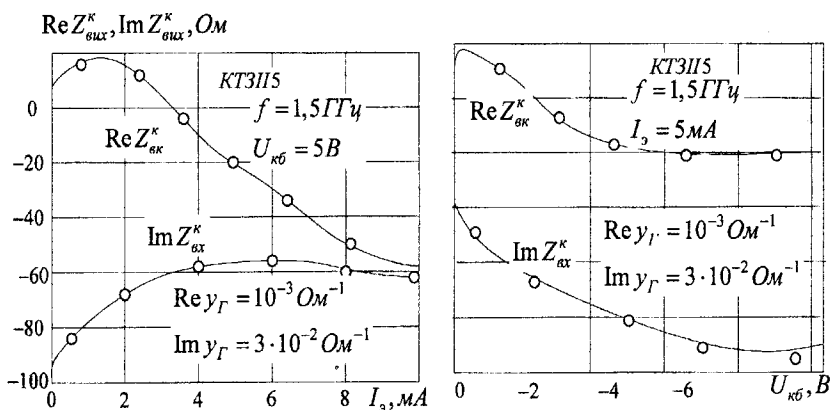
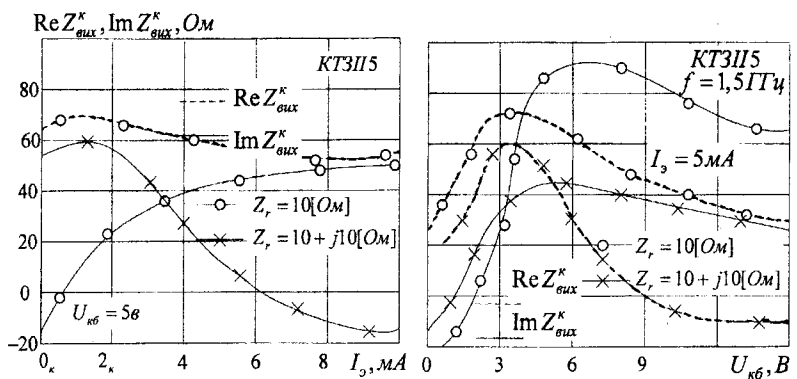
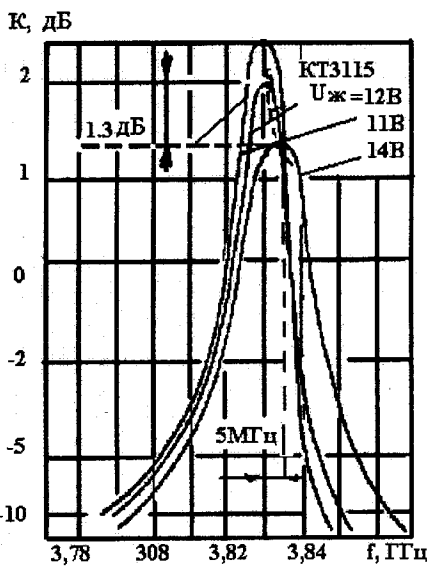
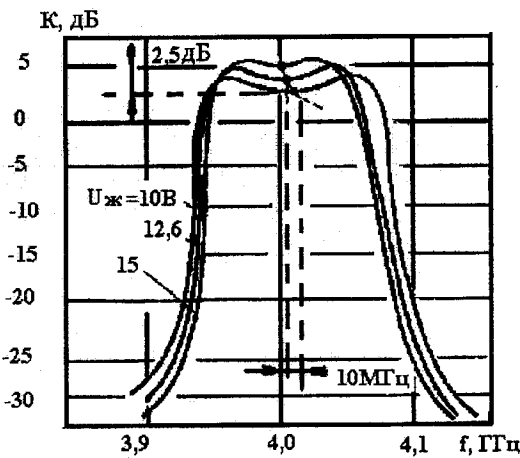


Рис. 4.22. Режимна залежність перетвореного імітансу УПІ<sup>K</sup> на основі біполярного транзистора ( $I_3=5\text{mA}$ ,  $U_{KB}=5\text{V}$ )



a)



б)

Рис. 4.23. Залежність АЧХ вузькосмугового (а) і широкосмугового (б) АФ від напруги живлення

## Перелік літератури до розділу 4

1. Краткий справочник конструктора радиоэлектронной аппаратуры. / Под ред. Р.Г. Враламова. – М.: Сов. радио, 1973. – 856 с.
2. ОСТ ОКО: 012.010. Микросборки гибридные СВЧ диапазона. Методы расчета и проектирования узлов. Редакция 1–74. – 140 с.
3. Филиньюк Н.А., Павлов С.Н. Влияние сопротивления генератора на параметры селективного усилителя с общим коллектором. // Тез. докл. всесоюзного научн.-техн. Семинара „СВЧ элементы и узлы радиоприемных устройств”. – М.: 1976, с.8.
4. Вамберский М.В., Абрамов В.П., Казанцев В.И. Конструирование ферритовых развязывающих приборов СВЧ. – М.: Радио и связь, 1982. – 136 с.
5. Филиньюк Н.А. Активные УКВ фильтры. – М.: Радио и связь, 1984. – 84 с.
6. Осадчук В.С., Молчанов П.А., Филиньюк Н.А. Параметрический преобразователь на индуктивном транзисторе. // Тез. докл. республ. научн.-техн. конф. „Радиоизмерительная техника”. – Вильнюс, 1976. – С.108–109.
7. Основы инженерной электроники / Под ред П.А. Ионкина. – М.: Высшая школа, 1972. – 626 с.
8. Adams D.K., Ho R.Y.C. Active filter for UHF and microwave frequencies; – IEEE transactions on microwave theory and techniques; 1969. – V.M.TT-17, N9. – P. 662–670.
9. А.С. 647851 (СССР). Полосовой активный фильтр. / Винницкий политехнический институт; авт. изобрет. Н.А. Филиньюк, П.А. Молчанов. – Заявл. 1.07.76. №2379048/18-09; опубл. в Б.И.. 1979, №6.
10. Филиньюк Н.А. Невзаимный активный СВЧ фильтр. – М.: Радиотехника, 1982. Т.37, №10. – С.67–70.
11. Филиньюк Н.А., Павлов С.Н. Расширение динамического диапазона транзistorных ПИП с учетом нелинейности их вольт-амперной характеристики. // Применение информационно-измерительных систем при эксплуатации авиационной техники: Тез. докл. республ. научн.-техн. конф. – Киев: 1979. – С. 82–83.
12. Филиньюк Н.А. Разработка активных фильтров с повышенной температурной стабильностью и расширенным динамическим диапазоном. / Сб. рефератов НИР и ОКР. – М.: 1978. – №8, реф. №Б653674. – с.35.
13. Филиньюк Н.А. Разработка узкополосных активных фильтров работающих при повышенном уровне мощности. – Сб. рефератов НИР и ОКР. – М.: 1981. №1, реф. №Б887488. – С.7.
14. Осадчук В.С., Филиньюк Н.А. Исследование СВЧ ограничителей

ля на индуктивном транзисторе. // Тез. докл. всесоюзного научн.-техн. семинара „СВЧ элементы и узлы радиоприемных устройств” – М.: 1975. – С.24.

15. Филинук Н.А., Молчанов П.А., Павлов С.Н. Исследование СВЧ устройства восстановления частоты сигнала. // СВЧ элементы и узлы радиоприемных устройств: Тез. докл. всесоюзн. научн.-техн. семинара. – М.: 1976. – С.7–8.

16. Степаненко Н.П. Основы теории транзисторов и транзисторных схем. – М.: Энергия, 1977. – 672 с.

17. Спиридовон Н.С., Ветроградов В.И. Дрейфовые транзисторы. – М.: Сов. радио, 1964. – 304 с.

18. Фогельсон И.Б. Транзисторные термодатчики. – М.: Сов. радио, 1972. – 129 с.

19. Спиридовон Н.С. Основы теории транзисторов. – К.: Техника, 1975. – 360 с.

20. Транзисторы. Параметры, методы измерений и испытаний / Под ред И.Г. Бергельсона, Ю.А. Каменецкого, Н.Ф. Nikolaevskogo. – М.: Сов. радио, 1968. – 504 с.

21. Алферов В.Н. Радиотехника низких температур. – М.: Сов. радио, 1966. – 368 с.

22. Федотов Я.А. Основы физики полупроводниковых приборов. – М.: Сов. радио, 1969. – 592 с.

23. Богачев В.М., Мусянков М.И. Зависимость параметров эквивалентных схем дрейфовых транзисторов от температуры / Доклады науч.-техн. конф. по итогам научно-исследовательской работы, МЭИ. – М.: 1970. с.101–111.

24. Валиев К.А., Пашиццев Ю.И., Петров Г.В. Применение контакта металл-полупроводник в электронике. – М.: Сов. радио, 1981. – 304 с.

25. Галкин В.Н. Полевые транзисторы в чувствительных усилителях. – Л.: Энергия, Ленингр. отд., 1974. – 144 с.

26. Полевые транзисторы. Физика, технология, применение / Пер. с англ. / Под ред. С.А. Майорова. – М.: Сов. радио, 1971. – 376 с.

27. Баранский П.И., Клочков В.П., Потыкевич И.В. Полупроводниковая электроника. Свойства материалов. Справочник. – К.: Наукова думка, 1975, – 704 с.

28. Weireb S., Brookes t.M. Characteristics of low-noise GaAs MESFET from 300K to 20K. – 10-th Eur. Microwave Conf., Warszawa, 1980. – P. 695-699.

29. Филинук Н.А. Определение параметров физической эквивалентной схемы активной области кристалла полевого транзистора. // Изв. вузов СССР. Сер. Радиоэлектроника. – Киев: 1983. – Т.26, №7. –

C.90–92.

30. Филинюк Н.А., Молчанов П.А., Маликов В.Т. Температурная стабильность индуктивного первичного измерительного преобразователя. // Структурные методы повышения точности, быстродействия и чувствительности измерительных устройств: Тез. докл. III республ. научн.-техн. конф. – Житомир: 1978. – С.45–46.
31. Филинюк Н.А., Молчанов П.А., Павлов С.Н. Повышение динамической и температурной стабильности активных СВЧ фильтров. // СВЧ элементы и узлы радиоприемных устройств: Тез. докл. всесоюзн. научн.- техн. семинара. – М.: 1976 – С. 7–8.
32. Филинюк Н.А., Павлов С.Н. Сравнительный анализ методов температурной стабилизации активного измерительного преобразователя. // Вопросы улучшения технических параметров универсальных электроизмерительных приборов: Тез. докл. всесоюзн. научн.-техн. конф. – Житомир: 1979. – С. 303–304.
33. Saito T., Miyakawa T., Ikeda T., Tahira K., Ando I. A high Q temperature insensitive inductive transistor circuit. – Solid State Electronics, 1969. – V.11. – P.553.
34. Филинюк Н.А., Молчанов П.А., Павлов С.Н. Температурная стабилизация активных СВЧ фильтров. – Радиотехника, М.: Связь. – 1980. – №12. – С.47–79.

## РОЗДІЛ 5

# ВИМІРЮВАННЯ ПАРАМЕТРІВ ФІЗИЧНИХ НЕГАТРОНІВ НА НИЗЬКИХ ЧАСТОТАХ

### 5.1. Мости змінного струму для вимірювання імпедансу компонентів

Вимірювання опору, індуктивності й ємності на відносно невисоких частотах виконується одинарними мостами змінного струму [1] (рис. 5.1). Для стійкості моста, послідовно з негатроном *S*-типу, який має диференціальний опір  $r^{(+)}$ , під'єднується компенсувальний резистор  $R$ , для того, щоб виконувалась умова  $R_x = R - r^{(+)} > 0$ . У випадку негатрона *N*-типу, паралельно до нього під'єднується резистор з провідністю  $G$ , для того, щоб виконувалась умова  $G + G > 0$ . Оскільки опори плечей моста змінного струму в загальному випадку комплексні (рис. 5.2), то необхідно врахувати фазові співвідношення. Для рівноважного стану моста змінного струму справедливе співвідношення  $R_1R_3 - R_2R_4 = 0$  записане в комплексній формі

$$Z_1Z_3 = Z_2Z_4, \quad (5.1)$$

де  $Z_1-Z_4$  — комплексні опори плечей моста змінного струму.

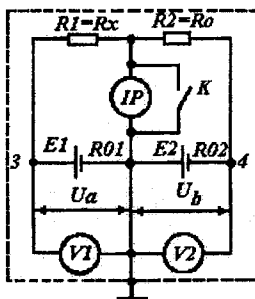


Рис. 5.1. Схема двоплечевого моста

Записавши вираз (5.1) у показникової формі, одержимо рівність

$$z_1 e^{j\varphi_1} z_3 e^{j\varphi_3} = z_2 e^{j\varphi_2} z_4 e^{j\varphi_4},$$

звідки випливає, що  $z_1 z_3 = z_2 z_4$  — рівність добутків модулів комплексних опорів протилежних плечей, а  $\varphi_1 + \varphi_3 = \varphi_2 + \varphi_4$  — рівність сум їхніх фазових кутів.

Щоб напруга на затискачах індикатора рівноваги IP моста змінного струму дорівнювало нулю, необхідно одночасне виконання умов рівноваги за модулем і фазою (остання умова вказує, якими за характером повинні бути опори плечей моста, щоб забезпечити рівновагу).

Умови рівноваги моста можна записати в іншому вигляді, представивши  $Z$  у рівнянні (5.1) в алгебраїчній формі ( $R$  – активний і  $X$  - реактивний опори):

$$(R_1+jX_1)(R_3+jX_3)=(R_2+jX_2)(R_4+jX_4),$$

звідки

$$R_1R_3-X_1X_3=R_2R_4-X_2X_4; R_1X_3+R_3X_1=R_2X_4+R_4X_2.$$

Зрівноважування моста за двома величинами вимагає наявності в його схемі не менше двох регулювальних елементів. Для зручності регулювання мости будують таким чином, щоб регулювальними елементами були резистори. При порівнянні ємності з індуктивністю регулювальні елементи розташовують у протилежних плечах моста, а ємності з ємністю або індуктивністю з індуктивністю – у суміжних. Правильний вибір регульованих елементів моста забезпечує швидкість її зрівноважування. Відносна швидкість зрівноважування моста змінного струму називається *збіжністю*.

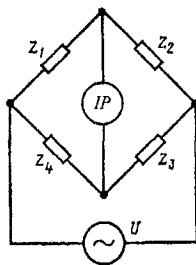


Рис. 5.2. Схема моста змінного струму

*Похиби моста змінного струму* визначаються похибкою окремих елементів його схеми (іхньою стабільністю, точністю, розташуванням); впливом опору з'єднувальних дротів; зміною параметрів джерела живлення, індикатора рівноваги; похибкою градуювання і виконання шкал у зразкових конденсаторів змінної ємності, варіомет-

рів, опорів резисторів і ін. На точність вимірювання впливають квадратурні похибки, тобто неповне врахування реактивних складових в активних опорах і активних складових у реактивних опорах. Чим вища частота, при якій виконується вимірювання, тим більшими виявляються ці похибки. Для зменшення похибки міст змінного струму живлять через розділювальний трансформатор, при цьому заземлення моста здійснюється так, щоб вплив паразитних ємностей і витоків був мінімально можливим.

Похибка моста задається за модулем опору у відсотках від вимірюваного значення; за фазовим кутом в значеннях абсолютної похибки; за двома складовими, з яких одна  $b$  пропорційна значенню вимірюваної величини (мультиплікативна), інша  $a$  має постійне значення, що характеризує залишкову похибку (адитивна);  $\Delta L = \pm(bX + a)$ . Наприклад,  $\Delta L = \pm(0,01L + L')$ , тоді  $\gamma = \Delta L/L = \pm[1 + (L'/L)100]$ .

Найрозповсюдженіший метод вимірювання індуктивності ємності – нульовий (за допомогою моста змінного струму).

На рис. 5.3 показана схема моста змінного струму для вимірювання індуктивності компонентів, що мають добротність  $Q < 30$ . Вимірюваний компонент з індуктивністю  $L_x$  і активним опором  $R_x = R - R^{(+)}$ , де  $R^{(+)}$  – активний опір негатрона,  $R$  – відомий компенсувальний опір, який включають у перше плече. Змінний резистор  $R_3$  приєднують паралельно до зразкової ємності  $C_3$ .

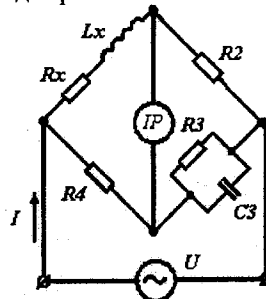


Рис. 5.3. Схема моста для вимірювання індуктивності з  $Q < 30$

Використовуючи умову рівноваги моста змінного струму (5.1), одержимо

$$\frac{R_x + j\omega L_x}{\frac{1}{R_3} + j\omega C_3} = R_2 R_4,$$

звідси активний опір, індуктивність, добротність компонента відповідно

$$R_x = R_2 \frac{R_4}{R_3}; L_x = R_2 R_4 R_3; Q_x = \frac{\omega L_x}{R_x} = \omega C_3 R_3.$$

Для вимірювання індуктивності з добротністю  $Q > 30$  застосовують схему послідовного з'єднання резистора  $R_3$  і зразкової ємності  $C_3$  (рис. 5.4).

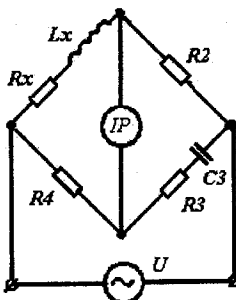


Рис. 5.4. Схема моста для вимірювання індуктивності з  $Q > 30$

Умови рівноваги моста при цьому такі:

$$(R_x + j\omega L_x) \left[ R_3 - j \frac{1}{\omega C_3} \right] = R_2 R_4.$$

### Звідки

$$R_x R_3 + \frac{L_x}{C_3} = R_2 R_4; \omega L_x R_3 = \frac{R_x}{\omega C_3}.$$

Зі спільного розв'язку останніх рівнянь випливає, що активний опір, індуктивність і добротність відповідно дорівнюють

$$R_x = \frac{\omega^2 C_3^2 R_2 R_3 R_4}{1 + (\omega C_3 R_3)^2}; L_x = \frac{R_2 R_4 C_3}{1 + (\omega C_3 R_3)^2}; Q_x = \frac{\omega L_x}{R_x} = \frac{1}{\operatorname{tg} \delta_x} = \frac{1}{\omega C_3 R_3},$$

де  $\operatorname{tg} \delta_x$  – тангенс кута втрат. Звідси

$$R_x = \frac{\omega^2 C_3^2 R_2 R_3 R_4}{1 + \frac{1}{Q_x^2}}; L_x = \frac{R_2 R_4 C_3}{1 + \frac{1}{Q_x^2}}.$$

Для компонентів з високою добробутністю відношення  $1/Q_x^2$  дуже мале порівняно з одиницею. Для вимірювання ємності  $C_x$  застосовують міст змінного струму, схема якого показана на рис. 5.5.

Досліджуваний компонент, представлений послідовною схемою  $R_x, C_x$ , включають у перше плече. Зразкову ємність  $C_4$  з'єднують послідовно з резистором  $R_4$ . Умова рівноваги моста при вимірюванні ємності така:

$$R_x \approx \omega^2 C_3^2 R_2 R_3 R_4; L_x \approx R_2 R_4 C_3.$$

Звідси вимірювана ємність і опір втрат у послідовній схемі заміщення відповідно

$$C_x = C_4 \frac{R_3}{R_2}; R_x = R_2 \frac{R_4}{R_3}.$$

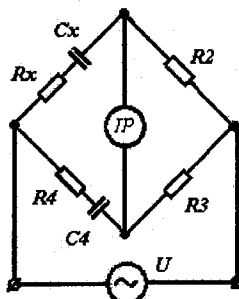


Рис. 5.5. Схема моста для вимірювання ємності

При врівноважуванні моста резисторами  $R_3$  і  $R_4$  отримується роздільний відлік по вимірюваних ємності  $C_x$  і тангенсу кута втрат  $\operatorname{tg} \delta_x$ . При цьому резистор  $R_3$  градуюють в одиницях ємності, а резистор  $R_4$  – у значеннях  $\operatorname{tg} \delta$ .

Мостові кола, показані на рис. 5.3–5.5, використовують у схемі

універсального моста типу Е7-4. Вимірювання здійснюють на частоті 100 і 1000 Гц. Діапазони вимірювання ємності  $10\text{--}10^8$  пФ, індуктивності  $10\text{--}10^8$  мГ; опору  $0,1\text{--}10^7$  Ом.

*Трансформаторні мости* (рис. 5.6) – мости з індуктивно зв'язаними плечима. Їх основні відмінні риси – широкий частотний діапазон (до сотень мегагерц); висока стабільність і точність (похибка може бути доведена до 0,1–0,5 %); гарна захищеність від впливу зовнішніх електромагнітних перешкод і внутрішніх паразитних зв'язків; можливість вимірювання опорів безпосередньо в схемі без їх відпайки; використання зразкових реактивних елементів невисокої добротності; велика гнучкість, що забезпечує різні вимірювальні режими. Застосування трансформаторних мостових схем дозволяє розширити діапазон вимірюваних параметрів приблизно в 1000 разів. Найбільше розповсюдження одержали трансформаторні мости для порівняння однакових за характером вимірюваних і зразкових опорів.

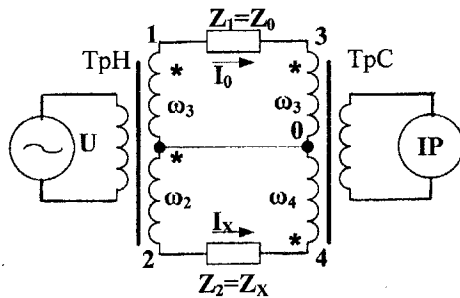


Рис. 5.6. Схема трансформаторного моста

Трансформаторні мости містять трансформатор напруги  $TpH$ , п'єрвинну обмотку якого підключають до джерела живлення, а вторинну обмотку, що складається з двох секцій з числом витків  $\omega_1$  і  $\omega_2$ , з'єднують через опори (зразковий  $Z_1$  і вимірюваний  $Z_2$ ) з відповідними секціями первинної обмотки  $\omega_3$  і  $\omega_4$  трансформатора струму  $TpC$ . У коло вторинної обмотки трансформатора струму включений індикатор рівноваги. Напрямок витків  $\omega_1$  і  $\omega_2$  секцій вторинної обмотки трансформатора напруги або витків  $\omega_3$  і  $\omega_4$  первинної обмотки трансформатора струму повинен бути зустрічним. Трансформатори напруги працюють у режимі, близькому до режиму холостого ходу при постійному значенні магнітного потоку, а трансформатори струму – у режимі, близькому до режиму короткого замикання. Магнітний потік у сердечнику

трансформатора струму змінюється зі зміною навантаження. Первінні ампер-витки ідеального трансформатора струму дорівнюють його вторинним ампер-виткам.

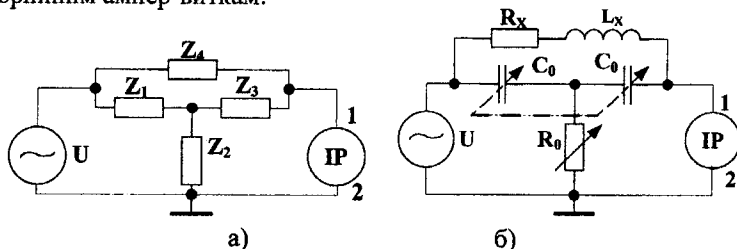


Рис. 5.7. Схеми  $T$ -подібного одинарного моста

При включенії вимірюваного опору  $Z_x$  зразковий опір  $Z_0$  (того ж характеру, що і  $Z_x$ ) можна регулювати доти, поки струм через індикатор рівноваги не буде дорівнювати нулю. Це означає, що магнітний потік у сердечнику трансформатора струму відсутній і в його обмотках не наводиться ЕРС; точки 3, 0, 4 мають одинаковий потенціал. Струми в колах  $Z_0$  і  $Z_x$  відповідно рівні.

Зазвичай замість  $R_x$  вимірюють або тангенс кута втрат  $\operatorname{tg} \delta_x = \omega C_x R_x$ , або добродільність  $Q_x = 1/\operatorname{tg} \delta_x$ . Підставивши у вираз для  $\operatorname{tg} \delta_x$  значення  $R_x$  і  $C_x$  одержують

$$\operatorname{tg} \delta_x = \omega C_x R_x = \omega R_4 C_4.$$

$$I_0 = \frac{U_0}{Z_0}; I_0 = \frac{U_x}{Z_x},$$

де  $U_0$ ,  $U_x$  – відповідно напруги на  $Z_0$  і  $Z_x$ .

При нульовому магнітному потоці в сердечнику трансформатора струму для ампер-витків обох секцій його первинної обмотки справедливе співвідношення:  $I_0 \omega_3 = I_x \omega_4$  або  $(U_0/Z_0) \omega_3 = (U_x/Z_x) \omega_4$ , звідки

$$Z_x = (U_x/U_0)(\omega_4/\omega_3)Z_0.$$

Для ідеального трансформатора напруги  $U_x/U_0 \approx \omega_2/\omega_1$ . Отже,

$$Z_x = (\omega_2/\omega_1)(\omega_4/\omega_3)Z_0.$$

При зрівноважуванні моста змінюються співвідношення  $\omega_2/\omega_1$  і  $\omega_4/\omega_3$ , що дозволяє розширити діапазон вимірювання вимірюваної величини. Існують різні схемні рішення зміни цих співвідношень: зразкові опори з постійними і змінними значеннями; секціонована вторинна обмотка, що має відводи і дозволяє здійснювати ступеневе переключення зразкових опорів у різному поєднанні; секціонована первинна обмотка трансформатора струму.

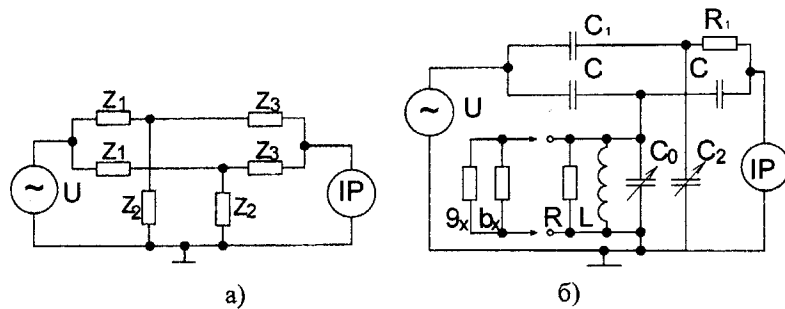


Рис. 5.8. Схеми Т-подібного подвійного моста

У трансформаторних мостах можливе роздільне, тобто незалежне врівноваження активної і реактивної складової комплексного опору. Вимірювання здійснюється методом заміщення.

*T-подібні одинарні мости* (рис. 5.7, а) застосовують для вимірювання опорів на високих частотах (до 30 МГц); їхня перевага полягає в можливості заземлення загальної точки, у якій з'єднані джерело живлення моста, індикатор рівноваги й один з опорів (заземлення дозволяє зменшити вплив ємнісних витоків у схемі і спростити проблему екрانування). Напругу на затисках індикатора рівноваги IP, що має високий опір ( $Z_i=\infty$ ), легко знайти, перетворивши трикутник опорів  $Z_1$ ,  $Z_3$ ,  $Z_4$  в еквівалентну зірку. В отриманій схемі змішаного з'єднання напруга на затисках 1, 2

$$U_{1,2} = U \frac{Z_1 Z_2 + Z_1 Z_3 + Z_2 Z_3 + Z_2 Z_4}{Z_1 Z_2 + Z_1 Z_3 + Z_1 Z_4 + Z_2 Z_3 + Z_2 Z_4}.$$

Умова рівноваги моста буде мати місце, якщо

$$Z_1 + Z_3 + Z_4 + \frac{Z_1 Z_3}{Z_2} = 0.$$

З цього виразу вимірюваний опір  $Z_x = Z_4$  можна виразити через відомі опори.

У схемі (рис. 5.8б) при визначенні активного опору  $R_x$  і індуктивності  $L_x$ , включеної в плечі  $Z_4$ , в інші плечі включають  $Z_1 = Z_3 = 1/j\omega C_0$ ;  $Z_2 = R_0$ . Тоді

$$L_x = \frac{2}{\omega^2 C_0}; R_x = \frac{1}{\omega^2 R_0 C_0^2}. \quad (5.2)$$

Недолік Т-подібного одинарного моста – необхідність використання високочастотних змінних опорів малого значення, створення яких пов'язане з низкою труднощів. Тому на практиці частіше використовують Т-подібний подвійний міст.

Умова рівноваги Т-подібного подвійного моста (рис. 5.8а) буде мати місце якщо

$$Z_1 + Z_3 + \frac{Z_1 Z_3}{Z_2} + Z'_1 + Z'_3 + \frac{Z'_1 Z'_3}{Z'_2} = 0.$$

Вимірювання активної  $g_x$  і реактивної  $b_x$  складових провідності (рис. 5.8б) здійснюють методом заміщення, що дозволяє зменшити вплив паразитних параметрів на результат вимірювання. Врівноваження моста без вимірюваного компонента отримують для  $C_0 = C_0'; C_2 = C_2'$ :

$$\frac{1}{R} = \omega^2 C^2 R_1 \left( 1 + \frac{C'_2}{C_1} \right); \frac{1}{\omega L} = \omega \left( C'_0 + 2C + \frac{C_2^2}{C_1} \right).$$

Умови врівноваження моста з під'єднаним компонентом:

$$\frac{1}{R} + g_x = \omega^2 C^2 R_1 \left( 1 + \frac{C''_2}{C_1} \right); \frac{1}{\omega L} - b_x = \omega \left( C''_0 + 2C + \frac{C_2^2}{C_1} \right).$$

Провідності  $g_x$ ,  $b_x$  визначаються як різниці двох вимірювань

$$g_x = \omega^2 C^2 R_1 \frac{C''_2 - C'_2}{C_1}; b_x = \omega (C'_0 - C''_0).$$

## 5.2. Резонансні вимірювачі імпедансу компонентів

Вимірювання параметрів компонентів і кіл на високих частотах виконують методом заміщення в поєднанні з явищами резонансу в колі [1]. Залежність резонансної частоти коливального контура від його індуктивності  $L$  і ємності  $C$  визначаються з виразу

$$f_0 = 1/(2\pi\sqrt{LC}). \quad (5.3)$$

На низьких частотах резонанс виявляється менш різко, тому вимірювання виконуються на високих частотах.

Резонансний прилад складається з генератора високої частоти ГВЧ, вимірювального коливального контура й індикатора резонансу – електронного вольтметра (рис. 5.9).

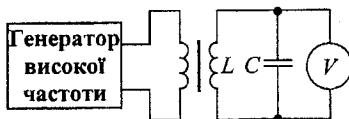


Рис. 5.9. Схема резонансного приладу для вимірювання  $L, C$

Як індикатор резонансу можна використовувати електронний вольтметр із великим входним опором, показання якого в момент резонансу максимальні. Якщо вимірювану індуктивність включити паралельно зразковому конденсатору і вимірювати резонансну частоту, то значення індуктивності  $L_x$  можна одержати з (5.2). Також можна визначити шукану ємність  $C_x$ , включивши її паралельно зі зразковою катушкою індуктивності. Щоб виключити вплив паразитних параметрів на результати вимірювання (ємність монтажу контура, паразитну ємність компонента, опори, внесені в коливальний контур генератором високої частоти й індикатором резонансу), резонансний спосіб застосовують у поєднанні з методом заміщення. У цьому випадку вимірювання виконують двічі.

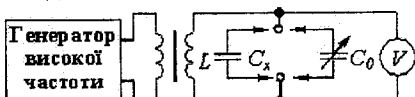


Рис. 5.10. Схема вимірювання  $C_x$  методом заміщення

Спочатку резонансний контур, що складається з індуктивності  $L$  і зразкової ємності  $C_0$ , настроюють у резонанс на частоту  $f_0$ ; при цьому фіксують значення  $f_0$  і ємності конденсатора  $C_{01}$ . Потім паралельно зразковому конденсаторові  $C_0$  підключають ємність  $C_x$  (рис. 5.10) і зміною (зменшенням) ємності зразкового конденсатора добиваються резонансу при тій же частоті  $f_0$ . Відповідне значення ємності буде  $C_{02}$ . Таким чином, зміною зразкової ємності компенсується включена в контур невідома ємність, тобто  $C_{01}=C_{02}+C_x$ , звідки

$$C_x = C_{01} - C_{02}.$$

Паралельне підключення  $C_x$  до  $C_0$  можливе для випадку, коли  $C_x < C_0$ . Якщо  $C_x > C_0$ , то виконують ті ж операції, але тільки при послідовному включенні  $C_x$  і  $C_0$ . Значення шуканої ємності при цьому

$$C_x = C_{01}C_{02}/(C_{02}-C_{01}),$$

де  $C_{02} > C_{01}$ .

Резонансний спосіб вимірювання індуктивності може бути використаний також у поєднанні з методом заміщення. На рис. 5.11 дана схема вимірювання малих індуктивностей  $L_x$ , що складають послідовний коливальний контур зі зразковим конденсатором  $C_0$ .

При першому і другому вимірюваннях відповідно

$$2\pi f_0 L = \frac{1}{2\pi f_0 C_{01}}; \quad 2\pi f_0 L + 2\pi f_0 L_x = \frac{1}{2\pi f_0 C_{02}}. \quad (5.4)$$

На підставі виразу (5.4) випливає, що

$$L_x = \frac{C_{01} - C_{02}}{4\pi^2 f_0^2 C_{01} C_{02}}.$$

Вишу точність вимірювання індуктивності  $L_x$  і ємності  $C_x$  дає поєднання методів заміщення при резонансі і нульових биттях.

Резонансним способом можливе вимірювання активного і повного опорів.

Одним з основних параметрів, що характеризують якість коливального контура й окремих його елементів, є добротність  $Q$ . На принципі резонансу працює вимірювач безпосередньої оцінки добротності – *куметр* (рис. 5.12). При резонансі в послідовному колі  $\omega L = 1/(\omega_0 C)$ , а добротність індуктивності компонента (вона дорівнює добротності контура, якщо знехтувати втратами в конденсаторі)

$$Q = \frac{\omega_0 L_K}{R_K} = \frac{1}{\omega_0 C_0 R_K} = \frac{U_{\text{ex}}}{U_{\text{ax}}},$$

де  $R_K$  – опір втрат контура в послідовному колі;  $U_{\text{ax}}$  – напруга, що вводиться в резонансний контур;  $U_{\text{ex}}$  – напруга на зразковому конденсаторі в момент резонансу в контурі.

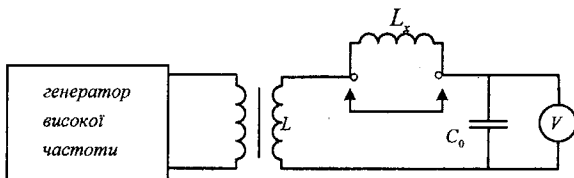


Рис. 5.11. Схема вимірювання  $L_x$  методом заміщення

Якщо підтримувати  $U_{\text{ex}}$  постійним, то  $U_{\text{aux}}$  буде пропорційне  $Q$  і, отже, шкала вихідного вольтметра  $V_2$  може бути відградуйована в одиницях добротності. Вхідна напруга, що вводиться у вимірювальний контур від генератора високої частоти ГВЧ через емнісний подільник напруги  $C_{01}, C_{02}$ , підтримується постійною за допомогою електронного вольтметра  $V_1$  (вольтметра рівня). У приладі є генератор фіксованої частоти для калібрування вольтметра „ $Q$ ”. Куметри можуть бути використані в діапазоні частот 50 кГц–250 МГц.

Для визначення повного опору  $Z_{\text{ex}}$  за допомогою куметра вимірювання виконують двічі без шуканого опору  $i$  з шуканим опором.

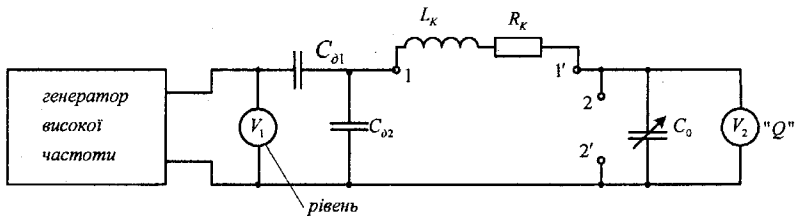


Рис. 5.12. Схема куметра

Послідовний коливальний контур, складений з допоміжною катушкою індуктивності  $L_K$ ,  $R_K$  (що входить у комплект куметра) і зразкового конденсатора змінної ємності  $C_0$ , настроюють у резонанс на частоту вимірювання  $f_0$ . При цьому фіксуються значення частоти  $f_0$ , ємності  $C_{01}$ , добротності контура  $Q_1$ . Потім досліджуваний елемент з опором  $Z_x$  ( $R_x, Q_x$ ) підключають або послідовно (якщо модуль  $Z_x$  – значення мале) з допоміжною катушкою, або паралельно (якщо модуль  $Z_x$  – значення велике) до зразкового конденсатора  $C_0$ . Контур за допомогою конденсатора  $C_0$  знову настроюється в резонанс на ту ж частоту. Зафіксовані значення  $f_0$ ,  $C_{02}$  і  $Q_2$  разом з даними, отриманими при першому вимірюванні  $C_{01}$  і  $Q_1$ , дають можливість визначити модуль  $Z_x$  і його складові  $R_x, X_x$ . Найчастіше куметр використовують для вимірювання великих опорів  $Z_x$ .

### 5.3. Вимірювання форми вольт-амперної характеристики приладів з від'ємним опором

Форма вольт-амперної характеристики приладів з ВО залежить від конструкції приладів і фізичних процесів, що зумовлює їхній принцип дії, однак вона може бути порівняно легко змінена. Якщо до приладу з ВО послідовно або паралельно підключити активний опір  $R$ , то вольт-амперна характеристика системи *прилад з ВО плюс опір R* стане помітно відрізнятися від вольт-амперної характеристики самого приладу. Змінюючи величину опору  $R$ , можна в широких межах змінювати форму вольт-амперної характеристики. Це можна пояснити на прикладі вольт-амперної характеристики статичного негатрона  $N$ -типу. При послідовному включенні приладу й активному опорі  $R$  нахил ділянки ВП на вольт-амперній характеристиці системи, що складається з негатрона  $N$ -типу і послідовно з'єднаного з ним активного опору  $R$  – збільшується (рис. 5.13а) [2]. Отже, збільшиться і середня величина від'ємної провідності  $G^{(-)}$ . При паралельному з'єднанні приладу й активного опору  $R$  (негатрону  $N$ -типу з характеристикою  $I_r = f(U)$  і паралельно з'єднаного з ним опору  $R$ ) середня величина від'ємної провідності  $G^{(-)}$  зменшиться (рис. 5.13б). На графічних побудовах відрізки  $I$ ,  $m$  і  $n$  відповідають струму  $I_n$  для різних величин  $R$ .

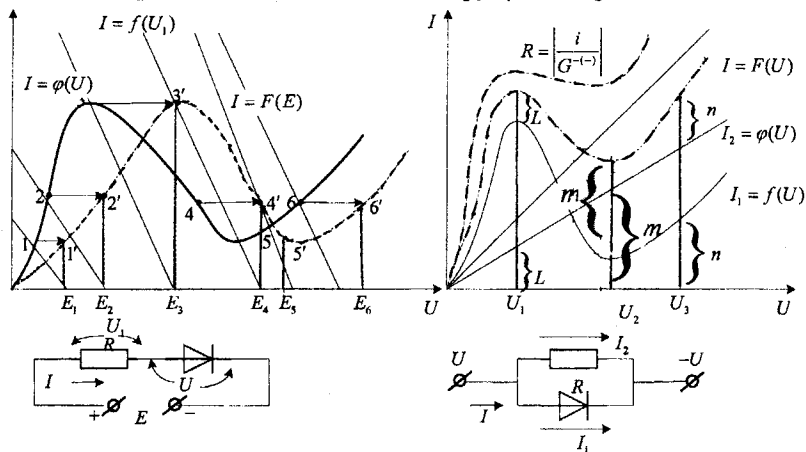


Рис. 5.13. Побудова вольт-амперних характеристик  $I=F(E)$  (а) і  $I=F(U)$  (б) системи – негатрон  $N$ -типу плюс активний опір

Побудови на рис. 5.14 ґрунтуються на тому, що при послідовно-

му включені приладу з ВО й активного опору через прилад і опір  $R$  тече одинаковий струм, а при паралельному з'єднанні спільною є напруга.

На рис. 5.14 показані вольт-амперні характеристики для випадків послідовного (рис. 5.14а) і паралельного (рис. 5.14б) включення негатронів  $S$ -типу й активного опору  $R$ . Принцип побудови цих характеристик аналогічний і тим, що на рис. 5.13.

Слід зазначити, що якщо для системи негатрон з ВО (або з ВП) плюс опір  $R$  величини ВО і ВП можна як збільшувати, так і зменшувати, підключивши відповідним чином опір  $R$ , то величина середньої від'ємної потужності, що виділяється на ділянці ВО або ВП вольт-амперної характеристики, при цьому завжди зменшується, оскільки скорочується ділянка ВО (ВП) (рис. 5.14).

Розглянутими вище способами зміни форми вольт-амперної характеристики користуються з метою одержання потрібного виду вольт-амперної характеристики або для зміни параметрів приладу з ВО. Так, наприклад, для вимірювання ємності тунельного діода резонансним методом паралельно з ним включають опір  $R$ .

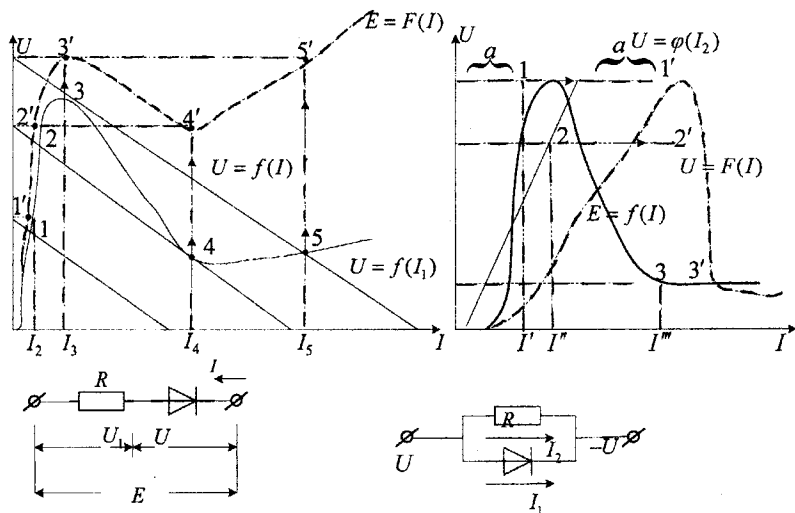


Рис. 5.14. Побудова вольт-амперних характеристик  $E=F(I)$  (а) і  $U=F(I)$  (б) системи негатрон  $S$ -типу плюс активний опір  $R$

У результаті провідність на ділянці ВП стає близькою до нуля (див.

рис. 5.13б, крива  $R^{(-)}=I/|G^{(-)}|$ ) і діод не шунтує помітно коливальний контур вимірювального приладу.

#### 5.4. Вимірювання параметрів тунельного діода

Труднощі вимірювання основних параметрів тунельних діодів пов'язані з наявністю ділянки від'ємної провідності на вольт-амперній характеристиці. Тому для таких вимірювань не можна використовувати апаратуру, застосовувану у випадку звичайних діодів.

При вимірюванні повинні бути вжиті заходи для запобігання переключення і виникнення генерації. Для цього повинні бути виконані такі умови стійкості [2]:

- 1) для постійного струму (запобігання переключення)

$$G_{\text{сум}} > |G^{(-)}|;$$

- 2) для змінного струму (запобігання генерації)

$$G_{\text{сум}} < \frac{L_{\text{сум}}}{|G^{(-)}|C}. \quad (5.6)$$

У цих нерівностях  $G_{\text{сум}}$  і  $L_{\text{сум}}$  – сумарні величини відповідно провідності й індуктивності вимірювального кола і тунельного діода. Ці умови можуть бути виконані при використанні відповідних схем і спеціальних вимірювальних головок (тримачів діода). Головка повинна мати малу індуктивність. На рис. 5.15 показана схема однієї з головок, використовуваних при знятті вольт-амперної характеристики тунельного діода.

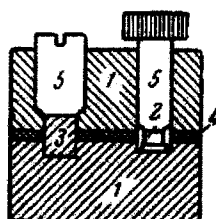


Рис. 5.15. Вимірювальна головка: 1 – масивні металеві електроди, що приєднуються до схеми; 2 – вимірюваний тунельний діод; 3 – малоіндуктивний опір (графітовий або германієвий); 4 – ізолятор; 5 – гвинти для кріplення діода й опору

Вольт-амперна характеристика може бути знята двома способами: або вимірюванням струму і напруги по точках, або за допомогою

характеріографа. В обох випадках ділянку від'ємної провідності можна зняти повністю тільки в разі дотримання умов (5.5) і (5.6).

Для виконання умов стійкості при безпосередньому включені діода у вимірювальне коло необхідне джерело живлення з малим внутрішнім опором і з'єднувальні проводи з малою індуктивністю, що на практиці здійснити досить важко. Зазвичай використовують мостову схему (рис. 5.16), в одне плече якої включають вимірюваний діод. Дисбаланс моста між точками  $A$  і  $B$ , що виникає при підключені діода, пропорційний струму через діод. Дійсно, відповідно до прийнятих на рис. 5.16 позначень

$$U' = U - \frac{U_1 + U}{r_3 + r_4} r_4 = -\left(U_1 - \frac{r_3}{r_4} U\right) \frac{r_4}{r_3 + r_4};$$

$$i_1 = \frac{U_1}{r_1}; \quad i_2 = \frac{U}{r_2}.$$

звідки

$$i_3 = i_1 - i_2 = \left(U_1 - \frac{r_3}{r_2} U\right) \frac{1}{r_1}.$$

Перед вимірюванням міст балансують. Тому

$$\frac{r_1}{r_2} = \frac{r_3}{r_4};$$

$$|U'| = \frac{r_1 r_4}{r_3 + r_4} |i_3|.$$

Схема, що показана на рис. 5.16 може бути використана як для спостереження вольт-амперної характеристики на осцилографі, так і для зняття характеристики по точках. В останньому випадку в діагоналі моста (між точками  $A$  і  $B$ ) включається міліамперметр, а паралельно тунельному діоду — вольтметр.

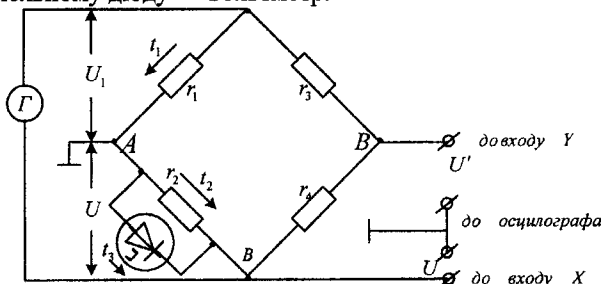


Рис. 5.16. Мостова схема для вимірювання вольт-амперної характеристики тунельного діода

У наведеній схемі умова стійкості за постійним струмом досягається завдяки підключенням паралельно тунельному діодові малого безіндуктивного опору  $r_2 \leq |R^{(-)}|$ . У цьому випадку сумарна провідність між точками A і B стане позитивною (рис. 5.16). Стійкість за змінним струмом забезпечується застосуванням малоіндуктивної головки.

Від'ємна провідність  $G^{(-)}$  може бути визначена за нахилом дотичної до відповідних точок вольт-амперної характеристики. Котангенс кута нахилу дотичної до осі абсцис дорівнює  $\operatorname{ctg} \alpha = R^{(-)} + r_s$ , тобто для точного визначення величини  $G^{(-)}$  варто враховувати послідовний опір  $r_s$ . Для діодів з малими значеннями струму ( $I_P < 5$  мА)  $r_s \ll R^{(-)}$ , тому  $\operatorname{ctg} \alpha \approx R^{(-)}$  або  $\operatorname{tg} \alpha \approx G^{(-)}$ .

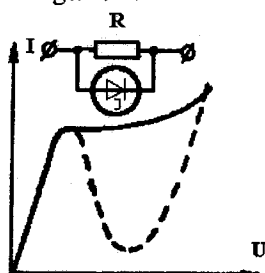


Рис. 5.17. Вольт-амперна характеристика паралельного з'єднання тунельного діода й опору

Величину  $G$  можна також виміряти, підключаючи паралельно діоду відомий позитивний опір  $R$ . Змінюючи величину  $R$  для даної напруги зсуву, можна знайти  $G^{(-)}=I/R$ . У цьому випадку дотична до сумарної вольт-амперної характеристики діода на ділянці обраної напруги зсуву буде паралельна осі абсцис (рис. 5.17). Змінюючи напругу зсуву, можна зняти залежність  $|G^{(-)}|=f(U)$  на всій ділянці ВП вольт-амперної характеристики тунельного діода.

Інший метод вимірювання  $G^{(-)}$  полягає в реєстрації напруги, що зміщується з навантажувального опору, під'єднаного послідовно тунельному діоду. Суть методу полягає в тому, що поряд з постійним зсувом на тунельний діод подається слабкий модульований сигнал, що з навантажувального опору надходить на підсилювач. Тому зі зміною напруги зсуву відповідно буде змінюватись, завдяки різній крутизні вольт-амперної характеристики, амплітуда змінного сигналу на навантажувальному опорі. Про величину диференціальної провідності (алгебраїчної суми  $G+1/r_s$ ) судять за величиною підсиленого сигналу. При цих вимірюваннях варто забезпечити дотримання умов стійкості

систем з ВО і сталості коефіцієнта підсилення сигналу, що надходить з навантажувального опору.

Очевидно, що максимальна диференціальна провідність буде відповідати ділянці з найбільшою крутізною. Наприклад, підсилений сигнал буде дорівнювати нулю в точках, що відповідають  $I_p$ ,  $I_u$ , і повинен мати максимум на ділянці ВП. Якісно така залежність показана на рис. 5.18.

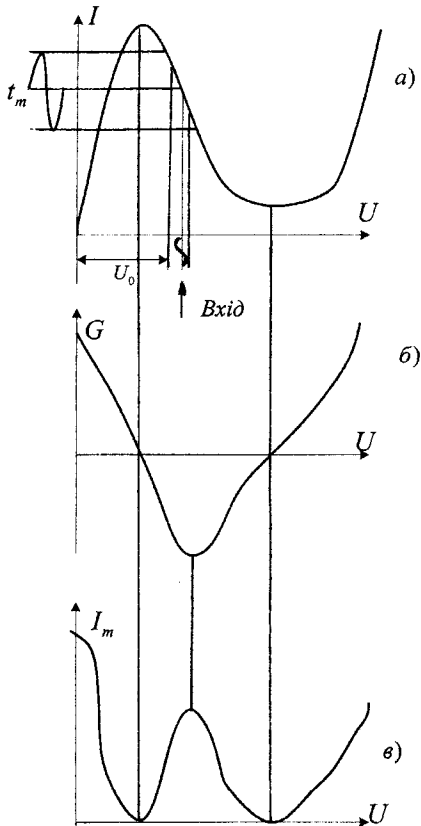


Рис. 5.18. Зміна провідності і посиленого сигналу для різних ділянок вольт-амперної характеристики тунельного діода: *а* – вольт-амперна характеристика тунельного діода; *б* – крива диференціальної провідності; *в* – зміна підсиленого сигналу;  $I_m$  – модульований сигнал, що надходить у підсилювач;  $U_0$  – напруга зсуву в робочій точці

Практично вимірювання проводять у такий спосіб. На тунельний діод (рис. 5.19) подається постійний зсув від джерела з малим внутрішнім опором (порядку 1Ом) і змінну напругу від генератора малої амплітуди ( $\sim 1$  мВ), що має також малий внутрішній опір. При досить великому опорі постійному струмі кола стабілізації ( $\sim 100$ кОм) струм в опорі навантаження  $R_4$  буде визначатися величиною диференціально-го опору тунельного діода. Тоді з опору  $R_4$  можна знімати напругу, пропорційну величині  $di/dU$ , тобто диференціальної провідності. Виконавши градуювання приладу на виході підсилювача в одиницях провідності, при відомому  $R_1$  можна визначити залежність провідності від напруги зсуву для будь-якої ділянки ВАХ.

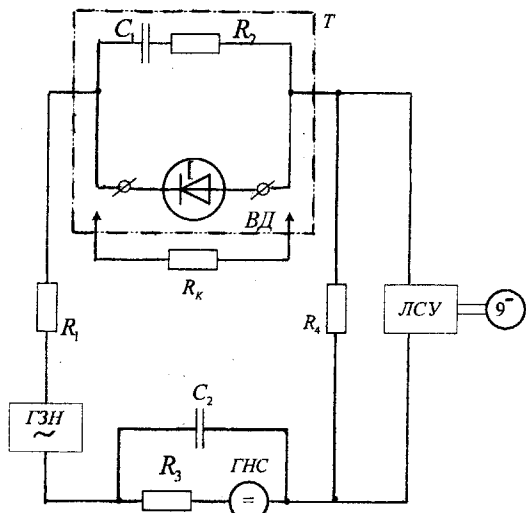


Рис. 5.19. Принципова блок-схема вимірювання диференціальної провідності тунельного діода

## 5.5. Вимірювання параметрів негатронів з р-п-р-структурою

Основними параметрами негатронів з р-п-р-структурою є статичні параметри час переключення зі стану «закрито» у стан «відкрито» і реактивні параметри (емність і індуктивність), обумовлені вольт-амперною характеристикою. Для вимірювання статичних параметрів досить зняти вольт-амперну характеристику негатрона. Оскільки не-

гатрони з р-п-р-п-структурою мають вольт-амперну характеристику  $S$ -типу, для визначення статичних параметрів необхідно використовувати генератор струму. Внутрішній опір генератора  $R_i$  повинен бути на багато більшим диференціального опору приладу на будь-якій ділянці вольт-амперної характеристики. У цьому випадку буде неможлива лавиноподібна зміна струму на ділянці ВО внаслідок дії внутрішнього позитивного зворотного зв'язку. Практично для цього необхідно виконати умову  $R_i > |R^{(c)}|$ . У іншому випадку зняти ділянку ВО на вольт-амперній характеристиці не вдається, тому що для  $R_i < |R^{(c)}|$  можливі три точки перетинання навантажувальної прямої з вольт-амперною характеристикою (рис. 5.20), одна з яких (на ділянці ВО) буде нестійкою. Однак навіть у випадку виконання умови  $R_i >> |R^{(c)}|$  може виникнути генерація на ділянці ВО, що призведе до помилок у вимірюванні вольт-амперної характеристики.

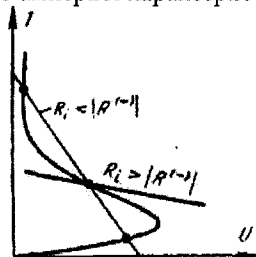


Рис. 5.20. Можливі стани схеми з ВО:  $R_i < |R^{(c)}|$  – нестійкий стан;  $R_i > |R^{(c)}|$  – стійкий стан

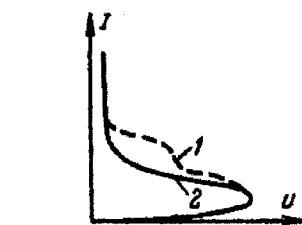


Рис. 5.21. Вольт-амперна характеристика діністора: 1 – за наявності генерації на ділянці ВО; 2 – генерація відсутня

На рис. 5.21 показані вольт-амперні характеристики діністора для випадків наявності і відсутності генерації на ділянці ВО. Виникнення генерації пов'язане з впливом паразитної ємності  $C_n$  (рис. 5.22), шунтуючого негатрона з ВО.

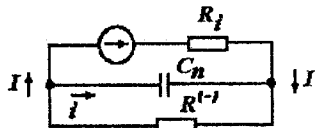


Рис. 5.22. Високочастотна еквівалентна схема р-п-р-п-структурі для зняття вольт-амперної характеристики

Незважаючи на те, що струм  $I$  у вимірювальному колі підтримується постійним, у контурі, утвореному негатроном з ВО і паразитною

ємністю  $C_n$ , можуть виникнути коливання. Здатність до самозбудження буде тим сильнішою, чим більші паразитна ємність і опір  $R$ . Умова стабільноти на ділянці ВО за змінним струмом має вигляд

$$R_i < \frac{L}{|R^{(-)}|C}.$$

Найзручнішим джерелом струму є схема з від'ємним зворотним зв'язком за струмом.

Реактивні параметри  $C$  і  $L$  найскладніші для вимірювання. На зростаючій ділянці I (див. рис. 5.20) р-п-р-п-структурна має ємнісний характер реактивності, тому що вона являє собою послідовне з'єднання трьох р-п-переходів. На ділянці II починає діяти позитивний зворотний зв'язок за струмом, і ємнісний характер реактивності змінюється на індуктивний. Оскільки опір на ділянці I великий, ємність можна вимірювати за допомогою нескладної приставки до куметра. Положення робочої точки задається за допомогою генератора струму. Для більшості приладів ємність вимірюється на ділянці I у точці, що відповідає  $U=1/2 U_{\text{вимк}}$ .

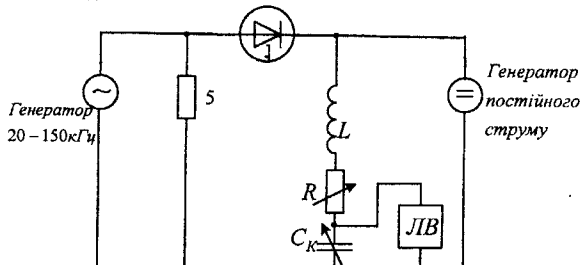


Рис. 5.23. Схема для вимірювання індуктивності р-п-р-п-структурни на ділянці ВО

Схема для вимірювання індуктивності на ділянці ВО показана на рис. 5.23. Величина індуктивності визначається за допомогою індикатора зміни резонансної частоти коливального контура

$$f_p = \frac{1}{2\pi\sqrt{LC_k}},$$

при включені в нього негатрона з ВО. Якщо резонансна частота змінилася на  $\Delta f$ , то величину індуктивності можна визначити за формулою

$$L = \frac{4\pi^2 \Delta f^2 L C_k}{1 - 4\pi^2 \Delta f^2 C_k}. \text{ Опір } R \text{ служить для уникнення генерації.}$$

## **Перелік літератури до розділу 5**

1. Атамалян Э.Г. Приборы и методы измерения электрических величин: Уч. пособ. – М.: Высшая школа, 1982. – 223 с.
2. Гарянов С.А., Абезгауз И.Д. Полупроводниковые приборы с отрицательным сопротивлением. – М.: Энергия, 1970. – 320 с.

## РОЗДІЛ 6

# ВИМІРЮВАННЯ ПАРАМЕТРІВ БЕЗСТРУКТУРНИХ МОДЕЛЕЙ ПОТЕНЦІЙНО НЕСТАЙКІХ ЧОТИРИПОЛЮСНИКІВ

### 6.1. Стандартні методи вимірювання параметрів безструктурних моделей чотириполюсників

Методи вимірювання параметрів безструктурних моделей "прийшли" у напівпровідникову електроніку з лампової електроніки. В основі цих методів лежить положення, що будь-який багатополюсник можна подати у вигляді з'єднання елементарних чотириполюсників [1–4]. Це дозволяє звести проблему вимірювання параметрів багатополюсника до вимірювання параметрів складових його елементарних чотириполюсників [5].

Для однозначного визначення чотириполюсника необхідно знати напруги  $U_1$ ,  $U_2$  і струми  $I_1$ ,  $I_2$  на його вході і виході, відповідно. За незалежні змінні можна взяти будь-які дві з цих величин, а дві інші – подати у вигляді функції незалежних змінних. Тому можливі шість способів опису електричних властивостей чотириполюсника. Найширше застосування одержали тільки чотири способи опису, які характеризуються системами  $Z$ -,  $Y$ -,  $H$ - і  $G$ - параметрів [6].

Усі методи вимірювання параметрів безструктурних моделей чотириполюсників можна розділити на стандартні методи вимірювання параметрів у режимі короткого замикання (КЗ) і холостого ходу (ХХ), стандартні методи вимірювання параметрів при фіксованому навантаженні  $Z_0$  і нестандартні методи вимірювання параметрів (рис. 6.1) [7–9].

Система  $Z$ -параметрів (параметрів холостого ходу) застосовується для чотириполюсників, що мають малі вхідний і вихідний опори. Застосовуючи систему  $Z$ -параметрів, одержують еквівалентну схему, у якій кожний з параметрів на низьких частотах добре узгоджується з фізичними і конструктивними параметрами, наприклад транзистора. Така система використовується для розрахунку й аналізу як аналогових, так і імпульсних пристройів. Її недоліком є велика похибка вимірювання параметрів  $Z_{11}$  для біполярних і  $Z_{22}$  для польових транзисторів, а також неможливість забезпечення режиму ХХ на високих частотах.



Рис. 6.1. Класифікація методів вимірювання параметрів безструктурних моделей чотириполюсників

Система  $Y$ -параметрів (параметрів короткого замикання) застосовується для транзисторів, що мають великі вхідні і вихідні опори. Тому систему  $Y$ -параметрів переважно використовують у дослідженнях польових транзисторів. Її недоліком є велика похибка вимірювання  $Y_{11}$  на низьких частотах і неможливість забезпечення режиму КЗ на високих частотах.

На відміну від  $Z$ - або  $Y$ -параметрів,  $H$ - і  $G$ -параметри мають різну розмірність, тому що в якості незалежних змінних використовуються різні за розмірністю величини: вхідний струм і вихідна напруга для  $H$ -параметрів; вхідна напруга і вихідний струм для  $G$ -параметрів. Тому  $H$ -параметри доцільно застосовувати для чотириполюсників з малим вхідним і великим вихідним опорами, а  $G$ -параметри – для чотириполюсників з великим вхідним і малим вихідним опорами. Недоліком систем  $H$ - і  $G$ - параметрів є складність формул, застосовуваних для розрахунку й аналізу електронних пристрій. Крім того для їхнього вимірювання також необхідно забезпечувати режими КЗ і ХХ, що неможливо зробити на високих і особливо на надвисоких частотах. Проте ці параметри продовжують використовуватися при проектуванні низькочастотних пристрій до частоти порядку 1 ГГц. Для їхнього

вимірювання випущена спеціалізована апаратура (Л2-2, Л2-12 і ін.), а методи їхнього вимірювання стандартизовані [10].

Поява на початку 60-х років біополярних транзисторів, здатних підсилювати і генерувати електромагнітні коливання на частотах у декілька ГГц, поставило перед розробниками задачу вимірювання параметрів їхніх безструктурних моделей. Спроби здійснити вимірювання на цих частотах  $Y$ -,  $Z$ -,  $H$ - або  $G$ -параметрів виявилися безуспішними в зв'язку з труднощами, а часто і неможливістю реалізації режимів КЗ або ХХ на клемах напівпровідникового приладу.

З огляду на те, що в діапазоні НВЧ практика вимірювань оперує з величинами, що характеризують хвильовий процес (комплексними коефіцієнтами відбиття і пропускання), було запропоновано на цих частотах чотириполюсники також описувати хвильовими параметрами. Найширше застосування одержали хвильові параметри передачі ( $T$ -параметри) і хвильові параметри розсіювання ( $S$ -параметри) [11].

Для вимірювання комплексних значень  $S$ -параметрів чотириполюсників широко використовуються панорамні вимірювачі комплексних коефіцієнтів відбиття і передачі [12]. Основні типи цих вимірювачів і їхніх характеристик подані в табл. 6.1.

Функціональні схеми цих вимірювачів являють собою модернізацію схем (рис. 6.2 і 6.3), де суміщення функцій вимірювання характеристик відбиття і передачі ( $S_{11}$ ,  $S_{22}$ ,  $S_{12}$ ,  $S_{21}$ ) досягається шляхом застосування комутаторів у НВЧ тракті.

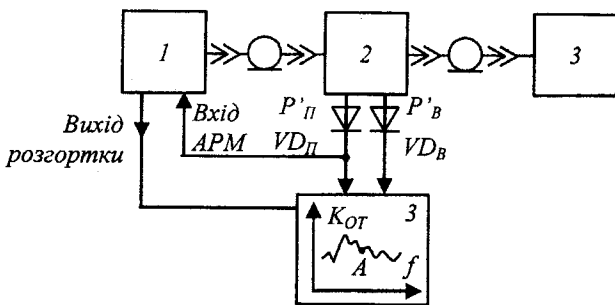


Рис. 6.2. Функціональна схема панорамного вимірювача КСВ:  
1 – ГХЧ; 2 – рефлексометр; 3 – панорамний індикатор;  
4 – вимірюваний пристрій

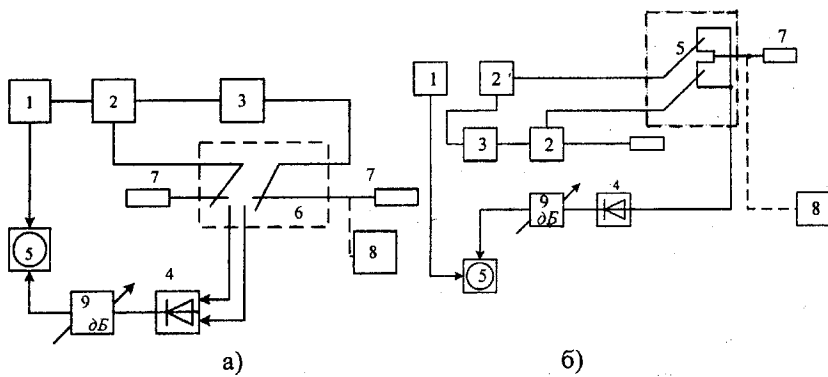


Рис. 6.3. Функціональні схеми автоматизованого вимірювача загасання (а) і посилення (б): 1 – ГХЧ, 2, 2' – направлени відгалужувачі; 3 – вимірюваний пристрій; 4 – детектор, 5 – осцилографічний індикатор; 6 – двоканальний перемикач; 7 – погоджене навантаження; 8 – вимірювач потужності; 9 – калібруваний атенюатор низької частоти

Таблиця 6.1

Вимірювачі комплексних значень коефіцієнтів відбиття і передачі

| Параметр  | Панорамні вимірювачі S-параметрів    |                                      |  |
|---|--------------------------------------|--------------------------------------|--|
|   | P4-23                                | P4-36                                | PK4-10                                 |
| Діапазон частот, ГГц                                | 1–4                                  | 4–12,05                              | 0,11–4                                 |
| Межі вимірювання $K_{ct\ U}$                        | 1,05–2                               | 1,1–2                                | 1,1–2                                  |
| Похибка вимірювання $K_{ct\ U}$ , %                 | ±5                                   | ±5                                   | ±7,5                                   |
| Межі вимірювання фази коефіцієнта відбиття, рад.    | 0...±180                             | 0.. ±180                             | 0... + 180                             |
| Похибка вимірювання фази коефіцієнта відбиття, рад. | $\pm[(12/\Gamma_x)+4]$               | $\pm[(12/\Gamma_x)+2]$               | $\pm(0,03A_x+0,7)$                     |
| Межі вимірювання коефіцієнта передачі, дБ           | + 10... – 70                         | –60... +30                           | –60... +30                             |
| Похибка вимірювання модуля коефіцієнта передачі, дБ | $\pm(0,03A_x+0,7)$                   | $\pm(0,03A_x+0,3)$                   | $\pm(0,03A_x+0,5)$                     |
| Межі вимірювання фази коефіцієнта передачі, рад.    | 0...±270                             | 0...±180                             | 0...±360                               |
| Похибка вимірювання фази коефіцієнта передачі, рад. | $\pm(0,1A_x+$<br>$+0,02\varphi_x+5)$ | $\pm(0,1A_x+$<br>$+0,02\varphi_x+3)$ | $\pm(0,075A_x+$<br>$+0,03\varphi_x+1)$ |

Приклад функціональної схеми такого вимірювача наведена на рис. 6.4. Відмінною рисою цієї схеми є застосування вимірювача комплексних відношень, що включає в себе вимірювач відношень амплітуд і вимірювач різниці фаз сигналів, вимірюваних у вимірювальному *A* і опорному *B* каналах. Фазообертач використовується для компенсації початкового фазового зсуву, внесеного вимірюванням пристроям 5. Вимірювана різниця фаз визначається різницею двох значень фаз:  $\Delta\varphi_{\text{вим}} = \varphi_i - \varphi_f$ , де  $\varphi_i$  – фазовий кут сигналу на вході або на виході вимірюваного пристроя;  $\varphi_f$  – фазовий кут сигналу на виході фазообертача. При вимірюванні фазочастотної характеристики пристроям 5 необхідно знати фазочастотну характеристику фазообертача, що компенсує фазові зсуви вимірювального каналу. Тому зручно в якості останніх використовувати відрізки недисперсійних ліній передачі (коаксіальні фазообертачі тромбонного типу).

Базовими приладами панорамних вимірювачів *S*-параметрів є вимірювачі Р4-37 і Р4-38, в яких використовуються мікропроцесор, що забезпечує автоматичне калібрування, вибір меж і режимів вимірювання, а також самодіагностування. Частотні характеристики вимірюваних пристройів відображаються в полярній і декартовій системах координат і забезпечують цифровий відлік вимірюваних величин. Основні характеристики вимірювачів *S*-параметрів наведені в табл. 6.2.

Необхідною умовою отримання невеликих похибок вимірювань є збереження постійним хвильового опору вимірювального тракту (зазвичай 50 або 75 Ом) і якісні узгоджені навантаження з коефіцієнтом стоячої хвилі напруги (*KСХН*<1,05). Однак, як показали експериментальні дослідження транзисторів, похибки вимірювань їхніх *S*-параметрів можуть значно зрости.

Перша причина значного росту похибок з ростом частоти при вимірюванні хвильових параметрів пов'язана з неможливістю забезпечити сталість хвильового опору у всіх перетинах вимірювального тракту. Наприклад, на частоті 1 ГГц при величині неузгодженості з *KСХН*=1,2 похибка вимірювання *S*-параметрів складає 20% [14]. Типові значення *KСХН* роз'ємів, до яких підключається досліджуваний об'єкт, знаходяться в межах 1,2–1,5.

Друга причина росту похибок виявляється в міру вдосконалювання транзисторів і росту їхніх граничних частот. Справа полягає в тому, що "ідеальний" транзистор, що включається за схемою чотириполюсника, є потенційно нестійким у широкому діапазоні частот. Але ця потенційна нестійкість залежить від величини і характеру імітансів, що підключаються до його вхідних і вихідних клем.

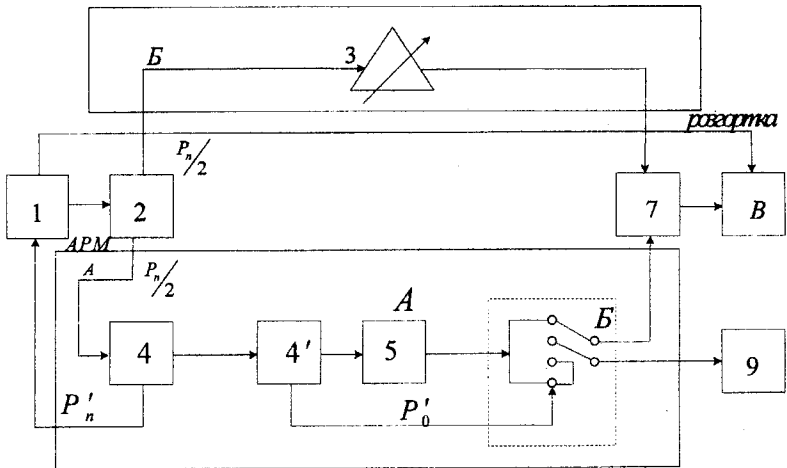


Рис. 6.4. Функціональна схема вимірювача комплексного значення коефіцієнтів передачі і відбиття: 1 – ГХЧ; 2 – розгалужувач; 3 – фазообертач; 4, 4' – направлениі відгалужувачі; 5 – вимірюваний пристрій; 6 – перемикач; 7 – вимірювач комплексних відношень; 8 – осцилограф; 9 – узгоджене навантаження

Таблиця 6.2

Характеристики вимірювачів S-параметрів

| Параметр                                    | P4-37  | P4-38                        |
|---|--|------------------------------|
| Діапазон частот, ГГц                        | 0,001–1,25                                     | 1,25–5                       |
| Межі вимірювання:<br>KCXH                   | 1,05–2   | 1,04–2                       |
| коєфіцієнта передачі, дБ                    | –80...+30                                      | –80 ..+30                    |
| фази коєфіцієнта передачі і відбиття, град. | 0...±180                                       |                              |
| Похибки вимірювання:<br>KCXH, %             | ±2,4K <sub>cm U</sub>                          | ±3,2K <sub>cm U</sub>        |
| фази коєфіцієнта відбиття, град.            | ±(1,5 + 4Γ <sub>x</sub> + 0,5/Γ <sub>x</sub> ) | ±(8/Γ <sub>x</sub> + 1,5)    |
| коєфіцієнта передачі, дБ                    | ±(0,01A <sub>x</sub> + 0,3)                    | ±(2,5 + 0,07A <sub>x</sub> ) |
| фази коєфіцієнта передачі, град.            | ±(2 + 0,05A <sub>x</sub> )                     | ±(0,07A <sub>x</sub> + 2,5)  |

Примітка.  $A_x$ ,  $K_{cm U}$ ,  $\Gamma_x$  – вимірювані значення модуля коефіцієнта передачі, KCXH і модуля коефіцієнта відбиття відповідно.

З огляду на трансформувальні властивості довгих ліній вимірювального тракту, навіть невелика неузгодженість у якомусь перерізі

вимірюваного тракту може привести до самозбудження вимірювальної установки (що експериментатор може і не знайти, а визнати результат вимірювань за правильний). Хоча перші НВЧ транзистори мали великий запас стійкості за рахунок дисипативних втрат у пасивній частині кристала транзистора ця проблема не виникла.

## 6.2. Нестандартні методи вимірювання параметрів безструктурних моделей чотиріполюсників

Сучасні НВЧ транзистори, за своїми параметрами все більше наближаються до "ідеальних", що обумовлює зниження точності вимірювання їхніх  $S$ -параметрів. Тому, незважаючи на випуск промисловістю різноманітного набору апаратури для вимірювання  $S$ -параметрів (ДК4-10, Р4-11, Р4-23, Р4-37, Р4-38 і ін.), а також наявність на ринку аналогічної апаратури таких відомих фірм, як Hewlett Packard і Rohde Schwarz, результати вимірювання хвильових  $T$ - і  $S$ -параметрів стандартними методами в частотному діапазоні вище 5 ГГц варто розглядати як якісні (хоча на якісь одній частоті вимірювання можуть бути здійснені з достатньою для проектувальника точністю).

Один з можливих шляхів розв'язання перерахованих вище проблем запропонований Н.З. Шварцем [14]. Показано, що при проектуванні НВЧ підсилювачів немає необхідності використовувати всю систему  $S$ -параметрів, а лише систему таких параметрів:  $\Gamma_{11}, S_{12}, S_{21}, \Gamma_{22}$  (де  $\Gamma_{11}$  і  $\Gamma_{12}$  – коефіцієнти відбиття від входу і виходу чотиріполюсника, відповідно), які він назвав системою нестандартних  $S$ -параметрів, вимірюваних з вищою точністю, ніж стандартні  $S$ -параметри.

Пропонуються дві системи нестандартних  $S$ -параметрів. Перша з них – система симетричних, друга – несиметричних  $S$ -параметрів.

Система нестандартних симетричних  $S$ -параметрів. Для опису чотиріполюсника навантаженого на довільні (нестандартні) комплекслі опори запропонована система параметрів, у якій передатні характеристики вимірюються в стандартному режимі чотиріполюсника, включеного в розрив узгодженого на кінцях лінії. При вимірюванні коефіцієнтів відбиття стандартна лінія, що навантажує чотиріполюсник, замінюється на довільне, як правило, робоче навантаження. Вимірювання коефіцієнтів відбиття виконуються в тій же стандартній лінії, під'єднаний до входу пристрою.

Таким чином, система містить у собі такі параметри:

$$\Gamma_{11}, S_{12}, S_{21}, \Gamma_{22}. \quad (6.1)$$

Запропонована система є повною і дозволяє здійснити однозначний перехід від цієї системи до системи стандартних  $S$ -параметрів.

Система симетричних  $S$ -параметрів (6.1) або в окремому випадку двобічного узгодження ( $\Gamma_{11m}$ ,  $S_{12}$ ,  $S_{21}$ ,  $\Gamma_{22m}$ ) містить безпосередню інформацію про один з найважливіших параметрів чотиріполюсника – коефіцієнт відбиття навантажень, що реалізують режим двобічного узгодження. Інша важлива характеристика чотиріполюсника в цьому режимі – інваріантний коефіцієнт стійкості

$$K_c = (1 + |S^l_{12}|^2 |S^l_{21}|^2) / 2 |S^l_{12}| |S^l_{21}|$$

і коефіцієнт передачі в прямому напрямку  $K_{nom,1,2,np} = |S^l_{21}|^2$ , та у зворотному  $K_{nom,1,2,ro} = |S^l_{12}|^2$  є в цій системі розрахунковими параметрами.

*Система нестандартних несиметричних  $S$ -параметрів.* Система хвильових параметрів, відмінна від вище розглянутої, містить у собі  $\Gamma_{11m}$ ,  $\Gamma_{22m}$ ,  $|S_{12}|$ ,  $|S_{21}|$ ,  $|S_{22}|$ ,  $|S_{11}|$ ,  $\varphi_{21} - \varphi_{12}$ . У несиметричній системі нестандартних  $S$ -параметрів замість фазових кутів коефіцієнтів передач поєднується їхня різниця  $\varphi_{21} - \varphi_{12}$ , а також модуль коефіцієнта передачі  $|S^l_{21}|$  у режимі двобічного узгодження. Введення цієї системи переслідує ту ж мету – вибрати в якості вимірюваних параметрів основні і необхідні для розрахунку чотиріполюсника і зменшити тим самим похибку їхнього визначення. Система несиметричних  $S$ -параметрів не є повною, оскільки вона не визначає значень фаз коефіцієнтів передачі однозначно. В результаті система несиметричних  $S$ -параметрів формально зводиться до системи симетричних  $S$ -параметрів. Проте ці системи не адекватні одна одній, оскільки для усунення згаданої неоднозначності потрібні не точні, а лише наближені значення фазових кутів. Після усунення неоднозначності система нестандартних симетричних  $S$ -параметрів буде повною. Переваги цієї системи (навіть якщо вказану неоднозначність не усунуто) зводяться до таких: 1) вона містить безпосередню інформацію про коефіцієнти відбиття навантажень, що реалізують режими двобічного узгодження  $\Gamma_{m1} = \Gamma^*_{11m}$ ;  $\Gamma_{m2} = \Gamma^*_{22m}$  і коефіцієнти підсилення (квадрат модуля коефіцієнта передачі в прямому напрямку)  $K_{nom,1,2,np} = |S^l_{21}|^2$  у цьому режимі; 2) значення коефіцієнта передачі в зворотному напрямку  $|S^l_{21}|$  і інваріантного коефіцієнта стійкості – розрахункові параметри в цій системі – містять лише модулі вимірюваних величин і пов'язані з ними елементарними співвідношеннями  $|S^l_{12}| = |S^l_{21}| |S_{12}| / |S_{21}|$  [15]; 3) контроль точності розрахунку  $|S^l_{21}|$  може бути досить точно здійснений експериментально.

Техніка вимірювань і оцінка похибок стандартних  $S$ -параметрів відомі [12, 16]. Тут доречно лише наголосити, що основні похибки

цих вимірювань пов'язані з неточностями реалізації стандартних навантажень і невизначеністю внаслідок їхніх імпедансів. При розрахунку інваріантного коефіцієнта стійкості  $K$ , узгоджувальних кіл і підсилення, ці похибки можуть призводити до неприпустимо великих помилок. Так, обчислене на основі стандартних  $S$ -параметрів значення  $K$  виявляється меншим одиниці, хоча в дійсності чотириполюсник безумовно стійкий (тобто  $K>1$ ).

Розрахунок за допомогою нестандартних  $S$ -параметрів точніший, оскільки, як вже згадувалося, найважливіша інформація отримується безпосередньо з вимірювань коефіцієнтів відбиття, виконуваних з необхідною точністю. Техніка вимірювання нестандартних  $S$ -параметрів зводиться до двобічного узгодження транзистора за допомогою трансформаторів і вимірювання реалізованих узгоджувальних навантажень [14]. Не викликає труднощів і вимірювання модулів коефіцієнтів передач у цьому режимі, необхідних для опису транзисторів за допомогою системи несиметричних  $S$ -параметрів.

Зупинимося трохи докладніше на питанні вимірювання різниці фаз коефіцієнтів передачі – единого фазового параметра в цій системі. Перевага вимірювань різниці фаз  $\varphi_{21}$ ,  $\varphi_{12}$  замість абсолютнох значень цих фаз полягає в тому, що при різницевих вимірюваннях усуваються помилки, що виникають у результаті калібрування, тобто визначення положень відлікових площин. Друга важлива перевага різницевих фазових вимірювань полягає в тому, що вони не залежать від неоднорідностей вимірювального тракту, якщо останнім не властива невзаємність [6]. Для усунення неоднозначності  $\varphi_{21}+\varphi_{12}$  необхідна додаткова інформація. Найчастіше потрібне значення  $\varphi_{21}+\varphi_{12}$  може бути відібране виходячи з фізичних міркувань, в інших випадках можуть знадобитися додаткові вимірювання (наприклад,  $S_{11}$  і  $S_{22}$ ) з наступним розрахунком  $S_{12}S_{21}$  або прямі фазові вимірювання  $\varphi_{21}$ . Однак ці вимірювання, що мають за мету усунення неоднозначності можуть бути лише якісними.

Наступним кроком до підвищення точності вимірювання параметрів безструктурних моделей чотириполюсників є використання методу "плаваючого навантаження". Справа в тому, що в основі стандартних методів вимірювання параметрів безструктурних моделей лежить одна загальна умова: сталість імітансів, які підключаються на вході або виході чотириполюсника ( $W_I=\text{const}$ ,  $W_H=\text{const}$ ), що практично виконати досить складно. Так при вимірюванні  $Y$ -параметрів повинна дотримуватися умова:  $Z_I=0$  або  $Z_H=0$ . При вимірюванні  $Z$ -параметрів:  $Z_I=\infty$  або  $Z_H=\infty$ . При вимірюванні  $S$ -параметрів:  $Z_I=Z_0$ ,  $Z_H=Z_0$ , де  $Z_0$  – хвильовий опір вимірювального тракту.

У роботі [9] запропоновано непрямий метод вимірювання нестандартної системи  $W$ -параметрів чотириполюсника  $W_{11}$ ,  $W_{22}$ ,  $\text{Re}(W_{12}W_{21})$ ,  $\text{Im}(W_{12}W_{21})$ ,  $|W_{12}W_{21}|$  у НВЧ діапазоні за результатами вимірювання його входного  $W_{ex}$  і вихідного  $W_{aux}$  імітансів при довільному і неконтрольованому імітансі навантаження  $W_H$  і генератора  $W_G$ . В основі цього методу лежить властивість чотириполюсника, відповідно до якого його входний  $W_{ex}$  і вихідний  $W_{aux}$  імітанси залежать від реактивної складової імітансу відповідно навантаження  $\text{Im}W_H$  і генератора  $\text{Im}W_G$  і ці залежності на комплексній площині представляють кола (рис. 6.5) з радіусами [17, 18]:

$$\rho_{ex} = \frac{|W_{12}W_{21}|}{2 \operatorname{Re} W_{22}}; \quad (6.2)$$

$$\rho'_{ex} = \frac{|W_{12}W_{21}|}{2 \operatorname{Re}(W_{22} + W_H)}; \quad (6.3)$$

$$\rho_{aux} = \frac{|W_{12}W_{21}|}{2 \operatorname{Re} W_{11}}. \quad (6.4)$$

і координатами центрів:

$$\operatorname{Re} W_{ex,0} = \frac{\operatorname{Re} W_{11} - \operatorname{Re} |W_{12}W_{21}|}{2 \operatorname{Re} W_{22}}; \quad (6.5)$$

$$\operatorname{Im} W_{ex,0} = \frac{\operatorname{Im} W_{11} - \operatorname{Im} |W_{12}W_{21}|}{2 \operatorname{Re} W_{22}}; \quad (6.6)$$

$$\operatorname{Re} W_{aux,0} = \frac{\operatorname{Re} W_{22} - \operatorname{Re} |W_{12}W_{21}|}{2 \operatorname{Re} W_{11}}; \quad (6.7)$$

$$\operatorname{Im} W_{aux,0} = \frac{\operatorname{Im} W_{22} - \operatorname{Im} |W_{12}W_{21}|}{2 \operatorname{Re} W_{11}}. \quad (6.8)$$

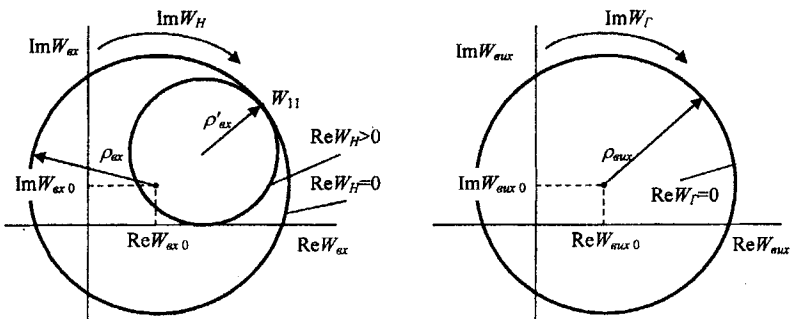


Рис. 6.5. Імітансні кола лінійного потенційнонестійкого чотириполюсника

Розв'язання системи рівнянь (6.2–6.8) забезпечує визначення нестандартної системи  $W$ -параметрів:

$$\left. \begin{aligned} \operatorname{Re} W_{22} &= \rho'_{\text{ex}} \frac{\operatorname{Re} W_H}{\rho_{\text{ex}} - \rho'_{\text{ex}}}; \\ |W_{12} W_{21}| &= 2\rho_{\text{ex}} \operatorname{Re} W_{22}; \\ \operatorname{Re} W_{11} &= \frac{|W_{12} W_{21}|}{2\rho_{\text{ex}}}; \\ \operatorname{Re}(W_{12} W_{21}) &= 2 \operatorname{Re} W_{22} (\operatorname{Re} W_{11} - \operatorname{Re} W_{\text{ex},0}); \\ \operatorname{Im}(W_{12} W_{21}) &= \sqrt{|W_{12} W_{21}|^2 - [\operatorname{Re}(W_{12} W_{21})]^2}; \\ \operatorname{Im} W_{11} &= \frac{\operatorname{Im} W_{\text{ex},0} + \operatorname{Im}(W_{12} W_{21})}{2 \operatorname{Re} W_{22}}; \\ \operatorname{Im} W_{22} &= \frac{\operatorname{Im} W_{\text{ex},0} + \operatorname{Im}(W_{12} W_{21})}{2 \operatorname{Re} W_{11}}. \end{aligned} \right\} \quad (6.9)$$

Параметри (6.2–6.8) імітансних кіл визначаються шляхом вимірювання вхідного  $W_{\text{ex}}$  (вихідного  $W_{\text{aux}}$ ) імітансу чотириполюсника при трьох довільних значеннях імітансу навантаження  $W_H$  (генератора  $W_I$ ) в області, де  $\operatorname{Re} W_{\text{ex}} > 0$ ,  $\operatorname{Re} W_{\text{aux}} > 0$ , що забезпечує стійкість вимірювальної установки.

Розширення нестандартної системи  $W$ -параметрів досягається за рахунок вимірювання максимального стійкого коефіцієнта передачі чотириполюсника

$$K_{ms} = \frac{|W_{21}|}{|W_{12}|}, \quad (6.10)$$

який визначається різницевим методом шляхом вимірювання значень потужності сигналу, що пройшов через чотириполюсник у прямому  $P_1$  і зворотному  $P_2$  напрямку за умови сталості потужності генератора ( $P_f = \text{const}$ ) [19]. Розв'язання системи (6.9) разом з (3.10) дозволяє додатково визначити:

$$|W_{12}| = \sqrt{K_{ms} |W_{12} W_{21}|},$$

$$|W_{21}| = \sqrt{\frac{|W_{12} W_{21}|}{K_{ms}}}.$$

Подальшим розвитком цих методів є метод нейтралізації. Для його здійснення дві клеми чотириполюсника з'єднуються разом (утвориться трьохполюсник) і між ними і спільною шиною включається комплексний опір  $Z$ . У цьому випадку елементи матриці провідності новоутвореного чотириполюсника дорівнюють [9]:

$$Y_{11} = \frac{y_{11} + Z\Delta y}{1 + Z\Sigma y}; \quad (6.11)$$

$$Y_{22} = \frac{y_{22} + Z\Delta y}{1 + Z\Sigma y}; \quad (6.12)$$

$$Y_{12} = \frac{y_{12} - Z_2 \Delta y}{1 + Z\Sigma y}; \quad (6.13)$$

$$Y_{21} = \frac{y_{21} - Z_2 \Delta y}{1 + Z\Sigma y}, \quad (6.14)$$

де  $\Delta y = y_{11}y_{22} - y_{12}y_{21}$ ,  $\Sigma y = y_{11} + y_{22} + y_{12} + y_{21}$ .

Якщо комплексний опір  $Z$  у спільному проводі підібрано таким чином, щоб для  $Z = Z_1$  виконувалася умова

$$y_{12} = Z_1 \Delta y, \quad (6.15)$$

тоді вираз (6.13) набуває вигляду  $Y_{12} = 0$ , а вхідна провідність новоутвореного чотириполюсника дорівнюватиме

$$Y_{ex} = Y_{11} - \frac{Y_{12}Y_{21}}{Y_{22} + Y_H} = Y_{11}. \quad (6.16)$$

Якщо комплексний опір у спільному проводі підібрати таким чином, щоб для  $Z = Z_2$  виконувалася рівність

$$y_{21} = Z_2 \Delta y, \quad (6.17)$$

тоді вираз (6.14) набуває вигляду  $Y_{21} = 0$ , а вихідна провідність новоутвореного чотириполюсника дорівнюватиме

$$Y_{aux} = Y_{22} - \frac{Y_{12}Y_{21}}{Y_{11} + Y_F} = Y_{22}. \quad (6.18)$$

Складши співвідношення з рівнянь (6.11) та (6.12)

$$\frac{Y_{11}}{Y_{22}} = \frac{Y_{11} + Z_1 \Delta y}{Y_{22} + Z_2 \Delta y}, \quad (6.19)$$

і як відомо з експерименту  $y_{11}, y_{22}, Z_1, Z_2, Y_{ex}$  і  $Y_{aux}$ , з (6.19) знаходиться

$$\Delta y = \frac{Y_{aux}y_{11} - Y_{ex}y_{22}}{Z_2 Y_{ex} - Z_1 Y_{aux}},$$

підставляючи значення якого в (6.15) і (6.17), визначаються провідності прямої  $y_{21}$  і зворотної  $y_{12}$  передачі чотириполюсника [20].

Виконання умов (6.15) і (6.17) забезпечує нейтралізацію зворотної і прямої передач чотириполюсника в процесі вимірювання, що гарантує стійкість вимірювальної установки навіть у випадку повної нестійкості вимірюваного чотириполюсника. При цьому послаблюються вимоги до стабільності імітансів навантаження і генератора, властиве стандартним методам, що гарантує підвищення точності вимірювань імітансних параметрів у діапазоні НВЧ.

Основними факторами, що впливають на точність вимірювань розглянутого методу є [21]:

- похибки вимірювання вхідного (виходного) імітансу чотириполюсника;

- похибки вимірювання потужності сигналу, що пройшов через чотириполюсник;

- точність задання імпедансів  $Z_1$  і  $Z_2$ .

Існують різні методи і апаратура для вимірювання вхідного (вихідного) імітансу чотириполюсника (вимірювальні лінії, вимірювальні мости, панорамні вимірювачі та ін.) [12, 13]. В усіх цих приладах вимірювання зводиться до вимірювання коефіцієнта стоячої хвилі на пруги ( $KCXH$ ) і фази  $\varphi_f$  коефіцієнта відбиття. Наприклад, коаксіальні вимірювачі імітансу до частоти 1 ГГц забезпечують вимірювання  $KCXH$  із похибкою  $\pm 7\%$  і фази –  $\pm 7^\circ$  при  $KCXH < 2$ . Хвилеводні вимірювачі імітансу забезпечують до частоти 5 ГГц похибку вимірювання  $KCXH \pm 4\%$  і фазового кута  $\pm 4^\circ$  для  $KCXH \leq 2$ . Спеціальні методи калібрування дозволяють зберегти вищевказану похибку і для вищих значень  $KCXH$ , що характерно для потенційно нестійких чотириполюсників.

Щоб виключити нелінійні ефекти вимірювання імітанських  $W$ -параметрів, у більшості випадків здійснюються в режимі малого сигналу для значень потужності генератора порядку  $10^{-6} \dots 10^{-3}$  Вт. Існує велика кількість вимірювачів потужності таких сигналів з похибкою, що не перевищує  $\pm 10 \dots 12\%$  [15].

Точність задання імпедансу  $Z_1$  і  $Z_2$ , який може бути реалізований у вигляді активного навантаження [14], визначається похибкою вимірювання їхнього імітансу на етапі калібрування.

Виходячи з вище приведеного аналізу, можна зробити висновки, що для опису безструктурних моделей чотириполюсників у даний час використовуються стандартні параметри в режимі КЗ і ХХ ( $Y$ -,  $Z$ -,  $H$ - і  $G$ -параметри), у режимі фіксованого навантаження ( $S$ - і  $T$ -параметри) і нестандартні параметри вимірювання при "плаваючому навантаженні".

Основні похибки вимірювання  $Y$ -,  $Z$ -,  $H$ -,  $G$ -,  $S$ - і  $T$ -параметрів у діапазоні НВЧ пов'язані з неможливістю забезпечити необхідні значення фіксованих навантажень і з потенційною нестійкістю багатоелектродних напівпровідникових структур, що призводить до неконтрольованого самозбудження вимірювальної установки. Метод "плаваючого навантаження" дозволяє частково позбутися від похибок вимірювання імітанських  $W$ -параметрів [16].

Недоліком вище розглянутого методу плаваючого навантаження є, по-перше, його велика трудомісткість, пов'язана з необхідністю вимірювання дев'яти значень  $W_{12}$  вхідного і  $W_{21}$  вихідного імітансу чотириполюсника. По-друге, неможливість реалізації чисто реактивних імітанських навантаження  $W_H$  і генератора  $W_F$ , що призводить до додаткової похибки вимірювань.

Основна похибка вимірювання імітанських  $W$ -параметрів визначається похибкою вимірювання вхідного (вихідного) імітансу чотириполюсника. Зменшення цієї похибки може бути досягнуто переходом від

вимірювання імітансів до вимірювання коефіцієнтів відбиття від входу і виходу чотириполюсника.

Виходячи з перерахованого вище, в роботі [17] розв'язано задачу зниження трудомісткості і підвищення точності вимірювання нестандартної системи імітансних параметрів чотириполюсника.

На першому етапі розв'язується задача визначення чотирьох імітансних параметрів нестандартної системи:  $W_{11}$ ,  $W_{22}$ ,  $W_{12}W_{21}$ ,  $|W_{12}W_{21}|$ . З огляду на те, що частина з цих параметрів є комплексними, для їхнього визначення необхідна наявність системи із шести незалежних рівнянь. Цій вимозі відповідає система

$$\begin{cases} W_{\text{вх1}} = W_{11} - \frac{W_{12}W_{21}}{W_{22} + W_{H1}}, \\ W_{\text{вх2}} = W_{11} - \frac{W_{12}W_{21}}{W_{22} + W_{H2}}, \\ W_{\text{вих1}} = W_{22} - \frac{W_{12}W_{21}}{W_{11} + W_{Г1}}, \end{cases} \quad (6.20)$$

де  $W_{H1}$ ,  $W_{H2}$ ,  $W_{Г1}$  – комплексні фіксовані значення імітансів навантаження і генератора;  $W_{\text{вх1}}$ ,  $W_{\text{вх2}}$  – комплексні значення вхідного імітансу чотириполюсника для значень  $W_{H1}$ ,  $W_{H2}$  імітансу навантаження, відповідно;  $W_{\text{вих1}}$  – комплексне значення вихідного імітансу чотириполюсника для значення імітансу генератора  $W_{Г1}$ ;  $W_{11}$ ,  $W_{22}$ ,  $W_{12}$ ,  $W_{21}$  – параметри імітансної матриці чотириполюсника.

Розв'язування системи (6.20) дозволяє одержати вирази для шуканої частини імітансних параметрів нестандартної системи

$$W_{11} = \frac{W_{\text{вх1}}W_{\text{вх2}}(W_{H1} - W_{H2}) + W_{Г1}(W_{\text{вх1}}(W_{H1} + W_{\text{вих1}}) - W_{\text{вх2}}(W_{H2} + W_{\text{вих1}}))}{W_{Г1}(W_{H1} - W_{H2}) + W_{\text{вх2}}(W_{H1} + W_{\text{вих1}}) - W_{\text{вх1}}(W_{H2} + W_{\text{вих1}})}, \quad (6.21)$$

$$W_{22} = \frac{W_{Г1}W_{\text{вх1}}(W_{H1} - W_{H2}) - W_{\text{вх2}}W_{H2}(W_{H1} + W_{\text{вих1}}) + W_{\text{вх1}}W_{H1}(W_{H2} + W_{\text{вих1}})}{W_{Г1}(W_{H1} - W_{H2}) + W_{\text{вх2}}(W_{H1} + W_{\text{вих1}}) - W_{\text{вх1}}(W_{H2} + W_{\text{вих1}})}, \quad (6.22)$$

$$W_{12}W_{21} = \frac{(W_{Г1} + W_{\text{вх1}})(W_{\text{вх1}} - W_{\text{вх2}})(W_{Г1} + W_{\text{вх2}})(W_{H1} - W_{H2})(W_{H1} + W_{\text{вих1}})(W_{H2} + W_{\text{вих1}})}{(W_{Г1}(W_{H1} - W_{H2}) + W_{\text{вх2}}(W_{H1} + W_{\text{вих1}}) - W_{\text{вх1}}(W_{H2} + W_{\text{вих1}}))^2}, \quad (6.23)$$

$$|W_{12}W_{21}| = \sqrt{\operatorname{Re}^2(W_{12}W_{21}) + \operatorname{Im}^2(W_{12}W_{21})}. \quad (6.24)$$

З огляду на те, що максимальнодосяжний коефіцієнт підсилення чотириполюсника [18]

$$K_{ms} = |W_{21}/W_{12}|, \quad (6.25)$$

розв'язуючи систему рівнянь (3.24) – (3.25), знаходимо

$$|W_{21}| = \sqrt{K_{ms}|W_{12}W_{21}|}, \quad (6.26)$$

$$|W_{12}| = \sqrt{|W_{12}W_{21}|/K_{ms}}. \quad (6.27)$$

Таким чином, як випливає з (6.21–6.23) і (6.26, 6.27), для знаходження нестандартної системи імітансних параметрів чотириполюсника необхідним є вимірювання двох значень його вхідного імітансу  $W_{bx1}$  і  $W_{bx2}$  при відомих значеннях імітансів навантаження, відповідно  $W_{H1}$  і  $W_{H2}$ , одного значення вихідного імітансу  $W_{bx1}$  при відому імітансі генератора  $W_{T1}$  і максимального коефіцієнта підсилення чотириполюсника  $K_{ms}$ . Трудомісткість цих вимірювань на 50% нижча, ніж при використанні способу «плаваючого навантаження».

Порівняння запропонованого способу з раніше відомим показує, що в процесі вимірювань необхідно мати три значення імітансів  $W_{H1}$ ,  $W_{H2}$  і  $W_{H3}$ , а не одне значення дійсного імітанса  $\operatorname{Re}W_H$  і шість значень довільних, але чисто реактивних імітансів  $W_{Hi} = j\operatorname{Im}W_{Hi}$  і  $W_{Ti} = j\operatorname{Im}W_{Ti}$ .

З огляду на те, що на величину  $W_i$  і  $W_A$  не накладаються ніякі обмеження, крім того, що вони повинні містити дійсну і уявну складові, це також є перевагою запропонованого способу, що веде до зменшення похибки вимірювань.

Реалізація даного методу здійснюється за допомогою вимірювальної установки, структурну схему якої показано на рис. 6.6. Велика частина блоків, що входять в установку є стандартними. У якості вимірювача повних опорів (*ВЛО*) може бути використаний фазовий вольтметр, наприклад Ф2-12 або аналогічний, або вимірювач комплексних коефіцієнтів передачі Р4-23. Для вимірювання потужності сигналу можливе використання термісторного мосту М3-1. Комутатори  $K1-K8$  можуть бути як механічними, так і електрично керованими. Вони практично не мають обмежень за фазочастотною характеристистикою і швидкодією. Єдина до них вимога – низькі втрати в режимі комутації (менше 1 дБ). Резистори  $R1-R3$  виконують роль комплексних імітансів  $W_{H1}$ ,  $W_{H2}$  і  $W_{T1}$ , відповідно. Це можуть бути і низькочастотні резистори, але значення їхньої уявної і дійсної складових повинні в усьому частотному діапазоні вимірювань відрізнятися не менше, ніж у 2–3 рази.

Процес вимірювання буде такий. У заданій точці частотного діапазону, при нейтральних положеннях комутаторів  $K4$ ,  $K7$  і  $K8$ , за допомогою комутаторів  $K1$ ,  $K2$ ,  $K3$ ,  $K5$  і  $K6$  виконується вимірювання імітансів  $W_{H1}$ ,  $W_{H2}$  і  $W_{T1}$  резисторів  $R1$ – $R3$ . Потім  $VPO$  послідовно підключається до входу чотириполюсника при під'єднаннях на його виході резисторах  $R2$  і  $R3$  і вимірюються значення вхідних імітансів  $W_{d\delta 1}$  і  $W_{d\delta 2}$ . На наступному етапі аналогічним чином вимірюється вихідний імітансь  $W_{d\delta 1}$  при під'єднаному до входу чотириполюсника резисторі  $R1$ . За результатами вимірювання з використанням (6.21–6.23) знаходимо  $W_{11}$ ,  $W_{22}$  і  $W_{12}W_{21}$ .

Для визначення  $K_{ms}$  чотириполюсника, використовуючи комутатори  $K7$  і  $K8$  при постійній потужності  $BG$ , заміряємо  $BP$  потужність сигналу, що пройшов через чотириполюсник у прямому  $P_{21}$  і зворотному  $P_{12}$  напрямках. Використовуючи відоме співвідношення [19]  $K_{ms} = \sqrt{P_{21}/P_{12}}$  і виразу (6.26) і (6.27), визначаємо значення  $|W_{12}|$  і  $|W_{21}|$ .

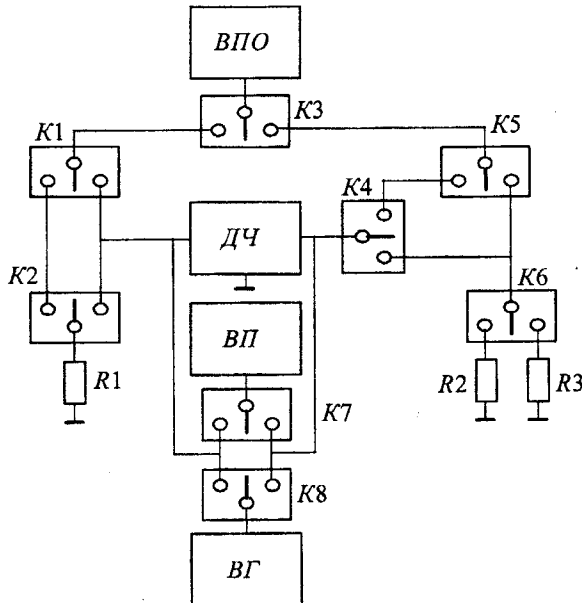


Рис. 6.6. Структурна схема вимірювальної установки для визначення нестандартної системи імітансних параметрів чотириполюсника:  
 $\mathcal{DC}$  - досліджуваний чотириполюсник;  $VPO$  – вимірювач повних опорів;  $BP$  – вимірювач потужності;  $BG$  – вимірювальний генератор;  
 $K1-K8$  - комутатори

Відсутність жорстких обмежень на значення навантажувальних імітансів  $W_H$  і  $W_T$  дозволяє при відповідній доробці і використанні ЕОМ реалізувати панорамний вимірювач імітансів параметрів чотириполюсника в діапазоні НВЧ.

Розглянутий метод може бути використаний також для вимірювання нестандартної системи  $S$ -параметрів чотириполюсника [19]. На першому етапі розв'язується задача визначення трьох  $S$ -параметрів нестандартної системи:  $S_{11}$ ,  $S_{22}$  і  $S_{12}S_{21}$ . З огляду на те, що ці параметри в загальному випадку комплексні величини, для їх визначення необхідна система із шести незалежних рівнянь. Цій вимозі відповідає система

$$\begin{cases} \Gamma_{bx1} = S_{11} + \frac{S_{12}S_{21}\Gamma_{H1}}{1 - S_{22}\Gamma_{H1}}, \\ \Gamma_{bx2} = S_{11} + \frac{S_{12}S_{21}\Gamma_{H2}}{1 - S_{22}\Gamma_{H2}}, \\ \Gamma_{vix1} = S_{22} + \frac{S_{12}S_{21}\Gamma_{T1}}{1 - S_{11}\Gamma_{T1}}. \end{cases} \quad (6.28)$$

де  $\Gamma_{H1}$ ,  $\Gamma_{H2}$ ,  $\Gamma_{T1}$  – комплексні коефіцієнти відбиття фіксованих значень навантажень  $Z_{H1}$ ,  $Z_{H2}$  і генератора  $Z_{T1}$ ;  $\Gamma_{bx1}$ ,  $\Gamma_{bx2}$  – значення комплексних коефіцієнтів відбиття від входу чотириполюсника при значеннях  $\Gamma_{H1}$ ,  $\Gamma_{H2}$  комплексних коефіцієнтів відбиття навантажень, відповідно;  $\Gamma_{vix1}$  – значення комплексного коефіцієнта відбиття від вихіду чотириполюсника при значенні  $\Gamma_{T1}$  комплексного коефіцієнта відбиття генератора;  $S_{11}$ ,  $S_{22}$ ,  $S_{12}$ ,  $S_{21}$  – параметри матриці розсіювання чотириполюсника.

Розв'язання системи (6.28) дозволяє одержати вирази для шуканої частини системи нестандартних  $S$ -параметрів

$$S_{11} = \frac{\Gamma_{bx1}\Gamma_{H2}(\Gamma_{H1}\Gamma_{vix1} - 1) + \Gamma_{bx2}(\Gamma_{bx1}\Gamma_{H2}\Gamma_{T1} - \Gamma_{H1}(\Gamma_{bx1}\Gamma_{T1} + \Gamma_{vix1}\Gamma_{H2} - 1))}{\Gamma_{H1} - \Gamma_{H2} + \Gamma_{bx2}\Gamma_{H2}\Gamma_{T1} - \Gamma_{bx1}\Gamma_{H1}\Gamma_{T1} + \Gamma_{T1}(\Gamma_{bx1} - \Gamma_{bx2})\Gamma_{H1}\Gamma_{H2}\Gamma_{vix1}}, \quad (6.29)$$

$$S_{22} = \frac{(\Gamma_{H2} - \Gamma_{H1})\Gamma_{vix1} + \Gamma_{T1}(\Gamma_{bx1} - \Gamma_{bx2}\Gamma_{vix1}\Gamma_{H2} + \Gamma_{bx2}(\Gamma_{vix1}\Gamma_{H1} - 1))}{\Gamma_{H2} - \Gamma_{bx2}\Gamma_{H2}\Gamma_{T1} + \Gamma_{H1}(\Gamma_{T1}(\Gamma_{bx1} - \Gamma_{bx2}\Gamma_{vix1}\Gamma_{H2} + \Gamma_{bx2}\Gamma_{vix1}\Gamma_{H2}) - 1)}; \quad (6.30)$$

$$S_{12}S_{21} = \frac{(\Gamma_{bx1} - \Gamma_{bx2})(\Gamma_{H1} - \Gamma_{H2})(\Gamma_{bx1}\Gamma_{T1} - 1)(\Gamma_{bx2}\Gamma_{T1} - 1)(\Gamma_{vix1}\Gamma_{H1} - 1)(\Gamma_{vix1}\Gamma_{H2} - 1)}{(\Gamma_{H2} - \Gamma_{bx2}\Gamma_{H2}\Gamma_{T1} + \Gamma_{H1}(\Gamma_{T1}(\Gamma_{bx1} - \Gamma_{bx2}\Gamma_{vix1}\Gamma_{H2} + \Gamma_{bx2}\Gamma_{vix1}\Gamma_{H2}) - 1))^2}. \quad (6.31)$$

На другому етапі, за допомогою параметра  $S_{12}S_{21}$ , знайденого з виразу (6.31), можна визначити значення

$$|S_{12}S_{21}| = \sqrt{\operatorname{Re}^2(S_{12}S_{21}) + \operatorname{Im}^2(S_{12}S_{21})}. \quad (6.32)$$

З огляду на те, що максимальнодосяжний коефіцієнт підсилення чотириполюсника дорівнює [20]

$$K_{ms} = |S_{21}/S_{12}|, \quad (6.33)$$

розв'язуючи систему рівнянь (3.32, 3.33), знаходимо

$$|S_{21}| = \sqrt{K_{ms}|S_{12}S_{21}|}, \quad (6.34)$$

$$|S_{12}| = \sqrt{|S_{12}S_{21}|/K_{ms}}. \quad (6.35)$$

Таким чином, як випливає з (6.29–6.31) і (6.34, 6.35), для знаходження нестандартної системи  $S$ -параметрів чотириполюсника  $S_{11}$ ,  $S_{22}$ ,  $S_{12}S_{21}$ ,  $|S_{12}S_{21}|$ ,  $|S_{12}|$  і  $|S_{21}|$  необхідно і достатньо зробити вимірювання двох значень його комплексного коефіцієнта відбиття на вході  $\Gamma_{\text{вх1}}$  і  $\Gamma_{\text{вх2}}$  при відомих значеннях комплексних коефіцієнтів відбиття навантаження, відповідно  $\Gamma_{\text{н1}}$  і  $\Gamma_{\text{н2}}$ , одного значення комплексного коефіцієнта відбиття на виході  $\Gamma_{\text{вих1}}$  при відомому комплексному коефіцієнти відбиття генератора  $\Gamma_{\text{г}}$  і максимальнодосяжному коефіцієнти підсилення чотириполюсника  $K_{ms}$ . Трудомісткість цих вимірювань значно нижча, ніж при використанні існуючих методів.

Важливою перевагою розглянутого способу вимірювання нестандартної системи  $S$ -параметрів чотириполюсника є відсутність необхідності двостороннього узгодження при вимірюванні комплексних коефіцієнтів відбиття, що значно знижує похибку визначення  $S$ -параметрів. Перевагою запропонованого способу є і те, що на величини  $\Gamma_{\text{н}}$  і  $\Gamma_{\text{г}}$  не накладаються ніякі обмеження, крім того, що вони повинні мати дійсну і уявну складові, що також веде до зменшення похибки вимірювань. Для реалізації запропонованого методу використовується експериментальна установка, структурна схема якої зображена на рис. 6.6.

### 6.3. Визначення області реалізації імітансу негатрона на основі активного чотириполюсника

При розробці інформаційних пристройів на основі негатронів виникає задача визначення можливих значень реалізації імітансу негатрона. В даний час розповсюджені два основних методи розв'язання цієї задачі – експериментальний і аналітичний. Експериментальний базується на вимірюванні імітансу при різних значеннях перетвореного імітансу. Точність методу невисока, що пов'язано з дискретністю вимірювань, великою трудомісткістю й обмеженою інформативністю, оскільки не всі значення перетвореного імітансу можуть бути виміряні з необхідною точністю.

Аналітичний розв'язок ґрунтуються на результатах розрахунку на ЕОМ теоретично можливих значень імітансу негатрона. Однак у реальних умовах обсяг одержуваної інформації залежить від витрат машинного часу, що збільшується зі зменшенням дискретності зміни перетвореного імітансу, а точність результатів обмежена точністю вимірювання  $W$ -параметрів.

Ці недоліки відсутні в експериментально-графічному методі пошуку сфері реалізації можливих значень імітансу негатронів на базі чотириполюсників [22]. Він оснований на експериментальному визначенні нестандартних  $W$ -параметрів чотириполюсника ( $W_{11}$ ,  $W_{22}$ ,  $\operatorname{Re}(W_{12}W_{21})$  і  $\operatorname{Im}(W_{12}W_{21})$ ) і на властивості вхідного (виходного) опору лінійного чотириполюсника, відповідно до якого на комплексній площині вони описуються геометричним місцем точок вхідного  $W_{\text{вх}}$  чи виходного  $W_{\text{вих}}$  імітансу у вигляді ортогональних кіл. Дано властивість досліджена в [23] для чотириполюсника з  $Y$ -параметрами. Покажемо, що вона зберігається й у випадку чотириполюсника з узагальненими  $W$ -параметрами. Подамо відомі співвідношення для виходного імітанса лінійного чотириполюсника у вигляді

$$W_{\text{вих}} = \operatorname{Re} W_{\text{вих}} + j \operatorname{Im} W_{\text{вих}} = \\ = \operatorname{Re} W_{22} + j \operatorname{Im} W_{22} - \frac{m_1 + jm_2}{\operatorname{Re} W_{\Gamma} + j \operatorname{Im} W_{\Gamma} + \operatorname{Re} W_{11} + j \operatorname{Im} W_{11}}, \quad (6.36)$$

де  $m_1 = \operatorname{Re}(W_{12}W_{21})$ ;  $m_2 = \operatorname{Im}(W_{12}W_{21})$ .

Прирівнюючи дійсні і уявні складові обох частин рівняння (6.36) і крім уявного імітансу генератора, одержуємо співвідношення

$$\left[ \operatorname{Re}(W_{\text{вих}} - W_{22}) + \frac{m_1}{2 \operatorname{Re} W_{11} \left( \frac{\operatorname{Re} W_r}{W_{11}} + 1 \right)} \right]^2 +$$

$$+ \left[ \operatorname{Im}(W_{\text{вих}} - W_{22}) + \frac{m_{21}}{2 \operatorname{Re} W_{11} \left( \frac{\operatorname{Re} W_r}{W_{11}} + 1 \right)} \right]^2 = \frac{m_1^2 + m_2^2}{4 \operatorname{Re}^2 W_{11} \left( \frac{\operatorname{Re} W_r}{W_{11}} + 1 \right)^2},$$

що представляє на площині повних імітансів  $W_{\text{вих}}$  для різних значень дійсних імітансів генератора  $\operatorname{Re} W_1$ , сімейство кіл з координатами в центрі  $\operatorname{Re} W_{22} - m_1/2\operatorname{Im}(\operatorname{Re}(W_1 + W_{11}))$ ,  $j[\operatorname{Im} W_{22} - m_2/2\operatorname{Re}(\operatorname{Re}(W_r + W_{11}))]$  і радіусами  $R_{\text{вих}} = \sqrt{m_1^2 + m_2^2}/2\operatorname{Re}(W_r + W_{11})$ .

Провівши аналогічні перетворення, одержимо, що геометричне місце точок сталих значень уявних імітансів  $\operatorname{Im} W_r$  також є сімейством кіл з відповідними координатами  $\operatorname{Re} W_{22} - m_2/2\operatorname{Im}(\operatorname{Re}(W_r + W_{11}))$ ,  $j[\operatorname{Im} W_{22} + m_1/2\operatorname{Im}(\operatorname{Re}(W_r + W_{11}))]$  і радіусами  $R_{\text{вих}} = \sqrt{m_1^2 + m_2^2}/2\operatorname{Im}(W_r + W_{11})$ .

Всі кола проходять через точку  $(\operatorname{Re} W_{22}, j\operatorname{Im} W_{22})$ . Центри першого сімейства лежать на прямій з кутовим коефіцієнтом  $\varphi_w = m_2/m_1$ , а центри другого – на прямій з кутовим коефіцієнтом  $\psi = m_1/m_2$ , тобто сімейства кіл ортогональні. З їхнього графічного зображення (рис. 6.7) випливає, що на площині вихідного імітансу  $W_{\text{вих}}$  вся права площа імітанса генератора  $W_r$  зобразиться всередині кола  $\operatorname{Re} W_r = 0$ , що є зображенням уявної осі.

Введення нормування вигляду

$$\operatorname{Re} \bar{W}_r = \frac{\operatorname{Re} W_r}{\operatorname{Re} W_{11}}, \quad \operatorname{Im} \bar{W}_r = \frac{\operatorname{Im}(W_r + W_{11})}{\operatorname{Re} W_{11}} \quad (6.37)$$

дозволяє використовувати стандартні діаграми Вольперта – Сміта для визначення області реалізації можливих значень імітансу негатрона.

Отримані результати справедливі для випадку не тільки зворотного перетворення імітансу  $W_r$  в імітансь  $W_{\text{вих}}$ , але і прямого перетворення імітансу  $W_H$  в імітансь  $W_{\text{вих}}$  із використанням нормувань виду

$$\operatorname{Re} \bar{W}_H = \frac{\operatorname{Re} W_H}{\operatorname{Re} W_{11}}, \quad \operatorname{Im} \bar{W}_H = \frac{\operatorname{Im}(W_H + W_{22})}{\operatorname{Re} W_{22}}. \quad (6.38)$$

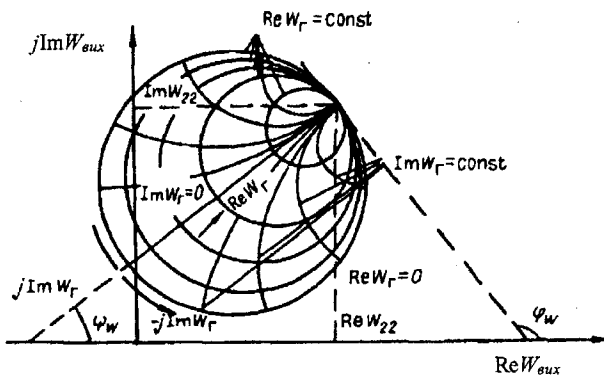


Рис. 6.7. Визначення діаграми Вольперта – Сміта на імітансній площині

Отже, визначивши параметри  $W_{11}$ ,  $W_{22}$ ,  $\operatorname{Re}(W_{12}W_{21})$ ,  $\operatorname{Im}(W_{12}W_{21})$ , на комплексній площині  $W_{ex}$  чи  $W_{aux}$  завжди можна знайти таке положення діаграми Вольперта – Сміта, що з урахуванням нормувань (6.37) і (6.38) визначає область реалізації можливих значень імітансу негатрона (рис. 6.7).

## Перелік літератури до розділу 6

1. Филановский Н.М., Персианов А.Ю., Рыбин В.К. Схемы преобразователей сопротивления. – Л.: Энергия, 1973. – 192 с.
2. Маттей Г.Л., Янг Л., Джонс Е.М.Т. Фильтры СВЧ, согласующие цепи и цепи связи: Пер. с англ. Под ред. Л.В. Алексеева и Ф.В. Кушнира. – М.: Связь, 1971. – Т.1. – 439 с.
3. Хайнлейн В.Е., Холмс В.Х. Активные фильтры для интегральных схем. – М.: Сов. радио, 1975. – 288 с.
4. Глушченко Э.Н. Упрощенный метод анализа цепочечного соединения СВЧ четырехполюсников // Технология и конструирование электронной аппаратуры. – 2003. – №3. – С. 44–45.
5. Зелях Э.В., Кисель В.А. Об измерении параметров п-полюсников // Автометрия. – 1966. – №3. – С. 3–10.
6. Фельдштейн А.Л., Явич Л.Р. Синтез четырехполюсников и восьмиполюсников на СВЧ. – М.: Связь, 1971. – 388 с.
7. Филиньюк М.А. Измерение Y-параметров матрицы проводимости СВЧ транзисторов // Изв. вузов МВ и ССО СССР. Радиоэлектроника. – 1984. – Т. 27. №3, – С. 81–82.
8. Філинюк М.А., Гаврілов Д.В., Ліщенко С.А. Методи і засоби вимірювання параметрів безструктурних моделей багатоелектродних напівпровідникових структур // Вісник Житомирського інженерно-технологічного інституту. – 2002. – С. 6–10.
9. Устройство для измерения параметров матрицы Y-проводимости четырехполюсника: А.с. 1095102 СССР. / Филиньюк Н.А. (СССР). – Заявл. 19.08.82; Опубл. 30.05.84, Бюл. №20. – 4 с.
10. Транзисторы. Параметры, методы измерений и испытаний; Под ред. И.Г. Бергельсона, Ю.А. Каменецкого, И.Ф. Nikolaevskogo. – М.: Сов. радио, 1968. – 504 с.
11. Мальтер Т.З. Параметры рассеяния высокочастотных транзисторов и методы их измерения // Средства связи. – 1978. – № 3 – С. 29–34.
12. Чернушенко А.М., Майбородин А.В. Измерение параметров электронных приборов дециметрового и сантиметрового диапазонов волн / Под ред. А.М. Чернушенко. – М.: Радио и связь, 1986. – 336с.
13. Справочник по радиоизмерительным приборам. Т. 1 / Б.А. Абубакиров, А.А. Авдеев и др.; Под ред. В.С. Насонова. – М.: Сов. радио, 1976. – 227 с.
14. Шварц Н.З. Система нестандартных S-параметров. – В кн. Микроэлектроника и полупроводниковые приборы / Под ред

А.А. Васенкова, Я.А. Федотова. – М.: Сов. радио, – 1976. – Вып. 1. – С. 302–310.

15. Bodway G.E. Two port power flow analyses using generalized scattering parameters // Microwave J. – 1967, – №5. – Р. 61–69.

16. Бахтин Н.А., Шварц Н.З. Измерение S-параметров СВЧ транзисторов // Полупроводниковые приборы и их применение; / Под ред. Я.А. Федотова. –М.: Сов. радио, – 1970. – Вып. 23. – С. 276–284.

17. Устройство для измерения полных сопротивлений много-полюсников: А.с. 1141346 СССР. / Филинук Н.А. (СССР). – Заявл. 25.05.82; Опубл. 23.02.85, Бюл. №7. – 6 с.

18. Филинук Н.А. Определение параметров математических моделей информационных устройств на основе негатронов // Негатроника / Под. ред. Л.Н. Степановой. – Новосибирск: Наука, 1995. – 315 с.

19. Филинук М.А., Огородник К.В., Лазарев О.О. Спосіб вимірювання нестандартної системи S-параметрів чотириполюсника. – Деклараційний патент України, №7267 від 15.06.05, БІ №6.

20. Шварц Н.З. Линейные транзисторные усилители СВЧ. – М.: Сов. Радио, 1980. – 368 с.

21. Чернушенко А.М., Майбородин А.В. Измерение параметров электронных приборов дециметрового и сантиметрового диапазона волн. – М.: Радио и связь, 1986. – 336 с.

22. Филинук Н.А. Определение параметров математических моделей информационных устройств на основе негатронов // Негатроника / Под ред. Л.Н. Степановой. – Новосибирск: Наука, 1995. – 315 с.

23. Желуд В., Кулешов В. Шумы в полупроводниковых устройствах. – М.: Сов. радио, 1977. – 416 с.

## РОЗДІЛ 7

# ВИМІРЮВАННЯ РОБОЧИХ ПАРАМЕТРІВ ПОТЕНЦІЙНОНЕСТИЙКИХ ЧОТИРИПОЛЮСНИКІВ

Методи і засоби вимірювання параметрів безструктурних моделей, маючи низку переваг і недоліків, у даний час набули широкого застосування. Вони, як правило, є початковими при розрахунку робочих параметрів електронних пристрій. Однак з ростом частоти росте похибка їхнього вимірювання, що призводить до ще більшої похибки визначення робочих параметрів. Крім того, непряме визначення робочих параметрів через параметри фізичних і безструктурних моделей призводить до збільшення часу знаходження робочих параметрів. У зв'язку з цим становлять інтерес методи безпосереднього вимірювання робочих параметрів.

### 7.1. Вимірювання коефіцієнтів підсилення (передачі)

Робочий  $K_p$  і номінальний  $K_{\text{ном}}$  коефіцієнти підсилення (передачі) потужності визначаються виразами [1]:

$$K_p = \frac{P_H}{P_{\text{вх}}} ; K_{\text{ном}} = \frac{P_H}{P_\Gamma} , \quad (7.1)$$

де  $P_H$  – потужність, що виділяється в дійсній складовій провідності навантаження;  $P_{\text{вх}}$  – потужність, що підводиться до входу чотириполюсника;  $P_\Gamma$  – потужність, що віддається генератором в узгоджене навантаження.

Як випливає з (7.1), для визначення  $K_p$  і  $K_{\text{ном}}$  досить використовувати вимірювач потужності і узгоджувальні трансформатори. Їхня номенклатура, що випускається промисловістю, перекриває широкий частотний діапазон і вимірювання в більшості випадків нескладні. Крім того існує великий клас панорамних вимірювачів, що дозволяють автоматизувати вимірювання.

Як приклад можна назвати вимірювачі коефіцієнтів передачі P4-11, P4-23 (CPCP), ZAS 393.0015.02 (Rohde – Schwarz) і ін. [2].

## 7.2. Вимірювання внутрішнього інваріантного коефіцієнта стійкості

Вдосконалюючи елементну базу, зокрема транзисторів, на високих і надвисоких частотах розробники зіткнулися з проблемою їхньої потенційної нестійкості. Суть її полягає в самозбудженні схеми при визначених значеннях навантаження внаслідок прояву внутрітранзисторного зворотного зв'язку. Для кількісної оцінки стійкості був введений внутрішній інваріантний коефіцієнт стійкості  $K_{c.b}$  [3], величина якого може бути визначена через параметри імітанського кола (рис. 7.1). На рис. 7.1. область нестійкості заштрихована.

$$K_{c.b} = \frac{\operatorname{Re} W_{11} \operatorname{Re} W_{22} - \operatorname{Re}(W_{12} W_{21})}{|W_{12} W_{21}|} = \frac{\operatorname{Re} W_{0_{\text{вх}}}}{\rho_{\text{вх}}} . \quad (7.2)$$

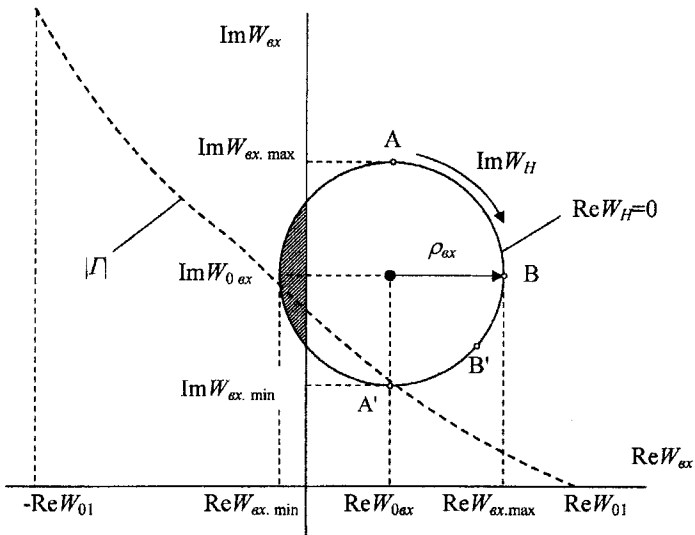


Рис. 7.1. Вхідне імітанське коло потенційно нестійкого лінійного чотириполюсника:  $\rho_{\alpha x}$  – радіус імітанського кола;  $\operatorname{Re} W_{0ex}$  – дійсна складова імітанса центра кола;  $\operatorname{Im} W_H$  – уявна складова імітанса навантаження;  $W_{ex}$  – вхідний імітанс чотириполюсника

Якщо  $K_{c,e} > 1$  чотириполюсник стійкий, якщо  $K_{c,e} < 1$  він потенційно нестійкий і якщо  $K_c = 1$  знаходиться на межі стійкості.

Визначення цього коефіцієнта можливе за результатами вимірювання імітанських параметрів чотириполюсника з використанням (7.2), або номінальних коефіцієнтів прямої  $K_{hom\ 21}$  і зворотної  $K_{hom\ 12}$  передачі чотириполюсника в режимі двобічного узгодження [4]

$$K_{c,e} = \frac{1 + K_{hom\ 21} K_{hom\ 12}}{2\sqrt{K_{hom\ 21} K_{hom\ 12}}},$$

або вхідного (вихідного) імітанса чотириполюсника при зміні реактивного імітанса навантаження (генератора) [5, 6].

Недоліком першого методу є труднощі забезпечення в діапазоні НВЧ при вимірюванні  $W$ -параметрів умов короткого замикання чи холостого ходу, а також забезпечення стійкості схеми у випадку вимірювання потенційно нестійкого чотириполюсника (транзистора, операційного підсилювача). Другий метод припускає, що  $K_{c,e} > 1$ , це включає його застосування при вимірюваннях  $K_{c,e}$  потенційно нестійких чотириполюсників. При використанні третього методу, у результаті вимірювання вхідного  $W_{ax}$  (вихідного  $W_{aux}$ ) імітанса чотириполюсника, будується імітанське коло (рис. 7.1) і інваріантний коефіцієнт стійкості визначається за формулою (7.2). Недолік даного методу полягає в необхідності проведення, для досягнення високої точності, великого числа вимірювань вхідного (вихідного) імітанса. При цьому можливе потрапляння в область від'ємних значень  $\operatorname{Re}W_{ax}$  ( $\operatorname{Re}W_{aux}$ ), що веде до втрати стійкості і росту похибки вимірювань.

Для подолання перерахованих вище недоліків запропоновано ряд нових методів і засобів вимірювання  $K_{c,e}$ . У роботі [7] запропоновано ряд експериментальних методів, основаних на тому положенні, що  $K_{c,e}$  не залежить від довжини вхідної лінії  $l$  і значень характеристичних імітанських параметрів вхідної  $W_{01}$  і вихідної  $W_{02}$  ліній [5]. Це дозволило перенести вимірювання в площину, що відстоїть на відстані  $l$  від входу чотириполюсника і вибрати характеристичний імітанс вимірювального тракту  $W_{01}$  виходячи з вимог стійкості вимірювальної схеми. З огляду на те, що  $K_{c,e}$  змінюється в межах від  $-1$  до  $\infty$ , мінімальне значення дійсної складової вхідного імітанса для  $K_{c,e} = -1$  дорівнює  $\operatorname{Re}W_{ax,min} = 2\rho_{ax}$ . Тому, для забезпечення стійкості вимірювальної схеми, необхідне значення характеристичного імітанса вхідної лінії знаходиться з умовою  $\operatorname{Re}W_{01} > 2\rho_{ax}$ . В цьому випадку, як видно з рис. 7.1, інваріантний ко-

ефіцієнт стійкості визначається з виразу

$$K_{c,b} = \frac{\operatorname{Re} W_{0\alpha x}}{\operatorname{Re} W_{\alpha x,\max} - \operatorname{Re} W_{0\alpha x}}. \quad (7.3)$$

Розглянутий метод реалізований з використанням експериментальної установки, структурна схема якої показана на рис. 7.2.

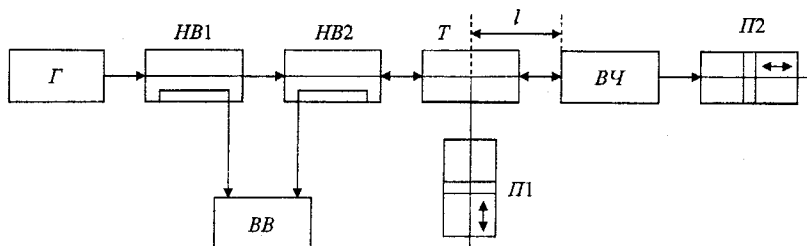


Рис. 7.2. Структурна схема експериментальної установки для визначення інваріантного коефіцієнта стійкості потенційно нестійких чотириполюсників за методом [7]:  $\Gamma$  – вимірювальний генератор;  $HB1$  і  $HB2$  – направлениі відгалужувачі;  $BB$  – вимірювач відношень;  $T$  – трійник;  $P1$  і  $P2$  – поршні КЗ;  $BЧ$  – вимірюваний чотириполюсник

Вимірювання переносяться в площину трійника  $T$ , тому що вхідний імітансь  $W_{\alpha x}$  трансформується в площину  $T$  і стає рівним  $W'_{\alpha x}$ . При визначенні  $\operatorname{Re} W'_{0\alpha x}$  використовується той факт, що в цьому випадку реактивна складова трансформованого вхідного імітанса чотириполюсника  $\operatorname{Im} W'_{0\alpha x}$  набуває або мінімальне  $\operatorname{Im} W_{\alpha x,\min}$  або максимальне  $\operatorname{Im} W_{\alpha x,\max}$  значення. Для індикації  $\operatorname{Im} W_{\alpha x,\min}$  або  $\operatorname{Im} W_{\alpha x,\max}$  послідовною зміною електричної довжини поршнів  $P2$  і  $P1$  добиваються одержання максимальної або мінімальної довжини поршня  $P1$  у режимі резонансу його імітанса  $\operatorname{Im} W_1$  з  $\operatorname{Im} W'_{\alpha x}$ . Про наявність резонансу судять за мінімумом модуля коефіцієнта відбиття  $\Gamma_{\min,A}$ , що забезпечується за допомогою  $HB1$ ,  $HB2$  і  $BB$ . У цьому випадку шукане значення провідності

$$\operatorname{Re} W'_{0\alpha x} = \frac{\operatorname{Re} W_{01}(1 - \Gamma_{\min,A})}{1 + \Gamma_{\min,A}} = \frac{\operatorname{Re} W_{01}}{\rho_A}, \quad (7.4)$$

де  $\rho_A$  – коефіцієнт стоячої хвилі на вході ВЧ у режимі компенсації уявної складової його імітанса.

Визначення  $\text{Re}W'_{\text{ax},\max}$  також виконується в режимі компенсації КЗ поршнем П1 уявної складової трансформованого вхідного імітанса чотириполюсника  $\text{Im}W'_{0\alpha}$  і установки поршня П2 у положення, що відповідає мінімальному значенню модуля коефіцієнта відбиття  $\Gamma_{\min,\alpha}$  у площині трійника  $T$ . У цьому випадку шукане значення імітанса  $\text{Re}W'_{\text{ax},\max}$  однозначно пов'язано з  $\Gamma_{\min,\alpha}$  і знаходиться з виразу

$$\text{Re}W'_{\text{ax},\max} = \frac{\text{Re}W_{01}(1 - \Gamma_{\min,\alpha})}{1 + \Gamma_{\min,\alpha}} = \frac{\text{Re}W_{01}}{\rho_\alpha}. \quad (7.5)$$

Підстановкою (7.4) і (7.5) у (7.3), знаходиться шукане значення інваріантного коефіцієнта стійкості чотириполюсника

$$K_{c,\alpha} = \left[ \frac{(1 + \Gamma_{\min,A})(1 - \Gamma_{\min,\alpha})}{(1 - \Gamma_{\min,A})(1 + \Gamma_{\min,\alpha})} - 1 \right]^{-1}. \quad (7.6)$$

З (7.6) випливає, що основна похибка визначення  $K_{c,\alpha}$  за цим методом залежить від точності вимірювання модулів коефіцієнтів відбиття, що при використанні рефлектометрів першого класу дорівнює  $\pm 3(\rho+1)$ , де  $\rho$  – коефіцієнт стоячої хвилі напруги [8].

У випадку стійкого чотириполюсника ( $K_{c,\alpha} > 1$ ), інваріантний коефіцієнт стійкості може бути визначений за результатами вимірювання коефіцієнтів стоячої хвилі  $\rho_A$  і  $\rho_\alpha$  у характерних точках:  $K_{c,\alpha} = \rho_A / (\rho_A - \rho_\alpha)$ . Для цього у вимірювальній схемі (рис. 7.2) вимірювач відношень ВВ і направлені відгалужувачі HB1 і HB2 замінюються вимірювачем КСХН.

Очевидним недоліком вище розглянутого методу є його складність. З метою спрощення запропоновано дві модифікації методу. У першому модифікованому методі рекомендується здійснювати вимірювання імітанса в одній екстремальній точці (рис. 7.1), наприклад А ( $\text{Re}W_A$ ,  $\text{Im}W_A$ ) і в іншій точці В' поблизу точки А' ( $\text{Re}W_{B'}$ ,  $\text{Im}W_{B'}$ ).

У цьому випадку інваріантний коефіцієнт стійкості визначається з виразу

$$K_{c,\alpha} = \frac{2 \text{Re}W_A (\text{Re}W_A - \text{Re}W_{B'})}{\sqrt{(\text{Re}W_A - \text{Re}W_{B'})^2 + (\text{Im}W_{B'} - \text{Im}W_A)^2}} - 1.$$

Друга модифікація призначена для випадку, коли неможливо забезпечити виконання умови  $\text{Re}W_{\text{ex},\max} < \text{Re}W_0$ . У цьому випадку вимірюється максимальне  $\text{Im}W_{A,\max}$  (відповідає точці  $A$ ) і мінімальне  $\text{Im}W_{A,\min}$  (відповідає точці  $A'$ ) значення уявних складових імітансів, що індикуються за мінімальною і максимальною довжинами поршнями  $P1$  (у межах від  $l=0$  до  $l<\lambda/4$ ), а також значення  $KCZH$   $\rho_A=\rho_{A'}$ , що відповідає цим точкам. Шукане значення інваріантного коефіцієнта стійкості в цьому випадку визначається з виразу

$$K_{c,b} = \frac{2 \text{Re} W_0}{\rho_A (\text{Im} W_{\text{ex},\max} - \text{Im} W_{\text{ex},\min})}.$$

Одним з недоліків цього методу є обмеження діапазону вимірювань значенням  $K_{c,b}>0$ . Загальним недоліком розглянутих останніх трьох методів вимірювання  $K_{c,b}$  є їхня складність, але вони дозволяють здійснювати вимірювання як абсолютно стійких, так і потенційно нестійких чотириполюсників. Простішим є метод Н.З. Шварца [4], але він може бути використаний тільки для вимірювання  $K_{c,b}$  стійких чотириполюсників.

У роботі [9] запропонований відносно нескладний спосіб визначення  $K_{c,b}$  на основі методу Н.З. Шварца, що дозволяє виконувати вимірювання  $K_{c,b}$  також і для потенційно нестійких чотириполюсників. Реалізація способу здійснюється за допомогою експериментальної установки, зображеній на рис. 7.3.

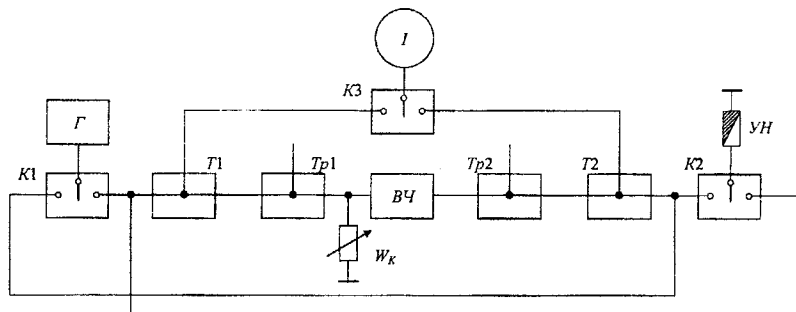


Рис. 7.3. Структурна схема експериментальної установки для визначення інваріантного коефіцієнта стійкості за методом [4]:  $Tp1$  і  $Tp2$  – узгоджувальні трансформатори;  $I$  – індикатор;  $YH$  – узгоджене навантаження

Ця установка дозволяє здійснювати вимірювання  $K_{c,s}$  за методом описаним в роботі [4], але для забезпечення стійкості вимірювальної установки, у випадку дослідження потенційнонестійкого чотиріполюсника, до входу чотиріполюсника підключений калібриваний резистор з імітаном  $W_k$ . Значення дійсного імітанса цього резистора в процесі вимірювання підбирається таким чином, щоб імітанні кола вимірюваного чотиріполюсника з включенням на його вході резистором знаходилися в області абсолютної стійкості (рис. 7.4).

Виконується вимірювання інваріантних коефіцієнтів стійкості  $K_{c1}$  і  $K_{c2}$  навантаженого чотиріполюсника при двох значеннях дійсного імітанса  $\text{Re}W_{K1}$  і  $\text{Re}W_{K2}$  калібриваного резистора за методом, запропонованим в роботі [4], а шукане значення  $K_{c,s}$  знаходить за формулою

$$K_{c,s} = \frac{K_{c1} \text{Re}W_{K2} - K_{c2} \text{Re}W_{K1}}{\text{Re}(W_{K2} - W_{K1})}.$$

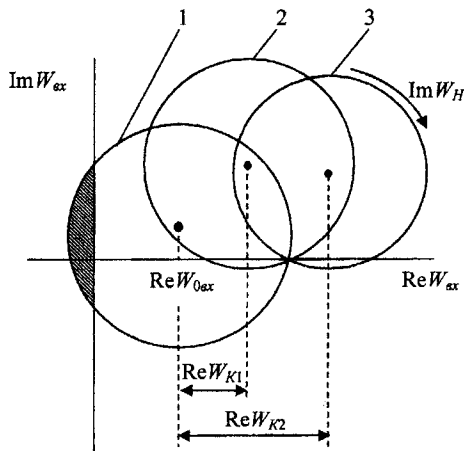


Рис. 7.4. Вхідні імітанні кола потенційнонестійкого чотиріполюсника (1) і навантаженого по входу чотиріполюсника (2, 3)

Для забезпечення абсолютної стійкості вимірювань потрібне виконання тільки однієї умови  $\text{Re}W_{K2} > \text{Re}W_{K1} > \text{Re}W_{\alpha}$ . Безсумнівно перевагою методу є відсутність необхідності здійснення вимірювань імпедансів тому, що в процесі вимірювань фіксується тільки потужність

або напруга індикатором  $I$ . До недоліку методу варто віднести необхідність здійснення узгодження за допомогою трансформаторів  $Tp1$  і  $Tp2$  вимірювальних трактів, що ускладнює автоматизацію процесу вимірювань.

### 7.3. Вимірювання максимальнодосяжного стійкого коефіцієнта передачі за потужністю

Максимальнодосяжний стійкий коефіцієнт передачі за потужністю чотириполюсника  $K_{ms}$  може бути визначений через імітанські параметри [1]  $K_{ms} = |W_{21}/W_{21}|$ . Однак, це вимагає вимірювання імітанських параметрів чотириполюсника, що в діапазоні високих і надвисоких частот пов'язано зі значними технічними труднощами і має велику похибку вимірювань [10]. З метою подолання цих недоліків у [11] запропонований метод визначення  $K_{ms}$  за результатами вимірювання потужності сигналів  $P_{H\Pi}$  і  $P_{H\lambda}$ , що надходять на індикаторний пристрій при послідовній подачі сигналу постійної потужності ( $P_r = \text{const}$ ) на вход і на вихід чотириполюсника за умови узгодження джерела сигналу й індикаторного пристрою з входним і вихідним імітантом чотириполюсника. В цьому випадку величина  $K_{ms}$  визначається з виразу

$$K_{ms} = \sqrt{\frac{P_{H\Pi}}{P_{H\lambda}}}.$$

Необхідною умовою використання даного методу є рівність імітанса джерела сигналу  $W_r$  імітанса індикаторного пристрою  $W_H$ .

Середньоквадратична похибка  $\delta_{ms}$  цього методу визначається відносною середньоквадратичною похибкою індикаторного пристроя і у випадку використання в цій якості вимірювача потужності МЧ-2, не перевищує  $\delta_{ms} = \pm 2,84\%$ .

Недоліком розглянутого методу є необхідність здійснення процедур узгодження імітантів, що збільшує час вимірювання й ускладнює автоматизацію процесу вимірювання.

У роботі [12] запропоновано метод вимірювання  $K_{ms}$ , що дозволяє позбутися цих недоліків. Для його реалізації в спільну шину чотириполюсника включається калібриваний змінний опір  $Z$  (рис. 7.5), за допомогою якого забезпечується послідовна нейтралізація імітантів прямої  $W_{21}$  і зворотної  $W_{12}$  передачі чотириполюсником з опором  $Z$ . Шукана величина  $K_{ms}$  визначається з виразу

$$K_{ms} = \left| \frac{Z_1}{Z_2} \right|_{\begin{array}{l} Y_{12}=0 \\ Y_{21}=0 \end{array}},$$

де  $Z_1$  – значення опору  $Z$  для  $Y_{21}=0$ ;  $Z_2$  – значення опору  $Z$  для  $Y_{12}=0$ .

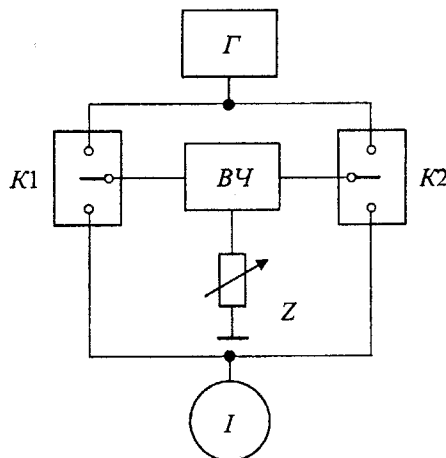


Рис. 7.5. Структурна схема вимірювальної установки  
для визначення  $K_{ms}$

При цьому, по-перше, внаслідок компенсації провідностей прямої і зворотної передачі вимірювальна установка в режимі вимірювання для будь-яких потенційнонестійких чотириполюсників залишається абсолютно стійкою. По-друге, відпадає необхідність узгодження імітанців, вимірювання здійснюються для будь-яких значень імітанців навантаження  $W_H$  і генератора  $W_T$ . По-третє, вимірювальний прилад використовується в режимі індикації нуля, що істотно знижує похибку вимірювання.

Основна похибка методу визначається точністю калібрування комплексного опору  $Z$ , що в діапазоні частот має певні труднощі.

У [13] запропонована технічна реалізація такого імпедансного пристрою на базі електрично керованого активного опору, що має від'ємну активну складову, що може привести до неконтрольованого самозбудження вимірювального кола і, як наслідок, до росту похибки вимірювань.

З метою виключення зі схеми вимірювань від'ємного активного

опору, пропонується змоделювати властивості калібриваного опору структурними методами з використанням пасивних кіл вимірювально-го тракту [71].

Відомо, що у випадку однорідної лінії передачі без втрат, струм і напругу в кожній точці лінії можна представити у вигляді суми падаючої і відбитої хвиль [14]

$$\dot{U} = \dot{U}_{\text{пад}} + \dot{U}_{\text{від}} ; \quad \dot{I} = \dot{I}_{\text{пад}} + \dot{I}_{\text{від}} , \quad (7.7)$$

$$\text{де } \dot{I}_{\text{пад}} = \frac{\dot{U}_{\text{пад}}}{Z_0} ; \quad \dot{I}_{\text{від}} = \frac{-\dot{U}_{\text{від}}}{Z_0} ; \quad Z_0 - \text{хвильовий опір лінії передач.}$$

Перетворивши (4.7), отримаємо

$$\dot{U} = \dot{U}_{\text{пад}} \left( 1 + \frac{\dot{U}_{\text{від}}}{\dot{U}_{\text{пад}}} \right) ; \quad (7.8)$$

$$\dot{I} = \frac{\dot{U}_{\text{пад}}}{Z_0} \left( 1 - \frac{\dot{U}_{\text{від}}}{\dot{U}_{\text{пад}}} \right); \quad (7.9)$$

Поділивши (7.8) на (7.9), знаходимо повний опір у кожному перетині лінії передачі

$$Z = Z_0 \frac{1 + \frac{\dot{U}_{\text{від}}}{\dot{U}_{\text{пад}}}}{1 - \frac{\dot{U}_{\text{від}}}{\dot{U}_{\text{пад}}}} . \quad (7.10)$$

Таким чином, якщо забезпечити деякі амплітудні і фазові співвідношення між падаючою і відбитою хвильами, можна реалізувати в заданому перетині лінії передачі необхідний комплексний опір  $Z$ .

Величина  $\dot{U}_{\text{від}}/\dot{U}_{\text{пад}} = \Gamma$  характеризує комплексний коефіцієнт відбиття

$$\Gamma = |\Gamma| e^{j\varphi_\Gamma} , \quad (7.11)$$

де  $\varphi_\Gamma$  – різниця фаз між падаючою і відбитою хвильами.

Підставляючи (7.11) у (7.10) і виділивши дійсні і уявні частини  $Z=R+jX$ , знаходимо:

$$R = Z_0 \frac{1+|\Gamma|^2}{1+|\Gamma|^2 - 2|\Gamma| \cos \varphi_\Gamma}; \quad (7.12)$$

$$X = Z_0 \frac{2|\Gamma| \sin \varphi_\Gamma}{1+|\Gamma|^2 - 2|\Gamma| \cos \varphi_\Gamma}. \quad (7.13)$$

Таким чином, задання (чи вимірювання) необхідного комплексного опору у визначеному перетині лінії передачі звелося до задання (чи вимірювання) модуля  $|\Gamma|$  і фази  $\varphi_\Gamma$  комплексного коефіцієнта відбиття, що може бути використане при вимірюванні  $K_{ms}$  потенційнонестійких чотириполюсників.

З огляду на те, що  $\dot{U}_{\text{пад}} = \dot{U}_{\text{м.пад}} e^{j\Phi_{\text{пад}}}$  і  $\dot{U}_{\text{від}} = \dot{U}_{\text{м.від}} e^{j\Phi_{\text{від}}}$  з (7.11) знаходимо

$$|\Gamma| = \frac{\dot{U}_{\text{м.від}}}{\dot{U}_{\text{м.пад}}}; \quad (7.14)$$

$$\varphi_\Gamma = \Phi_{\text{від}} - \Phi_{\text{пад}}. \quad (7.15)$$

Підставляючи (7.14, 7.15) в (7.12 і 7.13), отримаємо

$$R = Z_0 \frac{1 + \left| \frac{\dot{U}_{\text{м.від}}}{\dot{U}_{\text{м.пад}}} \right|^2}{1 + \left| \frac{\dot{U}_{\text{м.від}}}{\dot{U}_{\text{м.пад}}} \right|^2 - 2 \left| \frac{\dot{U}_{\text{м.від}}}{\dot{U}_{\text{м.пад}}} \right| \cos(\varphi_{\text{від}} - \varphi_{\text{пад}})};$$

$$X = \frac{2 \left| \frac{\dot{U}_{\text{м.від}}}{\dot{U}_{\text{м.пад}}} \right| \sin(\varphi_{\text{від}} - \varphi_{\text{пад}})}{1 + \left| \frac{\dot{U}_{\text{м.від}}}{\dot{U}_{\text{м.пад}}} \right|^2 - 2 \left| \frac{\dot{U}_{\text{м.від}}}{\dot{U}_{\text{м.пад}}} \right| \cos(\varphi_{\text{від}} - \varphi_{\text{пад}})}.$$

За умови, що потужність сигналу генератора електромагнітних коливань постійна, амплітуда падаючого сигналу  $\dot{U}_{\text{пад}}$  буде також постійна, а амплітуда відбитого сигналу  $\dot{U}_{\text{від}}$  може змінюватися, наприклад за допомогою регульованого атенюатора. Це дозволяє, як видно з виразу (7.14) регулювати за допомогою атенюатора модуль коефіцієнта відбиття  $|\Gamma|$ .

Фаза падаючого сигналу  $\varphi_{\text{пад}}$  при стабільній роботі генератора електромагнітних коливань, залишається постійною. Фаза відбитого сигналу залежить від електричної довжини вимірювального тракту, при зміні якої, як видно з виразу (7.15), можливо здійснити необхідне фазове зміщення  $\varphi_{\text{г}}$ .

Таким чином, вносячи певне загасання і змінюючи електричну довжину вимірювального тракту, можливо забезпечити необхідне значення модуля  $|\Gamma|$  і фази  $\varphi_{\text{г}}$  коефіцієнта відбиття в площині контактного пристроя, що відповідають необхідним значенням дійсного  $R$  (7.12) і уявного  $X$  (7.13) опорів у площині контактного пристроя.

Виходячи з вищерозробленого методу, вимірювання  $K_{ms}$  зводиться до подачі в "площину" загального виводу двох електромагнітних хвиль: падаючої  $\dot{U}_{\text{пад}}$  і відбитої  $\dot{U}_{\text{від}}$ . Потім шляхом зміни амплітуди  $|\dot{U}_{\text{від}}|$  і фази  $\varphi_{\text{від}}$  відбитої хвилі необхідно забезпечити нейтралізацію коефіцієнтів прямої і зворотної передачі чотириполюсника. Ці умови забезпечує вимірювальна установка, структурна схема якої показана на рис. 7.6 [15].

Принцип роботи вимірювальної установки такий. Менша частина сигналу генератора за допомогою направленого відгалужувача  $NB1$  подається на вход чотириполюсника  $\mathcal{C}$  і надходить у приседнаний на виході індикатор нуля  $I$  та спільну для входу і виходу лінію передачі. Сигнал, який варто розглядати, як "падаючий"  $\dot{U}_{\text{пад}}$  по цій лінії надходить в узгоджене навантаження  $Z_{03}$  і поглинається.

Велика частина сигналу генератора  $\Gamma$  проходить через послідовно включені регульовані атенюатор  $AT$  і фазообертач  $\Phi$  і за допомогою направленого відгалужувача  $NB2$  вводиться в спільну лінію передачі назустріч "падаючому" сигналу і його варто розглядати, як "відбитий" сигнал  $\dot{U}_{\text{від}}$ .

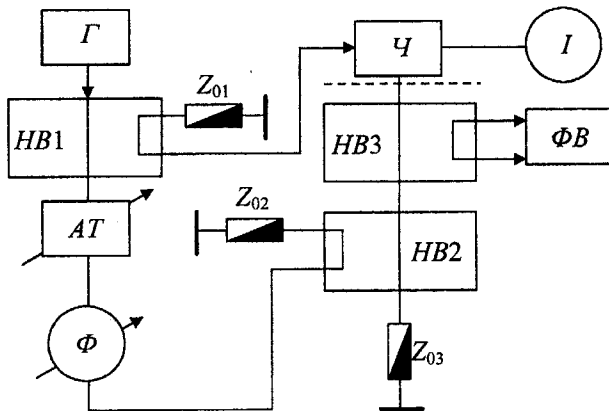


Рис. 7.6. Структурна схема установки для вимірювання  $K_{ms}$ :  
 $\Gamma$  – генератор гармонійних коливань;  $HB1$ ,  $HB2$ ,  $HB3$  – направлені відгалужувачі;  $AT$  – плавно регульований атенюатор;  
 $\Phi$  – плавно регульований фазообертач;  $Z_01 \dots Z_03$  – узгоджені навантаження;  $\mathcal{Ч}$  – вимірюваний чотириполюсник;  $I$  – індикатор нуля;  
 $\Phi В$  – фазовий вольтметр; ----- – площа калібрування

За допомогою третього направленого відгалужувача  $HB3$  на фазовий вольтметр подаються два сигнали, пропорційні напругам "падаючого"  $U_{пад}$  і "відбитого"  $U_{від}$  сигналів. Зробивши калібрування фазового вольтметра  $\Phi В$  у "площині відліку", де потрібно створення нейтралізуючих комплексних опорів  $Z_1$  і  $Z_2$ , шляхом закорочування спільноговиводу на спільну для вимірювальної установки шину, шляхом послідовної перебудови регульованих атенюатора  $AT$  і фазообертача  $\Phi$ , добиваємося нульових показань індикатора нуля  $I$ . За допомогою фазового вольтметра фіксуємо модуль  $|\Gamma|$  і фазу  $\varphi_\Gamma$  коефіцієнта відбиття в цій площині і розраховуємо на підставі (7.12) і (7.13) значення першого нейтралізуючого комплексного опору  $Z_1 = R_1 + jX_1$ , де

$$R_1 = Z_0 \frac{1 + |\Gamma_1|^2}{1 + |\Gamma_1|^2 - 2|\Gamma_1| \cos \varphi_{\Gamma_1}};$$

$$X_1 = Z_0 \frac{2|\Gamma_1| \sin \varphi_{\Gamma_1}}{1 + |\Gamma_1|^2 - 2|\Gamma_1| \cos \varphi_{\Gamma_1}}.$$

Підключивши генератор до виходу чотириполюсника, а інди-

тор нуля до його входу і повторивши вищеописані операції, визначаємо величину другого нейтралізуючого комплексного опору  $Z_2=R_2+jX_2$ , де

$$R_2 = Z_0 \frac{1 + |\Gamma_2|^2}{1 + |\Gamma_2|^2 - 2|\Gamma_2| \cos \varphi_{\Gamma_2}};$$

$$X_2 = Z_0 \frac{2|\Gamma_2| \sin \varphi_{\Gamma_2}}{1 + |\Gamma_2|^2 - 2|\Gamma_2| \cos \varphi_{\Gamma_2}}.$$

Після чого знаходимо шукане значення максимальнодосяжного коефіцієнта підсилення чотириполюсника на граници його стійкості

$$K_{ms} = \left| \frac{Z_1}{Z_2} \right| = \sqrt{\frac{(R_1 R_2 + X_1 X_2)^2 + (X_1 R_2 - R_1 X_2)^2}{R_2^2 + X_2^2}}.$$

З огляду на те, що амплітуда "відбитого" сигналу  $\dot{U}_{\text{від}}$  може бути як менша, так і більша амплітуди "падаючого" сигналу  $\dot{U}_{\text{пад}}$ , можлива реалізація в площині відліку як додатних, так і від'ємних значень активної складової нейтралізуючого опору, за відсутності у вимірювальній схемі негатронів, що виключає можливість збудження вимірювальної установки, а отже підвищує точність вимірювань. Виходячи з запропонованої методики, регульовані атенюатор і фазообертач можуть бути не каліброваними, мати істотну нелінійність і мати втрати (для фазообертача) чи неконтрольований фазовий набіг (для атенюатора). Це виключає їхній вплив на точність вимірювань у широкій смузі частот.

#### 7.4. Вимірювання мінімальнодосяжного значення дійсної складової вхідного (виходного) імітансу

Потенційна нестійкість чотириполюсника є негативним чинником при розробці більшості електронних схем. Однак існує цілий клас електронних схем (активні НВЧ фільтри, резонансні підсилювачі, транзисторні керуючі елементи, генератори гармонічних коливань, сенсори та ін.), що використовують такі чотириполюсники. При їхньому розрахунку найважливішим параметром є мінімально досяжне зна-

чення дійсної складової імітанса, яке можна реалізувати на його вхідних  $\text{Re}W_{\alpha,\min}$  і вихідних  $\text{Re}W_{\alpha,\max}$  клемах.

У загальному випадку вхідний  $W_{\alpha}$  і вихідний  $W_{\alpha,\max}$  імітанси чотириполюсника залежить, відповідно, від імітанса навантаження  $W_H$  і генератора  $W_R$  [1]

$$W_{\alpha,\max} = W_{11} - \frac{W_{12}W_{21}}{W_{22} + W_H}; \quad (7.16)$$

$$W_{\alpha,\min} = W_{22} - \frac{W_{12}W_{21}}{W_{11} + W_R}. \quad (7.17)$$

Отримаємо аналітичні вирази для мінімально досяжних дійсних імітансів на вході і виході чотириполюсника. З цією метою знайдемо дійсну і уявну складові імітанса  $W_{\alpha}$  (7.16)

$$\text{Re}W_{\alpha,\max} = \text{Re}W_{11} - \frac{\text{Re}(W_{12}W_{21}) + \sigma_H \text{Im}(W_{12}W_{21})}{(1 + \sigma_H^2) \text{Re}(W_{22} + W_H)},$$

$$\text{Im}W_{\alpha,\max} = \text{Im}W_{11} - \frac{\text{Im}(W_{12}W_{21}) - \sigma_H \text{Re}(W_{12}W_{21})}{(1 + \sigma_H^2) \text{Re}(W_{22} + W_H)},$$

де  $\sigma_H$  – нормований імітанс, що визначає фазову характеристику вихідного кола з урахуванням власного імітанса чотириполюсника  $W_{22}$

$$\sigma_H = \frac{\text{Im}(W_H + W_{22})}{\text{Re}(W_H + W_{22})}.$$

Величина  $\text{Re}W_{\alpha}$  є функцією  $\text{Re}W_H$  і  $\text{Im}W_H$ , причому остання входить тільки в параметр  $\sigma_H$ . Розв'язуючи рівняння  $\partial\text{Re}W_{\alpha}/\partial\sigma_H=0$  відносно  $\sigma_H$ , вважаючи  $\text{Re}W_H=\text{const}$ , знаходимо  $\sigma_{H0}$ , що відповідає найменшому значенню  $\text{Re}W_{\alpha}$  для заданого  $\text{Re}W_H$

$$\sigma_{H0} = \frac{|W_{12}W_{21}| - \text{Re}(W_{12}W_{21})}{\text{Im}(W_{12}W_{21})}.$$

У цьому випадку

$$\operatorname{Re} W_{ex} = \operatorname{Re} W_{11} - \frac{|W_{12}W_{21}| + \operatorname{Re}(W_{12}W_{21})}{2\operatorname{Re}(W_{22} + W_H)},$$

$$\operatorname{Im} W_H = \sigma_{H0} \operatorname{Re}(W_{22} + W_H) - \operatorname{Im} W_{22}.$$

Мінімальне значення  $\operatorname{Re} W_{ex}$  як функції відповідає умові  $\operatorname{Re} W_H = 0$  і дорівнює

$$\operatorname{Re} W_{aux,min} = \operatorname{Re} W_{11} - \frac{|W_{12}W_{21}| + \operatorname{Re}(W_{12}W_{21})}{2\operatorname{Re} W_{22}}. \quad (7.18)$$

Здійснивши аналогічні математичні операції з (7.17), знаходимо

$$\operatorname{Re} W_{aux,min} = \operatorname{Re} W_{22} - \frac{|W_{12}W_{21}| + \operatorname{Re}(W_{12}W_{21})}{2\operatorname{Re} W_{11}}. \quad (7.19)$$

Для визначення  $\operatorname{Re} W_{ex,min}$  і  $\operatorname{Re} W_{aux,min}$  потрібно здійснювати вимірювання імітанських  $W$ -параметрів чотириполюсника. У попередньому розділі було показано, що це веде до зниження точності, що пов'язано з великою похибкою вимірювання  $W$ -параметрів. Крім того велика імовірність неконтрольованого самозбудження вимірювальної установки при вимірюванні параметрів потенційно нестійких чотириполюсників, що також веде до росту похибки вимірювань. У зв'язку з цим виникає задача розробки методу вимірювання  $\operatorname{Re} W_{ex,min}$  і  $\operatorname{Re} W_{aux,min}$ , не пов'язаного з вимірюванням  $W$ -параметрів, що дозволило б підвищити точність і розширити частотний діапазон вимірювань.

Відомо [16], що кількісно запас стійкості чотириполюсника можна оцінити його інваріантним коефіцієнтом стійкості (7.2). У випадку, коли  $K_{c,e} < 1$ , чотириполюсник є потенційно нестійким і на його вхідних чи вихідних клемах при визначених значеннях імітанса навантаження  $W_H$  чи генератора  $W_G$ , може бути реалізований від'ємний опір (провідність). Визначимо її значення через внутрішній інваріантний коефіцієнт стійкості чотириполюсника. З цією метою перетворимо (7.18) з урахуванням (7.2)

$$Re W_{\text{вих.} \min} = \frac{2 Re W_{11} Re W_{22} - Re(W_{12} W_{21}) - |W_{12} W_{21}|}{2 Re W_{22}} \cdot \frac{|W_{12} W_{21}|}{|W_{12} W_{21}|} = \\ = \frac{[2 Re W_{11} Re W_{22} - Re(W_{12} W_{21})] |W_{12} W_{21}|}{2 Re W_{22} |W_{12} W_{21}|} - \frac{|W_{12} W_{21}|}{2 Re W_{22}} = \frac{|W_{12} W_{21}|}{2 Re W_{22}} (K_{c,s} - 1).$$
(7.20)

Виконуючи аналогічні з виразом (7.19), перетворення знаходимо

$$Re W_{\text{вих.} \max} = \frac{|W_{12} W_{21}|}{2 Re W_{11}} (K_{y,s} - 1). \quad (7.21)$$

Аналітичні вирази (7.20) і (7.21) не дозволяють безпосередньо розв'язати поставлену задачу, тому що вимірювання  $K_{c,s} < 1$  також пов'язане зі значними технічними труднощами і не має великої точності. Тому пропонується послідовно присуднювати до входу потенційно нестійкого чотириполюсника відомі імітанси  $W_1$  і  $W_2$ . Інваріантні коефіцієнти стійкості такого навантаженого чотириполюсника будуть додівнювати

$$K_{c1} = \frac{2 \operatorname{Re}(W_{11} + W_1) \operatorname{Re} W_{22} - \operatorname{Re}(W_{12} W_{21})}{|W_{12} W_{21}|} ; \quad (7.22)$$

$$K_{c2} = \frac{2 \operatorname{Re}(W_{11} + W_2) \operatorname{Re} W_{22} - \operatorname{Re}(W_{12} W_{21})}{|W_{12} W_{21}|}. \quad (7.23)$$

Вибираючи досить великі значення  $\operatorname{Re} W_1$  і  $\operatorname{Re} W_2$ , завжди можна забезпечити стійкість навантаженого потенційно нестійкого чотириполюсника, тобто  $K_{c1} > 1$  і  $K_{c2} > 1$ .

Підставляючи (7.2) у (7.22) і (7.23), знаходимо

$$K_{c1} = K_{c,s} + \frac{2 \operatorname{Re} W_1 \operatorname{Re} W_{22}}{|W_{12} W_{21}|}; \quad (7.24)$$

$$K_{c2} = K_{c,s} + \frac{2 \operatorname{Re} W_2 \operatorname{Re} W_{22}}{|W_{12} W_{21}|}. \quad (7.25)$$

Розв'язуючи систему рівнянь (7.24) і (7.25), отримаємо

$$K_{c2} = K_{c_3} + \frac{2 \operatorname{Re} W_2 (K_{c1} - K_{c_3})}{\operatorname{Re} W_1}; \quad (7.26)$$

$$\frac{2 \operatorname{Re} W_{22}}{|W_{12} W_{21}|} = \frac{K_{c1} - K_{c_3}}{\operatorname{Re} W_1}. \quad (7.27)$$

Розв'язуємо (7.26) відносно  $K_{c_3}$

$$K_{c_3} = \frac{\operatorname{Re} W_2 K_{c1} - \operatorname{Re} W_1 K_{c2}}{\operatorname{Re}(W_1 - W_2)}. \quad (7.28)$$

Підставляємо (7.28) у (7.27)

$$\frac{2 \operatorname{Re} W_{22}}{|W_{12} W_{21}|} = \frac{K_{c2} - K_{c1}}{\operatorname{Re}(W_2 - W_1)}. \quad (7.29)$$

З урахуванням отриманих розв'язків (7.28) і (7.29) рівняння (7.20) запишемо у вигляді

$$\operatorname{Re} W_{\text{ix}, \min} = \frac{(K_{c2} - 1) \operatorname{Re} W_1 - (K_{c1} - 1) \operatorname{Re} W_2}{K_{c1} - K_{c2}}. \quad (7.30)$$

Аналогічно, при послідовному включенні на виході чотириполюсника імітанців  $W_3$  і  $W_4$ , інваріантні коефіцієнти стійкості такого навантаженого чотириполюсника будуть дорівнювати

$$K_{c3} = \frac{2 \operatorname{Re} W_{11} \operatorname{Re}(W_{22} + W_3) - \operatorname{Re}(W_{12} W_{21})}{|W_{12} W_{21}|}; \quad (7.31)$$

$$K_{c4} = \frac{2 \operatorname{Re} W_{11} \operatorname{Re}(W_{22} + W_4) - \operatorname{Re}(W_{12} W_{21})}{|W_{12} W_{21}|}. \quad (7.32)$$

Вибираючи досить великі значення  $\operatorname{Re} W_3$  і  $\operatorname{Re} W_4$ , завжди можна забезпечити стійкість чотириполюсника, тобто  $K_{c3} > 1$  і  $K_{c4} > 1$ .

Розв'язуючи (7.31) і (7.32) і виконуючи перетворення аналогічні попереднім, знаходимо

$$Re W_{\text{вих.} \cdot \min} = \frac{(K_{c4} - 1) Re W_3 - (K_{c3} - 1) Re W_4}{K_{c3} - K_{c4}}. \quad (7.33)$$

Аналіз отриманих аналітичних виразів (7.30) і (7.33) для мінімально досяжних значень вхідного і вихідного дійсного імітанса потенційно нестійких чотириполюсників показує, що послідовно підключаючи до входу і виходу потенційно нестійкого чотириполюсника імітанси  $W_1$ ,  $W_2$ ,  $W_3$ ,  $W_4$  з відомими дійсними складовими, метод вимірювання  $Re W_{\text{ex.} \cdot \min}$  і  $Re W_{\text{вих.} \cdot \min}$  зводиться до вимірювання тільки чотирьох значень  $K_{c1}$ - $K_{c4}$ , інваріантного коефіцієнта стійкості навантаженого стійкого чотириполюсника.

Для  $Re W_{\text{ex.} \cdot \min}$  значення  $K_{c1}$  і  $K_{c2}$  можна визначити за результатами вимірювання потужності сигналу, що пройшов через навантажений потенційно нестійкий чотириполюсник у прямому і зворотному напрямках, при його двосторонньому узгодженні. Дійсно, при подачі електромагнітних коливань на вхід чотириполюсника з ввімкненим на його вході імітансом  $W_1$ , коли вхідний імітанс навантаженого чотириполюсника узгоджений з імітансом генератора, потужність сигналу на його виході, що надходить в узгоджене навантаження, дорівнює [1]

$$P_{11} = P_\Gamma K_{\text{ном. } 1}, \quad (4.34)$$

де  $P_\Gamma$  – потужність генератора,  $K_{\text{ном. } 1}$  – номінальний коефіцієнт прямої передачі навантаженого чотириполюсника за потужністю.

При подачі електромагнітних коливань генератора на вихід чотириполюсника з ввімкненим на його вході імітансом  $W_1$  в режимі узгодження, потужність сигналу на його вході буде дорівнювати

$$P_{12} = P_\Gamma K_{\text{ном. } 2}, \quad (7.35)$$

де  $K_{\text{ном. } 2}$  – номінальний коефіцієнт зворотної передачі за потужністю навантаженого чотириполюсника.

Аналогічні співвідношення отримаємо для режиму узгодження у випадку ввімкнення на вході чотириполюсника другого імітансу  $W_2$

$$P_{21} = P_\Gamma K_{\text{ном. } 10}; \quad (7.36)$$

$$P_{22} = P_\Gamma K_{\text{ном. } 20}. \quad (7.37)$$

Відомий однозначний зв'язок між номінальними коефіцієнтами передачі за потужністю стійких чотириполюсників та їх інваріантними коефіцієнтами стійкості [17]

$$K_{\text{ном}1} = \left| \frac{W_{21}}{W_{12}} \right| \left( K_{c1} - \sqrt{K_{c1}^2 - 1} \right); \quad (7.38)$$

$$K_{\text{ном}2} = \left| \frac{W_{12}}{W_{21}} \right| \left( K_{c1} - \sqrt{K_{c1}^2 - 1} \right); \quad (7.39)$$

$$K_{\text{ном}10} = \left| \frac{W_{21}}{W_{12}} \right| \left( K_{c2} - \sqrt{K_{c2}^2 - 1} \right); \quad (7.40)$$

$$K_{\text{ном}20} = \left| \frac{W_{12}}{W_{21}} \right| \left( K_{c2} - \sqrt{K_{c2}^2 - 1} \right). \quad (7.41)$$

Розв'язуючи (7.38–7.41) відносно  $K_{c1}$  і  $K_{c2}$ , з урахуванням (7.34–7.37), знаходимо

$$K_{c1} = \frac{P_\Gamma^2 + P_{11}P_{12}}{2P_\Gamma\sqrt{P_{11}P_{12}}}; \quad (7.42)$$

$$K_{c2} = \frac{P_\Gamma^2 + P_{21}P_{22}}{2P_\Gamma\sqrt{P_{21}P_{22}}}. \quad (7.43)$$

Таким чином, як випливає із виразів (7.30, 7.42 та 7.43), для визначення  $\text{Re}W_{ex,min}$  при відомих  $\text{Re}W_1$ ,  $\text{Re}W_2$  та постійній потужності генератора, достатньо провести вимірювання потужності сигналу, який пройшов через навантажений чотириполюсник у прямому та зворотному напрямках.

Для здійснення вимірювань  $\text{Re}W_{ex,min}$  розроблена вимірювальна установка, структурна схема якої показана на рис. 7.7 [18].

Установка складається з генератора електромагнітних коливань  $\Gamma$ , вихід якого через узгоджувальний трансформатор  $YT2$  з'єднаний із входом комутатора  $K3$ . Один із виходів цього комутатора з'єднаний із

виходом невзаємного чотириполюсника і першим входом другого комутатора  $K2$ . Вихід комутатора  $K2$  через другий узгоджувальний трансформатор  $YT1$  з'єднаний із входом вимірювача потужності  $BП$ . Другий вихід комутатора  $K3$  з'єднаний із другим входом комутатора  $K2$  і з входом комутатора  $K1$ . Перший вихід цього комутатора з'єднаний через перший комплексний опір  $W_1$  із відомою дійсною складовою з входом невзаємного чотириполюсника. Другий вихід комутатора  $K1$  через другий комплексний опір  $W_2$  з'єднаний також із входом невзаємного чотириполюсника.

Вимірювання здійснюється таким чином. Від генератора  $\Gamma$  електромагнітні коливання постійної потужності і частоти подають через узгоджувальний трансформатор  $YT2$  і комутатор  $K3$  на вхід комутатора  $K1$ , вихід якого через перший комплексний опір  $W_1$  з'єднується з входом невзаємного чотириполюсника. Вихід невзаємного чотириполюсника за допомогою комутатора  $K2$  через узгоджувальний трансформатор  $YT1$  з'єднується з входом вимірювача потужності  $BП$ . Потім за допомогою узгоджувальних трансформаторів  $YT2$  і  $YT1$ , встановлюється режим узгодження опору генератора електромагнітних коливань  $\Gamma$  із вхідним опором невзаємного чотириполюсника при включенному в його вхідне коло першим комплексним опором  $W_1$  і узгодження опору вимірювача потужності  $BП$  із вихідним опором невзаємного чотириполюсника. В цьому режимі вимірюють потужність  $P_{11}$  електромагнітних коливань на його виході. Потім за допомогою комутатора  $K3$  електромагнітні коливання генератора  $\Gamma$  подаються через другий комплексний опір  $W_2$  із відомою дійсною складовою на вхід невзаємного чотириполюсника. За допомогою узгоджувальних трансформаторів  $YT1$  і  $YT2$ , встановлюється режим узгодження опору генератора  $\Gamma$  із вхідним опором невзаємного чотириполюсника при включеному в його вхідне коло другим комплексним опором  $W_2$  із відомою дійсною складовою, і узгодження опору вимірювача потужності  $BП$  із вихідним опором невзаємного чотириполюсника. В цьому режимі вимірюють потужність  $P_{21}$  електромагнітних коливань на його виході.

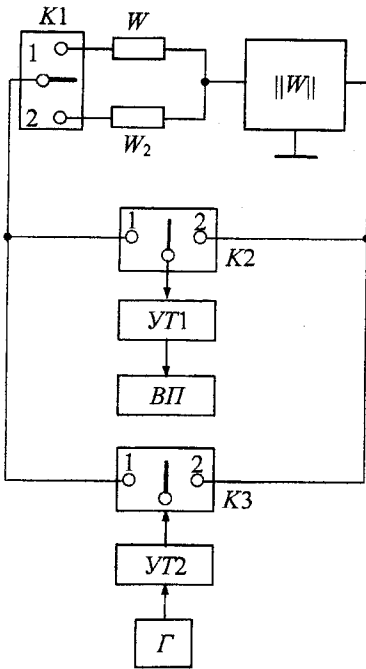


Рис. 7.7. Структурна схема установки для вимірювання мінімальнодосяжного дійсного імітанса потенційнонестійкого чотириполюсника:  $\|W\|$  – потенційнонестійкий чотириполюсник;  $K1-K3$  – комутатори;  $YT1$  та  $YT2$  – узгоджувальні трансформатори;  $\Gamma$  – вимірювальний генератор;  $BП$  – вимірювач потужності

Потім електромагнітні коливання генератора  $\Gamma$  через узгоджувальний трансформатор  $YT1$  і комутатор  $K1$  подаються на вихід невзаємного чотириполюсника, а вимірювач потужності  $BП$  через узгоджувальний трансформатор  $YT2$ , і комутатор  $K2$  підключаються до входу комутатора  $K3$  і здійснюють вимірювання потужності  $P_{12}$  і  $P_{22}$  електромагнітних коливань на вході невзаємного чотириполюсника у режимі узгодження опору генератора  $\Gamma$  електромагнітних коливань із вихідним опором невзаємного чотириполюсника й узгодження опору вимірювача потужності  $BП$  із вихідним опором невзаємного чотириполюсника при послідовному підключені за допомогою комутатора  $K3$

комплексних опорів  $W_1$  і  $W_2$  із відомою дійсною складовою.

Після чого, за вимірюними значеннями потужностей  $P_{11}$ ,  $P_{21}$ ,  $P_{12}$ ,  $P_{22}$  мінімальнодосяжний дійсний імітанс чотириполюсника може бути визначений, з використанням виразів (7.40), (7.41) та (7.28).

Розвернувши чотириполюсник на  $180^\circ$ , і роблячи аналогічні операції для випадків, коли відомі імітанси  $W_3$  і  $W_4$  будуть підключатися до його виходу, з використанням (7.33) визначаємо шукане значення  $\text{Re}W_{\text{ex,min}}$ .

Реалізація установки здійснена для діапазону частот 0,1...4 ГГц, у якому в якості лінії передачі використовувався 50-омний коаксіальний тракт. З огляду на те, що метод розроблений для лінійних чотириполюсників, потужність вимірювального генератора не повинна перевищувати величини порогу, де виявляються нелінійні властивості напівпровідникових приладів, тобто вони повинні працювати в режимі "малого сигналу". Границя цього режиму для малосигнальних транзисторів визначена в [19] і складає  $10^{-4}$  Вт. Ці умови забезпечувалися вимірювальним генератором типу Г4-33 зі змінними генераторними блоками. Для забезпечення режиму узгодження використовувалися трансформатори типу Э1-46, а рівень потужності вимірювався термісторним вимірювачем МЗ-1.

Нестандартним елементом вимірювальної установки є компоненти  $W_1 \dots W_4$  з відомою величиною дійсної складової імітансу. В якості таких компонентів використовувалися прецизійні резистори типу CR0402 і CR0603. Від точності визначення дійсної складової імітансу цього компонента багато в чому залежить похибка запропонованого методу. Виходячи з цього в [20] запропоновано новий метод вимірювання  $W_1 \dots W_4$ , що забезпечує усунення впливу реактивного опору на точність вимірювання активної складової.

## 7.5. Вимірювання коефіцієнта невзаємності

Невзаємні властивості стійких чотириполюсників прийнято характеризувати коефіцієнтом невзаємності вигляду [17]

$$K_n (K_{c,b} < 1) = \frac{K_{\text{nom}21}}{K_{\text{nom}12}} = \left| \frac{W_{21}}{W_{12}} \right|^2 = K_{ms}^2. \quad (7.44)$$

З огляду на те, що для визначення  $K_{ms}$  існує велика кількість різних методів, можна вважати, що проблеми вимірювання  $K_n$  для стій-

ких чотириполюсників немає.

Параметр (7.44) неможливо застосувати для потенційнонестійких чотириполюсників, тому що за визначенням для них не існує поняття номінального коефіцієнта передачі потужності  $K_{\text{ном}21}$  ( $K_{\text{ном}12}$ ). Тому невзаємні властивості потенційнонестійких чотириполюсників характеризує коефіцієнт невзаємності вигляду [17]

$$K_n (K_{c.v} < 1) = \frac{\operatorname{Re} W_{\text{вих. min}}}{\operatorname{Re} W_{\text{вх. min}}}.$$

Таким чином, вимірюючи  $\operatorname{Re} W_{\text{вх. min}}$  і  $\operatorname{Re} W_{\text{вих. min}}$ , з використанням методу розробленого в попередньому параграфі, може бути визначена величина  $K_n$  для випадку потенційнонестійкого чотириполюсника. Недоліком такого методу є його велика трудомісткість, пов'язана насамперед з необхідністю здійснення послідовних операцій узгодження чотириполюсника при чотирьох різних навантаженнях, що забезпечують його стійкість. У зв'язку з цим виникла задача розробки спрощеного методу вимірювання  $K_n$  для таких чотириполюсників.

Підставляючи (7.18) і (7.19) у (7.45) знаходимо

$$K_n (K_{c.v} < 1) = \frac{\operatorname{Re} W_{22}}{\operatorname{Re} W_{11}}. \quad (7.45)$$

На підставі теорії конформних відображення [21], для лінійного чотириполюсника пряма лінія  $\operatorname{Re} W_H=0$  відображається на комплексній площині  $W_{\text{вх}}$  колом з радіусом (див. рис. 7.1)

$$\rho_{\text{вх}} = |W_{\text{вх}} - W_{\text{вх.0}}|, \quad (7.46)$$

де  $W_{\text{вх.0}}$  – координата центра кола вхідного імітансу

$$W_{\text{вх.0}} = W_{11} - \frac{W_{12} W_{21}}{2 \operatorname{Re} W_{22}}. \quad (7.47)$$

Аналогічно, залежність вихідного імітансу  $W_{\text{вих}}$  від  $\operatorname{Im} W_H$  при  $\operatorname{Re} W_H=0$  на комплексній площині зображають коло з радіусом

$$\rho_{\text{вих}} = |W_{\text{вих}} - W_{\text{вих.0}}|, \quad (7.48)$$

де  $W_{aux,0}$  – координата центра кола вихідного імітансу

$$W_{aux,0} = W_{22} - \frac{W_{12}W_{21}}{2 \operatorname{Re} W_{11}}. \quad (7.49)$$

Підставляючи (7.47) у (7.46) і (7.49) у (7.48) знаходимо

$$\rho_{aux} = \frac{|W_{12}W_{21}|}{2 \operatorname{Re} W_{22}}; \quad (7.50)$$

$$\rho_{aux} = \frac{|W_{12}W_{21}|}{2 \operatorname{Re} W_{11}}. \quad (7.51)$$

Розв'язуючи (7.50) і (7.51) відносно  $\operatorname{Re} W_{11}$  і  $\operatorname{Re} W_{22}$ , відповідно, і підставляючи їх у (7.45), знаходимо

$$K_n(K_{c,s} < 1) = \frac{\rho_{aux}}{\rho_{ex}}. \quad (7.52)$$

Таким чином, значення коефіцієнта невзаємності потенційнонестійкого чотириполюсника може бути визначена за результатами вимірювання радіусів вихідного  $\rho_{ex}$  і вихідного  $\rho_{aux}$  імітансних кіл в разі виконання умов  $\operatorname{Re} W_H=0$ ;  $\operatorname{Re} W_I=0$ .

Поділивши (7.49) на (7.47), знаходимо

$$\frac{\operatorname{Re} W_{aux,0}}{\operatorname{Re} W_{ex,0}} = \frac{\operatorname{Re} W_{22}}{\operatorname{Re} W_{11}} = K_n(K_{c,s} < 1). \quad (7.53)$$

Отриманий вираз (7.53) вказує на такий метод визначення  $K_n(K_{c,s} < 1)$ , що полягає в знаходженні відношення дійсних складових координат центрів вихідного  $\operatorname{Re} W_{aux,0}$  і вихідного  $\operatorname{Re} W_{ex,0}$  імітансних кіл.

Як у першому, так і в другому методі, визначення радіуса і координат центра імітансного кола може бути зроблене за результатами вимірювання вихідного  $W_{ex}$  чи вихідного  $W_{aux}$  імітансів чотириполюсника для трьох довільних значень реактивної складової імітанса навантаження ( $\operatorname{Im} W_H-var$ ) чи генератора ( $\operatorname{Im} W_I-var$ ), відповідно. За умови, що  $\operatorname{Re} W_H=0$  чи  $\operatorname{Re} W_I=0$ .

Для з'ясування в якому випадку будуть використовуватися простіші процедури розрахунків, одержимо аналітичні вирази для радіуса і дійсної складової центра кола, вираженої через координати її трьох точок. Для цього запишемо систему рівнянь кола, виражених через координати її трьох точок [22]

$$\begin{cases} (x_1 - a)^2 + (y_1 - b)^2 = \rho_0^2; \\ (x_2 - a)^2 + (y_2 - b)^2 = \rho_0^2; \\ (x_3 - a)^2 + (y_3 - b)^2 = \rho_0^2, \end{cases} \quad (7.54)$$

де  $x_1, x_2, x_3$  і  $y_1, y_2, y_3$  – абсциси й ординати точок на колі з радіусом  $\rho_0$ ;  $a$  і  $b$  – абсциса й ордината центра кола, відповідно.

Розв'язання системи (7.54) [23] запишемо

$$\begin{aligned} a &= \frac{x_2^2 - x_1^2 + y_2^2 - y_1^2 - 2b(y_2 - y_1)}{2(x_2 - x_1)}; \\ b &= \frac{(x_2^2 - x_1^2 + y_2^2 - y_1^2)(x_2 - x_3) - (x_2^2 - x_1^2 + y_2^2 - y_3^2)(x_2 - x_1)}{2[(y_3 - y_2)(x_2 - x_1) - (y_1 - y_2)(x_2 - x_3)]}; \\ \rho_0 &= \sqrt{(x_1 - a)^2 + (y_1 - b)^2}. \end{aligned} \quad (7.55)$$

Аналіз (7.55) показує, що радіус кола  $\rho_0$ , у розглянутому випадку, є похідною від координат ( $a$  і  $b$ ) її центра, що дозволяє зробити висновок про доцільність визначення  $K_n$  ( $K_{c,e} < 1$ ) через ординати центрів імітансних кіл, визначених за результатами вимірювання вхідного  $W_{ex}$  і вихідного  $W_{aux}$  імітансів.

Для вимірювання вхідного і вихідного імітансу чотириполюсника немає необхідності розробляти спеціальні вимірювальні установки, тому що в діапазоні від низьких до надвисоких частот вони розроблені і серійно випускаються промисловістю [23, 24].

## 7.6. Вимірювання частотних параметрів

Особливу групу робочих параметрів чотириполюсника складають його частотні параметри: гранична  $f_e$  і оптимальна  $f_{opt}$  частоти. Вони

характеризують тільки потенційнонестійкі чотириполюсники.

Границя частота, це частота відповідна границі частотної області потенційної нестійкості чотириполюсника (рис. 7.8). Методи безпосереднього визначення  $f_e$  відсутні. В даний час існує три шляхи визначення цієї частоти. Перший пов'язаний з аналізом фізичної еквівалентної схеми чотириполюсника і одержання аналітичного виразу  $f_e$  через робочі параметри чотириполюсника, що можуть бути виміряні. Прикладом такого рішення є отриманий в [25] вираз для граничної частоти чотириполюсника на базі біполярного транзистора

$$f_{e,b} = 0,5 f_{\text{вим}} \sqrt{K_{ms}^K \cdot K_{ms}^B},$$

де  $f_{\text{вим}}$  – частота вимірювань;  $K_{ms}^K$  і  $K_{ms}^B$  – мінімальнодосяжні стійкі коефіцієнти передачі за потужністю транзистора в схемі з спільним колектором і спільною базою.

Однак для більшості інших видів чотириполюсників у даний час такі аналітичні вирази не знайдені.

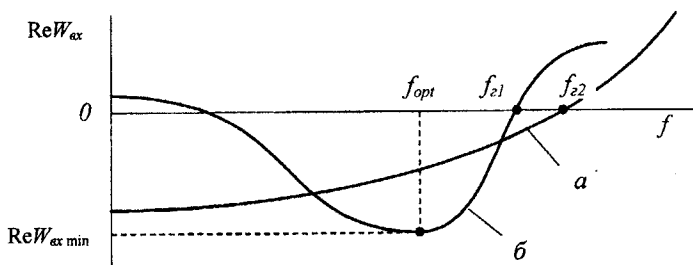


Рис. 7.8. Якісні залежності дійсної складової вхідного імпедансу потенційнонестійкого статичного (а) і динамічного (б) негатронів

Другий метод можливо реалізувати шляхом використання визначення граничної частоти, з якого відомо, що на  $f_e$  маємо  $K_{c,e}(f_e)=1$ . Таким чином, виконуючи вимірювання  $K_{c,e}$  за одним з вище описаних методів можливе знаходження  $f_e$  чотириполюсника.

Третій можливий варіант отримання  $f_e$  пов'язаний з пошуком максимальної частоти, на якій  $\text{Re}W_{ex,min}=\text{Re}W_{aux,min}=0$ . Зважаючи на відсутність відносно простих методів вимірювання  $\text{Re}W_{ex,min}$  і  $\text{Re}W_{aux,min}$ , цей метод визначення  $f_e$  у даний час також не одержав практичного застосування.

У зв'язку з цим в [25] запропоновано екстраполяційний метод пошуку  $f_r$ . Його суть полягає в експериментальному вимірюванні двох значень  $K_{c.v}$  на частотах, де  $K_{c.v} < 1$  (частота  $f_1$ ) і  $K_{c.v} > 1$  (частота  $f_2$ ) (рис. 7.9).

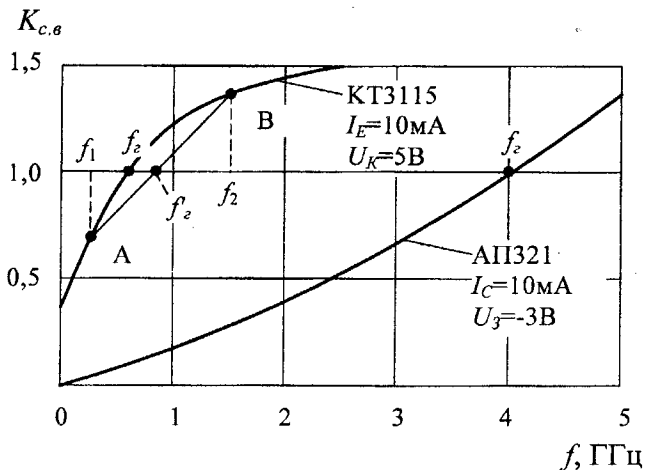


Рис. 7.9. Розрахункові значення внутрішнього інваріантного коефіцієнта стійкості четыриполюсників на базі біполярного і польового транзисторів

Виходячи з подібності трикутників  $f_1$ ,  $A$ ,  $f'_r$  і  $f_2$ ,  $B$ ,  $f'_r$  (рис. 7.9), знаходимо

$$\frac{K_{c.v.1}}{K_{c.v.2}} = \frac{f'_r - f_1}{f_2 - f'_r}, \quad (7.56)$$

де  $f'_r$  – частота на перетині прямої, що з'єднує виміряні значення  $K_{c.v.1}$  і  $K_{c.v.2}$ , що є екстраполюючою прямою частотної залежності кривої  $K_{c.v}(f)$  поблизу граничної частоти  $f_r$ .

Розв'язуючи (4.56) відносно  $f'_r$  знаходимо

$$f'_r = \frac{f_2 K_{c.v.1} + f_1 K_{c.v.2}}{K_{c.v.1} + K_{c.v.2}}. \quad (7.57)$$

Величина  $f'_r$  є шуканим значенням  $f_r$ , визначену з відносною

похибкою  $\delta_{f_r} = \frac{f'_r - f_r}{f_r}$ . Величина цієї похибки буде тим менша, чим

ближче обрані частоти вимірювання  $f_1$  і  $f_2$  до частоти  $f_r$ , чим менше нелінійність кривої  $K_{c,b}(f_r)$  і чим з більшою точністю будуть вимірювані значення  $K_{c,b}$ . З огляду на те, що кривизна  $K_{c,b}(f_r)$  не залежить від експериментатора, а похибка вимірювання  $K_{c,b}$  визначається вибором одного з відомих методів [6], зменшення похибки визначенням  $f_r$  можна досягти повторними вимірюваннями  $K_{c,b}$  на частотах  $f'_1 > f_1$  і  $f'_2 < f_2$ .

Аналогічний інтерполяційний метод може бути використаний для пошуку  $f_r$  за результатами вимірювання мінімально досяжного вхідного (вихідного) імітанса на частоті  $f_1$ , де  $\operatorname{Re} W_{\min} < 0$  і на частоті  $f_2$ , де  $\operatorname{Re} W_{\min} > 0$  (рис. 7.8). У цьому випадку

$$f'_r = \frac{f_2 \operatorname{Re} W_{\min 1} + f_1 \operatorname{Re} W_{\min 2}}{\operatorname{Re} W_{\min 1} + \operatorname{Re} W_{\min 2}}. \quad (7.58)$$

Однак з огляду на те, що труднощі вимірювання  $\operatorname{Re} W_{\min}$  значно перевершують трудомісткість вимірювання  $K_{c,b}$ , цей шлях пошуку  $f_r$  видається менш перспективним.

Оптимальна частота перетворення імітанса  $f_{opt}$  – це частота, характерна для потенційно нестійких чотиріполюсників ( $K_{c,b} < 1$ ), на якій  $\operatorname{Re} W_{ax,\min} < 0$  і  $\operatorname{Re} W_{aux,\min} < 0$  і виконуються умови

$$\frac{\partial \operatorname{Re} W_{ax,\min}}{\partial f} = 0;$$

$$\frac{\partial \operatorname{Re} W_{aux,\min}}{\partial f} = 0.$$

Потенційно нестійкий чотиріполюсник може мати дві оптимальні частоти перетворення імітансу: по входу  $f_{opt,ax}$  і по виходу  $f_{opt,aux}$ .

Аналітичне визначення цих параметрів шляхом розв'язку (7.18) і (7.19) неможливе внаслідок залежності всіх імітансних  $W$ -параметрів чотиріполюсника від частоти.

Експериментальне визначення  $f_{opt}$  можливе шляхом послідовного вимірювання  $\operatorname{Re} W_{ax,\min}$  і  $\operatorname{Re} W_{aux,\min}$ . Однак це вимагає проведення великої кількості вимірювань інваріантного коефіцієнта стійкості навантаженого чотиріполюсника.

Для спрощення пошуку  $f_{opt}$  запропоновано графоаналітичний метод знаходження цієї частоти за результатами експериментального

вимірювання  $\operatorname{Re}W_{ex,min}$  на чотирьох різних частотах.

Перша  $f_1$  і друга  $f_2$  частоти вимірювання вибираються в області (рис. 7.10), де

$$\operatorname{Re}W_{ex,min} < 0; \frac{\partial \operatorname{Re}W_{ex,min}}{\partial f} < 0 \text{ або } \operatorname{Re}W_{aux,min} < 0; \frac{\partial \operatorname{Re}W_{aux,min}}{\partial f} < 0.$$

Третя  $f_3$  і четверта  $f_4$  частоти вимірювання вибираються в області, де

$$\operatorname{Re}W_{ex,min} < 0; \frac{\partial \operatorname{Re}W_{ex,min}}{\partial f} > 0 \text{ або } \operatorname{Re}W_{aux,min} > 0; \frac{\partial \operatorname{Re}W_{aux,min}}{\partial f} > 0.$$

Визначення оптимальної частоти основане на пошуку спільногорозв'язку системи рівнянь для двох прямих, що апроксимують відрізки кривої  $\operatorname{Re}W_{ex,min}$  ( $\operatorname{Re}W_{aux,min}$ ) на частотах, що лежать нижче і вище  $f_{opt}$  (рис. 7.10)

$$\begin{aligned} \frac{\operatorname{Re}(W_{min,0} - W_{min,1})}{\operatorname{Re}(W_{min,2} - W_{min,1})} &= \frac{f_{opt} - f_1}{f_2 - f_1}; \\ \frac{\operatorname{Re}(W_{min,0} - W_{min,3})}{\operatorname{Re}(W_{min,4} - W_{min,3})} &= \frac{f_{opt} - f_3}{f_4 - f_3}, \end{aligned} \quad (7.59)$$

де  $\operatorname{Re}W_{min,0}$ ,  $\operatorname{Re}W_{min,1} \dots \operatorname{Re}W_{min,4}$  – значення мінімальнодосяжного дійсного імітансу потенційнонестійкого чотириполюсника на оптимальній частоті перетворення і на частотах  $f_1 \dots f_4$ , відповідно.

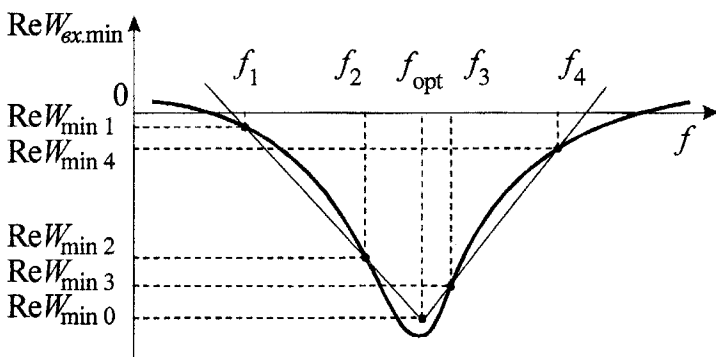


Рис. 7.10. Пояснення графоаналітичного методу пошуку  $f_{opt}$

Система рівнянь (7.59) аналогічна як для випадку пошуку  $f_{opt}$ , як на вході так і на виході чотиріполюсника.

Розв'язуючи систему (7.59), знаходимо

$$f_{opt} = \frac{ADf_3 - BCf_1 + AC \operatorname{Re}(W_{\min 1} - W_{\min 3})}{AD - BC},$$

де  $A=f_2-f_1$ ;  $B=\operatorname{Re}(W_{\min 2}-W_{\min 1})$ ;  $C=f_4-f_3$ ;  $D=\operatorname{Re}(W_{\min 4}-W_{\min 3})$ .

Одночасно розв'язок системи (7.59) дозволяє визначити наближене значення  $\operatorname{Re}W_{\min}$  на оптимальній частоті перетворення імітансу

$$\operatorname{Re}W_{\min}(f_{opt}) = \frac{(f_{opt} - f_3)D}{C} + \operatorname{Re}W_{\min 3}.$$

Похибка визначення  $f_{opt}$  в значній мірі буде залежати від частотної нелінійності кривої  $\operatorname{Re}W_{\min}$  і може бути знижена шляхом повторних вимірювань на частотах, відмінних від  $f_1 \dots f_4$  з наступним розрахунком  $f_{opt}$  і пошуком середнього значення цієї частоти, на основі першого, другого чи третього етапу вимірювань.

З огляду на те, що характер частотної залежності  $\operatorname{Re}W_{ex,min}$  і  $\operatorname{Re}W_{aux,min}$  різний, для кожного виду чотиріполюсника існують два значення оптимальної частоти перетворення імітансу на вході  $f_{opt,ex}$ , де  $\partial \operatorname{Re}W_{ex,min}/\partial f=0$  і на виході  $f_{opt,aux}$ , де  $\partial \operatorname{Re}W_{aux,min}/\partial f=0$ .

## 7.7. Визначення шумових параметрів

Шумові властивості чотиріполюсника визначають такі найважливіші параметри інформаційних пристройів, як чутливість і динамічний діапазон. При аналізі шумових властивостей інформаційних пристройів у більшості випадків зневажається вплив зворотного зв'язку в активному чотиріполюснику ( $W_{12}=0$ ), що припустимо для стійких чотиріполюсників.

У цьому випадку існують різні методи і засоби вимірювання шумових параметрів, у тому числі реалізованих у серійних вимірювачах коефіцієнта шуму (наприклад, X5-16, X5-29 та ін.).

У реальних чотиріполюсників  $W_{12} \neq 0$ . Крім того більшість з них потенційно нестійкі. У зв'язку з цим, застосування стандартних методів і засобів вимірювання шумових параметрів викликають деякі труднощі і часто не мають необхідної точності. К.А. Смогільовим у [26]

проведений детальний аналіз шумів чотириполюсника з внутрішнім зворотним зв'язком і показано, що варто розрізняти різні види коефіцієнта шуму в залежності від співвідношення вхідного (вихідного) імітанса чотириполюсника й імітансу генератора (навантаження). Потенційні властивості чотириполюсника характеризує мінімальнодосяжне значення коефіцієнта шуму  $F_{\text{ш} \min}$ , що може бути виміряне чи знайдене через ряд шумових коефіцієнтів. Методика знаходження цих коефіцієнтів обґрунтована в [27].

В якості математичної моделі інформаційного пристрою, що описує його шумові властивості, може бути використана формула К.А. Смогільова [26]. Перетворивши цю формулу для режимів: оптимального настроювання вхідного кола ( $\alpha_e = \alpha_{e \text{ opt}}$ ); нульового настроювання вхідного кола ( $\alpha_e = 0$ ); режиму узгодження зведеній провідності генератора і вхідного кола  $Y_e'$  до вхідної провідності  $Y_{\text{ex}}$  чотириполюсника ( $Y_e' = Y_{\text{ex}}$ ), знаходимо вирази для мінімальнодосяжних коефіцієнтів шуму в кожному з режимів, що розглядаються

$$F_{\text{ш} \min} (\alpha_r = \alpha_{r \text{ opt}}) = 1 + \frac{G'_{\text{ш}}}{R_e Y_r} + \frac{(\gamma'_{\text{ш}})^2}{R'_{\text{ш}} R_e Y_r}; \quad (7.60)$$

$$F_{\text{ш} \min} (\alpha_r = 0) = 1 + \frac{G_{\text{ш}}}{R_e Y_r} + \frac{\gamma_{\text{ш}}^2}{R_{\text{ш}} R_e Y_r}; \quad (7.61)$$

$$F_{\text{ш} \min} (\alpha_r = 0) = 1 + 4 \left[ \sqrt{R_{\text{ш}} \cdot G_{\text{ш}}} + \gamma_{\text{ш}} \right]. \quad (7.62)$$

де  $\alpha_e$  – узагальнене розладнання вхідного кола;  $R_e Y_r$  – дійсна складова провідності генератора;  $R_{\text{ш}}$   $\gamma_{\text{ш}}$   $G_{\text{ш}}$   $R_{\text{ш}0\alpha}$   $\gamma_{\text{ш}0\alpha}$  – шумові коефіцієнти інформаційного приладу

$$R'_{\text{ш}} = R_{\text{ш}} - \frac{\gamma_{\text{ш}0\alpha}^2}{R_{\text{ш}0\alpha}}; G'_{\text{ш}} = G_{\text{ш}} - \frac{\gamma_{\text{ш}0\alpha}^2}{R_{\text{ш}0\alpha}}; \gamma'_{\text{ш}} = \gamma_{\text{ш}} - \frac{\gamma_{\text{ш}0\alpha} \cdot \gamma_{\text{ш}0\alpha}}{R_{\text{ш}0\alpha}}.$$

Таким чином, знаючи шумові коефіцієнти інформаційного приладу можна однозначно визначити і його коефіцієнт шуму. В [26] запропонований аналітичний метод визначення цих коефіцієнтів. Але для цього необхідно виміряти параметри матриці провідності інформаційного приладу, що на високих, а тим більше надвисоких частотах

пов'язане з деякими труднощами. Тому в роботі [27] пропонується експериментальний метод визначення шумових коефіцієнтів, придатний для діапазону як високих, так і надвисоких частот.

В основі методу лежить припущення, що для інформаційних приладів на базі реальних транзисторів справедливі співвідношення  $R_{\text{ш}}=R_{\alpha x}$ ,  $g_{\alpha 0 \alpha}=0$ . Таким чином, стоять задача експериментального визначення п'яти шумових коефіцієнтів:  $R_{\text{ш}}$ ,  $G_{\text{ш}}$ ,  $\gamma_{\text{ш}}$ ,  $\gamma'_{\text{ш}}$ ,  $G'_{\text{ш}}$ .

З урахуванням відомого співвідношення для коефіцієнта відбиття від входу чотириполюсника [14]  $\Gamma = (Y_{\text{z}} - Y_{\alpha x}) / (Y_{\text{z}} + Y_{\alpha x})$ , розв'язуючи систему рівнянь (7.60–7.62) з урахуванням оптимального значення дійсної складової вхідної провідності інформаційного приладу  $\operatorname{Re} Y_{\alpha \text{dopt}} (\alpha_{\text{z}} = 0) = -\operatorname{Re} Y_{\alpha} - \gamma_{\alpha} / R_{\alpha}$ , що забезпечує мінімальне значення коефіцієнта шуму  $F_{\text{ш}, \min} (\alpha_{\text{z}} = 0)$  при нульовому розладненні, знаходимо

$$R_{\text{ш}} = \frac{(\Gamma_{\text{bx}0} + 1) / F'_{\text{ш}, \min} (\alpha_{\text{r}} = 0) - 1)^2}{16 \operatorname{Re} Y_{\Gamma} / (\Gamma_{\text{bx}0} + 1) F_{\text{ш}, \min} (\alpha_{\text{r}} = 0) - F'_{\text{ш}, \min} (\alpha_{\text{r}} = 0)}, \quad (7.63)$$

$$\gamma_{\text{ш}} = -\frac{2R_{\text{ш}} \cdot \operatorname{Re} Y_{\Gamma}}{\Gamma_{\text{bx}0} + 1}, \quad (7.64)$$

$$G_{\text{ш}} = \operatorname{Re} Y_{\text{r}} \frac{2\gamma_{\text{ш}} + (\Gamma_{\text{bx}0} + 1) [F_{\text{ш}, \min} (\alpha_{\text{r}} = 0) - 1]}{\Gamma_{\text{bx}0} + 1}, \quad (7.65)$$

$$G'_{\text{ш}} = G_{\text{ш}} + \operatorname{Re} Y_{\text{r}} [F_{\text{ш}, \min} (\alpha_{\text{r}} = \alpha_{\text{r opt}}) - F_{\text{ш}, \min} (\alpha_{\text{r}} = 0)], \quad (7.66)$$

$$\gamma_{\alpha x} = \sqrt{(G_{\text{ш}} - G'_{\text{ш}}) R_{\text{ш}}}, \quad (7.67)$$

де  $\Gamma_{\alpha x0}$  – модуль коефіцієнта відбиття від входу інформаційного приладу в режимі нульового розладнання ( $\alpha_{\text{z}}=0$ ) при співвідношенні між провідністю генератора  $\operatorname{Re} Y_{\Gamma}$ , та вхідною провідністю інформаційного приладу  $\operatorname{Re} Y_{\alpha x}$  що забезпечують мінімальнодосяжне значення коефіцієнта шуму  $F_{\text{ш}, \min} (\alpha_{\text{z}}=0)$ .

Аналізуючи систему рівнянь (7.63–7.67) бачимо, що для експериментального визначення шумових коефіцієнтів інформаційних приладів достатньо провести вимірювання трьох значень коефіцієнта шуму (рис. 4.11):  $F_{\text{ш}, \min} (\alpha_{\text{z}}=0)$ ,  $F'_{\text{ш}, \min} (\alpha_{\text{z}}=0)$ ,  $F_{\text{ш}, \min} (\alpha_{\text{z}}=\alpha_{\text{z opt}})$  і модуля  $\Gamma_{\alpha x0}$  коефіцієнта відбиття від входу вимірюваного чотириполюсника. Необхідною умовою проведення всіх вимірювань є постійність значення дійсної складової провідності генератора ( $\operatorname{Re} Y_{\Gamma}=\text{const}$ ).

Реалізація запропонованого способу здійснюється з використан-

ням вимірювальної установки, структурна схема якої зображена на рис. 7.12. Вона складається з двох серійних вимірювальних приладів: вимірювача коефіцієнта шуму Х5-10 і вимірювача коефіцієнта передачі Р4-11. Короткозамкнений регульований поршень  $P$  входить до складу установки і виконує роль перестроюваної реактивності, яка забезпечує необхідне розладнання  $\alpha_e$  вхідного кола. Трансформатор імпедансу  $T_p$ , включений на виході інформаційного приладу, виконує роль комплексного регульованого навантаження.

На першому етапі вимірювань, враховуючи, що в режимі узгодження  $\text{Im}Y_G = \text{Im}Y'_{ex}$ , отже  $|I|=0$ ,  $\alpha_e=0$ , послідовно перестроюючи трансформатор імітансу  $T_p$  і короткозамкнений поршень  $P$  намагаються при  $|I|=0$  досягти мінімального значення коефіцієнта шуму, відповідного  $F_{uu \min}$  ( $\alpha_e=0$ ).

На другому етапі також здійснюють послідовну перебудову трансформатора  $T_p$  і поршня  $P$  до отримання мінімально досяжного значення коефіцієнта шуму, відповідного  $F_{uu \min}$  ( $\alpha_e=\alpha_{e \text{ opt}}$ ). В цьому режимі замірюється значення модуля коефіцієнта відбиття  $G_{ex \ 0}$ .

На третьому етапі вимірювань необхідно забезпечити нульове розладнання вхідного кола, для чого в схему введений додатковий індикатор  $I$ , підключений через розгалужувач  $P$  до входу вимірюваного чотириполюсника. Послідовно перестроюючи трансформатор  $T_p$  і поршень  $P$ , домагаються мінімального значення коефіцієнта шуму для максимальних показань індикатора, що буде спостерігатися в момент резонансу струму на вході досліджуваного чотириполюсника, що відповідає умові ( $\alpha_e=0$ ). Коефіцієнт шуму при цьому дорівнює  $F_{uu \ min}$  ( $\alpha_e=0$ ).

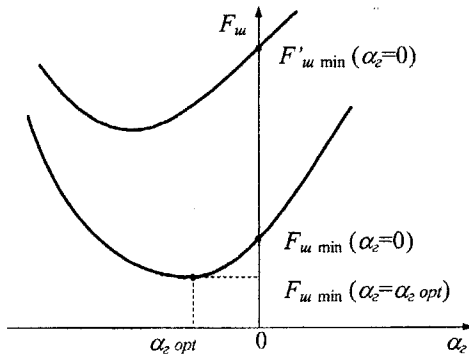


Рис. 7.11. Залежність коефіцієнта шуму  $F_{uu}$  інформаційного приладу від узагальненого розладнання  $\alpha_e$

Відмінність розглянутого методу вимірювань від відомих методів вимірювань шумових параметрів [28] полягає в тому, що оптимальні співвідношення між провідністю генератора  $ReY_g$  і входною провідністю чотириполюсника  $ReY_g$  досягаються не шляхом зміни повної провідності генератора  $ReY_g$ , а зміною лише його уявної складової та входної провідності досліджуваного чотириполюсника в результаті зворотного перетворення входної провідності трансформатора  $T_p$ . Це забезпечує виконання умови  $ReY_g = \text{const}$  і зменшує похибку вимірювань, що виникає в результаті додаткових відбивань в другому трансформаторі імітансу, ввімкненому на вході чотириполюсника.

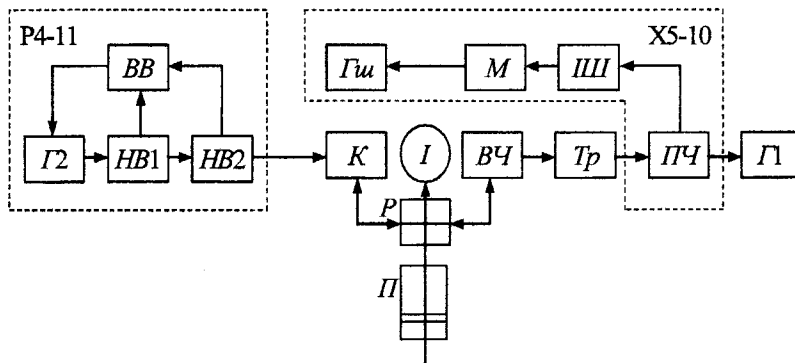


Рис. 4.12. Структурна схема вимірювального комплексу:  
 $\Gamma_1$  і  $\Gamma_2$  – вимірювальні генератори;  $HB1$  і  $HB2$  – направлені відгалужувачі;  $BB$  – вимірювач відношень;  $G_u$  – генератор шуму;  
 $M$  – модулятор;  $III$  – індикатор шуму;  $PЧ$  – перетворювач частоти;  
 $K$  – комутатор;  $I$  – індикатор;  $BЧ$  – вимірювальний чотириполюсник;  
 $T_p$  – трансформатор;  $P$  – розгалужувач;  
 $\Pi$  – короткозамкнений поршень

Для підтвердження отриманих результатів було проведено експериментальне визначення шумових коефіцієнтів (4.63–4.67) за викладеною вище методикою та їх порівняння з аналогічними коефіцієнтами, отриманими розрахунковим шляхом за методикою, запропонованою в [26]. На підставі експериментальних значень шумових коефіцієнтів  $R_u$ ,  $G_u$ ,  $\gamma_u$ ,  $\gamma_{us}$ ,  $G'_u$  отриманих з використанням (4.60–4.62) знайдені розрахункові мінімально досяжні значення коефіцієнта шуму. Ре-

зультати розрахунків та експериментальних вимірювань зведені в табл. 4.1. Як видно з таблиці, похибка між розрахованими та експериментальними результатами по коефіцієнтах шуму не перевищує 12%.

Таблиця 7.1

| Параметр  | Розмірність      | Схема включення транзистора |                       |
|---|------------------|-----------------------------|-----------------------|
|   |                  | із спільною базою           | із спільним емітером  |
| $F_{u \min} (\alpha_e=0)$<br>експеримент                      | Одници           | 2,63                        | 1,165                 |
|   |                  | 2,4                         | 1,3                   |
| $F_{u \min} (\alpha_e=\alpha_{e \text{ opt}})$<br>експеримент | Одници           | 1,88                        | 1,059                 |
|   |                  | 1,7                         | 0,95                  |
| $F'_{u \min} (\alpha_e=0)$<br>експеримент                     | Одници           | 2,895                       | 2,1                   |
|   |                  | 2,75                        | 2,0                   |
| $\Gamma_{ax0}$  | Одници           | 0,001                       | 0,0015                |
| $\gamma_{u \text{ e}}$<br>експеримент                         | Одници           | -3,5                        | -0,25                 |
|   |                  | -4,2                        | -0,144                |
| $\gamma_{u \alpha}$<br>експеримент                            | Одници           | 0,7                         | -0,3                  |
|   |                  | 0,734                       | -0,355                |
| $R_u$<br>експеримент  | Ом               | 61,25                       | 58,5                  |
|   |                  | 59,3                        | 59,3                  |
| $G_u$<br>розврахунок  | Ом <sup>-1</sup> | 0,3                         | $0,33 \cdot 10^{-2}$  |
|   |                  | 0,33                        | $0,296 \cdot 10^{-2}$ |
| $G'_u$<br>розврахунок   | Ом <sup>-1</sup> | 0,28                        | 0,0015                |
|   |                  | 0,321                       | 0,001                 |

Транзистор ГТ313,  $I_E=5\text{mA}$ ,  $U_{KE}=5\text{V}$ ,  $f=30\text{ МГц}$ ,  $\text{Re}Y_e=0,02\text{ Ом}^{-1}$ .

## Перелік літератури до розділу 7

1. Богачев В.М., Никифоров В.В. Транзисторные усилители мощности. –М.: Энергия, 1978. – 344 с.
2. Справочник по радиоизмерительным приборам / Под. ред. В.С. Насонова. – М.: Сов. радио, 1976. – 324 с.
3. Rollett Y.M. Stability and Power-gain Invariants of linear Two-ports // IRE Trans. Cironit Theory. – 1962. – Vol. CT-9. – №1. – P. 29–32.
4. Шварц Н.З. К определению инвариантного коэффициента устойчивости СВЧ транзисторов // Полупроводниковые приборы и их применение / Под ред. Я.А. Федотова. – М.: Сов. Радио, 1972. – Вып. 26. – С. 245–248.
5. Medina M.A., Scarut R.M. A Method of Evaluating The Stability Factor of Two-Port Network // Proc. IEEE. – 1966. – №12. – P. 1107–1108.
6. Филинюк Н.А., Гаврилов Д.В., Огородник К.В. Измерение инвариантного коэффициента устойчивости четырехполюсника // Вимірювальна та обчислювальна техніка в технологічних процесах. – 2003. – №1. – С. 88–91.
7. Филинюк Н.А. Метод определения инвариантного коэффициента устойчивости СВЧ четырехполюсника // Микроэлектроника и полупроводниковые приборы / Под. ред. А.А. Васенкова. – М.: Сов. радио, 1981. – Вып. 1. – С. 205–221.
8. ГОСТ 13266–74. Измерение полных сопротивлений коаксиальных и волноводных трактов. –М.: Издательство стандартов. 1976. – 24 с.
9. Способ определения коэффициента устойчивости четырехполюсника: А.с. 1335895 СССР. / Филинюк Н.А. (СССР). – Заявл. 25.09.84; Опубл. 23.11.87, Бюл. №33. – 5 с.
10. Куликовский А.А. Устойчивость активных линейных цепей с полупроводниковыми приборами новых типов. – М.: Госэнергоиздат, 1962. – 192 с.
11. Филинюк Н.А., Песков С.Н., Павлов С.Н. Определение параметров физической эквивалентной схемы ВЧ транзисторов // Радиоэлектроника. Изв вузов СССР. –1982. – Т. 25, – № 12. – С. 38–43.
12. Філинюк М.А., Возняк О.М. Методи визначення параметрів потенційно нестійких чотириполюсників. // Вісник Вінницького політехнічного інституту. – 1995. – №1. – С. 48–52.

13. Пат. 180059 Україна. Імпедансний пристрій / Філинюк М.А., Возняк О.М., Курзанов Я.І., Огороднік О.В. (Україна). Заявл. 31.10.93; Опубл. 22.03.94, Бюл. № 5. – 5 с.
14. Лебедев И.В. Техника и приборы СВЧ. – М.: Выш. школа, 1970. – Т.1. – 440 с.
15. Філинюк М.А., Гаврілов Д.В., Ліщенко С.А. Спосіб вимірювання максимального досяжного коефіцієнта підсилення чотириполюсника на граници стійкості // Вимірювальна та обчислювальна техніка в технологічних процесах. – 2001. – №3. – С. 49–51.
16. Філинюк Н.А. Система рабочих параметров обобщенных преобразователей имmittанса / Вінниц. політехн. ін-т. – Вінниця, 1983. – 16 с. – Бібліогр.: 31 назв. – Рус. – Деп. в УкрНИИНТИ 24.11.83, №1328–Ук-Д83.
17. Філинюк Н.А. Активные СВЧ фильтры на транзисторах. – М.: Сов. Радио, 1987. – 112 с.
18. Пат. 53004 Україна, МКІ G01R27/28. Спосіб вимірювання мінімально досяжного входного активного опору чотириполюсника / Філинюк М.А., Гаврілов Д.В. (Україна). – №2002010719; Заявл. 29.01.02; Опубл. 15.01.03, Бюл. № 1. – 5 с.
19. Транзисторы. Параметры, методы измерений и испытаний. Под ред. И.Г. Бергельсона, Ю.А. Каменецкого, И.Ф. Nikolaevskogo. – М.: Сов. радио, 1968. – 504 с.
20. Філинюк М.А., Гаврілов Д.В. Спосіб вимірювання активної складової комплексного опору // Вісник Вінницького політехнічного інституту. – 2004. – №5. – С. 107–110.
21. Лаврентьев М.А., Шабат Б.В. Методы теории функции комплексного переменного. – М.: Наука, 1973. – 736 с.
22. Пат. 53378 Україна, МКІ H03H11/00. Імпедансний пристрій / Філинюк М.А., Гаврілов Д.В. (Україна). – № 2002053858; Заявл. 11.05.02; Опубл. 15.01.03, Бюл. № 1. – 3 с.
23. Бондаренко И.К., Дейнега Г.А., Маграчев З.В. Автоматизация измерений параметров СВЧ трактов. – М.: Сов. радио, 1969. – 304 с.
24. Измерения в электронике: Справочник: под ред. В.А. Кузнецова. – М.: Энергоатомиздат, 1986. – 512 с.
25. Філинюк Н.А. Експериментальное определение граничной частоты активной области кристалла полевого транзистора // Изв. вузов СССР. Радиоэлектроника, 1987. – № 12. – С. 90–92.
26. Смогилев К.А. Резонансные усилители на транзисторах. – М.: Сов. радио, 1972. – 304 с.

27. Філинюк М.А., Ле Туан Ту, Судакевич Д.В. Визначення шумових коефіцієнтів інформаційного приладу // Вимірювальна та обчислювальна техніка в технологічних процесах. – 1998. – № 1. – С. 97–100.

28. Чернушенко А.М., Майбородин А.В. Измерение параметров электронных приборов дециметрового и сантиметрового диапазона волн. – М.: Радио и связь, 1986. – 336 с.

## РОЗДІЛ 8

# ВИМІРЮВАННЯ ПАРАМЕТРІВ ФІЗИЧНИХ МОДЕЛЕЙ БАГАТОЕЛЕКТРОДНИХ НАПІВПРОВІДНИКОВИХ СТРУКТУР

### 8.1. Визначення параметрів активної області кристала біполярного транзистора

В даний час у розрахунку активних ВЧ пристрій на базі комбінованих негатронів використовують фізичні еквівалентні схеми біполярних транзисторів. Визначення параметрів цих схем здійснюється на підставі вимірювання  $h$  і  $i$  параметрів транзисторів [1–4]. При цьому необхідно здійснювати режими короткого замикання або холостого ходу між виводами транзистора, що технічно важко здійснити в діапазоні високих і надвисоких частот, внаслідок великого опору індуктивностей виводів транзистора і малого опору ємностей між цими виводами. Для зменшення впливу цих факторів частоту вимірювання вибирають значно нижче робочої частоти транзистора, що призводить до похибки розрахунку проектованого пристроя.

Підвищити точність розрахунку можна шляхом використання параметрів фізичної еквівалентної схеми транзистора, виміряних на частотах, близьких до робочої частоти пристроя, виключивши з процесу вимірювання необхідність здійснення режимів КЗ або ХХ і зменшивши вплив на результати вимірювання індуктивностей виводів транзистора. Цим вимогам відповідає спосіб визначення параметрів фізичної еквівалентної схеми біполярних транзисторів за результатами вимірювання його коефіцієнта  $K_{ms}$  максимального стійкого підсилення.

Для обґрунтування способу використовуємо фізичну еквівалентну схему високочастотного транзистора (рис. 8.1), справедливу на частотах  $f < 0,5f$  [5]. На цій схемі:  $\alpha$  – коефіцієнт передачі транзистора за струмом, вимірюний у схемі з спільною базою,  $\alpha = \alpha_0 / (1 + jf/f)$ ;  $\alpha_0$  – низькочастотне значення коефіцієнта передачі транзистора за струмом;  $f_T$  – гранична частота [6];  $C_E$ ,  $r_E$  – ємність і диференціальний опір емітерного переходу;  $r_E'$ ,  $r_K'$  – омічний опір емітера і колектора;  $L_E$ ,  $L_K$ ,  $L_B$  – індуктивності емітерного, колекторного і базового виводів транзистора.

У випадку високого рівня інжекції вважаємо, що  $r_E \rightarrow 0$ ,  $\alpha_0 \rightarrow 1$ , а матриця опорів транзистора, включенного за схемою з спільною базою, запишеться у вигляді

$$\left\| Z_B \right\| = \begin{vmatrix} r_{B1} + r'_E + (1 - \alpha)r_{B2} + j\omega(L_E + L_B); & r_{B1} + j\omega L_B \\ r_{B1} + j\omega L_B + \dot{\alpha}/j\omega C_K; & r_{B1} + r'_K + j\omega(L_B + L_K) + 1/j\omega C_K \end{vmatrix}, \quad (8.1)$$

де  $r_{B1} = r_B / \xi_K$ ;  $\xi_K = C_K / C_{K1}$ ;  $C_K$  – ємність колекторного переходу;

$$C_K = C_{K1} + C_{K2}; \quad r_{B2} = r_B - r_{B1}.$$

Коефіцієнт  $K_{ms}$  максимально стійкого підсилення транзистора визначається виразом [5]

$$K_{ms} = \left| \frac{W_{21}}{W_{12}} \right|, \quad (8.2)$$

де  $W_{21}$ ,  $W_{12}$  – елементи узагальненої матриці чотириполюсника, під якою мається на увазі кожна з чотирьох систем параметрів, використовуваних у конкретних випадках:  $Y$ -,  $Z$ -,  $H$ - або  $G$ -параметрів.

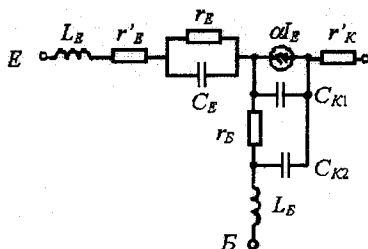


Рис. 8.1. Фізична еквівалентна схема біполярного транзистора

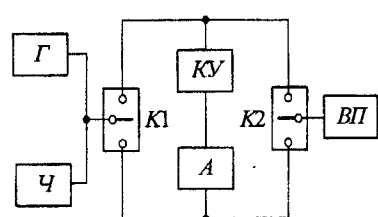


Рис. 8.2. Структурна схема експериментальної установки для вимірювання  $K_{ms}$

Після підстановки елементів матриці (8.1) у формулу (8.2) знаходимо

$$K_{ms}^B = \sqrt{\left\{ \left[ r_{B1} + \Omega / \omega C_K (1 + \Omega^2) \right]^2 + \left[ \omega L_B - 1 / \omega C_K (1 + \Omega^2) \right]^2 \right\} / \left( r_{B1}^2 + \omega^2 L_B^2 \right)} \quad (8.3)$$

де  $\Omega = f/f_T$ .

З огляду на те, що на частоті  $\Omega < 0,2$  для ВЧ і НВЧ транзисторів справедливі нерівності:  $r_{B1} > \omega L_B$ ,  $\Omega / [\omega C_K (\Omega^2 + 1)] > r_{B1}$ ,  $1 / [\omega C_K (1 + \Omega^2)] \gg \omega L_B$  (наприклад, для транзистора типу KT640A, що

має  $r_{B1}=1,2$  Ом,  $L_E=0,3$  нГн, ця умова виконується на частотах менших 637 МГц), вираз (8.3) запишемо у вигляді

$$K_{ms}^E \approx 1/\omega C_K r_{B1}. \quad (5.4)$$

Використовуючи відоме співвідношення між параметрами фізичної еквівалентної схеми транзистора [3]  $\tau_K = r_{B1} C_K$ , у результаті перетворення формули (8.4), одержуємо аналітичний вираз для постійної часу  $\tau_K$  колекторного кола транзистора

$$\tau_K = 1/\omega K_{ms}^E. \quad (8.5)$$

Знайдемо аналітичний вираз для коефіцієнта  $\xi_K$  поділу колекторної ємності транзистора. З цією метою перетворимо елементи матриці опорів (8.1) в елементи матриці провідності транзистора, включенного за схемою з спільним емітером [6]

$$y_{21}^E = (z_{21}^E - z_{11}^E)/\Delta z; \quad y_{12}^E = (z_{12}^E - z_{11}^E)/\Delta z; \quad (8.6)$$

де  $z_{11}^E, z_{12}^E, z_{21}^E, z_{22}^E$  – елементи матриці (8.1),  $\Delta z = z_{11}^E z_{22}^E - z_{12}^E z_{21}^E$ .

Підставляючи (8.6) у формулу (8.2), знаходимо коефіцієнт  $K_{ms}^E$  максимально стійкого підсилення транзистора, включенного за схемою з спільним емітером, що, з урахуванням елементів матриці (5.1), при виконанні умов  $\omega L_E > r'_E$ ,  $\omega QL_E < (\Omega r_{B2} + \omega L_E)$ ,  $K_{ms}^E > 1$ , визначається з виразу

$$K_{ms}^E = \omega_i D / \omega^2 \tau_K (\xi_K - 1), \quad (8.7)$$

де  $D = r_{B2}/(r_{B2} + \omega T L_E)$  – параметр, що враховує вплив емітерної індуктивності транзистора.

Підставляючи в рівняння (8.7) значення  $\tau_K$ , обумовлене формулою (8.5), і розв'язуючи його відносно коефіцієнта  $\xi_K$ , одержуємо

$$\xi_K = 1 + DK_{ms}^E / \Omega K_{ms}^E. \quad (8.8)$$

Знаючи постійну часу колекторного кола  $\tau_K$ , обумовлену формулою (8.5), і коефіцієнт  $\xi_K$  поділу ємності колекторного переходу, обумовлений формулою (8.8), можна знайти ємності активної  $C_{K1} = C_K / \xi_K$  і пасивної  $C_{K2} = C_K - C_{K1}$  частин колекторного переходу транзистора й

омічний опір його бази  $r_B = \tau_K / C_{K1}$ .

Для визначення граничної частоти транзистора  $f_T$  через його коефіцієнт максимально стійкого підсилення перетворимо матрицю (8.1) у матрицю опорів транзистора, включеною за схемою з спільним колектором [5]

$$\left\| Z^K \right\| = \begin{vmatrix} r_{B1} + r'_K + \frac{1}{j\omega C_K} + j\omega(L_B + L_K); & r'_K + j\omega L_K + \frac{1-\alpha}{j\omega C_K} \\ r'_E + \frac{1}{j\omega C_K} + j\omega L_K; & r'_E + r'_K + j\omega(L_E + L_K) + \frac{(1-\alpha) + j\omega C_K r_B}{j\omega C_K} \end{vmatrix}, \quad (8.9)$$

З огляду на те, що на високих частотах  $\omega L_K \gg r'_K$ ,  $\omega^2 L_K C_K \ll 1$ , після підстановки елементів матриці (8.9) у формулу (8.2), знаходимо коефіцієнт  $K_{ms}^K$  максимально стійкого підсилення транзистора, включеною за схемою з спільним колектором

$$K_{ms}^K = \sqrt{1 + \frac{f_T^2}{f^2}}. \quad (8.10)$$

Розв'язуючи (8.10) відносно граничної частоти  $f_T$ , одержимо

$$f_T = f \sqrt{\left( K_{ms}^K \right)^2 - 1} \approx f K_{ms}^K. \quad (8.11)$$

Аналіз виразів (8.5), (8.8) і (8.11) показує, що для визначення параметрів  $f_T$ ,  $C_{K1}$ ,  $C_{K2}$ ,  $\xi_K$ ,  $r_B$  і  $\tau_K$  фізичної еквівалентної схеми транзистора досить виміряти повну ємність колекторного переходу  $C_K$  і коефіцієнти  $K_{ms}^B$ ,  $K_{ms}^K$  і  $K_{ms}^E$  максимально стійкого підсилення транзистора.

Повна ємність колекторного переходу  $C_K$ , використовувана в розрахунках, внаслідок незалежності її величини від частоти, вимірюється на низьких частотах з високою точністю. Наприклад, у випадку використання методу ємнісно-омічного подільника похибка складає  $\pm 3\%$  [4].

Для обґрунтування методу вимірювання коефіцієнта  $K_{ms}$  максимально стійкого підсилення транзистора виразимо його через номінальні коефіцієнти передачі транзистора за потужністю в прямому  $K_{HP}$  і зворотному  $K_{HZ}$  напрямках [5], виміряні в схемі з рівними імітаціями генератора і навантаження

$$K_{ms} = \sqrt{\frac{K_{HP}}{K_{HZ}}} . \quad (8.12)$$

За визначенням

$$K_{HP} = \frac{P_{HP}}{P_\Gamma}; \quad K_{HZ} = \frac{P_{HZ}}{P_\Gamma}, \quad (8.13)$$

де  $P_{HP}$  і  $P_{HZ}$  – відповідно потужності сигналу, що виділяються в дійсній складовій імітансу вимірювача потужності при вимірюванні прямого і зворотного коефіцієнтів передачі;  $P_\Gamma$  – номінальна потужність генератора.

Підставивши (8.13) у (8.12), одержуємо вираз для коефіцієнта максимального стійкого підсилення транзистора

$$K_{ms} = \sqrt{\frac{P_{HP}}{P_{HZ}}}, \quad (8.14)$$

з якого випливає, що при постійній потужності  $P_\Gamma$  генератора вимірювання зводяться до вимірювання потужності при прямому  $P_{HP}$  і зворотному  $P_{HZ}$  напрямках передачі. При цьому відсутня необхідність у по-передньому калібруванні установки, що виключає виникнення при цьому помилки.

Для вимірювання коефіцієнта  $K_{ms}$  використовується експериментальна установка, структурна схема якої зображена на рис. 5.2. Вона складається з генератора  $\Gamma$ , частотоміра  $\mathcal{C}$ , контактного пристроя  $KP$  для встановлення транзистора, регульованого атенюатора  $A$ , що забезпечує стійкість вимірювальної схеми, вимірювача потужності  $VP$  і двох перемикачів  $P1$  і  $P2$ . Кола, що забезпечують робочу точку транзистора, на рис. 8.2 не показані.

На підставі виразу (8.14), середньоквадратична похибка  $\delta_{ms}$  методом визначення коефіцієнта  $K_{ms}$  дорівнює

$$\delta_{ms} = \frac{\sqrt{\delta_{HP}^2 + \delta_{HZ}^2}}{2},$$

де  $\delta_{HP}$  і  $\delta_{HZ}$  – відносні середньоквадратичні похибки вимірювання потужностей  $P_{HP}$  і  $P_{HZ}$ .

З огляду на те, що вимірювання потужностей  $P_{\text{НП}}$  і  $P_{\text{НЗ}}$  здійснюється вимірювачем потужності ВП, для якого  $\delta_{\text{НП}}=\delta_{\text{НЗ}}=\delta_{\text{ВП}}$ , одержимо  $\delta_{ms}=\delta_{\text{ВП}}/\sqrt{2}$ , де  $\delta_{\text{ВП}}$  – відносна середньоквадратична похибка вимірювання потужності. Наприклад, у випадку використання як вимірювача потужності моста типу М4-2, для якого  $\delta_{\text{ВП}}=\pm 4\%$  [7], знаходимо, що відносна середньоквадратична похибка вимірювання коефіцієнта  $K_{ms}$  не перевищує  $\delta_{ms}=\pm 2,84\%$ .

У процесі вимірювання, внаслідок потенційної нестійкості транзистора, може відбутися збудження експериментальної установки. Для виключення цього явища на вході або виході транзистора включається пасивний взаємний чотириполюсник, наприклад, атенюатор  $A$  (рис. 8.2), що разом із транзистором утворить новий стійкий чотириполюсник, що гарантує стійкість вимірювальної установки.

Покажемо, що введення у вимірювальну установку на вході і виході транзистора додаткових пасивних взаємних чотириполюсників не впливає на результат вимірювання.

Відомо, що результуюча матриця  $\|T\|^P$  передачі такого каскадного з'єднання чотириполюсників дорівнює [8]

$$\|T\|^P = \|T\|^A \times \|T\| \times \|T\|^B, \quad (8.15)$$

де  $\|T\|^A$  і  $\|T\|^B$  – матриці передачі пасивних взаємних чотириполюсників;  $\|T\|$  – матриця передачі транзистора.

Перетворивши матрицю (8.15) у матрицю опорів і підставивши її елементи у формулу (8.2), одержимо

$$K_{ms}^P = \frac{1}{\|T\|^A \times \|T\| \times \|T\|^B}, \quad (8.16)$$

де  $\|T\|$ ,  $\|T\|^A$  і  $\|T\|^B$  – визначники матриць передачі транзистора і чотириполюсників, що включаються на його вході і виході.

З огляду на те, що відповідно до принципу взаємності  $\|T\|^A=\|T\|^B=1$ , вираз (8.16) перетвориться до вигляду

$$K_{ms}^P = \frac{1}{\|T\|} = K_{ms}. \quad (8.17)$$

З (8.17) випливає, що коефіцієнт максимально стійкого підсилення транзистора не залежить від параметрів пасивних взаємних чотириполюсників, що включаються на його вході і виході. Отже, атенюа-

тор  $A$ , елементи вимірювального тракту і паразитні елементи виводів і корпусу транзистора, які можна розглядати, як елементи цих взаємних чотириполюсників, не впливають на величину коефіцієнта  $K_{ms}$ , а отже, і на результати визначення параметрів еквівалентної схеми транзистора.

*Приклад.* Потрібно визначити параметри транзистора типу KT640A, що працює при струмі  $I_E=30$  мА і напрузі на колекторі  $U_{KE}=10$  В. Результати розрахунків порівняємо з довідковими даними транзистора [9]:  $f_T \geq 3$  ГГц,  $\tau_K=0,5$  пс,  $C_{K1}=0,15$  пФ,  $C_{K2}=0,35$  пФ,  $r_B=4$  Ом,  $L_E=2,5$  нГ.

У результаті вимірювання за допомогою експериментальної установки (рис. 8.2) отримаємо коефіцієнти максимально стійкого підсилення транзистора:  $K^K_{ms}=4,07$ ;  $K^E_{ms}=18,9$ ;  $K^B_{ms}=269,7$  на частоті  $f=1$  ГГц. Виміряне на низьких частотах значення повної смності колекторного переходу транзистора дорівнює  $C_K=0,55$  пФ.

За формулою (8.11) визначаємо граничну частоту  $f_T = \sqrt{4,07^2 - 1} = 3,95$  ГГц (виміряне за допомогою приладу Л2-12 значення цієї частоти дорівнює 3,85 ГГц).

За формулою (8.5) визначаємо постійну часу колекторного кола  $\tau_K=1/6,28 \cdot 1 \cdot 10^9 \cdot 269,7 = 0,59$  пс. За формулою (8.8) визначаємо коефіцієнт поділу колекторної смності  $\xi_K = 1 + 0,43 \cdot 269,7 / 0,26 \cdot 18,9 = 3,36$ .

Обчислюємо параметри:  $C_{K1}=0,55 / 3,36 = 0,164$  пФ;  $C_{K2}=0,55 - 0,164 = 0,386$  пФ;  $r_B=0,59 \cdot 10^{-12} / 0,164 \cdot 10^{-12} = 3,6$  Ом.

Результати аналогічних розрахунків, виконаних для інших типів транзисторів, наведені в табл. 8.1.

Таблиця 8.1

Результати розрахунків, виконаних для інших типів транзисторів

| Тип транзистора | Результати вимірювань на частоті 0,5 ГГц |                 |                 |                 |           | Результати розрахунку |              |               |               |            |
|-----------------|--|-----------------|-----------------|-----------------|-----------|-----------------------|--------------|---------------|---------------|------------|
|                 | $C^K$ , пФ                               | $K^E_{ms}$ , од | $K^B_{ms}$ , од | $K^E_{ms}$ , од | $f$ , ГГц | $\tau_K$ , пс         | $\xi_K$ , од | $C_{K1}$ , пФ | $C_{K2}$ , пФ | $r_B$ , Ом |
| ГТ341           | 1,0                                      | 4,2             | 4,0             | 45,5            | 2,0       | 7,0                   | 2,86         | 0,35          | 0,65          | 20         |
| КТ371           | 2,1                                      | 7,5             | 6,4             | 41,9            | 3,2       | 7,6                   | 2,54         | 0,83          | 1,27          | 9,2        |
| КТ382           | 1,5                                      | 4,9             | 4,0             | 45,5            | 2,0       | 7,0                   | 2,60         | 0,58          | 0,92          | 12         |
| КТ610           | 3,8                                      | 1,8             | 2,2             | 40,8            | 1,1       | 7,8                   | 3,20         | 1,20          | 2,60          | 6,5        |
| КТ640           | 0,5                                      | 101,4           | 7,9             | 676,6           | 3,95      | 0,47                  | 3,26         | 0,15          | 0,35          | 3,1        |
| КТ3115          | 0,1                                      | 205,5           | 13,6            | 3184            | 6,7       | 0,1                   | 9,9          | 0,01          | 0,09          | 10         |

На закінчення відзначимо, що розглянутий метод визначення па-

раметрів фізичної еквівалентної схеми біполярних транзисторів не вимагає здійснення режимів КЗ і ХХ, що підвищує точність і стійкість вимірювань. Вимірювання параметрів проводять на частотах, близьких до робочої частоти транзистора. Для визначення параметрів досить вимірювати тільки частоту і потужність сигналу, що пройшов через транзистор. На результати вимірювань не впливають параметри реактивних елементів виводів транзистора і вимірювального тракту, що включаються каскадно з транзистором. Це дозволяє здійснювати вимірювання в площині кристала, що також сприяє підвищенню точності вимірювань.

## 8.2. Визначення параметрів активної області кристала польового транзистора

Потенційні можливості польового транзистора (ПТ) визначаються параметрами еквівалентної схеми активної області 1 його кристала (рис. 8.3) [10]. На цій схемі:  $S$  – крутизна ПТ;  $G$  – диференціальна провідність каналу;  $C_{C3}$ ,  $C_{B3}$ ,  $C_{CB}$  – ємності стік-затвор, витік-затвор, стік-вітік;  $R_i$  – диференціальний опір неперекритої частини каналу між витоком і затвором;  $R_b$ ,  $R_C$  – омічні опори епітаксійного шару відповідно між затвором і витоком і між затвором і стоком, які не контролюються напругою затвору, включаючи опори омічних контактів витоку і стоку;  $R_3$  – опір металізації затвору;  $R_{k,n}$ ,  $C_{k,n}$  – опір розтікання і ємність області просторового заряду контактних площинок затвору;  $L_{31}$ ,  $L_{C1}$  і  $L_{B1}$  – внутрішньокорпусні індуктивності виводів ззовні корпусу транзистора;  $C_3$ ,  $C_C$  і  $C_B$  – ємності між виводами і корпусом транзистора;  $I$  – активна область кристала. При їхньому визначенні можна зменшити вплив частини елементів корпусу і пасивної області кристала шляхом використання результатів вимірювання максимального коефіцієнта стійкого підсилення ПТ.

Визначимо залежність між параметрами кристала ПТ і його максимальним коефіцієнтом стійкого підсилення. З цією метою подамо зв'язок між струмами активної області кристала  $i_3$ ,  $i_C$ ,  $i_B$  і напругами між затвором  $u_3$ , стоком  $u_C$ , витоком  $u_B$  і спільною шиною у вигляді

$$\begin{bmatrix} i_3 \\ i_C \\ i_B \end{bmatrix} = \begin{bmatrix} \frac{\Omega^2}{R_i(1+\Omega^2)} + j\frac{\Omega}{R_i(1+\Omega^2)} + \frac{\Omega\xi}{R_i} & -j\frac{\Omega\xi}{R_i} & -\frac{\Omega^2}{R_i(1+\Omega^2)} - j\frac{\Omega}{R_i(1+\Omega^2)} \\ \frac{S_0}{1+\Omega^2} - j\frac{S_0\Omega}{1+\Omega^2} - j\frac{\Omega\xi}{R_i} & G + j\frac{\Omega\xi}{R_i} & -G - \frac{S_0}{1+\Omega^2} + j\frac{S_0\Omega}{1+\Omega^2} \\ -\frac{\Omega^2 + R_i S_0}{R_i(1+\Omega^2)} - j\frac{\Omega(1-R_i S_0)}{R_i(1+\Omega^2)} & -G & G - \frac{\Omega^2 + R_i S_0}{R_i(1+\Omega^2)} + j\frac{\Omega(1-R_i S_0)}{R_i(1+\Omega^2)} \end{bmatrix} \begin{bmatrix} u_3 \\ u_C \\ u_B \end{bmatrix}, \quad (8.18)$$

де  $\Omega = \omega/\omega_s$ ;  $\omega_s$  – гранична частота за крутизною,  $\omega_s = 1/R_i C_{B3}$ ;  $S_0$  – низькочастотне значення крутизни,  $\xi = C_{C3}/C_{B3}$ .

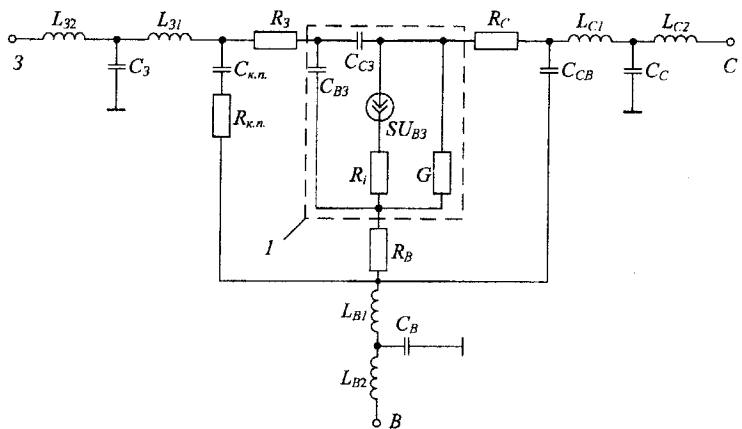


Рис. 8.3. Фізична еквівалентна схема польового транзистора

Максимальний коефіцієнт стійкого підсилення за потужністю чотириполюсника, пов'язаний з його  $y$ -параметрами співвідношенням [11]

$$K_m = \left| \frac{y_{21}}{y_{12}} \right|. \quad (8.19)$$

З огляду на те, що на частотах  $Q < 0,1$ , для сучасних НВЧ ПТ справедливі нерівності:  $\xi \ll 1$ ,  $S_0 R_i \gg 1$ ,  $S_0 \gg G$ ,  $\Omega^2 \ll 1$  (наприклад, для ПТ, параметри якого наведені в [12], маємо:  $C_{C3}=0,01 \text{ пФ}$ ,  $C_{B3}=0,5 \text{ пФ}$ ,  $R_i=3,5 \text{ Ом}$ ,  $G=1,5 \cdot 10^{-3} \text{ Ом}^{-1}$ ;  $S_0=33 \cdot 10^{-3} \text{ Ом}^{-1}$ ;  $\xi=0,02$ ,  $S_0 R_i=0,1155$ ), на підставі формул (8.19) і елементів рівняння (8.18) знаходимо [13]:

$$K_m^B = \left| \frac{y_{21}^B}{y_{12}^B} \right| = \frac{R_i S_0}{\Omega \xi}; \quad K_m^3 = \left| \frac{y_{21}^3}{y_{12}^3} \right| = \frac{S_0}{G}; \quad K_m^C = \left| \frac{y_{21}^C}{y_{12}^C} \right| = \frac{R_i S_0}{\Omega}. \quad (8.20)$$

Останній вираз справедливий на частотах, де виконується нерівність  $\Omega \ll S_0 R_i$ . Наприклад, для ПТ, що має вищевказані параметри, ця формула справедлива на частотах  $f_{\text{вих}} < 1 \text{ ГГц}$ .

Використовуючи (8.20), одержуємо вирази для параметрів активної області кристала ПТ:  $C_{C3}=S_0/\omega K^B_m$ ;  $G=S_0/K^3_m$ ,  $C_{B3}=S_0/\omega K^C_m$ .

Наведені співвідношення дозволяють також установити зв'язок між максимальними коефіцієнтами стійкого підсилення активної області кристала ПТ у схемах з ЗС і ЗВ  $K^C_m/K^B_m=C_{C3}/C_{B3}=\xi$ .

Для визначення граничної частоти по крутизні ПТ  $\omega_s$  і диференціального опору  $R_i$  знайдемо вираз для максимального коефіцієнта стійкого підсилення активної області кристала ПТ  $K^3_{mf}$  у схемі з СЗ на частотах, де не виконується нерівність  $\Omega < 1$ . На підставі (8.19) з урахуванням елементів матриці (8.18) знаходимо

$$K^3_{mf} = \sqrt{(G + G\Omega^2 + S_0)^2 + S_0^2\Omega^2 / G(1 + \Omega^2)}.$$

З огляду на те, що  $G + G\Omega^2 \ll S_0$  на частотах  $\Omega < 1$  (наприклад, для вищерозглянутого транзистора на частоті  $\Omega < 1$  маємо  $G + G\Omega^2 < 1,5 \times 10^{-3} + 1,5 \times 10^{-3} \times 1 = 3 \times 10^{-3}$ ) запишемо:

$$K^3_{mf} \approx S_0 / G\sqrt{1 + \Omega^2} = K^3_m / \sqrt{1 + \Omega^2};$$

$$\omega_s = \omega \left[ \left( K^3_m / K^3_{mf} \right)^2 - 1 \right]^{-1/2};$$

$$R_i = \frac{\left[ \left( K^3_m / K^3_{mf} \right)^2 - 1 \right]^{1/2}}{\omega C_{B3}}.$$

Таким чином, для визначення параметрів еквівалентної схеми активної області кристала ПТ необхідно зробити вимірювання коефіцієнта максимально стійкого підсилення активної області кристала ПТ при включені його з СВ, СС і СЗ.

Максимальний коефіцієнт стійкого підсилення ПТ  $K_{mt}$  може відрізнятися від цього коефіцієнта для активної області кристала  $K_m$  внаслідок впливу елементів пасивної області кристала і виводів транзистора. Емності виводів  $C_B$ ,  $C_3$ ,  $C_C$ , а також емність області просторово-го заряду контактних площинок затвора  $C_{k,p}$  і емність стік–витік через високоомну підкладку  $C_{CB}$  для сучасних НВ ПТ складають порядку  $(0,01-0,1)$  пФ, що дозволяє зневажити їх впливом, при вимірюванні параметрів ПТ на частотах нижче 1 ГГц. Індуктивності виводів і опору пасивної частини кристала, що в даній схемі включення ПТ не зна-

ходяться в колі його спільногого електрода, можна розглядати як елементи пасивних взаємних чотириполюсників, включених на вході і виході кристала ПТ. Тому вони не впливають на результат вимірювання  $K_m$  [14]. Основна похибка вимірювань  $K_m$  у цьому випадку залежить від індуктивності й опору, включених у колі спільногого виводу ПТ. Величина індуктивностей виводів сучасних НВ ПТ складає менше 1 нГн і їхній реактивний опір на частотах  $f_{\text{вим}} < 1 \text{ ГГц}$  значно менший опорів  $R_B$ ,  $R_3$ ,  $R_C$ , середнє значення яких складає приблизно 5 Ом. Врахування цих опорів показує, що величина  $K_{mT}$  розглянутого в даній роботі транзистора, на частотах нижче 1 ГГц не більше ніж на 8% менша ніж значення коефіцієнта максимально стійкого підсилення кристала ПТ  $K_m$ .

Перевірка отриманих результатів здійснювалася аналітично з використанням параметрів ПТ Шоттки, наведених у [3]. На ЕОМ здійснювався розрахунок  $K_{mT}$  із використанням повної фізичної еквівалентної схеми ПТ (рис. 8.3). Потім, отримані значення  $K_{mT}$  підставлялися в рівняння і визначалися розрахункові значення параметрів кристала ПТ, що порівнювалися з вихідними значеннями цих параметрів. У результаті відносні похибки визначення склали:  $\delta C_{C3}=0,01\%$ ;  $\delta C_{B3}=6\%$ ;  $\delta G=4,6\%$ ;  $\delta R_i=19,2\%$ . Найстотніша похибка спостерігається при визначенні опору  $R_b$ , що пояснюється впливом на величину коефіцієнта  $K_{mT}$  (на частоті 10 ГГц) елементів:  $C_{k,n}$ ,  $R_{k,n}$ ,  $C_{CB}$ . Була також досліджена можливість використання запропонованого методу для визначення параметрів кристала НЧ транзисторів (типу КП303И). Відносна середньоквадратична похибка визначення їхніх параметрів склала:  $\delta C_{C3}=5\%$ ,  $\delta C_{B3}=6\%$ ,  $\delta G=5,2\%$ ,  $\delta R_i=4,6\%$ . Основною причиною похибки методу визначення параметрів НЧ транзисторів (аналогічних КП303) варто вважати велику величину коефіцієнта поділу ємності затвора  $\xi=0,3-0,5$ . Підвищити точність визначення можна шляхом врахування повного опору елементів корпусу і пасивної частини кристала, включених у коло спільногого виводу ПТ [4].

### 8.3. Визначення параметрів двозатворного польового транзистора

У роботі [13] обґрунтовано спосіб визначення параметрів еквівалентної схеми активної області кристала однозатворного польового транзистора Шоттки (ПТШ1), що базується на результатах вимірювання коефіцієнта максимально стійкого підсилення  $K_{ms}$  при різних схемах його включення і дозволяє зменшити вплив частини елементів

корпусу і пасивної області кристала. Аналіз структури двозатворного польового транзистора Шоттки (ПТШ2) показав [15], що його можна розглядати як два однозатворних ПТШ1, стік одного з яких з'єднаний із витоком другого ПТШ. Це дозволяє ставити задачу використання способу визначення параметрів однозатворних ПТШ при знаходженні ряду параметрів фізичної еквівалентності схеми двозатворних ПТШ.

Розв'язання цієї задачі можливе у випадку, якщо визначені коефіцієнти максимально стійкого підсилення  $K_{msi}$  однозатворних ПТШ1, що утворюють ПТШ2. Покажемо, що за певних умов величину  $K_{msi}$  можна визначити за результатами вимірювання  $K_{ms}$  двозатворного ПТШ2, включеного як чотириполюсник.

Розглянемо чотири варіанти включення ПТШ2, як чотириполюсника, у вигляді каскадного з'єднання однозатворних ПТШ, що утворюють його (рис. 8.4).

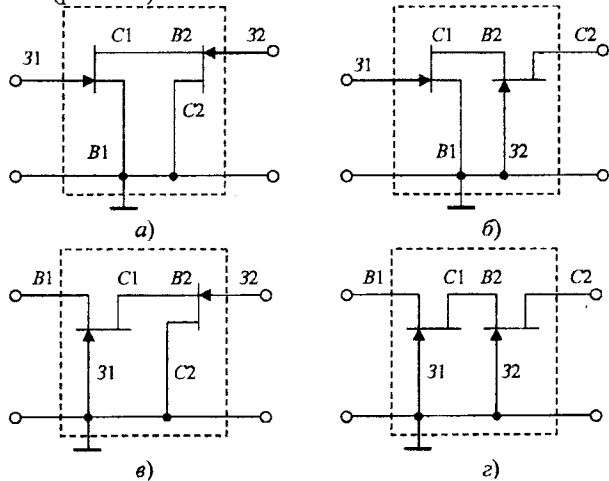


Рис. 8.4. Схема включення ПТШ2, як чотириполюсника, утвореного каскадним включенням двох однозатворних ПТШ

Визначимо коефіцієнт  $K_{ms}$  максимально стійкого підсилення потужності чотириполюсника, утвореного каскадним з'єднанням  $N$  чотириполюсників. Підсумкова ланцюгова  $\|ABCD\|_N$  матриця такого з'єднання дорівнює добутку  $\|ABCD\|_i$  матриць утворювальних чотириполюсників [16]:

$$\|ABCD\|_N = \prod_{i=1}^N \|ABCD\|_i, \quad i = 1, 2, 3, \dots, N. \quad (8.21)$$

Перетворивши матрицю (8.21) у матрицю передачі, знаходимо  $\|T\|_N = \prod_{i=1}^N \|T\|_i$ , де  $\|T\|_i$  – матриця передачі  $i$ -го каскаду. З огляду на те, що  $k_{msi} = 1/\Delta T_i$  [4], де  $\Delta T_i$  – визначник матриці  $\|T\|_i$ , отримаємо

$$k_{msN} = \prod_{i=1}^N k_{msi}. \quad (8.22)$$

На підставі (5.22) знаходимо коефіцієнти максимально досяжного підсилення на межі стійкості для різних схем включення ПТШ2

$$\begin{aligned} K_{ms}^{B1C2} &= \frac{K_{ms}^{B1}}{K_{ms}^{C2}}, \quad K_{ms}^{31C2} = \frac{K_{ms}^{31}}{K_{ms}^{C2}}, \\ K_{ms}^{B132} &= K_{ms}^{B1} K_{ms}^{32}, \quad K_{ms}^{3132} = K_{ms}^{31} K_{ms}^{32}, \end{aligned} \quad (8.23)$$

де верхні індекси вказують на електроди ПТШ2, включенні в спільну шину.

Система рівнянь (8.23) є тотожною ( $K_{ms}^{B1C2} K_{ms}^{3132} = K_{ms}^{B132} K_{ms}^{3132}$ ), що не дозволяє розв'язати її відносно  $K_{msi}$ .

Розв'язання цієї задачі можливе шляхом використання залежності коефіцієнта  $K_{ms}^Z$  чотириполюсника від значення опору  $Z$ , включенного в його спільний вивід. У цьому випадку провідності прямої і зворотної передачі новоутвореного чотириполюсника дорівнююватимуть [16]:

$$Y_{21} = \frac{y_{21} - Z\Delta y}{1 + Z\sum y}; \quad (8.24)$$

$$Y_{12} = \frac{y_{12} - Z\Delta y}{1 + Z\sum y}, \quad (8.25)$$

де  $y_{21}$  і  $y_{12}$  – провідності прямої і зворотної передачі чотириполюсника при  $Z=0$ ;  $\Delta y$  – визначник матриці провідності чотириполюсника.

Поділивши (8.24) на (8.25), з урахуванням  $K_{ms} = |Y_{21}/Y_{12}|$  [13], знаходимо

$$K_{ms}^Z = \left| \frac{y_{21} - Z\Delta y}{y_{12} - Z\Delta y} \right|. \quad (8.26)$$

З (8.26) випливає, що якщо  $Z \rightarrow \infty$ ,  $K_{ms}^Z \rightarrow 1$ .

Таким чином, якщо в схемі на рис. 8.4а розірвати по змінному струму вивід 32 ( $Z_{C2} = \infty$ ), отримаємо  $K_{ms}^{C2} = 1$  і з (8.23) знаходимо

$$K_{ms}^{BIC1}(Z_{C2} = \infty) = K_{ms}^{B1}.$$

Аналогічно отримаємо

$$K_{ms}^{3IC2}(Z_{31} = \infty) = \frac{1}{K_{ms}^{C2}};$$

$$K_{ms}^{3I32}(Z_{31} = \infty) = K_{ms}^{32};$$

$$K_{ms}^{BIC2}(Z_{B1} = \infty) = \frac{1}{K_{ms}^{C2}};$$

$$K_{ms}^{B132}(Z_{32} = \infty) = K_{ms}^{B1};$$

$$K_{ms}^{3I32}(Z_{32} = \infty) = K_{ms}^{31};$$

$$K_{ms}^{3IC2}(Z_{C2} = \infty) = K_{ms}^{31};$$

$$K_{ms}^{B132}(Z_{B1} = \infty) = K_{ms}^{32}.$$

З огляду на те, що ряд параметрів фізичної еквівалентної схеми ПТШ1 однозначно можуть бути визначені через коефіцієнти максимально стійкого підсилення, які виміряні в різних схемах включення ПТШ1 [13], на підставі (8.20) знаходимо [17]:

$$G^{(1)} = \frac{S_0}{K_{ms}^{3IC2}(Z_{C2} = \infty)} = \frac{S_0}{K_{ms}^{3I32}(Z_{32} = \infty)};$$

$$G^2 = \frac{S_0}{K_{ms}^{B132}(Z_{B1} = \infty)} = \frac{S_0}{\omega K_{ms}^{BIC2}(Z_{C2} = \infty)};$$

$$C_{C3}^{(1)} = \frac{S_0 K_{ms}^{B132}(Z_{32} = \infty)}{\omega} = \frac{S_0 K_{ms}^{3IC2}(Z_{31} = \infty)}{\omega},$$

$$C_{B3}^{(2)} = \frac{S_0 K_{ms}^{BIC2}(Z_{B1} = \infty)}{\omega} = \frac{S_0 K_{ms}^{3IC2}(Z_{31} = \infty)}{\omega},$$

$$f_T^{(2)} = \frac{f_{\text{вим}}}{K_{ms}^{BIC2}(Z_{B1} = \infty)} = \frac{f_{\text{вим}}}{K_{ms}^{3IC2}(Z_{31} = \infty)};$$

$$R_i^{(2)} = \frac{\left\{ \left[ K_{ms}^{B132}(Z_{B1} = \infty) / K_{ms}^{B132}(Z_{B1} = \infty) \right]^2 - 1 \right\}^{\frac{1}{2}}}{\omega C_{B3}^{(2)}} =$$

$$= \frac{\left\{ \left[ K_{ms}^{3I32}(Z_{32} = \infty) / K_{ms}^{3I32}(Z_{32} = \infty) \right]^2 - 1 \right\}^{\frac{1}{2}}}{\omega C_{B3}^{(2)}}.$$

У такий спосіб невизначеними залишаються параметри  $R_i^{(1)}$ ,  $C_{B3}^{(1)}$ ,  $C_{C3}^{(2)}$  і  $f_T^{(1)}$ .

Для знаходження  $C_{C3}^{(2)}$ , розв'язуючи систему (8.28), знаходимо

$$\frac{1}{K_{ms}^B} + \frac{1}{K_{ms}^3} + \frac{1}{K_{ms}^C} = \frac{G + \omega(C_{C3} + C_{B3})}{S_0}. \quad (8.29)$$

З огляду на те, що для сучасних ПТШ1 і ПТШ2 справедливе  $C_{B3} >> C_{C3}$  [13, 18] і використовуючи співвідношення (8.27, 8.29) отримаємо

$$K_{ms}^{B2} = \frac{S_0^{(2)} K_{ms}^{32} K_{ms}^{C2}}{\left(G^{(2)} + \omega C_{B3}^{(2)}\right) K_{ms}^{32} K_{ms}^{C2} - S_0^{(2)} \left(K_{ms}^{C2} + K_{ms}^{32}\right)}. \quad (8.30)$$

З урахуванням (8.28) і (8.30) знаходимо

$$C_{3C}^{(2)} = \frac{S_0^{(2)}}{\omega K_{ms}^{B2}}.$$

Значення ємності  $C_{B3}^{(1)}$  можна визначити шляхом вимірювання ємності  $C_{bx}^{(1)}$  між виводами 31 і B1 на частотах  $\Omega_S \ll 1$ , що з урахуванням нерівності  $C_{C3}^{(1)} \ll C_{B3}^{(1)}$ , дозволяє вважати, що  $C_{bx}^{(1)} \approx C_{B3}^{(1)}$ . У цьому випадку значення  $R_i^{(1)} = \frac{1}{\omega_s^{(1)} C_{B3}^{(1)}}$ , а  $f_T^{(1)} = \frac{S_0}{2\pi C_{3B}^{(1)}}$  [13].

Перевірка отриманих результатів здійснена експериментально з використанням параметрів ПТШ, наведених у [18]. Двозатворний ПТШ моделювався у вигляді каскадного з'єднання однозатворних ПТШ, шляхом з'єднання стоку одного з них із витоком іншого.

У процесі експерименту здійснювалися вимірювання  $K_{msi}$  каскадного з'єднання утвореної структури, розраховувалися її параметри з використанням вище наведених аналітичних виразів, що потім порівнювалися зі значеннями параметрів однозатворних ПТШ (табл. 8.2).

Таблиця 8.2

Порівняння розрахованих параметрів структури каскадного з'єднання зі значеннями параметрів однозатворних ПТШ

| Об'єкт дослідження                                      | Параметр фізичної еквівалентної схеми ПТШ |             |                |                |                |                |             |             |             |             |
|---|---|-------------|----------------|----------------|----------------|----------------|-------------|-------------|-------------|-------------|
|   | $G^{(1)}$                                 | $G^{(2)}$   | $C_{C3}^{(1)}$ | $C_{C3}^{(2)}$ | $C_{B3}^{(1)}$ | $C_{B3}^{(2)}$ | $f_T^{(1)}$ | $f_T^{(2)}$ | $R_i^{(1)}$ | $R_i^{(2)}$ |
|   | $\text{Ом}^{-1} \cdot 10^{-3}$            | $\text{пФ}$ |                | $\text{пФ}$    |                | $\text{ГГц}$   |             | $\text{Ом}$ |             |             |
| Однозатворний ПТШ ЗП321А                                | 15  | —           | 0,01           | —              | 0,5            | —              | 8           | —           | 3,5         | —           |
| Відносна середньоквадратична похибка для ПТШ1, %        | 4,6                                       | —           | 0,01           | —              | 6              | —              | 8           | —           | 19,2        | —           |
| Модель двозатворного ПТШ                                | 16  | 15,5        | 0,012          | 0,014          | 0,45           | 0,52           | 7,3         | 7,6         | 4,2         | 4,7         |
| Відносна середньоквадратична похибка для моделі ПТШ2, % | 7   | 3           | 20             | 4              | 10             | 4              | 8,7         | 5           | 20          | 5,7         |

Результати вимірювання параметрів ПТШ2 у межах (4–20)% відрізняються від результатів вимірювання параметрів ПТШ1. Причому найістотніша відмінність спостерігається для ємності  $C_{C3}^{(1)}$  і граничної частоти  $f_T^{(1)}$ , що пояснюється впливом пасивних ємностей кристала ПТШ2.

Запропонований метод визначення параметрів активної області кристала ПТШ2 не вимагає здійснення режиму короткого замикання або знання фізичних параметрів матеріалу кристала. У процесі визначення вимірюються тільки потужність і частота сигналу.

## Перелік літератури до розділу 8

1. Степаненко И.П. Основы теории транзисторов и транзисторных схем. – М.: Энергия, 1977.
2. Столлярский Э. Измерение параметров транзисторов. - М., Советское радио, 1976.
3. Транзисторы. Параметры, методы измерений и испытаний. Под ред. И.Г. Бергельсона, Ю.А. Каменецкого, И.Ф. Николаевского. - М., Советское радио, 1968. – 504 с.
4. Аронов В.Л., Федотов Я.А. Испытание и исследование полупроводниковых приборов. – М.: Высшая школа, 1975.
5. Богачев В.М., Никифоров В.В. Транзисторные усилители мощности. – М.: Энергия, 1978.
6. Спиридонов А.С. Основы теории транзисторов. – К.: Техніка, 1975.
7. Терешин А.Е., Сафонов В.А. Справочник по эксплуатации радиоизмерительных приборов. – К.: Техніка, 1969.
8. Силаев М.А., Брунцев С.Ф. Приложение матриц и графиков к анализу СВЧ устройств. – М.: Советское радио, 1970.
9. Транзисторы для аппаратуры широкого применения: Справочник под ред. Б.Л. Перельмана. – М.: Радио и связь, 1981.
10. Валиев К.А., Пашинцев Ю.И., Петров Г.В. Применение контакта металл-полупроводник в электронике. – М.: Радио и связь, 1981. –304 с.
11. Анализ и расчет интегральных схем / Под ред. Д. Лина. Ч.1: Пер. с англ. – М.: Мир, 1969. - 370 с.
12. Полупроводниковые приборы в схемах СВЧ / Под ред. В.С. Эткина: Пер. с англ. – М.: Мир, 1979. – 444 с.
13. Филинюк Н.А. Активные УКВ фильтры. –М.: Радио и связь, 1984. – 268 с.
14. Филинюк Н.А., Песков С.Н., Павлов С.Н. Определение параметров физической эквивалентной схемы высокочастотных транзисторов // Изв. МВ и ССО СССР. Радиоэлектроника. – 1982, – Т. 25, № 12. – С. 38–43.
15. Man G.S.F. A microwave model for the dual-gate GaAs MESFET. // IEEE MTT-S Int. Microwave Symp. Dig., Los Angeles, June. – 1981. – P. 43–45.
16. Маттей Д.Л., Янг Л., Джонс Е.М.Т. Фильтры СВЧ, согласующие цепи и цепи связи: Пер. с англ; Под ред. Л.В. Алексеева и Ф.В. Кушнира. – М: Связь, 1971. – 240 с.

17. Филинюк Н.А., Гаврилов Д.В. Определение параметров физической эквивалентной схемы двухзатворного полевого транзистора Шоттки // Радиоэлектроника. – 2004. – №11. – С. 71–75.

18. Филинюк Н.А. Экспериментальное определение граничной частоты активной области кристалла полевого транзистора // Изв. вузов СССР. Радиоэлектроника. – 1987. – № 12. – С. 90–92.

## РОЗДІЛ 9

# КРИТЕРІАЛЬНА ОЦІНКА ЕФЕКТИВНОСТІ ІНФОРМАЦІЙНИХ ПРИСТРОЇВ НА БАЗІ НЕГАТРОНІВ

Вибір типу ІП для розроблювальної інформаційної системи звичайно виробляється, виходячи із критерію його працездатності, що має одну з можливих форм запису  $b_i \geq b_T$ ,  $b_i \leq b_T$ ,  $b_i = b_i \pm \Delta b_T$ ,  $i = 1, 2, \dots, n$ , де  $b_T$ ,  $\Delta b_T$  – необхідне значення й припустимий розкид  $b_i$  параметра ІП щодо значення параметра  $b_T$ .

При цьому часто виникає положення, коли критерію працездатності відповідає більш ніж один тип ІП. У цьому випадку його вибір відбувається практично інтуїтивно, з урахуванням досвіду розроблювача. Подібна ситуація виникає при проектуванні ІП на базі негатронів, коли потрібно зробити кількісну оцінку ефективності однотипних ІП, що характеризуються сукупністю параметрів

Найбільше гостро це завдання постає при проектуванні складних інформаційних систем, тому що помилка зроблена на початкових стадіях проектування може привести до такого збільшення вартості системи, що її впровадження стають недоцільним. З метою виключення такого ризику використовуються різні критериальні оцінки ефективності інформаційних пристройів.

### 9.1. Аналіз критеріїв ефективності інформаційних пристройів та систем

Фундаментальні роботи з розробки критеріїв оцінки ефективності автоматичних і автоматизованих систем контролю й керування (АСКК) виконані І. В. Кузьміним [1]. Уведений ним узагальнений статистичний критерій ефективності

$$E = \frac{K_{ep}}{K_{en}} \quad (9.1)$$

і його модифікації знайшли застосування в оцінці ефективності різних видів інформаційних систем ( $K_{ep}$  – коефіцієнт ефективності реальної АСКК,  $K_{en}$  – коефіцієнт ефективності потенційної АСКК).

Перевагою цього критерію є його наочність, порівняльна простота й спільність, нормований характер, що дозволяє одним числом характеризувати як всю систему, так і її частини. Але критерій (9.1) у

явному вигляді, як відзначає сам автор, ускладнюю оцінку оперативності й внеску, окремих складових системи у її ефективність.

В [2] пропонується показник практичної оптимальності системи у вигляді відношення суми показників якості  $\left(\frac{b_{ir}}{b_i}\right)$  до сумарних витрат

$$\left(\frac{C}{C_m}\right)$$

$$\eta = \frac{\sum_{i=1}^n a_i \left( \frac{b_{im}}{b_i} \right)}{\left( \left( \frac{C}{C_m} \right) \sum_{i=1}^n a_i \right)}, \quad (9.2)$$

де  $a_i$  – вагові коефіцієнта,  $b_{im}$ ,  $C_m$  – оптимальні значення параметрів.

Показник практичної оптимальності (9.2) є по суті модифікацією узагальненого статистичного критерію (9.1), у якому, з метою врахування різних параметрів складної системи, позитивний ефект характеризується сумою показників якості.

Перевагою роботи [3] є детальне пророблення питання визначення вагових коефіцієнтів  $a_i$ . Але сам показник (9.2) не має чіткого фізичного змісту. Крім того, про оптимальність системи судять по максимуму показника практичної оптимальності, граничне значення якого не визначено.

Фундаментальне дослідження з питань оптимізація радіоелектронних пристрій на основі векторного синтезу виконане Л.С. Гуткіним [4]. Ним також використовується значення показників якості й розроблений метод безумовного критерію переваги, що зводить задачу векторного синтезу пристрій до задачі скалярного синтезу, що дозволяє застосувати добре розроблені математичні методи синтезу й оптимізації радіосистем по єдиному показнику якості, до синтезу по декількох показниках якості.

У ролі показників якості  $K_i$  автор вибирає числові характеристики системи, пов'язані з її якістю монотонною залежністю, наведені до виду, що забезпечує умови

$$K_i \geq 0, \quad (i = \overline{f, n}) \quad (9.3)$$

Чим менше величина  $K_i$ , тим краще система. Але із психологичної точки зору доцільно використовувати показники, які збільшують

ються при наближенні варіанта системи до оптимального. Цю вимогу умова (9.3) не задоволяє.

Подальший розвиток теорії побудови критеріїв оцінки ефективності складних інформаційних систем і оптимізації їхніх параметрів з використанням цих критеріїв, знайшовся в праці Ф. Ф. Юрлова [5]. У ній, шляхом використання теорії множин і теорії складних систем, сформульовані загальні вимоги до коефіцієнта ефективності складних систем, розвиваються принципи й методи приведення радіоелектронних систем у порівнянний вигляд, дається методологія техніко-економічної оптимізації цих систем по декількох показниках якості. Розроблений системний багаторівневий підхід до проблеми порівнянності складних радіоелектронних систем. Однією з переваг цієї роботи є те, що на відміну від праць [4, 6] у ній дані рекомендації з вибору базового варіанта системи, які базуються на визначені суккупності підмножин функціонально подібних засобів досягнення мети ( $x_n = \{x_{ni}\}, i = \overline{f, n}$ ), порівнянні засобів, принадлежній цій підмножині й визначені для кожної підмножини найбільш ефективного рішення  $x_{nio}$ , порівнянні ефективних засобів, що ставляться до різних класів функціонально різних систем і виборі оптимального вирішення.

Очевидно, що даний алгоритм вибору базового варіанта має більшою мірою теоретичне, а не практичне значення, тому що на самому початку його виконання закладена невизначеність у виборі функціонально подібних засобів досягнення мети.

Іншим недоліком пропонованої процедури вибору базового варіанта є те, що він не вказує розроблювачеві на її потенційні (граничні) можливості.

Важливим кроком у виборі параметрів потенційної інформаційної системи з'явилися результати, отримані П. В. Новицьким [7], який використовуючи негентропний принцип інформації Л. Бріллюена [8] установив співвідношення між величиною енергії  $\varepsilon_{ax}$  й граничним значенням перенесеної нею інформації  $I_m$ .

$$I_m = 10,53 + 0,5 \lg\left(\frac{\varepsilon_{ax}}{T^0}\right),$$

де  $T^0$  – абсолютна температура об'єкта інформації.

Однак подальший розвиток ця теорія одержала тільки в оцінці параметрів засобів виміру й контролю [9]. Розроблювачі різних видів ПП пропонують часткові критерії оцінки ефективності конкретних

видів пристройів. При цьому використовуються або відомі критерії оцінки ефективності інформаційних систем, або розробляються нові критерії, що враховують специфіку роботи цих пристройів. Наприклад, в [10] для аналізу ефективності АЦП запропонована система критеріїв  $K_1 - K_3$  у вигляді:

$$K_1 = \frac{\Delta I}{t_{cp}}, \quad K_2 = \frac{\Delta I}{C}, \quad K_3 = \frac{\Delta It_\varphi}{C},$$

де  $t_{cp}$  – середній час безвідмової роботи, С – вартість АЦП,  $\Delta I$  – величина, що показує наскільки зменшується втрата інформації при використанні даного АЦП.

З огляду на те, що вихідні дані про попередню втрату інформації  $\Delta I$  невідомі, автор пропонує замість точного значення  $\Delta I$  використати його оцінки, що знижує точність застосування даних критеріїв.

Становить інтерес робота [11], присвячена оцінці технічного рівня аналого-цифрових елементних засобів за інформаційно-енергетичними

показниками вигляду  $A_{bx} = \frac{P_{bx}}{I_t}$  й  $A_n = \frac{P_{живл.}}{I_t}$ , де  $A_{bx}$  – енергети-

чний поріг чутливості;  $P_{bx}$  – потужність, що розсіюється у вхідному ланцюзі;  $I_t$  – максимальна кількість інформації, переданої в одиницю часу;  $A_n$  – питома енергоємність;  $P_{живл.}$  – потужність споживана ПІ від джерела живлення.

Перевагою цих показників є їх явний фізичний зміст, що дозволяє встановити зв'язок між інформаційними й енергетичними параметрами. Однак вони не враховують такий важливий його параметр, як вартість ПІ. Крім того, ці показники є ненормованими величинами, що утрудняє їхнє використання для різновидів пристройів.

З огляду на переваги й недоліки розглянутих критеріїв, а також вимоги, висунуті до критеріїв ефективності інформаційних систем у роботах [1, 2, 5, 12], сформулюємо вимоги до критерію оцінки ефективності ПІ. Критерій повинен відповісти таким основним вимогам [13]:

- відображати основне призначення пристроя, виходячи з мети проектування або оптимізації;
- виражатися в числовій формі;
- мати цілком певній обґрутовані граници;
- мати ясний фізичний зміст;
- мати порівняльну простоту й наочність;

- забезпечувати можливість порівняння різних варіантів (наприклад, бути нормованим);
- враховувати основні параметри, що визначають призначення і якість роботи ІІ;
- забезпечувати можливість рішення деякого завдання оптимізації;
- забезпечувати можливість врахування індивідуальних вимог (наприклад, шляхом завдання вагових коефіцієнтів);
- забезпечувати можливість прогнозування шляхів підвищення ефективності ІІ,

Виходячи із зазначених вимог, виникають такі основні завдання по створенню критерію ефективності ІІ:

- розробка узагальненої математичної моделі ефективності;
- обґрунтування основних параметрів;
- обґрунтування параметрів потенційного ІІ.

Рішенням цих завдань присвячені наступні підрозділи цього розділу.

## 9.2. Узагальнена математична модель ефективності ІІ

Ефективність ІІ характеризує його здатність забезпечити задану кількість інформації з найменшими витратами часу, смуги частот, енергії, витратами на проектування, виготовлення, обслуговування тощо.

Кількісно ефективність системи або пристрою характеризується коефіцієнтом ефективності, рівним [14]

$$K_e = \frac{\text{Максимум ефекту}}{\text{Мінімум затрат}}.$$

Основним параметром, що характеризує позитивний ефект інформаційної системи або пристрою, є кількість забезпеченої нею інформації. Безліч інших параметрів і їхня важливість, визначаються залежно від виду й призначення інформаційного пристроя.

Інформаційні системи й пристрої відповідно до вимог до техніко-економічних параметрів діляться на три основні групи [15]: космічні, військові й авіаційні; промислові; побутові.

Найбільш жорсткі вимоги висуваються до пристройів і систем першої групи, для якої характерні такі основні показники: надійність, швидкість обробки інформації, маса, габаритні розміри, споживана енергія, ефективність виробництва та експлуатації, ціна.

Для інформаційних систем цієї групи мінімальні витрати прийнято оцінювати узагальненою вартістю С виробництва й експлуатації системи. У цьому випадку ефективність системи оцінюється коефіцієнтом [1].

$$K_{ep1} = \frac{I}{C}. \quad (9.4)$$

Використовуючи коефіцієнт ефективності потенційної системи у вигляді

$$K_{en1} = \frac{I_{\max}}{C_{\min}} \quad (9.5)$$

після ділення (9.4) на (9.5), одержуємо узагальнений статистичний критерій ефективності I. В. Кузьміна [1]

$$E = \frac{K_{ep1}}{K_{en1}} = \frac{IC_{\min}}{CI_{\max}}. \quad (9.6)$$

Відношення  $\frac{I}{I_{\max}} = \eta_I$  відповідає інформаційному ККД процесу одержання інформації, а відношення  $\frac{C_{\min}}{C} = \eta_C$  визначаємо як економічний ККД процесу одержання інформації. У цьому випадку, відношення (9.6) запишемо у вигляді  $E = \eta_I \eta_C$ . Якщо при оцінки ефективності ІП розглядати як максимальний ефект величину  $\frac{I}{C}$ , а як мінімум витрат – витрати енергії ε джерела живлення й сигналу для одержання необхідної кількості інформації, виключивши їх з узагальненої вартості С, тоді ефективність ІП характеризується коефіцієнтом  $K_{ep2} = I/Cε$ .

Вводячи аналогічне відношення для коефіцієнта ефективності потенційного ІП у вигляді  $K_{ep2} = \frac{I_{\max}}{C_{\min} \cdot \epsilon_{\min}}$ , беручи відношення  $\frac{K_{ep2}}{K_{en2}}$ , одержуємо узагальнений критерій ефективності ІП

$$E = \frac{IC_{\min} \epsilon_{\min}}{I_{\max} C \epsilon}. \quad (9.7)$$

Позначаючи  $\frac{\epsilon_{\min}}{\epsilon} = \eta_{\epsilon}$  як повний енергетичний ККД процесу одержання інформації, відношення (9.7) запишемо у вигляді  $E = \eta_I \eta_C \eta_{\epsilon}$ .

У загальному випадку, розглядаючи величину  $\frac{I}{\prod_{i=2}^{n-1} b_i}$  як максимум

ефекту, а  $b_n$  – тий параметр ІП, як величину, що характеризує мінімум витрат, коефіцієнт ефективності реального ІП визначаємо відношенням

$$K_{ep} = \frac{I}{b_n \prod_{i=2}^{n-1} b_i}. \quad (9.8)$$

Відповідний коефіцієнт ефективності потенційного ІП запишемо у вигляді

$$K_{en} = \frac{I_{\max}}{b_n \min \prod_{i=2}^{n-1} b_i \min}. \quad (9.9)$$

Після ділення (9.8) на (9.9), знаходимо

$$E = \frac{I b_n \min \prod_{i=2}^{n-1} b_i \min}{I_{\max} b_n \prod_{i=2}^{n-1} b_i}. \quad (9.10)$$

Позначаючи  $\frac{b_i \min}{b_i}$  як ККД процесу одержання інформації за параметром  $b_i$ , відношення (9.10) приймає вигляд  $E = \eta_I \prod_{i=2}^n \eta_i$  або

$$E = \prod_{i=2}^n \eta_i \quad . \quad (9.11)$$

У критерії (9.11), якщо правильно розраховані (обрані або задані) параметри  $b_{i \min}$  потенційного ПП, виконуються нерівності:

$$b_i \geq b_{i \min}, \quad 0 \leq \eta_i \leq 1, \quad 0 \leq E \leq 1$$

З урахуванням цих нерівностей з (9.11) випливає  $E < \eta_{i \ min}$ , тобто спостерігається пріоритетний вплив мінімального параметра  $B_i$  на величину критерію ефективності системи. Крім того, збільшення числа  $n$  параметрів, які мають  $\eta_i < 1$ , обов'язково веде до зниження критерію ефективності  $E$ , хоча сама ефективність ПП залишається незмінною. Щоб зменшити вплив мінімального значення  $\eta_i$  й числа параметрів на величину критерію ефективності  $E$ , визначаємо узагальнений критерій ефективності як середнє геометричне від значень інформаційного ККД і ККД одержання інформації з  $b_i$  параметрів:

$$E = \left( \prod_{i=1}^n \eta_i^{a_i} \right)^{\frac{1}{n}}.$$

При проектуванні ПП, в залежності від розв'язуваних ними завдань, вибирається (або задається) не тільки число й найменування параметрів  $b_i$ , які необхідно врахувати, але й визначається їх пріоритет (вага) над іншими параметрами. Із цією метою у формулу для коефіцієнта ефективності вводимо параметр  $a_i$ , що змінює ККД одержання інформації  $\eta_i$ , по параметру  $b_i$ , й одержуємо остаточний вигляд узагальненого критерію ефективності ПП [16]

$$E = \left( \prod_{i=1}^n \eta_i^{a_i} \right)^{\frac{1}{n}}, \quad (9.12)$$

де  $1 \leq a_i < \infty$ .

Таким чином, для розрахунку ефективності інформаційного пристрою потрібно визначити інформаційний ККД  $\eta_i$ , КЦД  $\eta_i$  одержання інформації з параметром  $b_i$  й пріоритетні коефіцієнти  $a_i$ .

### 9.3. Визначення потенційних параметрів інформаційного пристрою

Обчислення значень  $\eta_i$  пов'язано з визначенням потенційних параметрів потенційного інформаційного пристрою  $b_{in}$ . У дослідженнях, присвячених аналізу ефективності інформаційних систем і пристрой, ці параметри неправомірно не розглядаються детально, хоча від їхньої величини залежить точність математичної моделі ефективності ІІІ.

Як показав аналіз, існує неоднозначність у визначенні параметрів потенційної системи, що обумовлено відсутністю в аналізованих роботах визначення потенційної інформаційної системи. Таке визначення стосовно автоматичних систем контролю й керування дано

I. В. Кузьміним [14].

Потенційна інформаційна система визначається як ідеальна система, яка забезпечує одержання максимально можливої кількості інформація при мінімумі витрат. Вона є також ідеальною в сенсі простоти, тому що в ній не передбачено резервування, доробок для одержання потрібної швидкодії, обсягу, ваги й т.п., тому що ці параметри також є ідеальними. Analogічне визначення використаємо для характеристики ІІІ.

Вибір параметрів потенційного ІІ може бути зроблений [17]:

- на підставі аналітичного розрахунку, виходячи із законів існування матеріального світу;
- на підставі статистичного прогнозу розвитку техніки;
- на підставі сучасних досягнень техніки.

Перший спосіб забезпечує максимальну вірогідність результатів і дозволяє встановити аналітичний зв'язок між різними параметрами ІІ. Його застосування обмежене можливістю встановлення строгої аналітичної залежності між параметрами ІІ й основними закономірностями й константами матеріального світу.

Застосування другого способу дозволяє врахувати соціальні аспекти розвитку техніки, але у випадку нелінійної зміни параметра  $b_i$  в часі або обмеженій кількості статистичних даних приводить до великої погрішності розрахунку.

Менш точним, але більш простим є третій спосіб визначення параметрів  $b_{in}$  потенційного ІІ. Він полягає у виборі параметра  $b_{in}$  рівним максимально (мінімально) - досяжному параметру  $b_i$  в даному вигляді ІІ на даний період часу. Але при цьому можлива істотна помилка, пов'язана з порушенням закономірностей матеріального світу.

Тому для визначення параметрів потенційного ІП вибираємо перший спосіб, а як основні параметри використаємо: кількість інформації I, одержуваної на виході ІП; узагальнену вартість пристрою С, кількість енергії ε та час t, затрачуваний на одержання необхідної кількості інформації I. Як показав подальший аналіз, уведені параметри є інтегральними, тому що вони однозначно визначаються через основні робочі параметри розглянутого класу ІП.

Відповідно до цих параметрів опишемо інформаційний пристрій відповідними ККД: інформаційним –  $\eta_I$ , економічним –  $\eta_C$ , повним енергетичним –  $\eta_e$  динамічним –  $\eta_t$ .

#### 9.4. Визначення інформаційного ККД

На підставі робіт, виконаних в 1951-1956 р.р. Л. Бріллюеном [8], ним було доведено, що “інформація може бути отримана лише в результаті витрат енергії ...”. Застосовуючи цей висновок Бріллюена й уведене ним поняття ентропії як фізичного ступеня визначеності будь-якої вимірюваної величини, що є кінцевою й визначається або її власною дискретністю, або флуктуацією, обумовленою принциповою дискретністю речовини й енергії, Л. В. Новицьким отримані вирази для інформаційної здатності вхідного сигналу  $N_{ш}$  й для максимальної кількості інформації  $I_{ш}$ , що може містити в собі такий сигнал, при врахуванні тільки термодинамічної погрішності  $v_{ш}$  об'єкта інформації, властивої матеріальній сутності цього об'єкта [7].

$$N_{ш} = \frac{\ln D}{2v_{ш}\sqrt{D}}, \quad (9.13)$$

$$I_{ш} = \lg N_{ш}, \quad (9.14)$$

де D – діапазон зміни вхідної величини;

$v_{ш}$  – коефіцієнт, що характеризує початкову визначеність – негентропію будь-якої фізичної вимірюваної величини при певній температурі, відмінної від абсолютноного нуля;

$$v_{ш} = \sqrt{\frac{\epsilon_{ш}}{\epsilon_{вх}}} , \quad (9.15)$$

де  $\epsilon_{ш}$  – шумова енергія об'єкта інформації;

$\epsilon_{\text{вх}}$  – енергія, споживана вимірювальним пристроєм від об'єкта інформації.

У цій же роботі було показано, що якщо вимірювальний пристрій має власну похибку  $v$ , то його інформаційна спроможність і кількість інформації ( $N, I$ ), одержуваної на виході цього пристроя, будуть рівні

$$N = \frac{\ln D}{2v\sqrt{D}}, \quad I = \lg N. \quad (9.16)$$

Застосовуючи розглянуті положення до П можна вважати, що інформаційна спроможність і кількість інформації на виході будь-якого ідеального П, при фіксованому діапазоні зміни інформаційного параметра, не може перевищувати величин, описуваних формулами (9.13) і (9.14), тому що вони не залежать від властивостей пристроя, а визначаються тільки властивостями матеріального об'єкта, і їх можна розглядати як параметри потенційного П.

У цьому випадку інформаційний ККД процесу одержання інформації буде дорівнювати

$$\eta_I = \frac{I}{I_{\text{ш}}}. \quad (9.17)$$

З огляду на, що втрата інформації в П дорівнює

$$\Delta I = I_{\text{ш}} - I = \lg \left( \frac{v}{v_{\text{ш}}} \right), \quad (9.18)$$

вираз (9.1) запишемо у вигляді

$$\eta_I = \frac{(I_{\text{ш}} - \Delta I)}{I_{\text{ш}}} = 1 - \frac{\Delta I}{I_{\text{ш}}}. \quad (9.19)$$

Підставляючи формули (9.14) і (9.18) в (9.19) визначаємо інформаційний ККД  $\eta_I$  через параметри потенційного й реального УП.

$$\eta_I = \frac{1 - \lg \left( \frac{v}{v_{\text{ш}}} \right)}{\lg N_{\text{ш}}}. \quad (9.20)$$

Якби в ІП не втрачалася інформація ( $\Delta I = 0$ ), тоді  $v = v_{\text{ш}} \eta_i = 1$ . У реальному пристрой завжди є внутрішня перешкода у вигляді шумів активних і пасивних компонентів, тимчасової нестабільності параметрів компонентів і т.д. [18]. Урахувавши, що захист проти детермінованих перешкод не викликає утруднень, розглянемо вплив випадкових перешкод. Основною внутрішньою випадковою перешкодою ІП є флюктуаційна перешкода, обумовлена шумами активних приладів і дисипативними втратами сигналу в пристрой.

При надходженні на вход ІП сигналу потужністю  $P_{\text{вх}}$ , з урахуванням впливу перешкоди, він перетвориться з відносною середньо-квадратичною погрішністю рівної

$$v = \sqrt{\frac{P_{\text{швх}}}{P_{\text{вх}}}}, \quad (9.21)$$

де  $P_{\text{швх}}$  – потужність шумів ІП, наведена до входу.

Тоді корисно використовувана частина енергії від джерела інформації визначається виразом

$$\epsilon_{\text{корисн}} = \frac{\epsilon_{\text{ш}}}{v^2} = \frac{P_{\text{ш}} t_{\text{вх}}}{v^2} \quad (9.22)$$

а відношення

$$\eta_{\text{вх}} = \frac{\epsilon_{\text{корисн}}}{\epsilon_{\text{вх}}} = \frac{P_{\text{ш}}}{P_{\text{швх}}}, \quad (9.23)$$

де  $t_{\text{вх}}$  – тривалість часу надходження інформації.

З огляду на те, що потужність шумів, наведена до входу ІП рівна [19]

$$P_{\text{швх}} = 4kT^0 F_{\text{ш}} \Delta f, \quad (9.24)$$

де  $F_{\text{ш}}$  й  $\Delta f$  – коефіцієнт шуму й смуга пропускання ІП, одержуємо відношення для енергетичного ККД перетворення інформації на вході ІП

$$\eta_{\text{вх}} = \frac{P_{\text{ш}}}{4kT^0 F_{\text{ш}} \Delta f}. \quad (9.25)$$

З врахуванням (9.15) і (9.21) вираз (9.23) набуває вигляд [7]

$$\eta_{\text{евх}} = \left( \frac{v_{\text{ш}}}{v} \right)^2. \quad (9.26)$$

Підставляючи (9.26) в (9.20), знаходимо аналітичну залежність між інформаційним  $\eta_I$  і енергетичним  $\eta_{\text{евх}}$  ККД процесу перетворення інформації

$$\eta_I = 1 + \frac{0,5 \lg \eta_{\text{евх}}}{\lg N_{\text{ш}}} \quad . \quad (9.27)$$

Підставляючи в (9.27) формулу (9.23) з врахуванням (9.24) знаходимо інформаційний ККД ІП, виражений через його малосигнальні параметри [20]

$$\eta_I = 1 + 0,5 \frac{\lg(P_{\text{ш}} / 4kT^0 F_{\text{ш}} \Delta f)}{\lg N_{\text{ш}}}. \quad (9.28)$$

Вираз (9.28) справедливий для амплітудно-модульованого (АМ) вхідного сигналу. У випадку тимчасової (ТМ) або частотної модуляції вхідного сигналу, потенційні характеристики ІП, обумовлені формулами (9.13 – 9.15), змінюються й визначаються за допомогою таблиці інваріантів [7].

Вхідний у виразі (9.20) коефіцієнт  $N_{\text{ш}}$ , що визначає інформаційну спроможність потенційного ІП, є функцією коефіцієнта  $D$ , що характеризує діапазон зміни вхідного сигналу. Оптимальне значення цього коефіцієнта  $D_{\text{opt}}$ , що відповідає максимуму інформаційної спроможності сигналу  $N_{\text{шmax}}$ , для випадку адитивної погрішності й гіперболічного закону розподілу щільності різних значень вхідного сигналу по всьому діапазону його зміни дорівнює  $D_{\text{opt}} = e^2 = 7,4$ .

Іншою важливою величиною, що визначає інформаційну спроможність потенційного ІП, є шумова енергія  $\epsilon_{\text{ш}}$ , що залежить від абсолютної температури. При значенні температури  $T^0 = 293^0\text{K}$  значення цієї енергії дорівнює  $\epsilon_{\text{ш}}(T^0) = 3,5 \cdot 10^{-20} \text{Дж}$ .

З урахуванням виразів (9.15) і (9.26) інформаційний ККД (9.20) можна представити у вигляді

$$\eta_i = 1 + 0.5 \frac{\lg(\epsilon_w / \gamma)}{\lg N_w} .$$

Враховуємо динамічні властивості вхідного ланцюга ІП, які характеризують час  $t_{\text{вх}}$  перетворення інформації на його вході, де  $\gamma = v^2 P_{\text{вх}} t_{\text{вх}}$ .

Величина  $\gamma = \frac{\epsilon_w}{N_{\text{вх}}}$  характеризує енергетичний поріг чутливості ІП й уведена в роботі [7].

З огляду на те, що  $\lg N_w > 1$ , для реального ІП справедлива нерівність  $\eta_i < 1$ .

На рис. 9.1 показані розрахункові, з використанням виразу (9.27) і таблиці інваріантів, залежності інформаційного ККД  $\eta_i$  інформаційного пристрою від логарифма енергетичного ККД прийому інформації  $\eta_{\xi_{\text{вх}}}$  при постійному діапазоні  $D$  зміни вхідного сигналу й різних видів модуляції сигналу. Лінійний характер цих залежностей дозволяє використати величину  $\lg \eta_{\xi_{\text{вх}}} = \lg(\epsilon_w / \gamma)$  для оптимізації інформаційних пристройів.

Із графіків випливає, що інформаційні ККД ІП, призначених для роботи з ЧМ сигналом, значно перевищують значення цього ККД для пристройів, призначених для роботи із ЧМ і АМ сигналами. Причому ця відмінність тим більша, чим менше значення енергетичного ККД  $\eta_{\xi_{\text{вх}}}$ .

Таким чином, використання енергетичної концепції одержання інформації дозволяє зв'язати аналітичною залежністю через інформаційний ККД  $\eta_i$  ІП його основні малосигнальні параметри: похибка перетворення  $v$ , швидкодію прийому інформації  $t_{\text{вх}}$ , рівень насичення  $P_{\text{вхH}}$ , коефіцієнт шуму  $F_w$ , величину смуги пропускання  $\Delta f$ , енергетичний ККД прийому інформації  $\eta_{\xi_{\text{вх}}}$ , енергетичний поріг чутливості  $\gamma$ , динамічний діапазон  $D$ .

Крім того, використання негентропійного принципу інформації Брілюена дозволяє встановити зв'язок між інформаційними ККД ІП, що використовують сигнали з різними видами модуляції та показати, що граничні інформаційні параметри ІП кінцеві при певній температурі й обмежені величиною шумової енергії  $\epsilon_w$ .

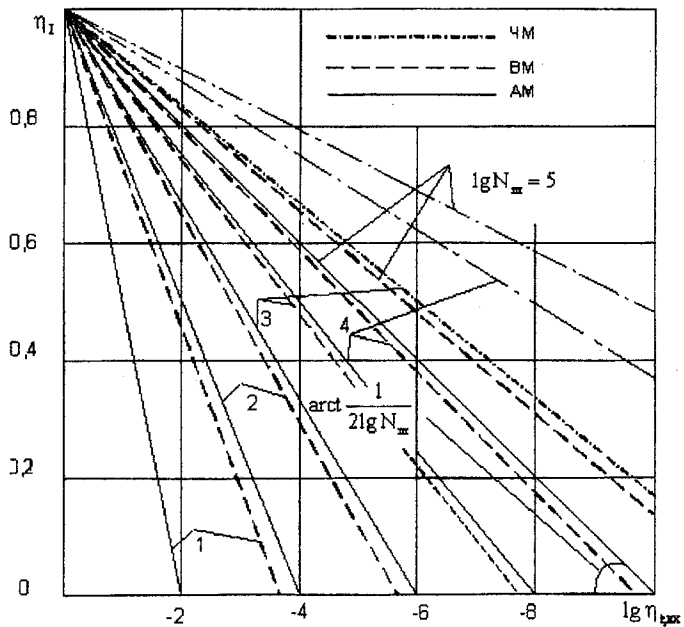


Рис. 9.1. Залежності інформаційного ККД  $\eta_i$  інформаційного пристрою від енергетичного ККД прийому інформації  $\eta_{\xi_{bx}}$

### 9.5. Визначення повного енергетичного ККД

При виведенні інформаційного ККД ІП показано, що його величина залежить від енергетичного ККД  $\eta_{\xi_{bx}}$  прийому інформації. Але крім втрат енергії на вході, існують ще втрати енергії пов'язані із трансляцією інформації із входу ІП на його вихід – втрати трансляції. У пасивних ІП вони визначаються дисипативними втратами сигналу, а в активних пристроях ледве існують втрати енергії джерела живлення  $\varepsilon_{живл}$ . Врахування всіх цих втрат можливе шляхом введення повного енергетичного ККД  $\eta_{\xi}$  ІП.

Повним енергетичним ККД  $\eta_{\xi}$  ІП назовемо відношення енергії  $\xi_p$ , затрачуваної на прийом і трансляцію заданої кількості інформації в потенційному пристрої до аналогічних витрат енергії  $\xi_p$  в реальному пристрой

$$\eta_{\xi} = \xi_{\text{п}} / \xi_{\text{p}}. \quad (9.29)$$

З огляду на те, що в потенційному пристрої відсутні дисипативні втрати при проходженні сигналу із входу на вихід і його робота не вимагає енергії  $\xi_{\text{живл.}}$  джерела живлення, втрати енергії в ньому зв'язані тільки із втратою при прийманні інформації, тобто

$$\xi_{\text{п}} = \xi_{\text{п вх}} - \xi_{\text{п вих}} = \xi_{\text{п вх}} (1 - \eta_{\xi_{\text{вх}}}).$$

Якщо енергетичний ККД ІП  $\eta_{\xi_{\text{вх}}} = 1$ , тоді  $\xi_{\text{п}} = 0$ , тобто втрати енергії в потенційному ІП відсутні. Однак, відповідно до інформаційної теорії Бріллюена, інформація не може бути отримана без витрати енергії [8]. Отже й у потенційному ІП  $\eta_{\xi_{\text{вх}}} < 1$ , а  $\xi_{\text{п}} < 0$ .

Величина енергетичних витрат у потенційному ІП визначається енергією  $\xi_{\text{п вх}}$ , затраченою на його вході при прийманні заданої кількості інформації  $I_{\text{п}}$ .

Приймаючи для потенційного ІП:  $D = D_{\text{опт.}}$ ,  $\xi_{\text{п}} = 3.5 * 10^{-20}$  Дж, на підставі (9.16) знаходимо

$$\xi_{\text{п}} = \xi_{\text{п вх}} = 10^{2(l_{\text{п}} - 9.3)}. \quad (9.30)$$

У реальному ІП можуть існувати втрати енергії як сигналу  $\Delta\xi = \xi_{\text{вх}} - \xi_{\text{вих}}$ , так і джерела живлення  $\xi_{\text{живл.}}$ . Тому сумарна втрата енергії в реальному ІП визначається виразом

$$\xi_{\text{п}} = \xi_{\text{вх}} - \xi_{\text{вих}} + \xi_{\text{живл.}}, \quad (9.31)$$

де  $\xi_{\text{вих}}$  – енергія сигналу на виході ІП.

Підставляючи (9.30) і (9.31) в (9.29), знаходимо

$$\eta_{\text{в}} = \frac{10^{2(l_{\text{п}} - 9.3)}}{(\xi_{\text{вх}} + \xi_{\text{вих}} + \xi_{\text{живл.}})}. \quad (9.32)$$

Позначаючи  $\frac{\xi_{\text{вх}}}{\xi_{\text{живл.}}} = \eta_{\text{вх}}$ ,  $\frac{\xi_{\text{вих}}}{\xi_{\text{живл.}}} = \eta_{\text{вих}}$ , де  $\eta_{\text{вх}}$ ,  $\eta_{\text{вих}}$  – електронні ККД ІП, і з огляду на те, що для сучасних активних ІП  $\eta_{\text{вх}} \ll \eta_{\text{вих}}$ , вираз (9.32) перетворимо до вигляду

$$\eta_{\xi} = \frac{10^{2(I_n - 9,3)}}{\xi_{живл}(1 - \eta_{вих})} \quad (9.33)$$

Аналізуючи (9.33) одержуємо, що найбільшим повним енергетичним ККД володіють ІП, що мають мале споживання енергії від джерела живлення й більше значення електронного ККД. Як видно з табл. 9.1, цим вимогам відповідає ІП на базі негатронів, що використовують інжецційно-пролітний пролітний ефект.

З огляду на те, що  $\xi_n \leq (\xi_{вх} - \xi_{вих})$ , отже  $\xi_p > \xi_n$ , на підставі (9.29) одержуємо  $\eta_{\xi} < 1$ .

Перевагою виразу (9.33) для повного енергетичного ККД ІП є те, що в його основі лежить енергетичний параметр  $\xi_n$  потенційного ІП, отриманий з тих же інформаційно-енергетичних принципів теорії інформації, що й інформаційний ККД  $\eta_i$ .

## 9.6. Економічний ККД

Інформаційний  $\eta_i$  і повний енергетичний  $\eta_e$  ККД визначають технічну ефективності ІП. Економічну ефективність ІП характеризує економічний ККД  $\eta_c$ , що знаходиться у вигляді відношення узагальнених вартостей потенційного  $C_n$  і реального  $C_p$  ІП:

$$\eta_c = C_p / C_n \quad (9.30)$$

Під узагальненою вартістю розуміють сумарні витрати на процес одержання на виході ІП заданої кількості інформації, виражені в грошових одиницях. У загальному випадку вона повинна враховувати як капітальні витрати на проектування, виготовлення й установку пристрою в систему, так і поточні витрати на експлуатацію, технічне обслуговування, прибуток, компенсацію збитків через несправність і т.д. Аналіз і розробка методів оцінки узагальненої вартості різних реальних інформаційних систем, блоків і пристрій проведений в [10, 21–23]. Оскільки ІП по числу компонентів і функціональних зв'язків, а також по пропонованих вимогах значно простіше інформаційних систем, розрахунок їхньої узагальненої вартості  $C_p$  не становить особливих труднощів. У сьогоденні відомі інженерні методи її розрахунку з по-грішністю порядку 10 %. Другий складовий, що характеризує економічний ККД  $\eta_c$ , є узагальнена вартість  $C_n$  потенційного ІП. Виходячи з визначення, для потенційного ІП капітальні витрати на розробку, виготовлення, установку пристройів у систему, витрати на обслуговуван-

ня дорівнюють нулю. Єдина стаття витрат, що для потенційного ІП не може бути прирівняна до нуля, – це витрати, пов'язані з втратами енергії  $\epsilon_n$  при прийомі заданої кількості інформації. Значення цієї енергії знаходиться з (9.30). Множачи (9.30) на коефіцієнт питомої вартості енергії  $C_e$ , визначаємо узагальнену вартість потенційного ІП:

$$C_n = C_e \cdot 10^{2(L-9,3)} \quad . \quad (9.31)$$

Оскільки в реальному ІП завжди існує втрата енергії на трансляцію сигналу, витрачаються засоби на його виготовлення, профілактику, ремонт і т.ін., повинні виконуватися нерівності такого виду:  $C_n < C_p$ ,  $\eta_c < 1$ . Таким чином, (9.31) описує потенційні можливості вдосконалення, експлуатації та технології виготовлення ІП.

## 9.7. Динамічний ККД

Швидкодія ІП характеризується його динамічним ККД, рівним відношенню часів одержання необхідної кількості інформації на вихіді потенційного  $t_n$  і реального  $t_p$  ІП:

$$\eta_t = t_n / t_p \quad . \quad (9.32)$$

Час одержання інформації  $t$  дорівнює сумі часів перетворення інформації на вході ІП  $t_{bx}$  і трансляції її  $t_{tp}$  із входу на вихід:  $t = t_{bx} + t_{tp}$ . Час  $t$  визначається потужністю сигналу  $P_{bx}$  і енергією  $\epsilon_{bx}$ , що повинна надходити на вхід ІП для одержання заданої кількості інформації  $I$ . З огляду на те, що реальний і потенційний ІП повинен забезпечувати різні необхідні кількості інформації, а також вважаючи, що потужність сигналу не може перевищувати потужність насичення реального ІП, знаходимо, що для потенційного ІП  $t_n = \epsilon_{n bx} / P_{bx}$ , для реального ІП –  $t_p = \epsilon_{p bx} / P_{bx}$ .

У потенційних ІП відсутня втрата часу на трансляцію сигналу, а в реальному ІП вона дорівнює крутизні фазочастотної характеристики:  $t_{tp} = d\phi / d\omega$  ( $\phi$  – аргумент коефіцієнта передачі ІП).

З врахуванням (9.32) і проведеного аналізу визначаємо динамічний ККД ІП

$$\eta_t = \frac{\epsilon_{n bx} \cdot \eta_{\epsilon_{bx}}}{\eta_{\epsilon_{bx}} + P_{bx} \cdot \eta_{\epsilon_{bx}} (d\phi / d\omega)} \quad . \quad (9.33)$$

Як видно з (9.33), динамічний ККД збільшується пропорційно енергетичному ККД  $\eta_{\epsilon_{\text{ax}}}$  прийому інформації. Отже, за інших рівних умов великою швидкодією володіють ІП, призначенні для роботи з ЧМ-сигналом, причому для реального ІП:  $\eta_{\epsilon_{\text{ax}}} < 1$ ,  $t_{\text{tr}} \neq 0$ ,  $\eta_t < 1$ .

Таким чином, використовуючи для характеристики ІП його основні параметри  $I$ ,  $C$ ,  $\epsilon$ ,  $t$ , що володіють строгим аналітичним визначенням як для реального, так і для потенційного ІП, маємо  $\eta_I < 1$ ,  $\eta_e < 1$ ,  $\eta_c < 1$ ,  $\eta_t < 1$  і  $\mathcal{E} < 1$ . Одержання значень  $\mathcal{E} \geq 1$  вказує на помилковий характер виконаних розрахунків.

## 9.8. Шляхи підвищення ефективності інформаційних пристрій на основі негатронів

Розроблена математична модель дозволяє оцінити ефективність реальних ІП [21, 25]. Застосовуючи усереднені параметри сучасних ІП на основі негатронів (а також аналітичні співвідношення (9.27), (9.32), (9.30), (9.33), для ККД одержання інформації (9.12) визначимо ефективність ІП, виготовлених з врахуванням різних фізичних ефектів. У розрахунках прийняте  $f = 1$  ГГц,  $\Delta F = 1$  МГц,  $C\epsilon = 0,28 \cdot 10^9$  ум. руб. / Дж.

Найбільшу ефективність мають ІП, що базуються на інжекційно-пролітному ( $\mathcal{E} = 10^{-10}$ ) і пролітному ( $\mathcal{E} = 10^{-11}$ ) ефектах (табл. 9.1). Близькі до них значення ефективності мають ІП на основі тунельного ефекту. Гіршу ефективність (на 2–4 порядки) мають ІП, що використовують лавинно-пролітний ефект і ефект Ганна.

Як показали результати розрахунків, що визначають параметром, що впливає на ефективність ІП, є ККД прийому інформації  $\eta_{\epsilon_{\text{ax}}}$ , що максимальний ( $10^{-6}$ ) для ІП, що базуються на тунельному, інжекційно-пролітному і пролітному ефектах. Значне зниження ефективності ІП на основі лавинно-пролітного ефекту і ефекту Ганна отримане в результаті низьких значень ККД прийому інформації ( $\eta_{\epsilon_{\text{ax}}} = 10^{-7} - 10^{-8}$ ) і повного енергетичного ККД ( $\eta_{\epsilon_{\text{ax}}} = 10^{-16}$ ), обумовленого великим споживанням енергії джерела живлення.

Таблиця 9.1

Оцінка ефективності інформаційних пристройів на основі негатронів, що використовують різні фізичні ефекти

| Фізичний ефект у негатроні | $\eta_{\varepsilon_{\text{вх}}}$ | $\eta$ | $\eta_\varepsilon$ | $\eta_c$   | $\eta_t$  | $\mathcal{E}$ |
|----------------------------|----------------------------------|--------|--------------------|------------|-----------|---------------|
| Тунельний                  | $10^{-6}$                        | 0,09   | $10^{-13}$         | $10^{-26}$ | $10^{-5}$ | $10^{-12}$    |
| Ганна                      | $10^{-7}$                        | 0,13   | $10^{-16}$         | $10^{-25}$ | $10^{-6}$ | $10^{-14}$    |
| Лавинно-пролітний          | $10^{-8}$                        | 0,20   | $10^{-16}$         | $10^{-23}$ | $10^{-8}$ | $10^{-14}$    |
| Інжекційно-пролітний       | $10^{-6}$                        | 0,25   | $10^{-12}$         | $10^{-23}$ | $10^{-5}$ | $10^{-10}$    |
| Пролітний                  | $10^{-6}$                        | 0,25   | $10^{-13}$         | $10^{-24}$ | $10^{-5}$ | $10^{-11}$    |

Звертає на себе увагу той факт, що сучасні ІП мають високі значення інформаційного ККД ( $0,1\text{--}0,3$  для АМ-сигнала і  $0,6\text{--}0,8$  для ЧМ-сигнала) і значно більш низькі значення ККД одержання інформації з інших параметрів, причому особливо низькі значення економічного ККД ( $\eta_c = 10^{-23}\text{--}10^{-26}$ ) і повного енергетичного ККД ( $\eta_\varepsilon = 10^{-12}\text{--}10^{-16}$ ). Малі значення економічного ККД обумовлені насамперед великою собівартістю і низькою надійністю пристройів. У процесі розрахунків враховувалася вартість реального ІП, виготовленого у вигляді гібридної мікросхеми. Отже, підвищення економічного ККД досяжне за рахунок використання фізичних ефектів і розробки ІП, що забезпечують їхню реалізацію у вигляді напівпровідникової мікросхеми. Оскільки інформаційна здатність сигналу збільшується з підвищеннем частоти, найбільш перспективні ІП, придатні для реалізації у вигляді напівпровідникової мікросхеми НВЧ-діапазона. З урахуванням найближчих перспектив розвитку технологічної бази цим вимогам відповідають ІП, що застосовують напівпровідникові структури з затвором Шоттки і такі, що базуються на пролітному ефекті й ефекті Ганна. Значні потенційні можливості підвищення ефективності ІП закладені також у збільшенні повного енергетичного ККД, наприклад, за рахунок створення ІП, що працюють у мікрорежимі чи використовують нові фізичні ефекти (пролітний, ефект Джозефсона і т.д.).

## Перелік літератури до розділу 9

1. Кузьмин И.В. Оценка эффективности и оптимизации АСКУ. – М.: Сов. радио, 1971. – 296 с.
2. Чумаков Н.М., Серебряный Е.И. Оценка эффективности сложных технических устройств. – М.: Сов. радио, 1980. – 191 с.
3. Юрлов Ф.Ф. Сопоставимость радиоэлектронных систем на основе теории множеств. – Радиотехника, 1981. – Т.38, №2. – С. 19–21.
4. Гуткин Л.С. Оптимизация радиоэлектронных устройств. – М.: Сов. радио, 1975. – 367 с.
5. Юрлов Ф.Ф. Технико-экономическая эффективность сложных радиоэлектронных систем. – М.: Сов. радио, 1960. – 280 с.
6. Чумаков Н.М. Общие вопросы оптимизации автоматических систем летательных аппаратов. / Труды научн.-техн. конф. КВИАВУ. – К.: 1968, С. 12–18.
7. Новицкий П.В. Основы информационной теории измерительных устройств. – Л.: Энергия. Ленингр. отд., 1968. – 248 с.
8. Бриллюэн Л. Наука и теория информации. – М.: Физматгиз, 1960. – 392 с.
9. Рабинович В.И., Цапенко М.П. Информационные характеристики средств измерения и контроля. – М.: Энергия, 1968. – 94 с.
10. Моисеев В.С. Об одном классе системных критериев эффективности аналого-цифровых преобразователей. // Изв. вузов СССР. Сер. Приборостроение, 1971, Т.20, №6. – С.62–65.
11. Алексеенко А.Г., Коломбет Е.А. Оценка технического уровня и перспектив совершенствования аналого-цифровых элементных средств по информационно-энергетическим показателям. – Микроэлектроника и полупроводниковые приборы / Под. ред. А.А. Васенкова и Я. А. Федотова. – М.: Сов. радио, 1980. – Вып. 5. – С.3–17.
12. Шарейко Л.А. Проблема эффективности вычислительных сетей и пути ее решения. – М.: АН СССР. Научный совет по комплексной проблеме "Кибернетика", 1981. – 71 с.
13. Филинок Н.А., Ле Тuan Tu, Анфилов Р.А. Аналитические требования к критериям эффективности информационных устройств // Матеріали четвертої МНТК "Контроль і управління в технічних системах". – УНІВЕРСУМ-Вінниця, 1997. – С.56–62.
14. Кузьмин И.В., Кедрус В.А. Основы теории информации и кодирования. – К.: Вища школа, 1977. – 280 с.
15. Кузьмин В.И. Проблемы теории систем связи. – М.: Знание, 1980. – 64 с.

16.Филинюк Н.А. Критерий эффективности информационных устройств преобразования и управления. – Изв. вузов СССР., Сер. Приборостроение. – 1984. – Т. 27, №3. – С. 253.

17.Ле Тuan Tu, Филинюк Н.А. Анализ эффективности информационных устройств с учетом эффективности его компонентов // Труды международного симпозиума "Наука и предпринимательство". Винница-Львов, 1998. – С. 190–196.

18.Харкевич А.А. Борьба с помехами. – М.: Физматгиз, 1965. – 275 с.

19. Музыка З.Н. Чувствительность радиоприемных устройств на полупроводниковых приборах. – М.: Радио и связь, 1981. – 168 с.

20.Филинюк Н.А., Ле Тuan Tu. Информационно-энергетический подход к оценке эффективности электронных устройств обработки информации // Труды 3-й МНТК "Контроль и управление в технических системах". – Винница, 1995. – С. 109–110.

21.Маклюков М.И. Инженерный синтез активных RC фильтров низких и инфразвуковых частот. – М.: Энергия, 1971. – 184 с.

22.Моделирование и оптимизация на ЭВМ радиоэлектронных устройств / З.М. Бенинсон. М.Р. Елистратов, Л.К. Ильин и др.; Под ред. З.М. Бенинсона. – М.: Радио и связь, 1981. – 272 с.

23.Філинюк М.А., Павлов С.М., Ле Тuan Tu. Оцінка ефективності елементів керування на базі транзисторних узагальнених перетворювачів імітансу // Вісника ВПІ, 1998. – №4. – С. 85–90.

24.Філинюк М.А., Ле Тuan Tu, Піддубник О.П. Критеріальна оцінка ефективності узагальнених перетворювачів імітансу // Вісник ВПІ, 1999. – №1. – С.85–90.



## Міжнародний координаційний центр "Негатроніка"

Вінницький національний технічний університет  
Кафедра проектування комп'ютерної та  
телекомунікаційної апаратури  
вул. Хмельницьке шосе, 95  
м. Вінниця, 21021, Україна  
E-mail: Filinyuk@vstu.vinnica.ua

### ШАНОВНІ КОЛЕГИ

На базі Вінницького національного технічного університету з 1986 року працює міжнародний координаційний центр за напрямком "Негатроніка". Метою такого центру є об'єднання вчених, що займаються створенням і дослідженням RLC-негатронів та побудовою на їх основі електронних пристрій різного призначення.

Основні напрямки роботи центру:

- організація конференцій, семінарів, симпозіумів, наукових шкіл;
- випуск тематичних наукових збірників;
- створення творчих колективів по підготовці до видання монографій і підручників, проведенню спільніх наукових досліджень;
- створення інформаційного банку даних за тематикою центру (автори, публікації, заяви промисловості, проблеми);
- підготовка магістерських, кандидатських та докторських дисертацій.

Основні наукові напрямки:

- історія розвитку негатроніки;
- теорія і фізика RLC-негатронів (тунельні діоди, інжекційно-пролітні діоди, лавинно-пролітні діоди, тиристори, S-діоди, одноперехідні транзистори, лавинні транзистори, інжекційно-пролітні транзистори, конвертори та інвертори негативного опору тощо);
- теорія і практика створення електронних пристрій на базі RLC-негатронів (активні НВЧ фільтри, генератори, підсилювачі, обмежувачі, багатостабільні схеми, частотні перетворювачі, вимірювальні перетворювачі, фазочастотні коректори й ін.).

Запрошуємо Вас взяти участь у діяльності координаційного центру.

**Керівник координаційного центру,  
д.т.н., професор Філіньюк М. А.**

P.S. Ознайомитися зі статтею "Краткий исторический обзор развития научного направления "Негатроника" можно в электронной библиотеке на сайте Міжнародної громадської організації "Наука і техніка" (Інтернет-адреса: [www.n-t.org/tp/in/nt.htm](http://www.n-t.org/tp/in/nt.htm)).



**Філинюк Микола Антонович** (нар. в 1945 р.), доктор технічних наук, професор, академік Академії інженерних наук України, за- відувач кафедри проектування комп'ютерної та телекомунікаційної апаратури Вінницького національного технічного університету.

Автор понад 450 наукових робіт. Серед них 20 монографій, підручників і навчальних посібників, 70 авторських свідоцтв і патентів.

*Наукове видання*

**Микола Антонович Філинюк**

## **ОСНОВИ НЕГАТРОНІКИ**

### **Том II Прикладні аспекти негатроніки**

**Монографія**

Редактор Т. Ягельська

Оригінал-макет підготовлено С. Швейкіною

Видавництво ВНТУ «УНІВЕРСУМ-Вінниця»  
Свідоцтво Держкомінформу України  
Серія ДК № 746 від 25.12.2001 р.  
21021, м. Вінниця, Хмельницьке шосе, 95,  
ВНТУ, ГНК, к. 114  
Тел. (0432) 59-58-32

Підписано до друку 28.11.2006 р.  
Формат 29,7x42¼ Папір офсетний.  
Гарнітура Times New Roman.  
Друк різографічний. Ум. друк. арк. 17,67  
Наклад 100 прим. Зам. № 2006-203

Віддруковано в комп'ютерному інформаційно-видавничому центрі  
Вінницького національного технічного університету  
Свідоцтво Держкомінформу України  
Серія ДК № 746 від 25.12.2001 р.  
21021, м. Вінниця, Хмельницьке шосе, 95  
ВНТУ, ГНК, к. 114  
Тел. (0432) 59-81-59



**Філинюк Микола Антонович** (нар. в 1945 р.) доктор технічних наук, професор, акаадемік Академії інженерних наук України, завідувач кафедри проектування комп'ютерної та телекомунікаційної апаратури Вінницького національного технічного університету. Автор понад 450 наукових робіт. Серед них 20 монографій, підручників і навчальних посібників, 70 авторських свідоцтв і патентів.